

Sensores Remotos: Imágenes Satelitales, Drones y Machine Learning Aplicado a Agricultura Digital.



AGROSAWA

Corporación colombiana de investigación agropecuaria

ACADEMIA AGROSAVIA

CLAUDIA MILENA SERPA IMBETT, PhD

Posdoctorado MINCIENCIAS - AGROSAVIA C.I Turipaná – CERETÉ



CLAUDIA MILENA SERPA IMBETT, PhD

Página web:

Claudia Milena Serpa Imbett, PhD

https://cmsipage.netlify.app/





nicio Biografía Servicios Experiencia Recursos Docencia Productos Contacto

CLAUDIA MILENA SERPA IMBETT, PhD



Acerca de Mí

Claudia Milena Serpa Imbett, PhD

Soy investigadora científica, PhD. Actualmente, realizo Posdoctorado en sistemas de Agricultura digital e IA para gestión agricola y ganadera en AGROSAVIA. Consultora especializada en la aplicación de tecnologías ópticas avanzadas. Con más de 15 años de experiencia en el campo de la óptica, fotónica, y sensores remotos y proximales, he dedicado mi carrera a desarrollar soluciones innovadoras.

Mi formación académica incluye un Doctorado en Ingeniería de la Universidad Pontificia Bolivariana, sede Medellín, con una pasantía de investigación en la Universidad de Campinas (Brasil). He publicado más de 30 artículos en revistas indexadas y congresos científicos. Además, he liderado proyectos de investigación con financiación externa y participado activamente en el diseño de soluciones tecnológicas basadas en software, así como en procesos de patentamiento de tecnologías.





Inicio Biografía Servicios Experiencia Recursos Docencia Productos Contacto

Recursos Descargables





Sensores Remotos

Guía completa sobre aplicaciones de sensores remotos en agricultura moderna.

 $\mathsf{Descargar}\,\mathsf{PDF}\to$



Óptica y Fotónica en Agro 4.0

Fundamentos físicos para la de implementación de sistemas ópticos en agricultura digital.

Descargar PDF →



Agricultura Digital

Curso introductorio sobre transformación digital en el sector agrícola.

Acceder al Curso →



Redacción de Proyectos

Pautas para elaboración de propuestas de investigación científica exitosas.

Descargar Material →



Redacción de Artículos Científicos

Metodología paso a paso para redacción y publicación de artículos científicos en revistas indexadas.

Ver Recursos →



Sensores de Fibra Óptica

Aplicaciones avanzadas de sensores de fibra óptica en monitoreo de sistemas eléctricos - Curso impartido a Siemens - Colombia.

 $\text{Descargar PDF} \rightarrow$





Biografía Servicios Experiencia Recursos Docencia Productos Contacto



Docencia Universitaria y Formación Especializada



Trabajo de Grado UNISINU -Ing Eléctrica

Plataforma web desarrollada para el programa de Ingeniería Eléctrica de UNISINU, enfocada en proyectos de grado y recursos académicos especializados en el área eléctrica.

Acceder a la Plataforma →



Chatbot Elektra - Trabajo de **Grado UNISINU**

Asistente virtual inteligente especializado en ingeniería eléctrica, desarrollado como trabajo de grado para UNISINU. Proporciona información técnica y apoyo académico.

Interactuar con Elektra →



Repositorio de Curso **Sensores Remotos y Machine** Learning

Repositorio académico completo con materiales, ejercicios prácticos y proyectos del curso de sensores remotos aplicados con técnicas de machine learning.

Explorar Repositorio →



Explorando el repositorio del Curso de Teledetección

Ir al enlace:

Teledetección - Curso | teledeteccion-curso

https://claumiseimbett1.github.io/teledeteccioncurso/





Teledetección: Imágenes Satelitales, Drones y Machine Learning Aplicado a Agricultura Digital

Transforma datos espaciales remotos en decisiones inteligentes 🔭

Curso dictado en la Universidad de Magdalena para los programas de Maestría y Doctorado en Ingeniería y para AGROSAVIA - Colombia

Este repositorio contiene los materiales, ejemplos y recursos del curso especializado en **Teledetección (Sensores Remotos)** con énfasis en aplicaciones agrícolas y uso de inteligencia artificial.

o Descripción

Curso de formación avanzada en teledetección óptica y radar, con énfasis en imágenes multiespectrales y algoritmos de machine learning. Integra radiometría de campo, preprocesamiento digital y clasificación supervisada para implementar soluciones reales en agricultura de precisión usando herramientas de software libre como QGIS, SNAP y Python.

Entidad organizadora: AGROSAVIA - Centro de Investigación Turipaná





Objetivos

Objetivo General

Formar participantes en fundamentos, técnicas y aplicaciones de teledetección mediante sensores remotos, con énfasis en plataformas satelitales y drones, procesamiento digital de imágenes y aprendizaje automático aplicado al monitoreo de variables biofísicas.

Objetivos Específicos

- 🔬 Explicar principios físicos de la teledetección y la interacción electromagnética
- 🏇 Identificar características técnicas de plataformas Sentinel, Landsat, MODIS y drones
- 👔 Aplicar conceptos de resolución espacial, espectral, temporal y radiométrica
- Realizar preprocesamiento de imágenes (correcciones radiométricas, atmosféricas, geométricas)
- 🜿 Comprender índices espectrales (NDVI, NDRE, SAVI) y su relación con cobertura vegetal
- Paplicar técnicas de machine learning (SVM, Random Forest, XGBoost)
- 💆 Diferenciar sensores pasivos (ópticos, térmicos, hiperespectrales) de activos (radar SAR, LIDAR)





Módulos del Curso (36 horas)

Módulo 1: Fundamentos de Teledetección (6 horas)

- Definición y alcance de la teledetección (óptica y radar)
- · Tipos de sensores: pasivos y activos
- · Plataformas: satélites, drones, aviones, sensores proximales
- Interacción de la radiación electromagnética con la materia
- · Firmas espectrales y radiometría proximal

Módulo 2: Imágenes Pasivas (18 horas)

- · Sensores ópticos multiespectrales e hiperespectrales
- Plataformas Sentinel-2, Landsat 8/9, MODIS, drones (DJI, Micasense)
- Índices espectrales: NDVI, NDRE, SAVI, NDWI
- · Radiometría de campo con espectrómetros
- · Procesamiento con QGIS, SNAP, Google Earth Engine, Python

Módulo 3: Imágenes Activas y Machine Learning (12 horas)

- Radar SAR: bandas L, C, X y polarización VV, VH, HV, HH
- · LIDAR: principios y aplicaciones topográficas
- · Algoritmos ML: SVM, Random Forest, XGBoost
- · Clasificación supervisada y no supervisada
- · Procesamiento con Google Earth Engine y Python







Estructura del Repositorio

```
Teledeteccion-Curso/
                               # 🤨 Notebooks Python y scripts de análisis
- codigo/
   -- NDVI_Satellite.ipynb
   - ClasificadorRF*.ipynb
   - XGBoost*.ipynb
   L- 13-Segmentación_Kmeans/
                               # 🖺 Datos satelitales y ejemplos
      datasets/
   -- NDVI_Sentine12.tif
   - VH.tif, VV.tif
   L-- Ejemplo_FirmasEspectrales/
   QGIS_SNAP/
                              # N Proyectos QGIS
                              # Material teórico del curso
      documentos/
- atasheet-drones/
                              # # Especificaciones técnicas drones
└─ 🎽 tutorial-y-aprendizaje/ # 🛄 Material de apoyo y tutoriales
```





K Tecnologías y Herramientas

Software Libre:

- Q Python: rasterio, scikit-learn, geopandas, matplotlib
- III QGIS: Análisis geoespacial
- SNAP: Procesamiento imágenes Sentinel
- Google Earth Engine: Análisis en la nube
- Google Colab: Ejecución de notebooks

Plataformas Satelitales:

- Sentinel-1/2 (ESA)
- Mac Landsat 8/9 (NASA/USGS)
- MODIS (NASA)

Drones Multiespectrales:

- 💇 DJI Phantom 4 Multiespectral
- W DJI Mavic 3 Multiespectral
- <u>@</u> MicaSense RedEdge-MX

6 Público Objetivo

- 🔬 Investigadores y técnicos en proyectos agroambientales
- 🔹 🏟 Estudiantes y profesionales de ingeniería, agronomía, geografía, física, biología
- 🕴 Productores agrícolas interesados en monitoreo remoto
- # Público general que desee competencias básicas en teledetección

Requisitos Previos

- 星 Manejo básico de software informático
- Q Deseable: conocimientos básicos de Python
- M Deseable: conocimientos de SIG (QGIS, SNAP, Google Earth Engine)





@ Público Objetivo

- 🔬 Investigadores y técnicos en proyectos agroambientales
- 🛊 Estudiantes y profesionales de ingeniería, agronomía, geografía, física, biología
- Productores agrícolas interesados en monitoreo remoto
- # Público general que desee competencias básicas en teledetección

Requisitos Previos

- 💂 Manejo básico de software informático
- O Deseable: conocimientos básicos de Python
- III Deseable: conocimientos de SIG (QGIS, SNAP, Google Earth Engine)

Instalación y Uso

1. Clona el repositorio:

git clone https://github.com/claumiseimbett1/teledeteccion-curso.git

2. Instala las dependencias de Python:

pip install numpy matplotlib rasterio scikit-learn geopandas

- 3. Abre los notebooks en Jupyter o Google Colab
- 4. Sigue las instrucciones de cada módulo

Instructora

Claudia Milena Serpa Imbett, PhD.

- Posdoctoral MINCIENCIAS
- 🏚 Docente Universitaria UNISINU Montería
- Ø claumiseimbett1



Pasos para clonar el repositorio

1. Abrir terminal/línea de comandos

Windows: Cmd, PowerShell o Git Bash

Mac/Linux: Terminal

2. Navegar a la carpeta donde quieres el proyecto:

En el bash o directamente en la carpeta con click izquierdo – Terminal.

cd Desktop

o la ruta donde quieras guardarlo

cd Documents/Proyectos



Pasos para clonar el repositorio

3. Clonar el repositorio

bash

git clone https://github.com/claumiseimbett1/teledeteccion-curso.git

4. Entrar al directorio clonado

bash

cd teledeteccion-curso

5. Verificar que se clonó correctamente

bash

ls

o en Windows:

dir



Pasos para clonar el repositorio

Comandos adicionales útiles:

Ver el estado del repositorio:

bash

git status

Ver las ramas disponibles:

bash

git branch -a

Actualizar con cambios remotos:

bash

git pull origin main

Para realizar la clonación del repositorio se debe tener una cuenta en GitHub

Abriendo una cuenta en Google COLAB

1. Tener una cuenta de Google



- Si ya tienes Gmail, YouTube o Google Drive, ya tienes cuenta
- Si no tienes: ve a <u>accounts.google.com</u> y crea una

2. Acceder a Google Colab

- Ve a <u>colab.research.google.com</u>
- O busca "Google Colab" en Google

3. Iniciar sesión

- Clic en "Sign in" (Iniciar sesión)
- Usa tu cuenta de Google
- Acepta los términos y condiciones

4. Crear tu primer notebook

- Clic en "New notebook" (Nuevo notebook)
- O selecciona un ejemplo de la galería



Abriendo una cuenta en Google COLAB

Conectar Google Drive (opcional pero útil):

from google.colab import drive
drive.mount('/content/drive')

Características importantes:

Gratis: Incluye acceso a GPU y TPU limitado

Sin instalación: Funciona en el navegador

Colaborativo: Puedes compartir notebooks

Integración: Conecta con GitHub y Google Drive

Librerías típicas para teledetección

!pip install rasterio earthpy folium geopandas

... y otras mas que estaremos usando en el curso.



Abriendo una cuenta en Google Earth Engine

1. Requisitos previos	Tener una cuenta de Google activa
	Especificar el tipo de uso (académico, comercial, no comercial)
2. Solicitar acceso	Ve a <u>earthengine.google.com</u>
	Clic en "Sign Up" o "Get Started"
	Inicia sesión con tu cuenta de Google
3. Completar formulario de registro	Deberás proporcionar:
	Información personal: Nombre, afiliación institucional
	Tipo de proyecto: Académico, investigación, ONG, comercial
	Descripción del uso: Para qué usarás Earth Engine
	País y organización

Abriendo una cuenta en Google Earth Engine



- 4. Para uso académico/educativo
- Selecciona "Noncommercial" o "Academic"
- Proporciona información de tu institución educativa
- Menciona que es para un curso de teledetección
- 5. Esperar aprobación
- El proceso puede tardar 1-7 días
- Google revisa manualmente las solicitudes
- Recibirás un email de confirmación
- 6. Acceder después de la aprobación
- Ve a <u>code.earthengine.google.com</u>
- Inicia sesión con tu cuenta de Google
- Acepta los términos de servicio



Abriendo una cuenta en Google Earth Engine

Para estudiantes y profesores:

Tipo de uso: Academic Research/Education

Descripción: "Curso de teledetección y machine learning

para análisis de imágenes satelitales con fines educativos"

Institución: [Nombre de tu universidad/institución]

Información adicional útil:

- Menciona que es para aprendizaje/enseñanza
- Especifica el enfoque en agricultura/medio ambiente
- Incluye el nombre del curso o proyecto

Abriendo una cuenta en Google Earth Engine

Alternativas mientras esperas:

- Google Earth Engine Apps
- Puedes usar aplicaciones públicas sin cuenta
- Explora earthengine.google.com/apps

Tutoriales públicos

 Revisa la documentación en developers.google.com/earth-engine





Encuesta

MENTIMETER



CONTENIDO

1. Fundamentos de teledetección

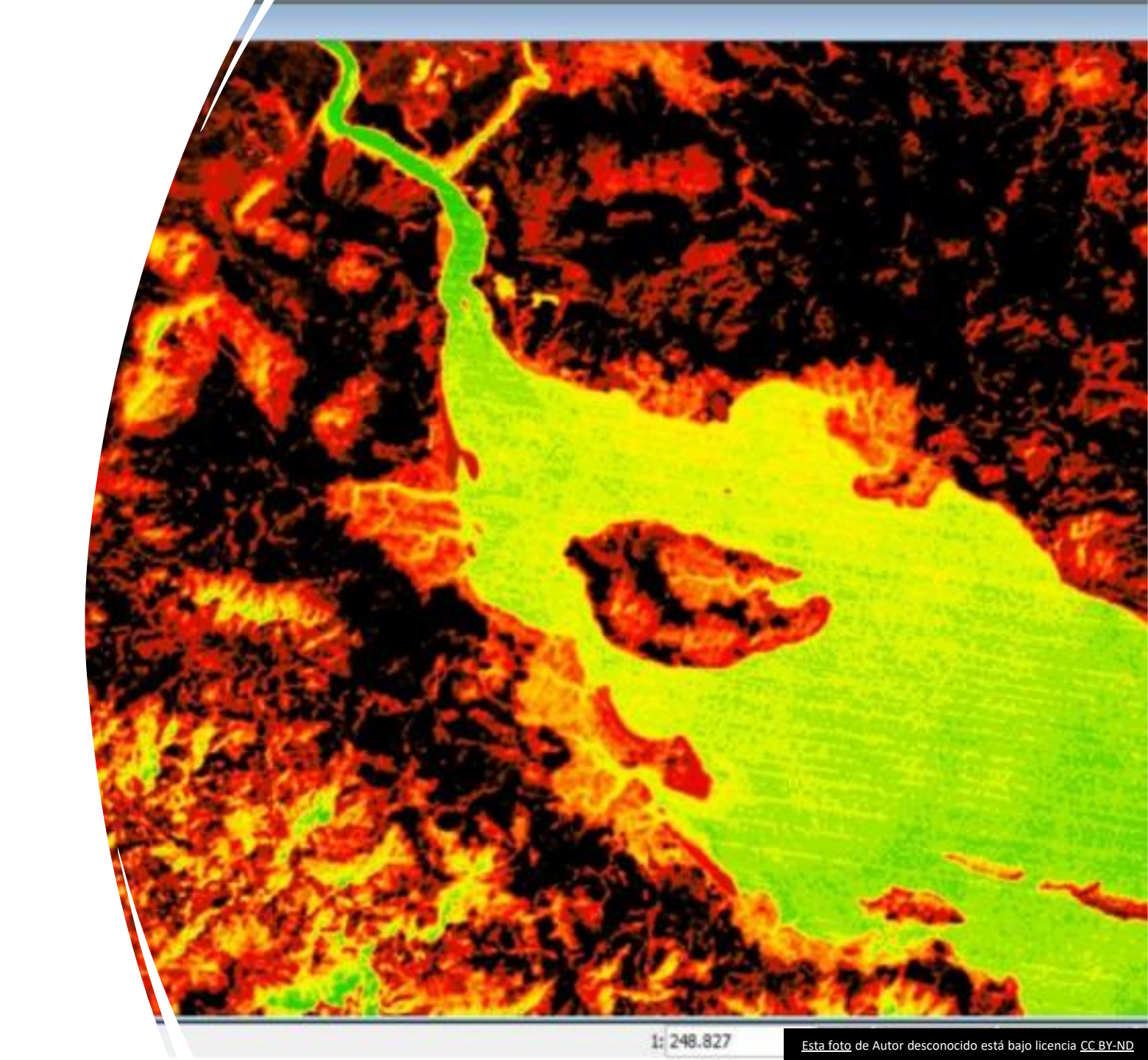
2. Imágenes pasivas

3. Imágenes activas



MODULO 1

FUNDAMENTOS DE TELEDETECCIÓN



CONTENIDO

1. Fundamentos de teledetección

2. Imágenes pasivas

3. Imágenes activas





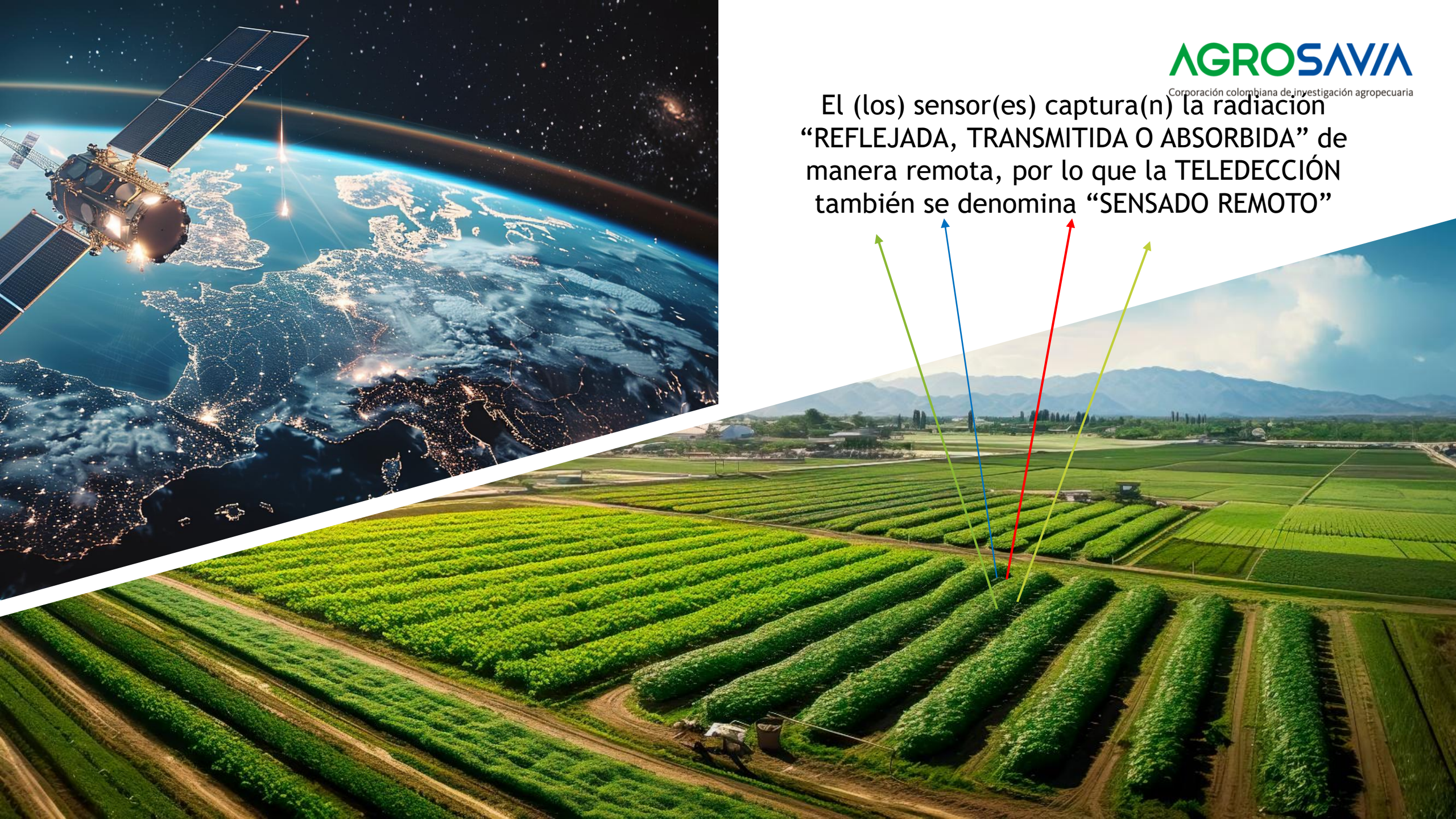


A través de sensores, pueden estar ubicados en:

Plataformas como: Satélites, Drones, Aviones, Globos estratosféricos.

Los sensores registran diferentes tipos de radiación (visible, infrarroja, microondas, etc.)









Tipos de TELEDETECCIÓN

• **PASIVA:** Captura la radiación natural, principalmente la luz solar **reflejada**. Ejemplo: imágenes satelitales ópticas (como las de Sentinel o Landsat).

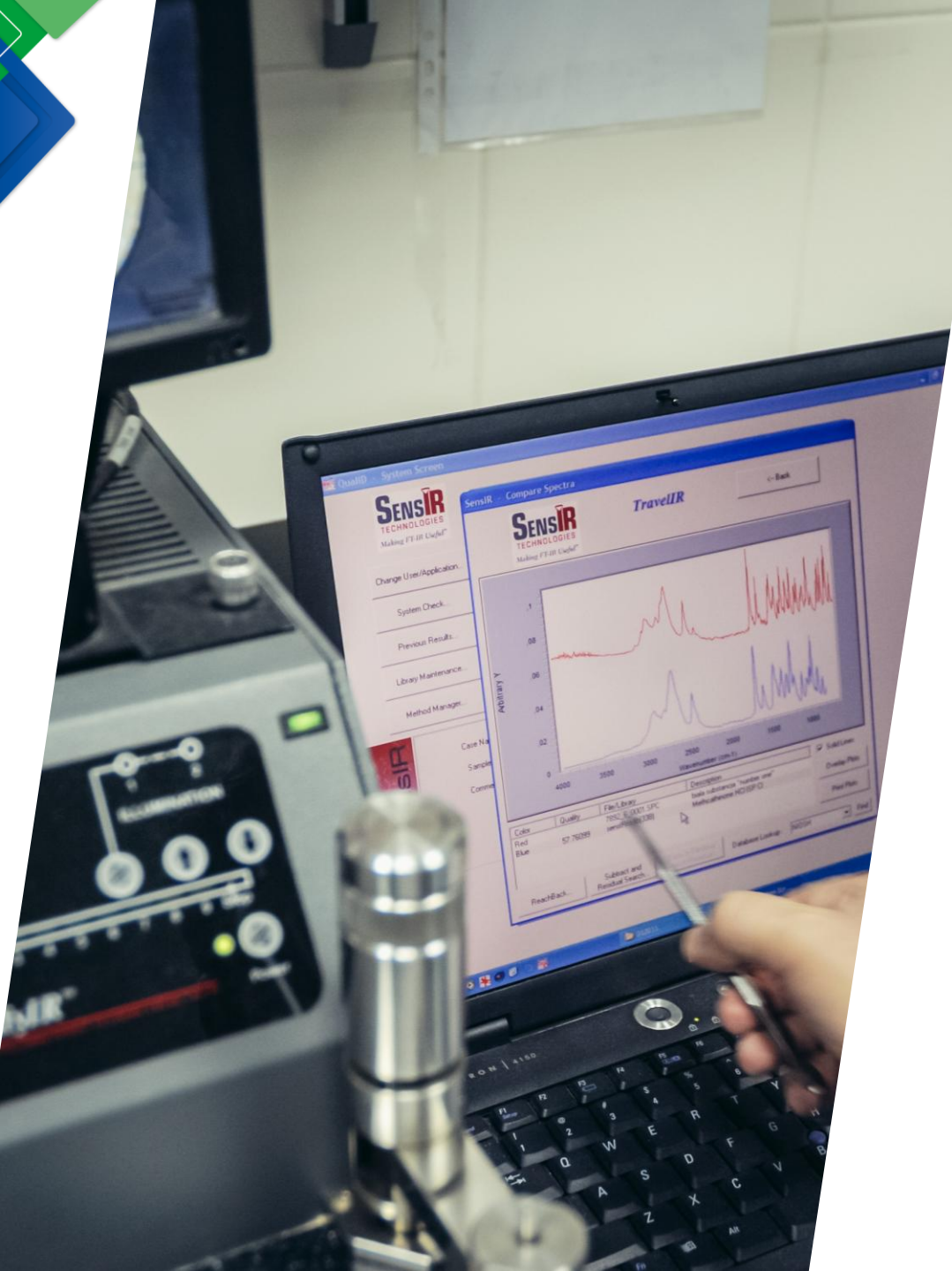
• ACTIVA: El sensor emite su propia señal (como un radar o un LIDAR) y mide el "tiempo" rebote. Esto permite operar de noche y en condiciones de nubosidad.





Aplicaciones de la TELEDECCIÓN o SENSADO REMOTO

- •Agricultura de precisión: monitoreo de cultivos, estrés hídrico, estimación de biomasa.
- •Silvicultura: detección de deforestación, salud del bosque.
- •Gestión ambiental: evaluación de desastres naturales, monitoreo de cuerpos de agua.
- •Geología: detección de fallas, análisis de suelos y minerales.
- Urbanismo: crecimiento urbano, uso del suelo.
- •Cambio climático: monitoreo de glaciares, temperatura de la superficie terrestre.





Conceptos básicos

- Sensor
- Plataforma
- Resolución

Sensor

Un **sensor** es el dispositivo que capta la información desde la distancia (sensor remote), midiendo la radiación electromagnética reflejada, emitida o absorbida por los objetos.



Sensor

- Ópticos (visible, infrarrojo cercano): como los portados por los satélites Sentinel-2 y drones
- **Térmicos**: detectan energía en el infrarrojo térmico (temperatura).
- Radar (SAR): sensor activo que emite microondas y miden el tiempo de retorno (útil en condiciones de nubosidad o de noche).
- LIDAR: emite pulsos láser para medir distancias con gran precisión (usado en topografía y vegetación).







Plataforma

•Es el vehículo que transporta el sensor:

•Puede ser un dron, un satélite, un avión, globo estratosférico, etc.





Plataforma

Tipos de plataformas:

- Satélites: como Sentinel, Landsat, MODIS (alta cobertura, menor resolución temporal).
- Aviones: vuelos programados para estudios específicos (resolución intermedia).
- Drones (UAVs): permiten vuelos a baja altura y alta resolución espacial y temporal.
- Globos estratosféricos: permiten observaciones a gran altitud y son más económicos que los satélites





Resolución

Tipo de resolución	¿Qué significa?	Ejemplo
--------------------	-----------------	---------

Espacial	lamano minimo de un objeto	10 m, 30 m, 1 m
	detectable (tamaño de píxel)	10 111, 30 111, 1 111.

Espectral	Separación entre longitudes de	RGB, intrarrojo,
	onda o bandas espectrales	hiperespectral

	Frecuencia con la que se	
Temporal	adquieren datos de un mismo	Cada día, cada 5 días
	lugar	

Radiométrica	Precisión en la medición de la	8 bits (256 niveles), 12 bits,
	radiación (niveles de gris o bits)	etc.





Ejemplo de un sistema de teledetección o sensado remoto



Sensor: Cámara Multiespectral (captura en RGB (visible) + infrarrojo cercano + Infrarojo de Borde (RedEdge)



Plataforma: Drone



Resolución espacial: 10 cm/píxel y hasta 2.3 cm/pixel volando a 50 m (altísima resolución)



Resolución temporal: según el plan de vuelo, la temporalidad la escoge el usuario.

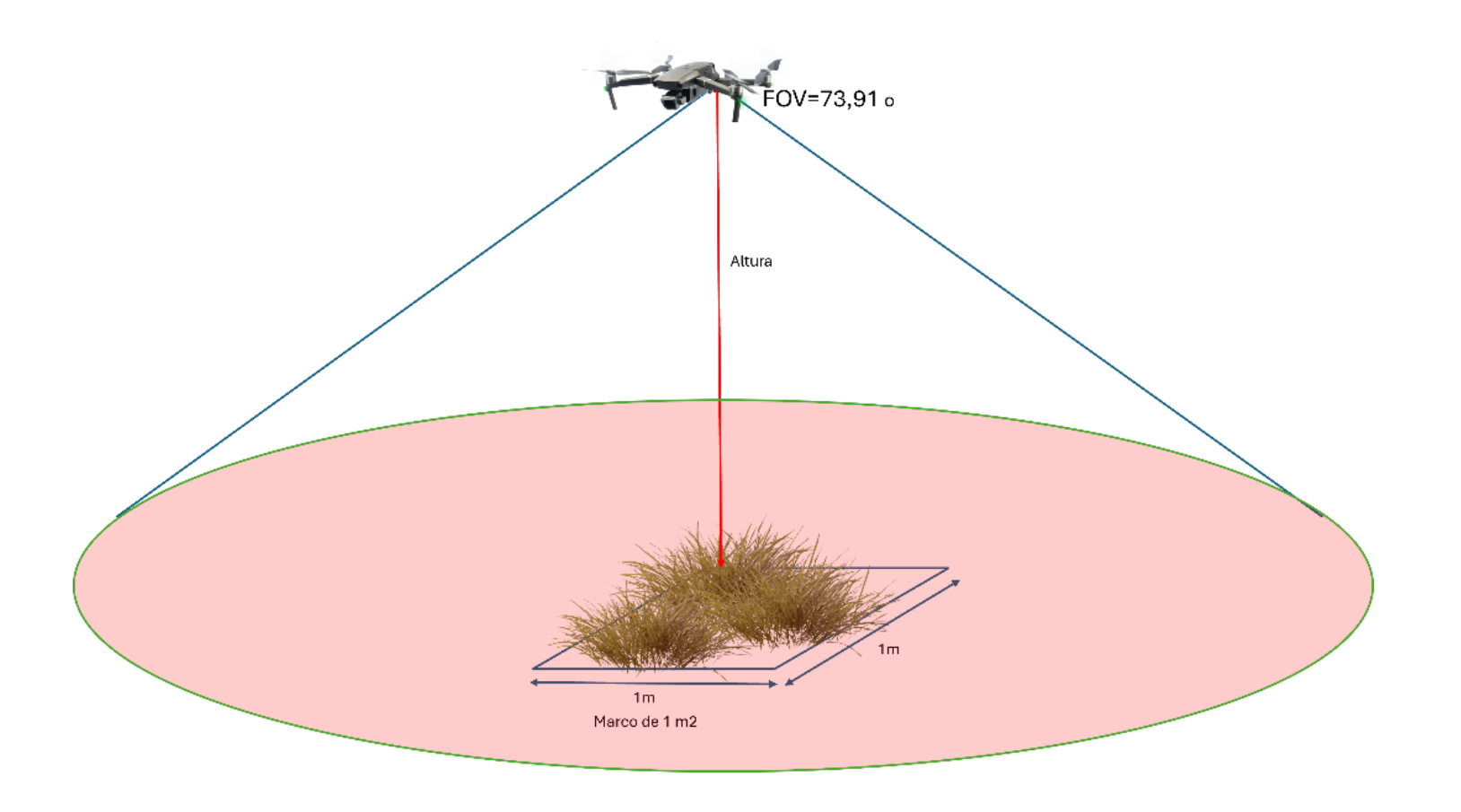


Resolución espectral: 5 bandas (rojo (R, Red), verde (G, Green), azul (B, Blue), infrarrojo cercano (NIR, Near Infrared), Infrarojo de borde (RE, RedEdge)



Ejemplo de un sistema de teledetección o sensado remoto

- Altura = 50 m.
- ¿Cuántos pixels hay en un marco si la resolución es de 2,3 cm/pixel?
- FOV es el Field of View o campo de vision que se refiere a la apertura angular del
- Tipo de sensor: multiespectral
- Plataforma es el dron.









Sensor: Cámara Multiespectral (captura en RGB (visible) + infrarrojo cercano + Infrarojo de Borde (RedEdge)



Plataforma: Sentinel-2



Resolución espacial: 10 m/pixel.



Resolución temporal: cada 5 días en el trópico



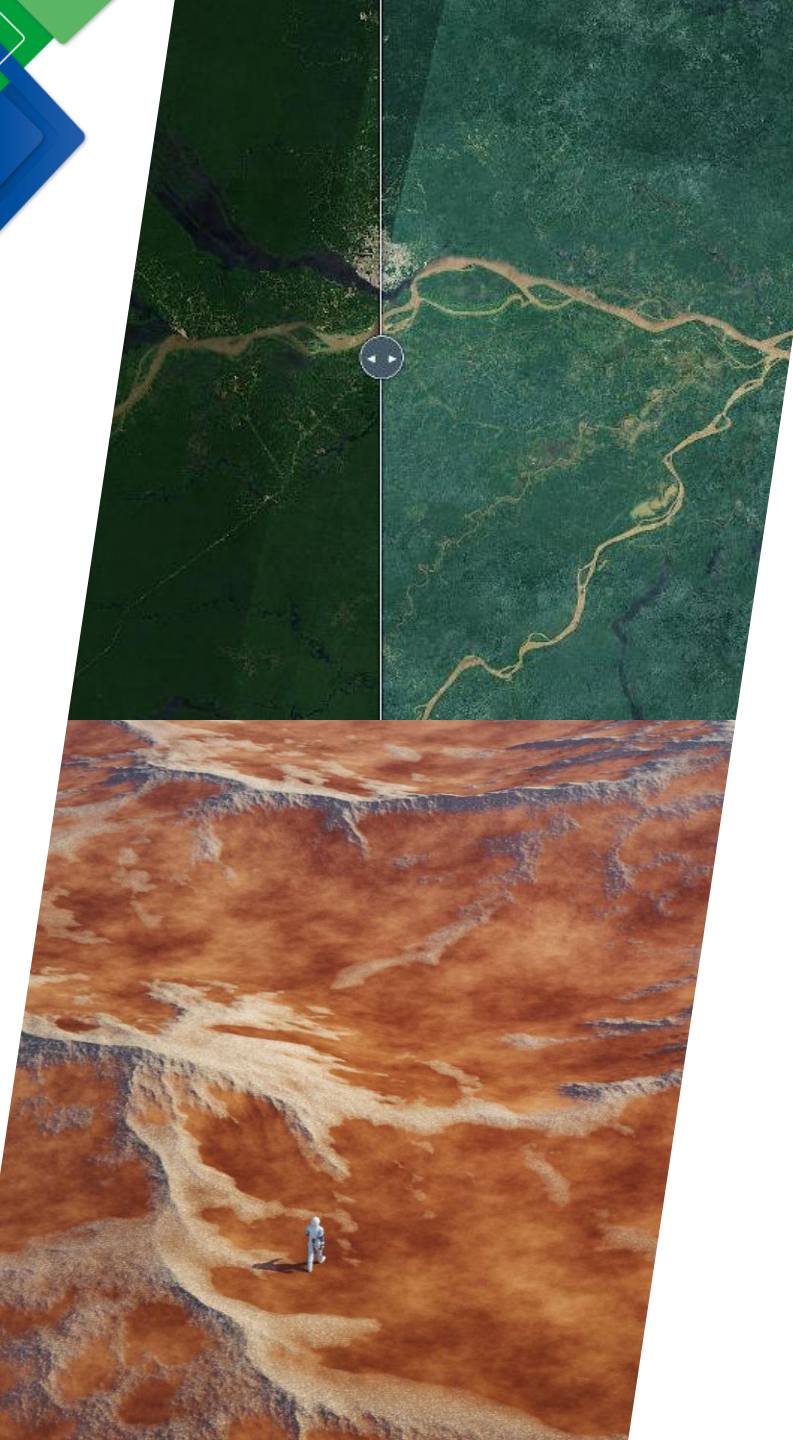
Resolución espectral: 5 bandas (rojo (R, Red), verde (G, Green), azul (B, Blue), infrarrojo cercano (NIR, Near Infrared), Infrarojo de borde (RE, RedEdge)



Ejemplo de un sistema de teledetección escolar sensado remoto

- Altura = 786 km de la superficie terrestre.
- FOV es el Field of View o campo de vision que se refiere a la apertura angular del sensor ¿ Cual es mayor: del satélite o del dron?
- Tipo de sensor: multiespectral
- Plataforma es el satélite







Características del Sentinel – 2.

- **Altitud**: ~786 km
- **Órbita**: Polar, heliosincrónica (pasa por el mismo punto a la misma hora solar local cada día)
- **Revisita**: Cada 5 días (combinando Sentinel-2A y Sentinel-2B)
- Resolución espacial:
 - 10 m para bandas RGB y NIR
 - 20 m para bandas Red Edge y SWIR
 - 60 m para bandas de corrección atmosférica
- **Solution** Ancho de barrido (swath): ~290 km
- Acceso: Gratuito a través de Copernicus Open Access Hub o Google Earth Engine.

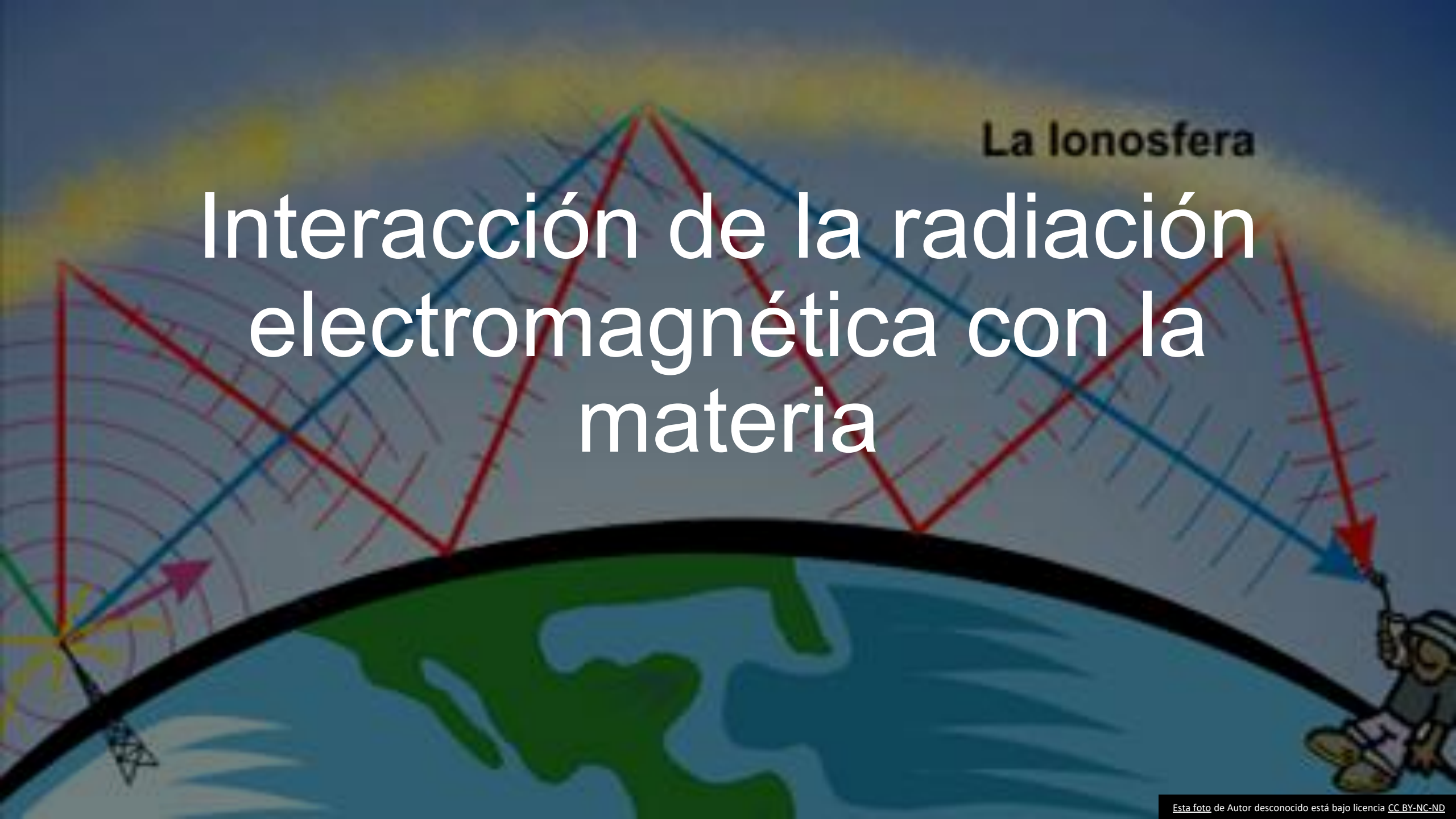


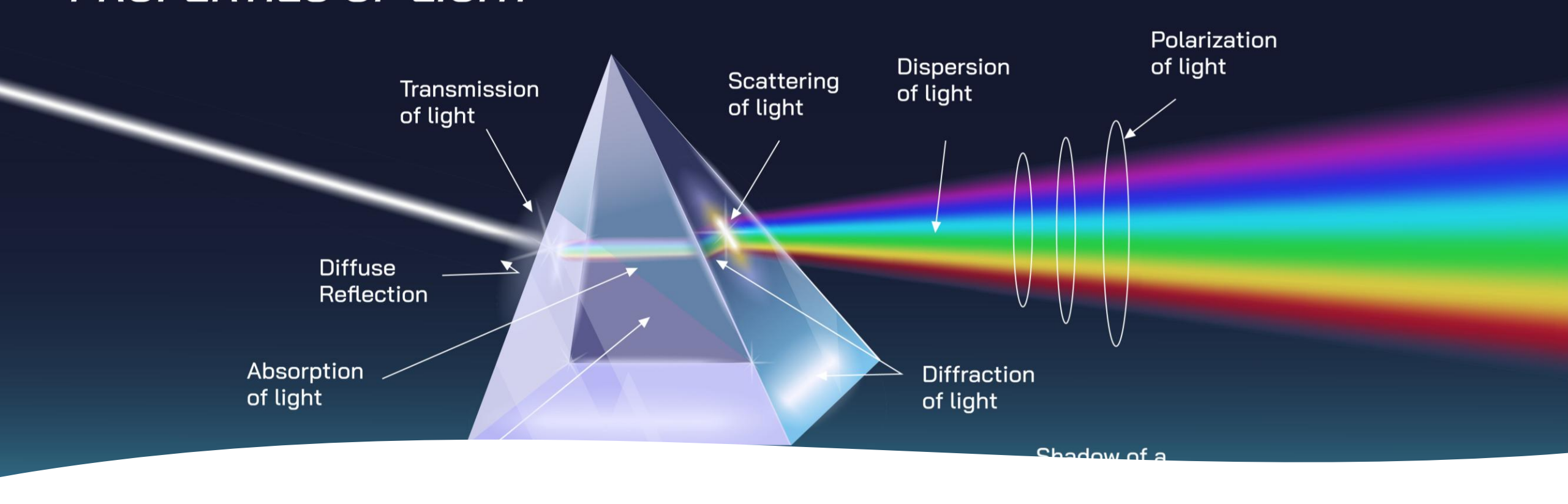
Captinal 2

Comparación entre plataformas dron (convencional) y satelital (Sentinel-2)

Tipo do recolución

lipo de resolución	Drone	Sentinei-2
Espacial	~10 cm/píxel	10 m/píxel
Espectral	5–10 bandas (dependiendo del sensor)	13 bandas (VIS, NIR, SWIR)
Temporal	Según planificación	Cada 5 días (óptimas sin nubes)
Radiométrica	10–14 bits (alta precisión)	12 bits

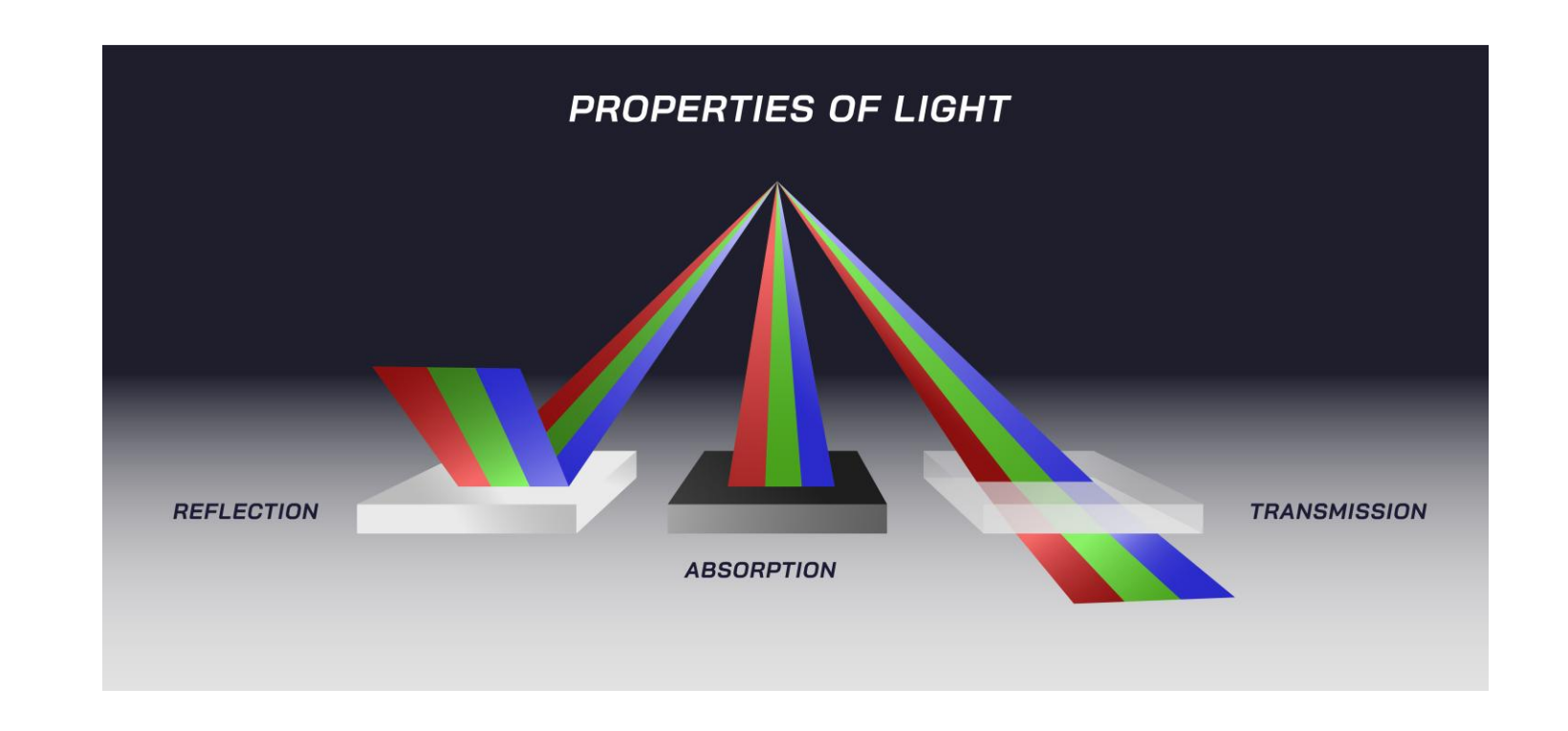




- Las propiedades de la luz son comprendidas por la **óptica** que es una rama de la física que estudia la **luz** y su comportamiento, así como sus interacciones con la materia.
- Se ocupa de fenómenos como la reflexión, la refracción, la dispersión y la difracción, entre otros.



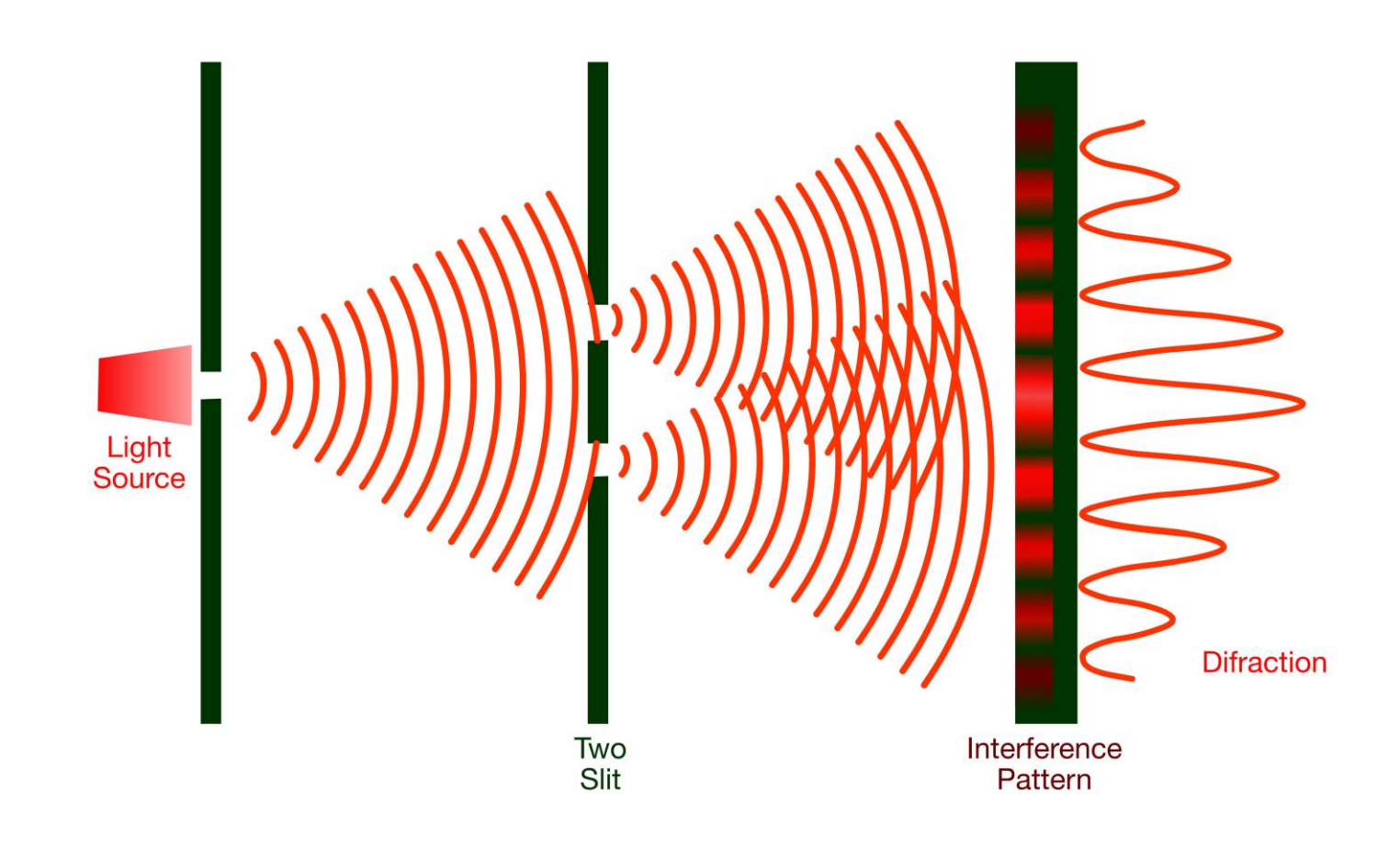
- Existen dos enfoques principales en el estudio de la óptica:
- Óptica geométrica: Se enfoca en la trayectoria rectilínea de la luz y los principios de reflexión y refracción. Aquí se explican cómo se forman las imágenes a través de lentes y espejos, como ocurre en cámaras o telescopios.





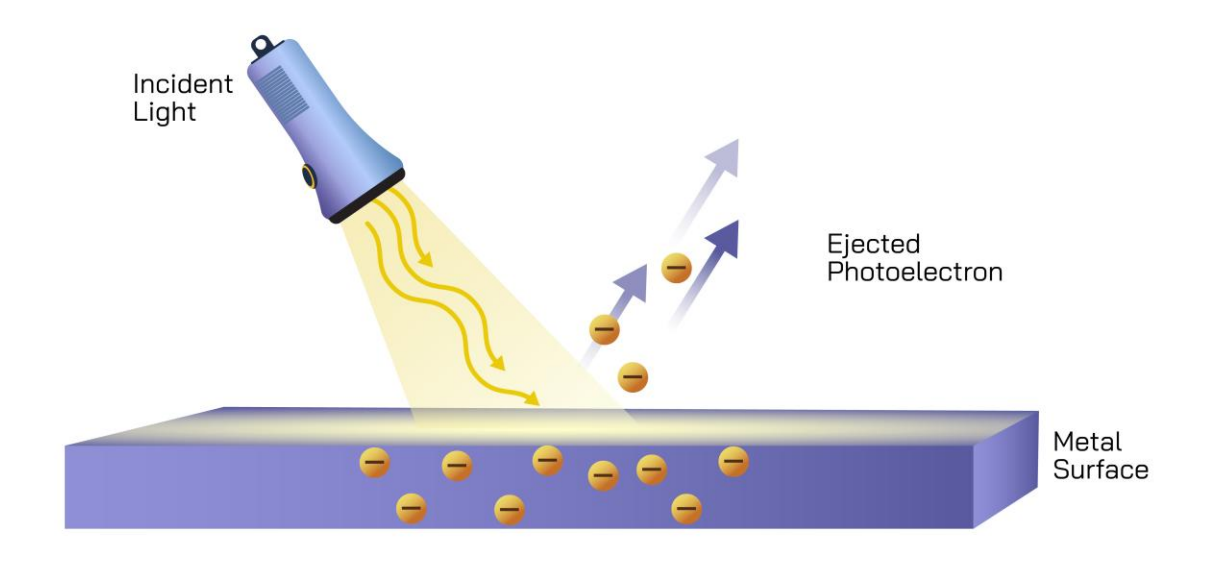
- Existen dos enfoques principales en el estudio de la óptica:
- 2.Óptica física: Estudia la luz como una onda, analizando fenómenos que no se pueden explicar solo con la óptica geométrica, como la interferencia y la difracción.

Young's Double-Slit Experiment





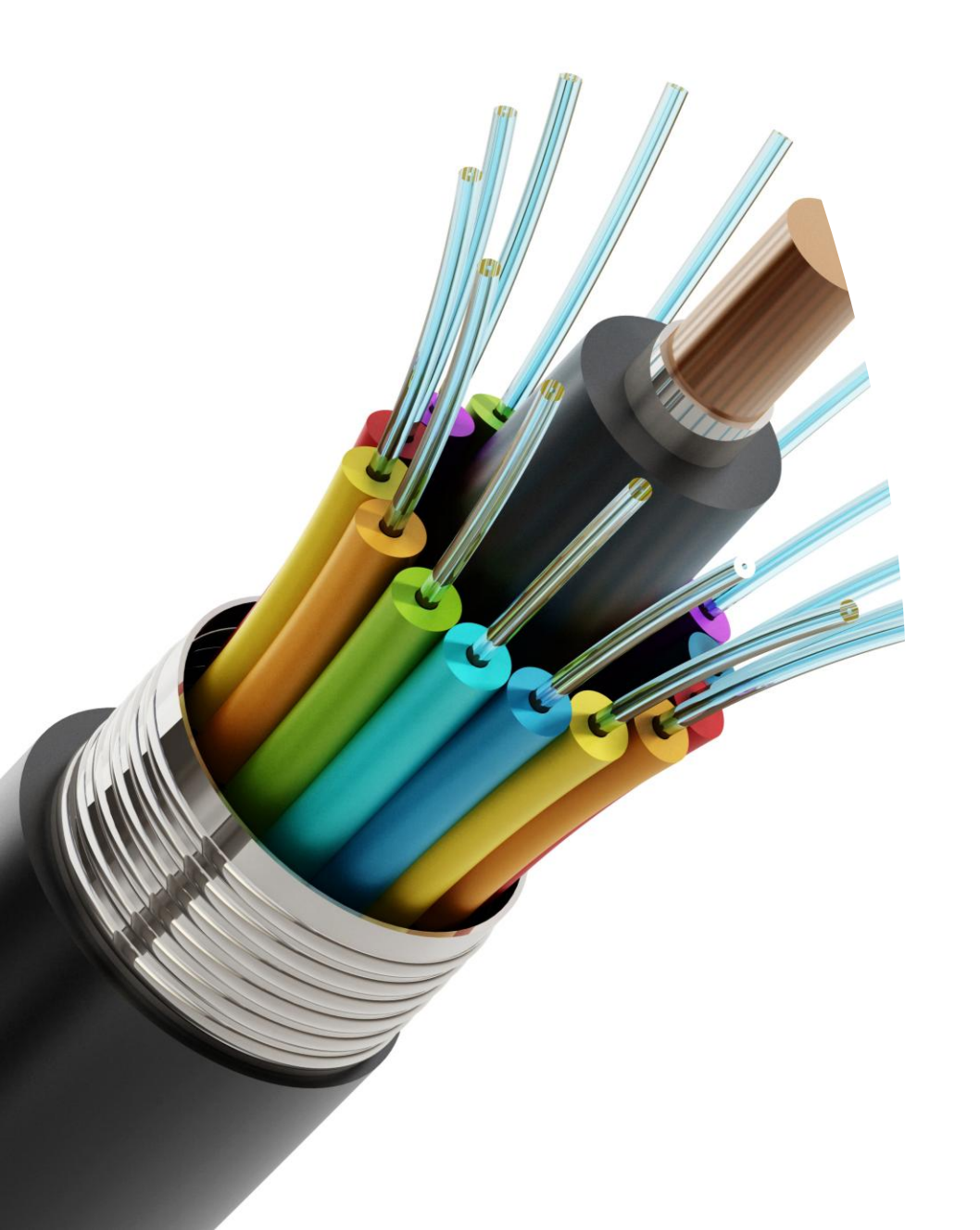
- Las propiedades de la luz también son comprendidas a través de la **fotónica** es el campo de la ciencia y la tecnología que estudia la **generación, manipulación, transmisión y detección de fotones**, es decir, de partículas de luz.
- A diferencia de la electrónica, que usa electrones para procesar y transmitir información, la fotónica utiliza la luz (fotones) para realizar estas funciones.





- Algunas áreas clave dentro de la fotónica son:
- Generación de luz: Incluye fuentes de luz como los láseres y los diodos emisores de luz (LEDs).





PROPIEDADES DE LA LIVE LUZ

- Algunas áreas clave dentro de la fotónica son:
- 2.Transmisión y control de la luz: Se refiere a cómo la luz se puede guiar a través de fibras ópticas o manipular usando dispositivos como moduladores ópticos.



PROPIEDADES DE LA COMPONICION DEL COMPONICION DE LA COMPONICION DEL COMPONICION DE LA COMPONICION DE L

- Algunas áreas clave dentro de la fotónica son:
- 3. Detección de luz: Incluye tecnologías como los fotodetectores y sensores ópticos.



- Algunas áreas clave dentro de la fotónica son:
- 4. Procesamiento óptico: Involucra la transmisión de datos y procesamiento de información a través de luz, lo que tiene aplicaciones en telecomunicaciones, tecnologías de la información y teledetección.







La óptica tiene aplicaciones en el desarrollo de instrumentos como gafas y telescopios.



La **fotónica** tiene aplicaciones relacionadas con las **telecomunicaciones** (por ejemplo, a través de la fibra óptica), la **medicina** (láseres en cirugía), la **fabricación de chips** y la **fabricación de** cámaras y sistemas de detección. Además, se considera una tecnología clave en el desarrollo de la computación cuántica y en sistemas de energía más eficientes (páneles solares)



La **biofotónica** investiga la interacción de la luz con sistemas biológicos, lo que permite tanto el análisis y diagnóstico como la intervención en organismos vivos, y esta directamente relacionada con la teledetección y el sensado remoto.

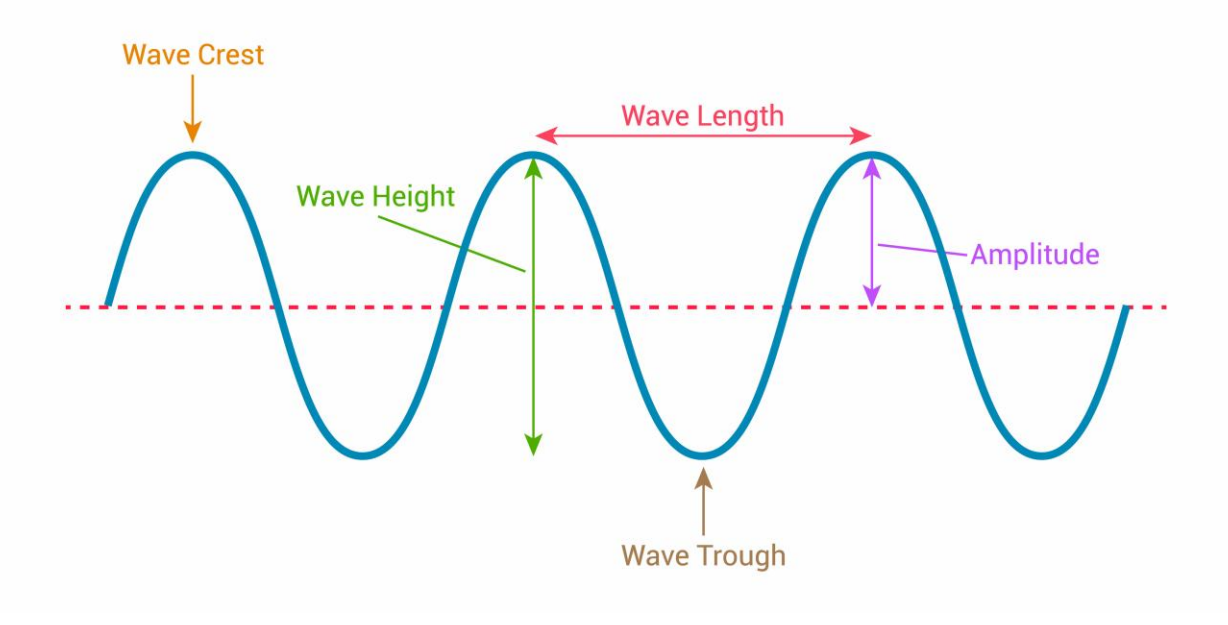




Espectro electromagnético y firmas espectrales

- Partes de una onda
- $\lambda = c/f$
- λ es la longitud de onda (wavelength)
- c es la velocidad de la luz $3x10^8 \ m/s$
- f= frecuencia en Hz (Hertz) o s^{-1}

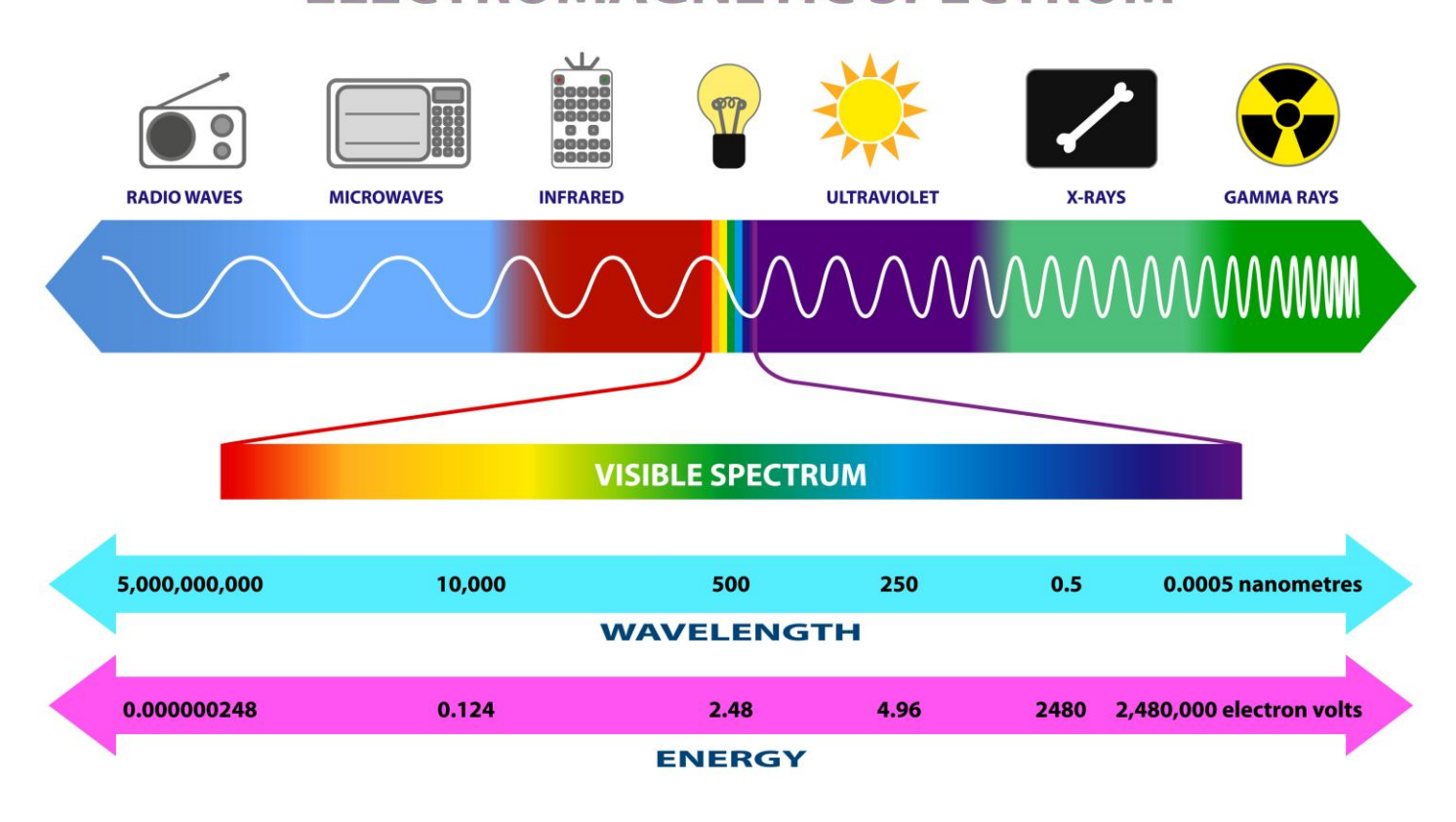
Parts of a wave





ELECTROMAGNETIC SPECTRUM

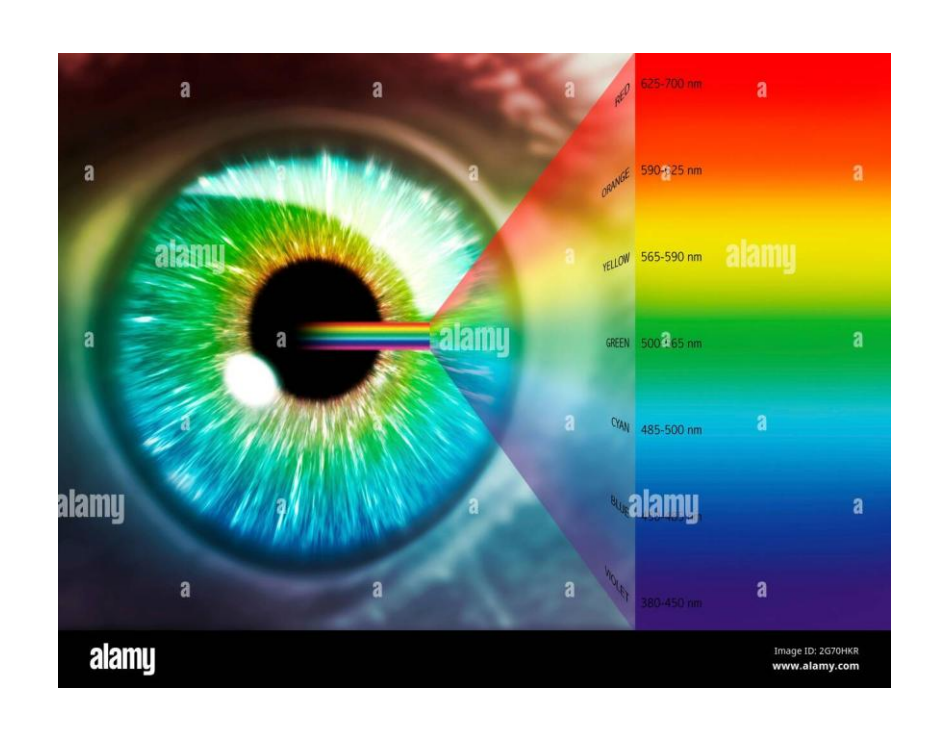
Espectro
electromagnético y
firmas espectrales





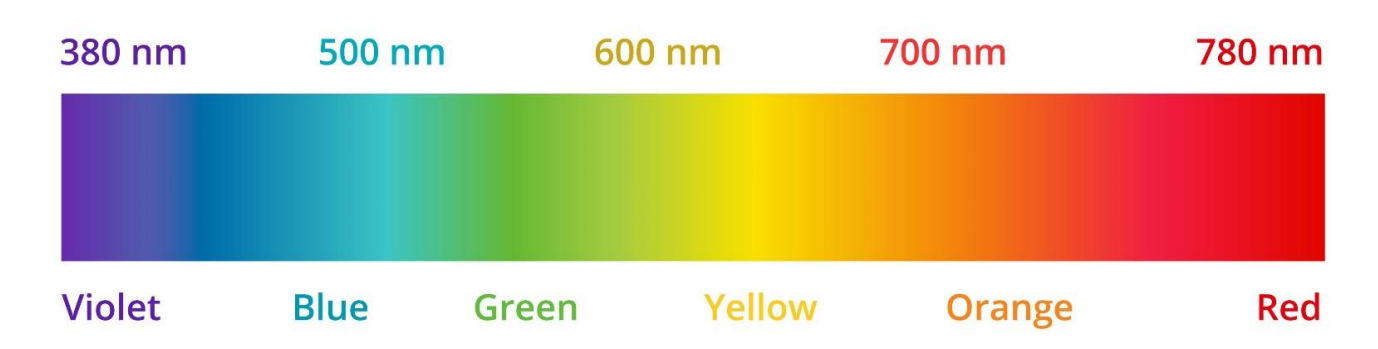
Espectro electromagnético y firmas espectrales

Espectro óptico



Bandas del espectro óptico: frecuencia del orden de $10^{12}\,$ Hz (Terahertz) y longitudes de onda de cientos de nanómetros

VISIBLE SPECTRUM

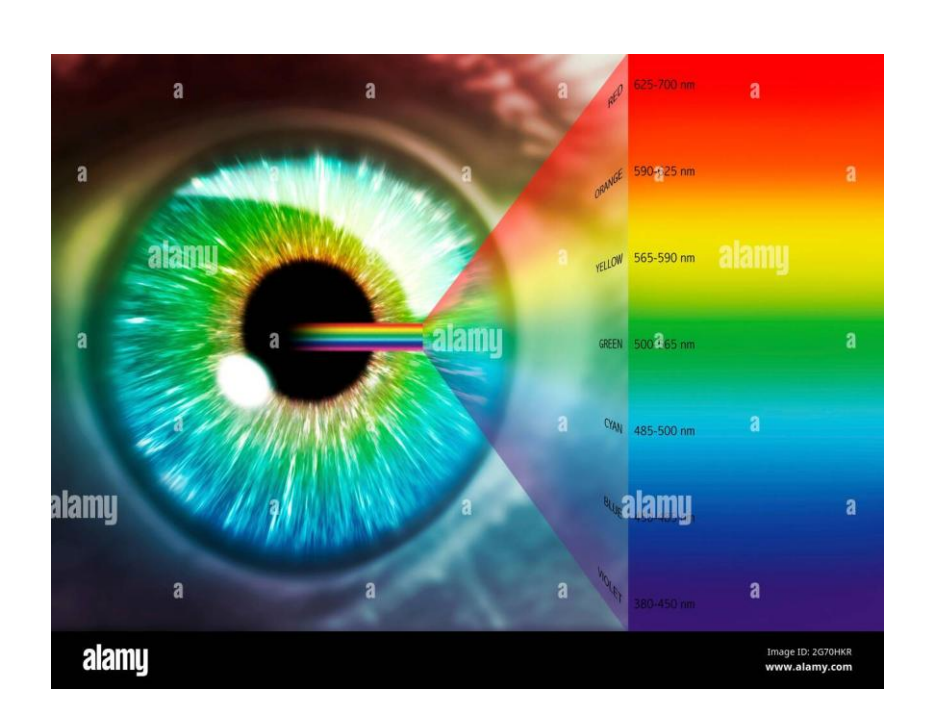






Espectro óptico

espectrales



Bandas del espectro óptico: frecuencia del orden de 10^{12} Hz (Terahertz) y longitudes de onda de cientos de nanómetros

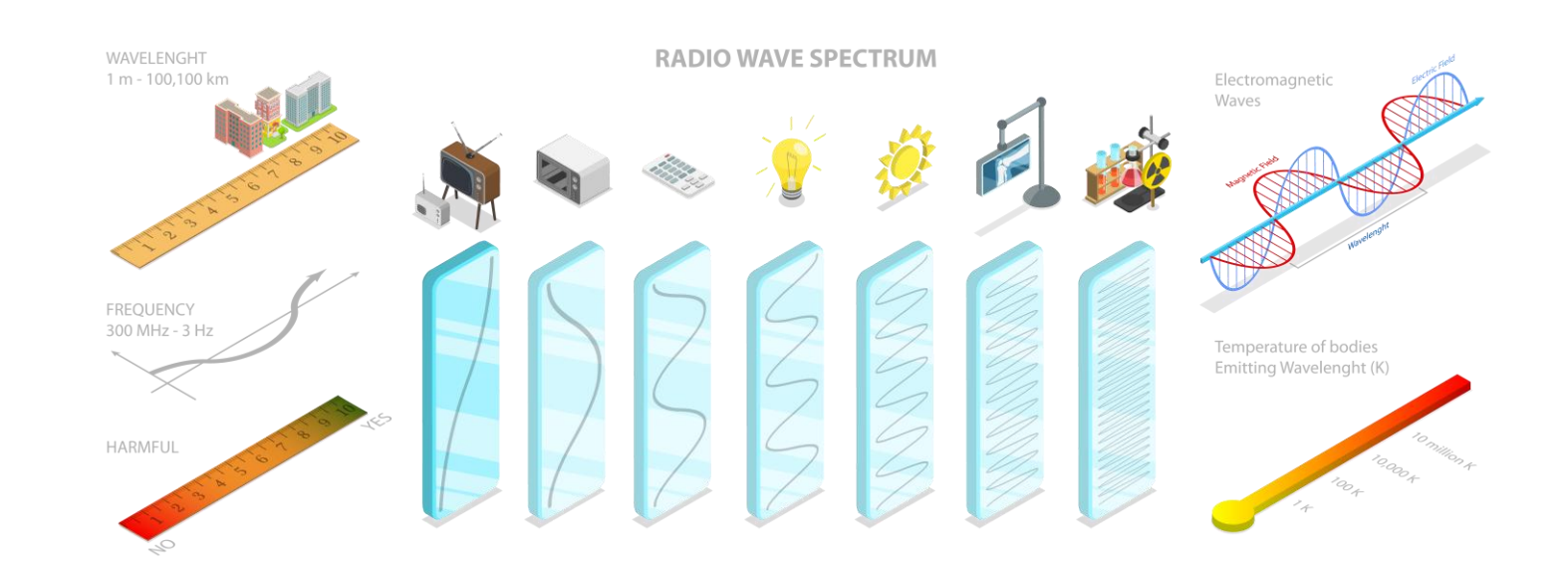




Espectro electromagnético y firmas espectrales

• BANDAS RADIOFRECUENCIA

• frecuencia del orden de 10^9 Hz (Gigahertz) y longitudes de onda de m y cm

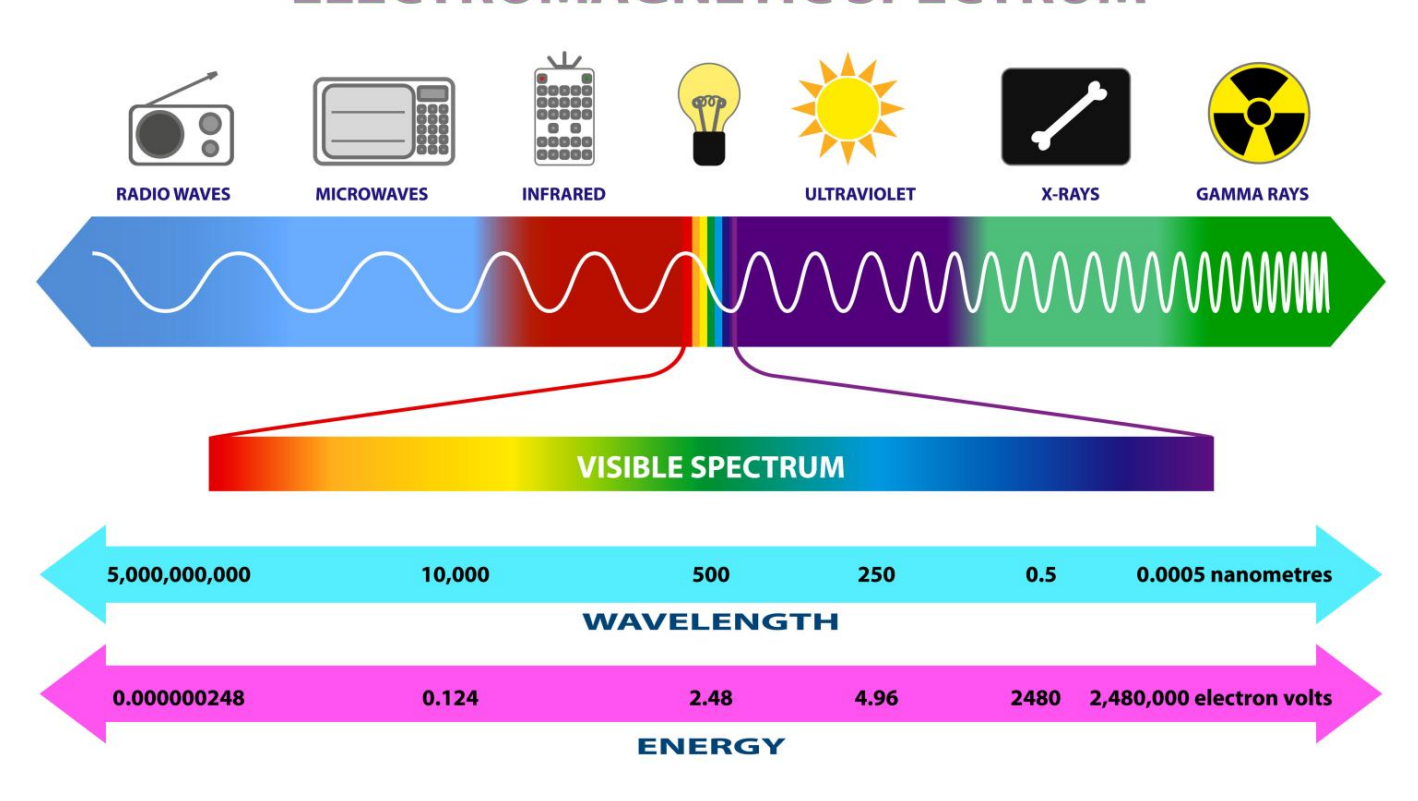




Espectro electromagnético y firmas espectrales

- 1.1. Bandas de interés y filtros ópticos
 - Banda óptica (300 nm 2000 nm) que incluye el espectro visible y el infrarojo cercano (NIR, Near Infrared hasta 1100 nm) y el infrarojo (desde 1100 nm hasta 2000 nm).
 - Espectro de radiofrecuencias (1-10 GHz).

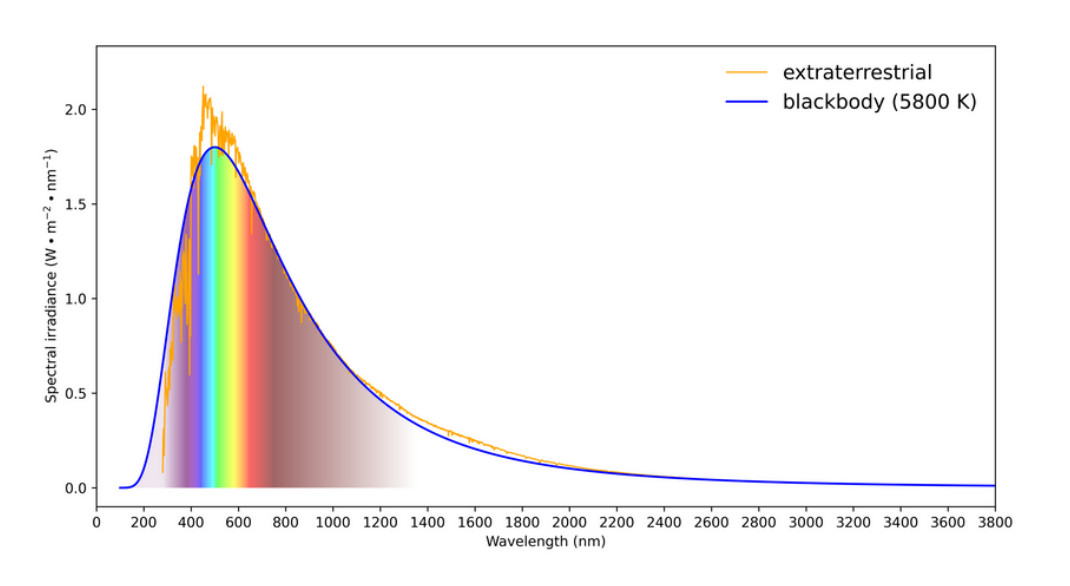
ELECTROMAGNETIC SPECTRUM



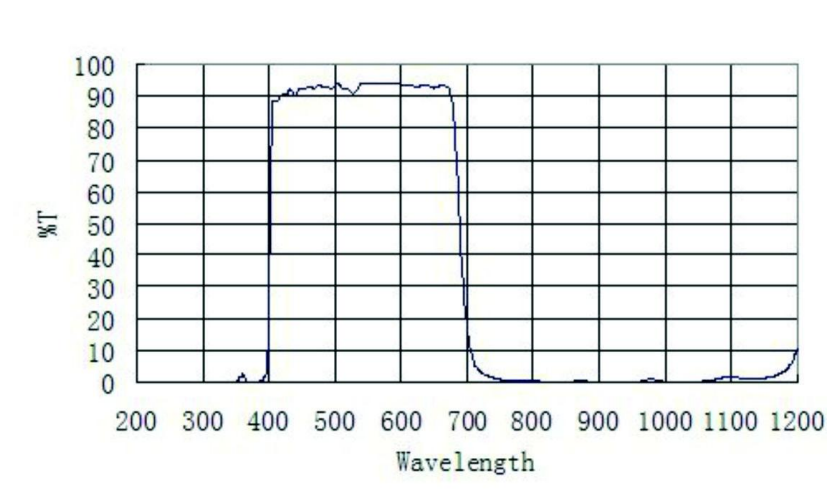


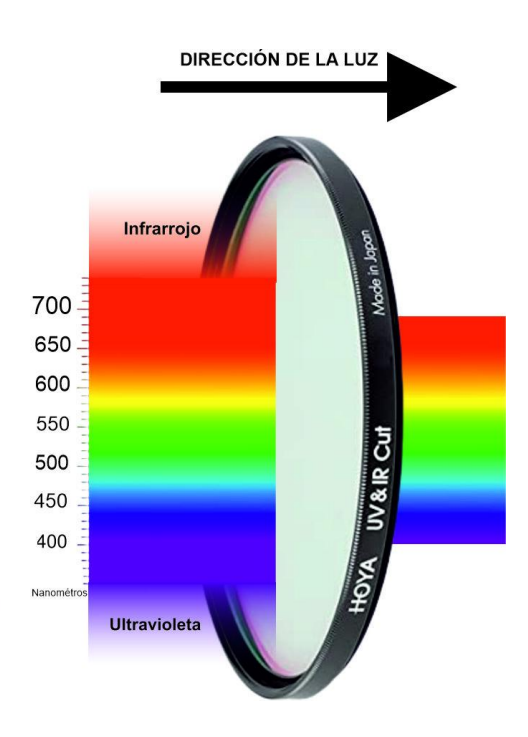
Espectro electromagnético y firmas espectrales

Espectro solar

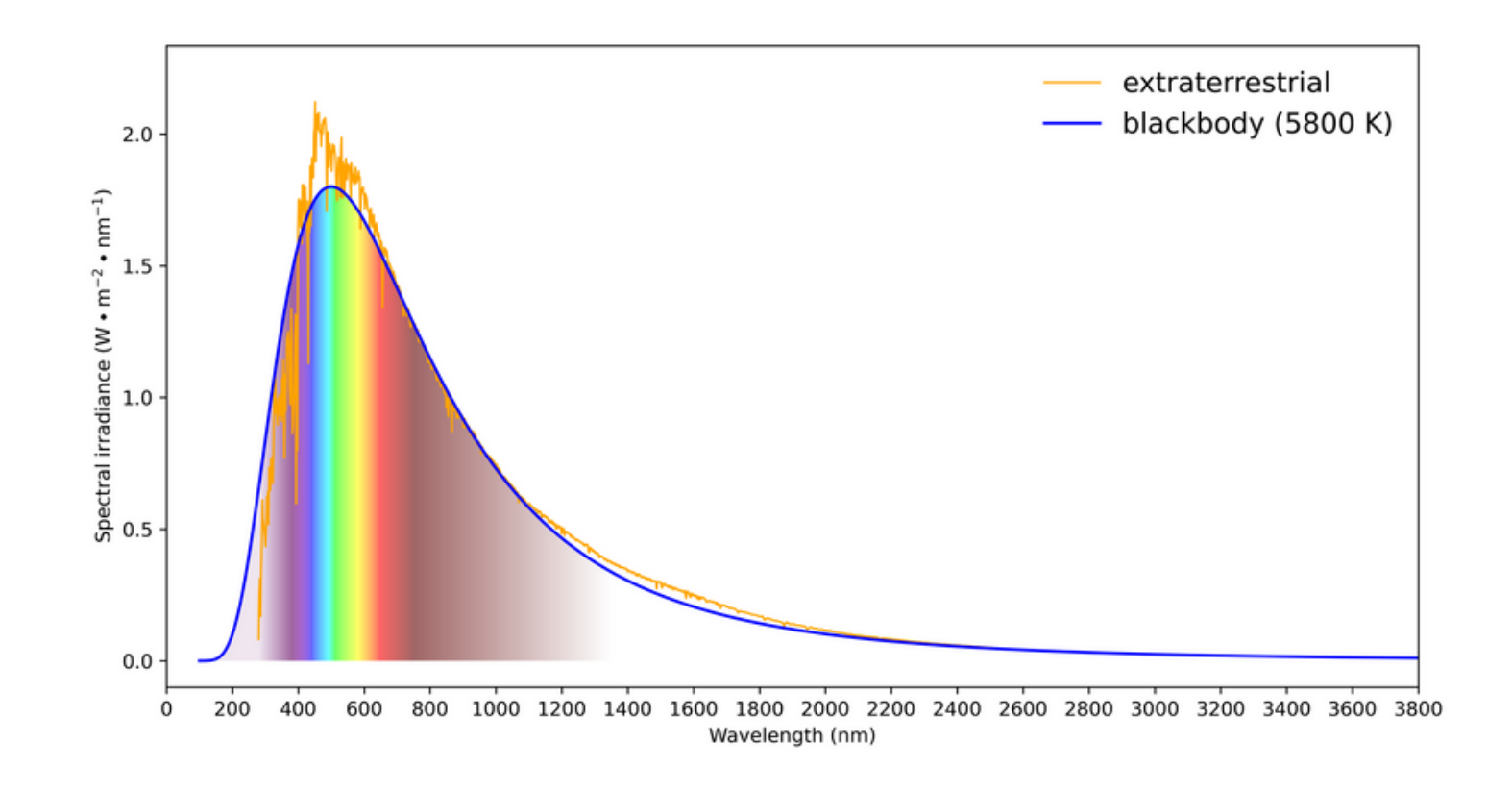


Filtro óptico





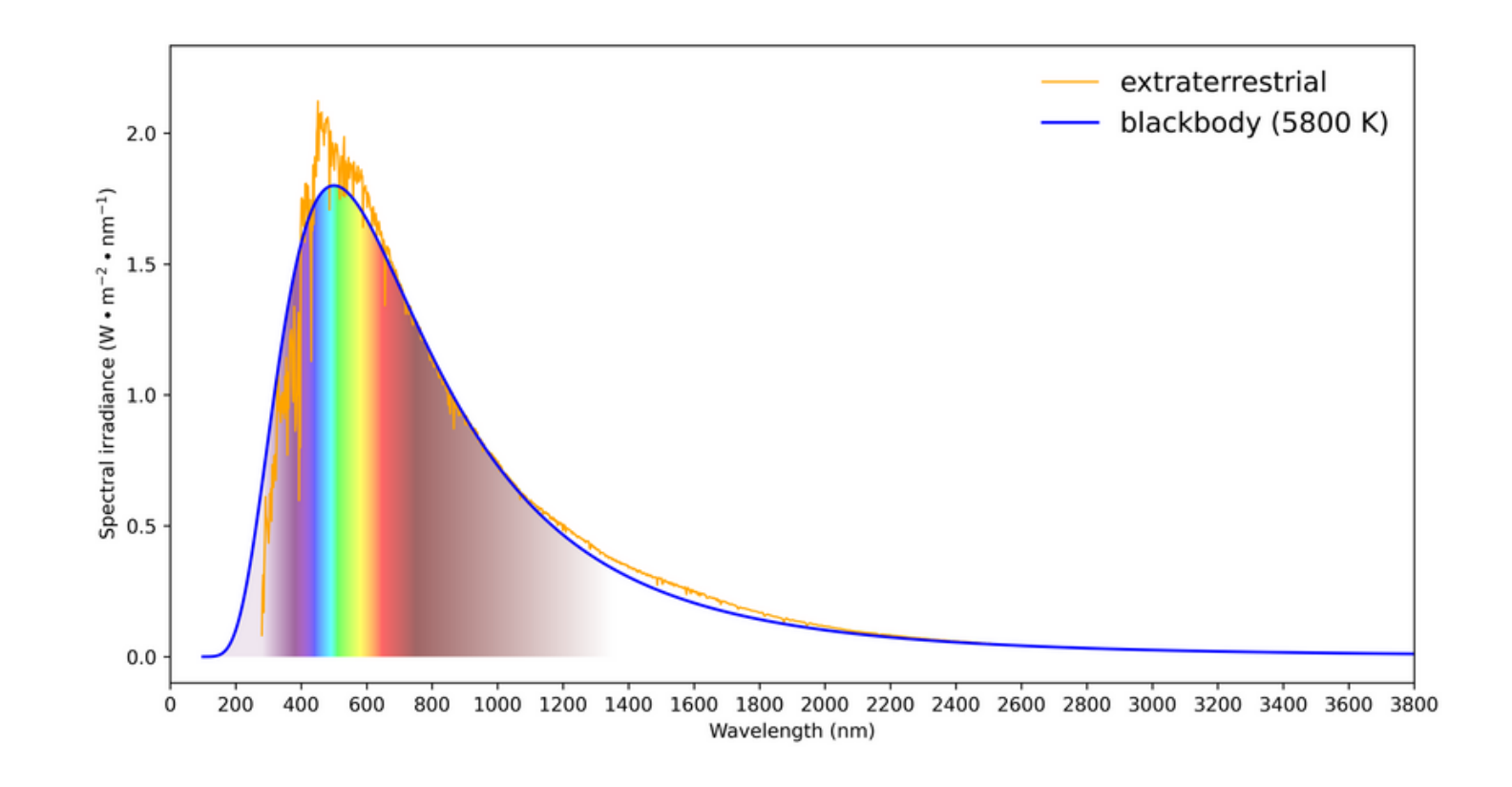
- Esta comparación demuestra cómo la física teórica del cuerpo negro se aplica exitosamente a objetos reales como las estrellas.
- Representa un cuerpo negro ideal a 5800 K, que es aproximadamente la temperatura de la superficie del Sol





Radiación de Cuerpo Negro (curva azul)

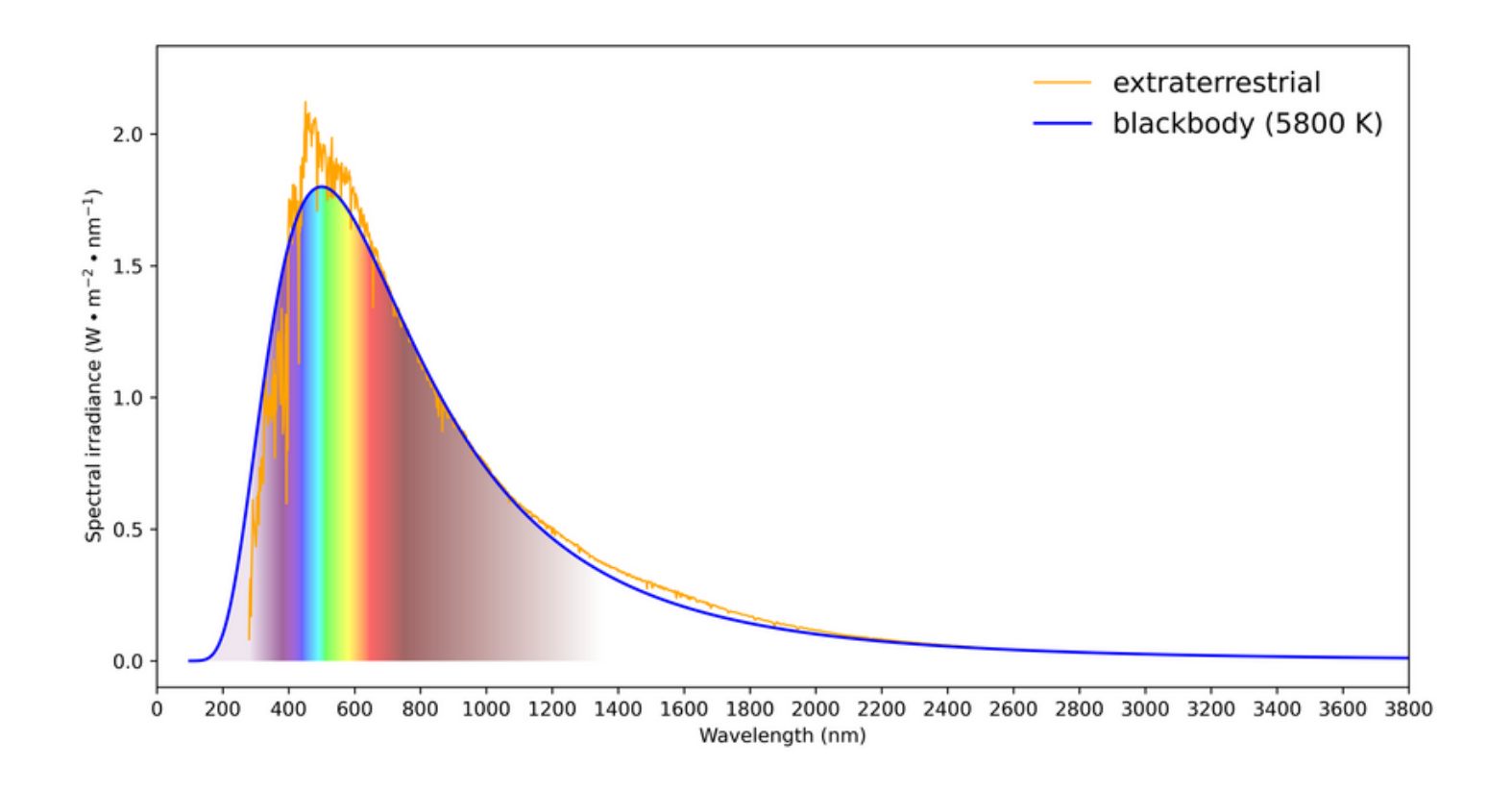
- Sigue la Ley de Planck, que describe cómo un objeto perfecto absorbe y emite radiación electromagnética.
- El pico está alrededor de 500 nm (luz verde-azul), siguiendo la **Ley de Wien**





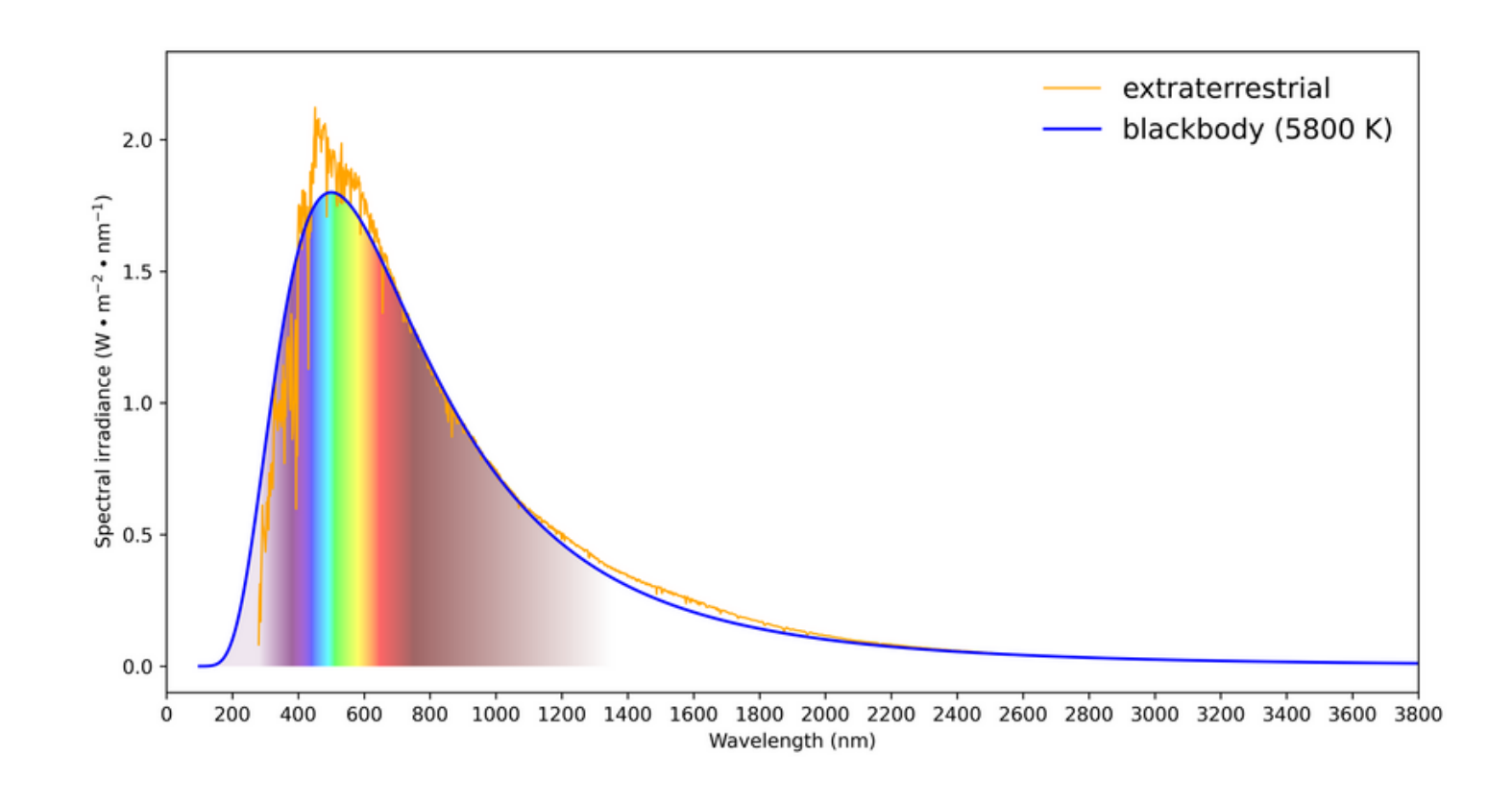
Radiación Solar Extraterrestre (curva naranja)

- Es la radiación solar real medida fuera de la atmósfera terrestre
- Se aproxima mucho a la curva de cuerpo negro, pero con algunas diferencias importantes:
 - Líneas de absorción: Las pequeñas "muescas" en la curva se deben a que ciertos elementos en la atmósfera solar absorben longitudes de onda específicas
 - Forma ligeramente diferente: El Sol no es un cuerpo negro perfecto





- •Espectro visible: La banda coloreada muestra que la mayor parte de la energía solar está en el rango visible (400-700 nm), donde nuestros ojos evolucionaron para ser sensibles
- •Distribución de energía: Ambas curvas muestran que hay radiación en todo el espectro electromagnético, pero concentrada en el visible e infrarrojo cercano
- •Temperatura estelar: La forma de la curva nos permite determinar la temperatura del Sol usando las leyes de radiación de cuerpo negro

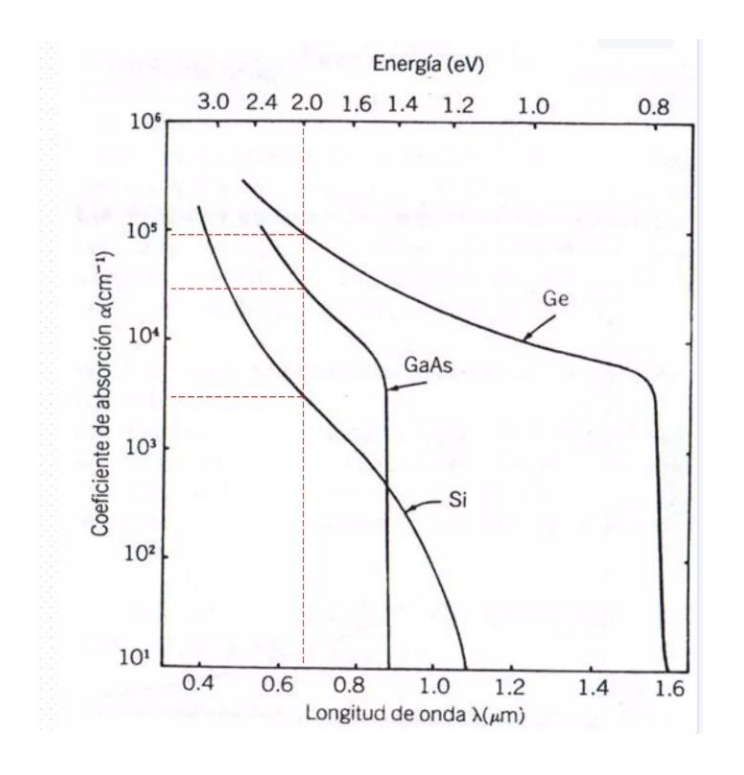




Espectro electromagnético y firmas espectrales

Fotodiodos de Silicio 300 – 1000 nm.

Fotodiodo de silicio - S series - HAMAMATSU - de infrarrojos / UV (directindustry.es)



Espectro electromagnético y firmas espectrales

- 1.4. Ciencia de los materiales de detectores ópticos e IR
- Detectores ópticos son los elementos constitutivos de cámaras digitales.
- Matriz de una cámara digital -Sensores fotodiodo de luz fabricados en silicio para conformación de matrix de píxeles RGB (rojo (Red) verde(Green) azul (BLUE). Matriz de pixeles (Photosite matrix array).







Ciencia de los materiales de detectores ópticos e IR

Tipos de cámaras digitales

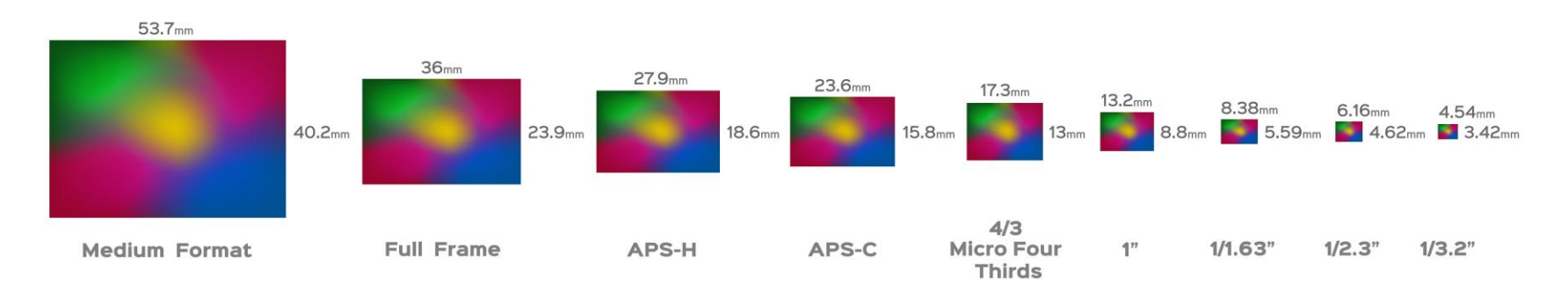
- Sensores CCD (Coupling Charge Device).
- Sensor CMOS (Complementary Metallic Oxide Semiconductor)
- El sensor DGO (salida de ganancia doble)
- El sensor SPAD (de fotodiodos de avalancha para entornos oscuros)

Explicación de los sensores de cámara - Canon Spain

1. Espectro electromagnético — bandas corporación colombiana de ópticas



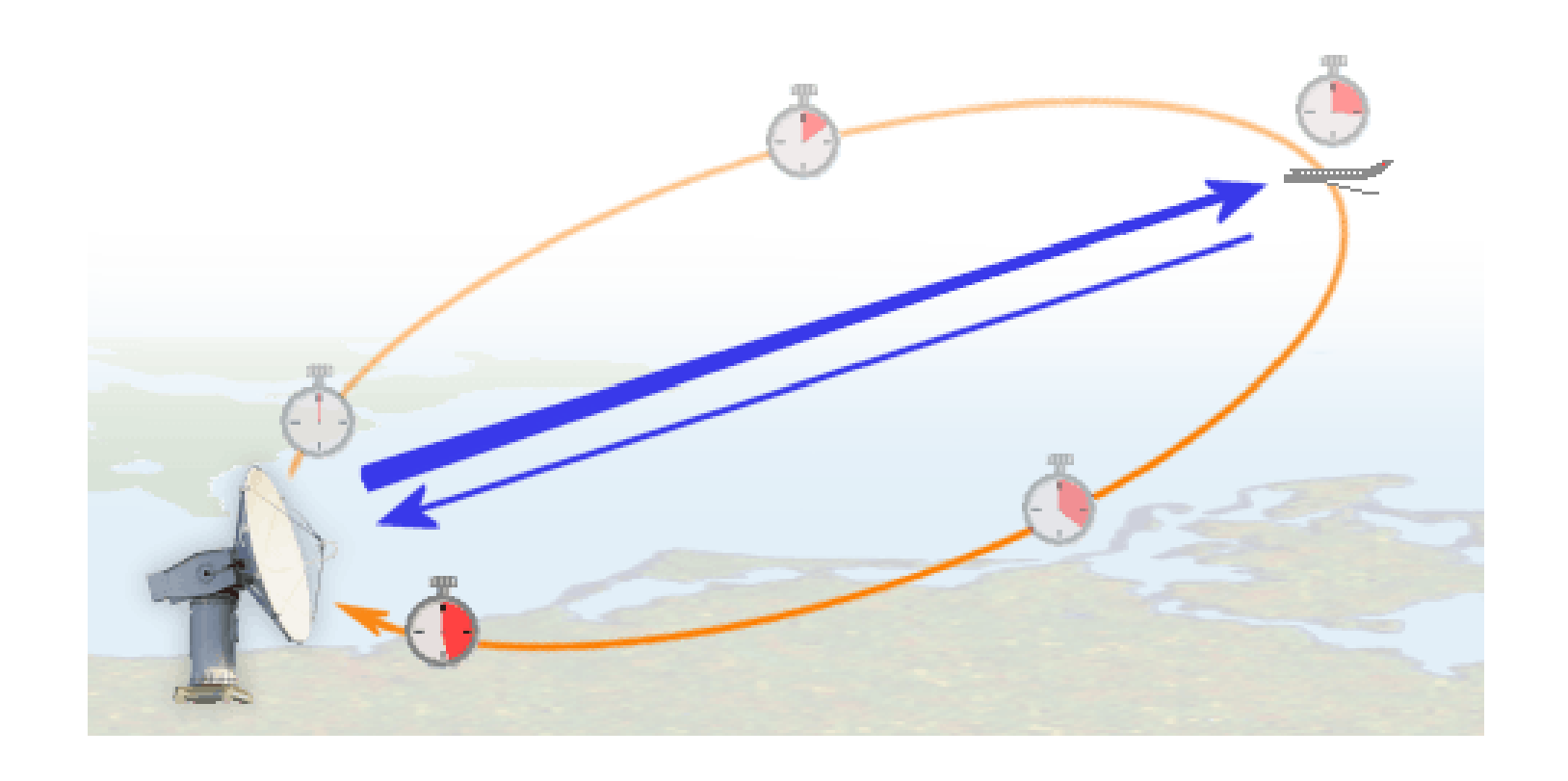
Camera Sensor





Espectro electromagnético y firmas espectrales

- Configuración de sensores radar (RADAR)
- Proviene del inglés "Radio Detection and Ranging", que significa "Detección y medición de distancias por radio". A través de la emisión de ondas de radio y la recepción de las señales reflejadas, los radares pueden determinar la distancia, velocidad, dirección y altitud de los objetos.

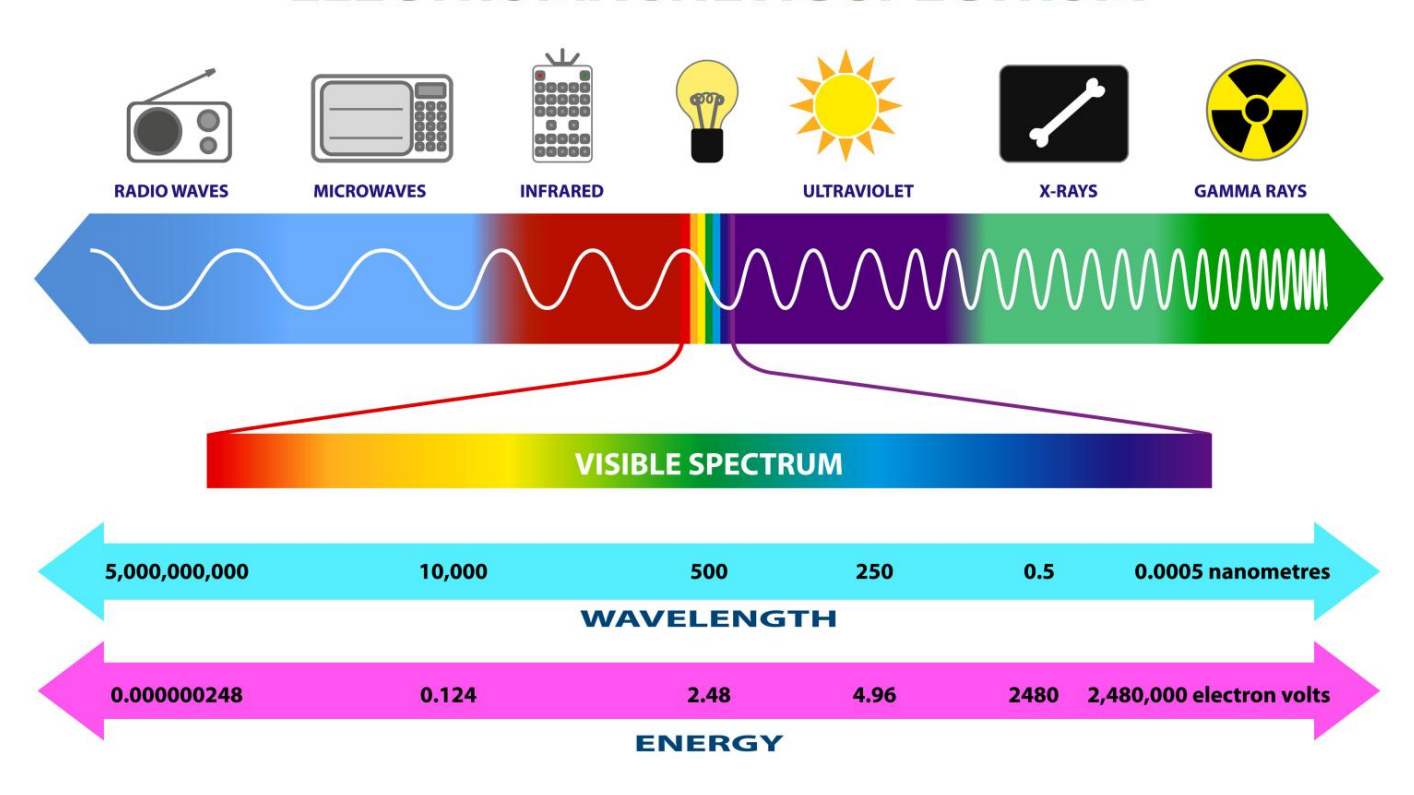




Espectro electromagnético y firmas espectrales

- Configuración de sensores radar (RADAR)
- Son ondas de radio o microondas, que son parte del espectro electromagnético con frecuencias que van desde 3 kHz hasta 300 GHz, se propagan al igual que en el dominio óptico a la velocidad de la luz (3x10 8)
- Las bandas de frecuencia más comunes en radares son las bandas L, S, C, X, K y Ka

ELECTROMAGNETIC SPECTRUM

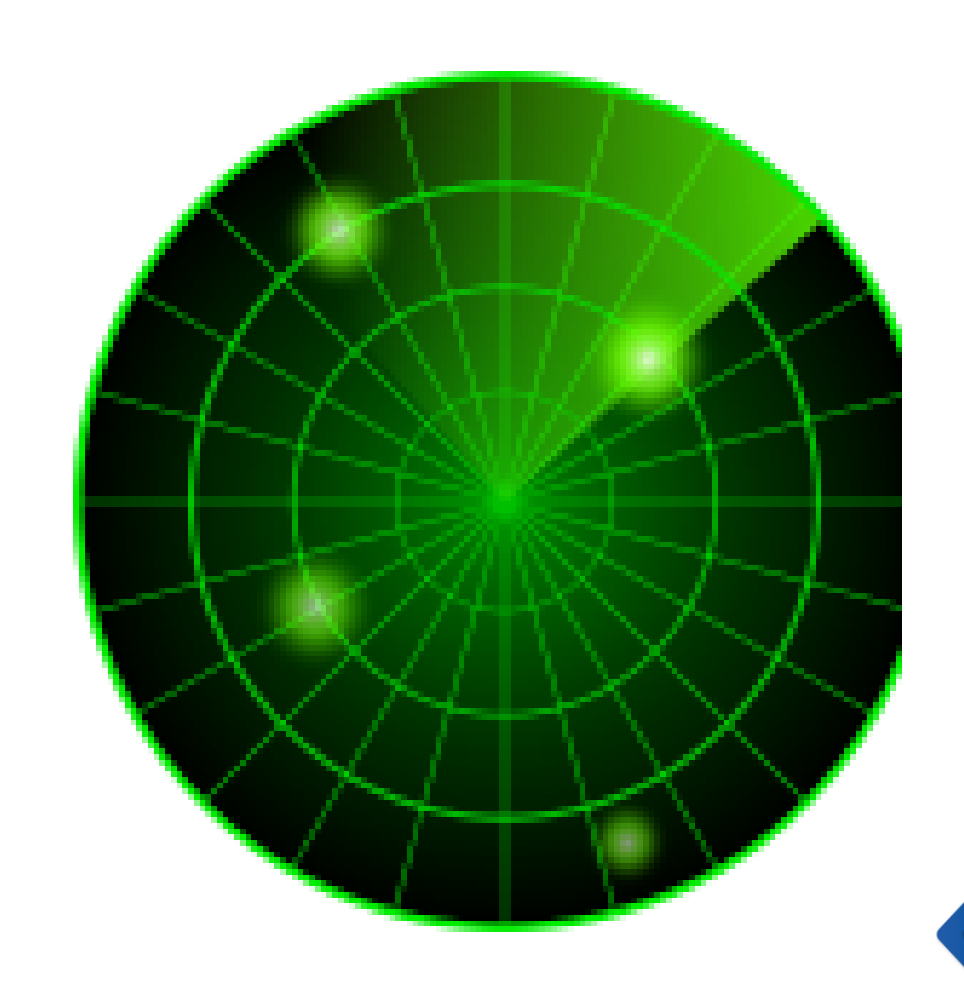


Espectro electromagnético y firmas espectrales



1.5. Configuración de sensores radar (RADAR):

- Bandas de RADAR:
- Banda L (1-2 GHz): Detección de largo alcance y penetración en obstáculos.
- Banda S (2-4 GHz): Radares meteorológicos y de tráfico aéreo.
- Banda C (4-8 GHz): Radares meteorológicos y de comunicaciones.
- Banda X (8-12 GHz): Alta resolución, utilizada en radares de control de tráfico aéreo y radares de imágenes.
- Banda K (18-27 GHz): Radares de corto alcance, como en los automóviles



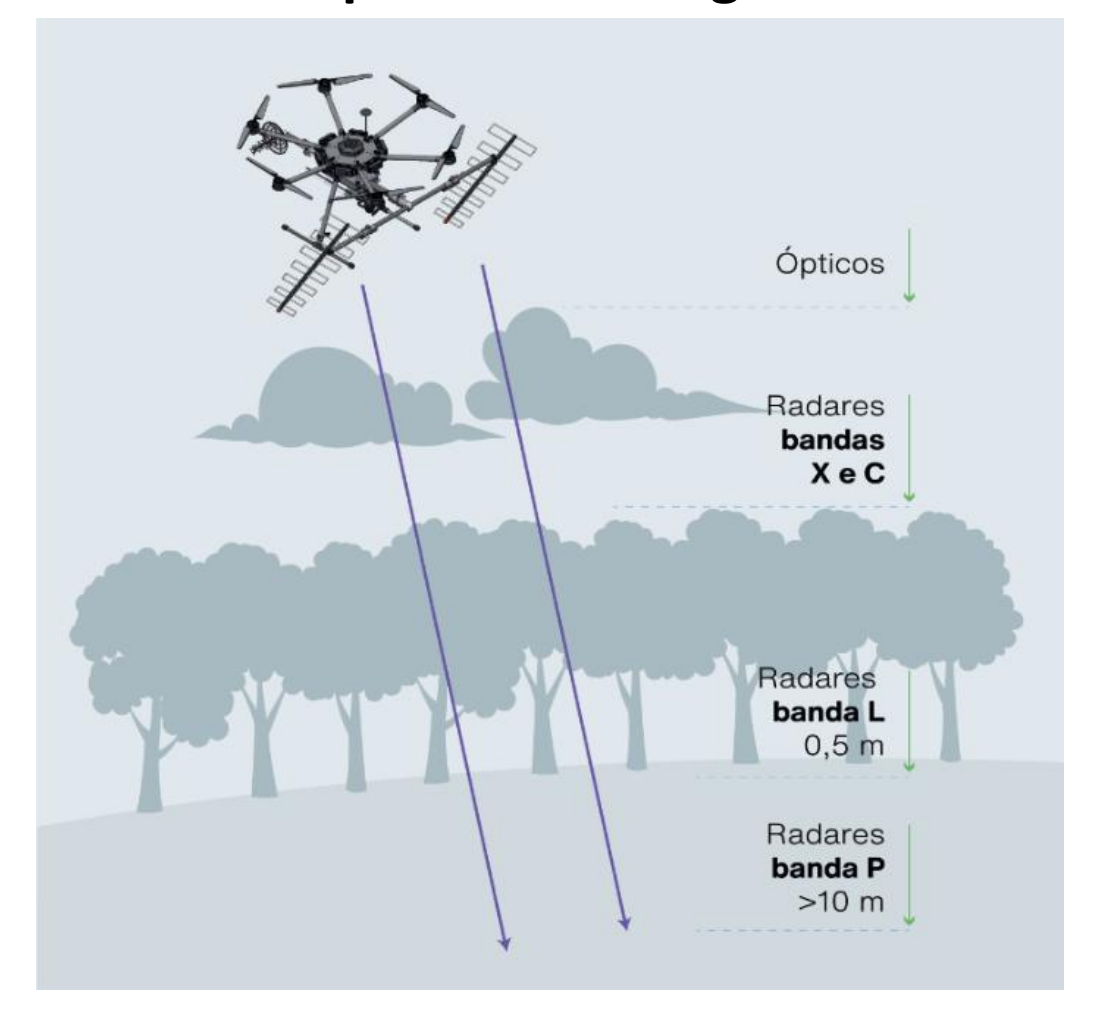




Configuración de sensores radar (RADAR):

banda	frecuencia	Longitud de onda	Resolución
Р	400 MHz	75 cm	2 cm
L	1,2 GHz	25 cm	6 cm
С	5,5 GHz	5,5 cm	18 cm

Aplicación en Agro





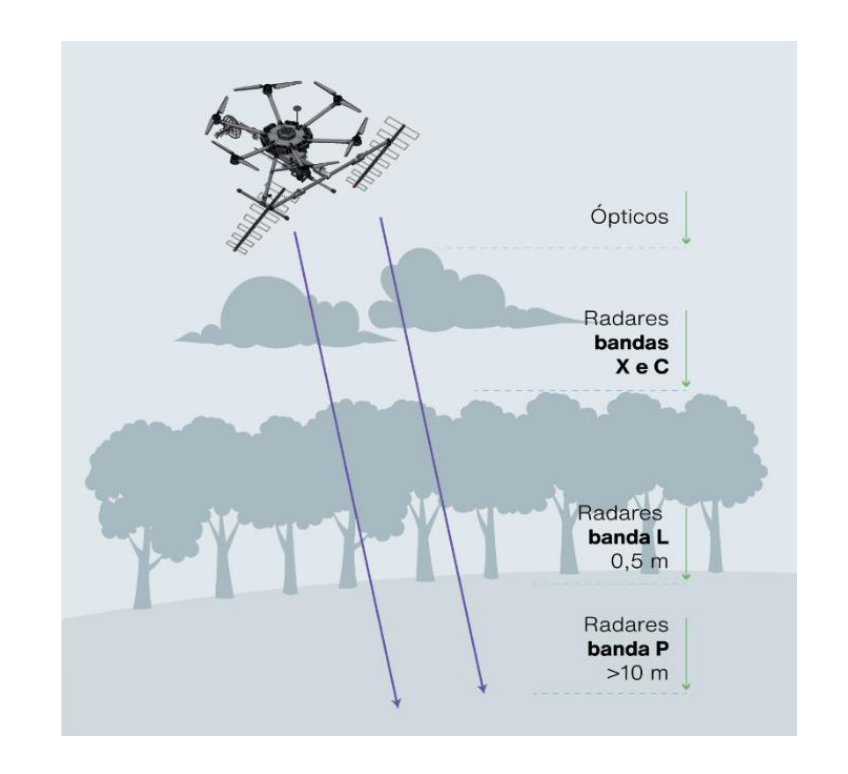


1.5. Configuración de sensores radar (RADAR):

- Banda L (1-2 GHz): En Agricultura alcanza la camada superior de la vegetación y el suelo.
- Banda C (4-8 GHz): Mide el volumen de la vegetación (biomasa) y la camada superior del suelo.
- Banda P (300 900 MHz): Penetra el suelo con y sin vegetación.

Radar embarcado em drone (RD) (radaz.com.br)

Aplicación en Agro



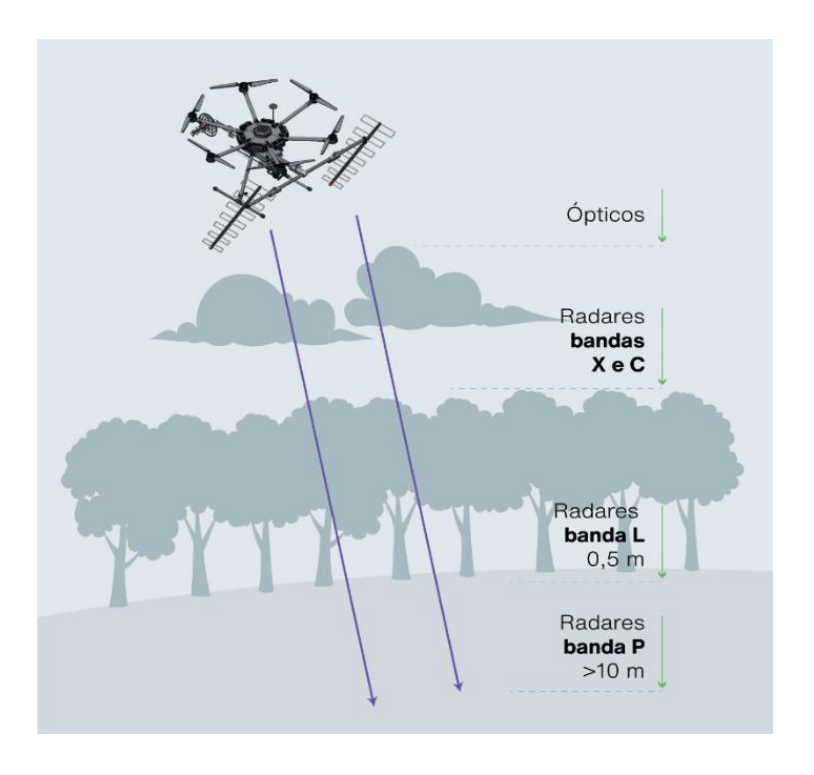


¿Cómo la selección del dominio en el espectro electromagnético (óptico o radar) en recursiva permite caracterizar las aplicaciones directas de tecnologías de medición?

ÓPTICO



RADAR

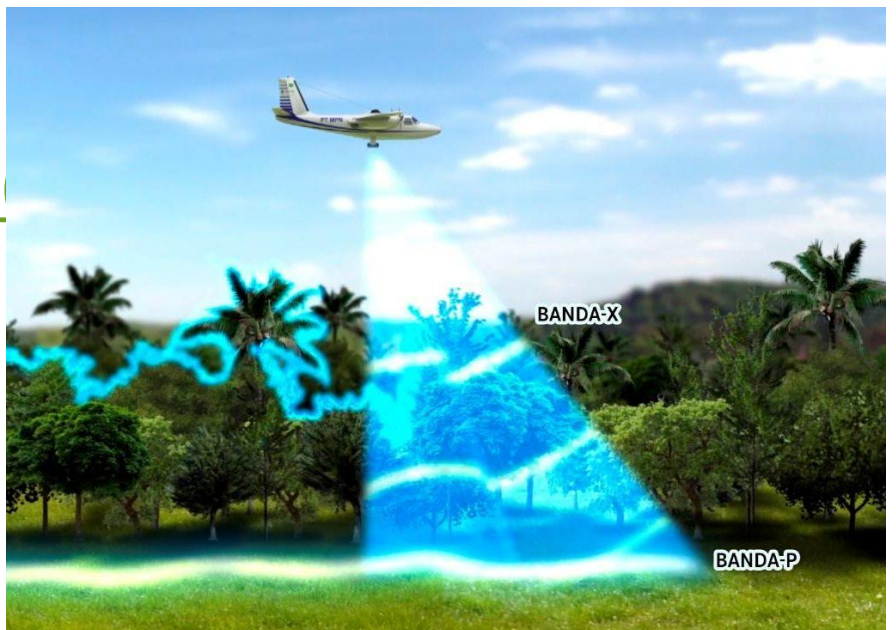






Configuración de sensores radar (RADAR)

Radar embarcado em drone (radaz.com.br)





Espectro electromagnético y firmas espectrales

Radiometría y fotometría

• Radiometría: mide la radiación electromagnética en términos de su energía independiente de su longitud de onda. Emplea técnicas y conceptos para cuantificar la cantidad de energía en forma de radiación que emite, transmite o refleja una fuente.

• Fotometría: se encarga de medir la luz visible en términos de su percepción por el ojo humano. A diferencia de la radiometría, que mide todas las formas de radiación electromagnética, la fotometría se enfoca en las propiedades de la luz dentro del espectro visible (aproximadamente entre 380 y 750 nanómetros), que es la porción del espectro electromagnético que puede ser vista por el ser humano



¿Qué es la radiometría?

La radiometría es la rama de la física que se encarga de medir la energía de la radiación electromagnética, en términos de cantidad absoluta de energía (sin importar su efecto visual, térmico o biológico). Es fundamental en campos como la teledetección, la astronomía, la fotometría, y la calibración de sensores.

En sensores remotos, la **radiometría** permite medir la **cantidad de energía reflejada o emitida por una superficie terrestre**, lo cual se traduce en **valores digitales (DN)** en las imágenes satelitales.

Ejemplo:

Un sensor multiespectral de Sentinel-2 mide cuánta energía refleja una planta en la banda del infrarrojo cercano (NIR). Esto se relaciona con su contenido de agua o vigor fotosintético. Estas tienes unas unidades específicas de las medidas absolutas de energía radiante en cada banda



Espectro electromagnético y firmas espectrales

Unidades radiométricas:

✓ Potencia radiante: energía electromagnética emitida, reflejada o transmitida por una fuente en todas las direcciones por unidad de tiempo (unidad= [W], watt)

1 W = 1 joule/segundo [J/s]

✓ Irradiancia: mide la cantidad de energía radiante que incide sobre una superficie por unidad de área.

1 W/m² es la potencia radiante por metro cuadrado.



Espectro electromagnético y firmas espectrales

Unidades radiométricas.

✓ Intensidad radiante: mide la cantidad de energía radiante emitida por una fuente en una dirección específica dentro de un ángulo sólido (estereorradián).

1 W/sr es la potencia radiada por unidad de ángulo sólido (estereoradian).



Espectro electromagnético – bandas ópticas

Unidades radiométricas:

✓ Radiancia: mide la potencia radiante emitida o reflejada por una superficie en una dirección dada por unidad de área y por unidad de ángulo sólido.

1 W/m²·sr es la radiación emitida desde una superficie en una dirección específica.

✓ Energía radiante: cantidad total de energía emitida o recibida en forma de radiación electromagnética.

1 joule [J] es la unidad de energía que corresponde a 1 vatio por segundo (1 J = 1 $W \cdot s$).



Principales magnitudes radiométricas

Magnitud	Símbolo	Unidad SI	¿Qué mide?
Potencia radiante	Φ	Watt (W)	Energía por segundo (flujo total)
Irradiancia	E	W/m²	Energía recibida por unidad de área
Radiancia	L	W/m²·sr	Energía por unidad de área, por ángulo sólido
Energía radiante	Q	Joule (J)	Cantidad total de energía emitida, recibida o transferida



Importancia de las magnitudes radiométricas en teledetección.



Calibrar sensores ópticos (satélites, cámaras, drones)



Comparar imágenes tomadas en diferentes fechas o sensores



Estimar propiedades biofísicas de la vegetación, como:



Contenido de clorofila



Índices de vegetación (NDVI, SAVI)



Biomasa



Temperatura superficial (radiometría térmica)



Resolución radiométrica

- Es la capacidad de un sensor para discriminar pequeñas diferencias en la intensidad de la radiación electromagnética. Se expresa en bits.
- **DN (Digital Number)**: Valor numérico que representa la cantidad de radiación registrada por el sensor en una banda específica.
- Con mayor resolución radiométrica, el sensor puede detectar sutiles diferencias de reflectancia en la vegetación.



Resolución radiométrica

Resolución	Niveles digitales	(DN)	Precisión
------------	-------------------	------	-----------

8 bits 256 niveles (0–255) Baja

10 bits 1.024 niveles (0–1023) Media

12 bits 4.096 niveles Alta

16 bits 65.536 niveles Muy alta



Resolución radiométrica de sensores en plataformas comerciales de teledetección

Sensor	Resolución radiométrica	Resolución espacial(/pix)
Sentinel-2	12 bits	10 m (bandas clave)
Landsat 8/9 OLI	12 bits	30 m
Drones	10–12 bits	5–20 cm
(Micasense y DJI)	14 bits	2.3 cm
MODIS	12 bits	250–1000 m



Espectro electromagnético y firmas espectrales

Unidades fotométricas

- ✓ Flujo luminoso: mide la cantidad total de luz emitida por una fuente en todas las direcciones. Es la medida de la potencia de luz visible que percibe el ojo humano.
- 1 lumen = 1 candela * 1 estereorradián.
- ✓ Intensidad luminosa: mide la cantidad de luz que una fuente emite en una dirección particular dentro de un ángulo sólido. Es la cantidad de flujo luminoso por unidad de ángulo sólido.
- 1 candela = 1 lumen * estereorradián.
- ✓ Iluminancia: mide la cantidad de luz que incide sobre una superficie. Es el flujo luminoso por unidad de área.
- $1 \text{ lux} = 1 \text{ lumen/m}^2$.



Espectro electromagnético – bandas ópticas

Unidades fotométricas

✓ Luminancia - Candela por metro cuadrado (cd/m²):La luminancia mide el brillo percibido de una superficie que emite o refleja luz. Tiene en cuenta la intensidad luminosa y el área desde la cual se emite la luz.

1 candela/m² es la cantidad de candelas emitidas por unidad de área en una dirección dada.

✓ La eficacia luminosa: mide la eficiencia con la que una fuente de luz convierte energía eléctrica en luz visible.

1 lumen * watt = Flujo luminoso (lm) / Potencia consumida (W).

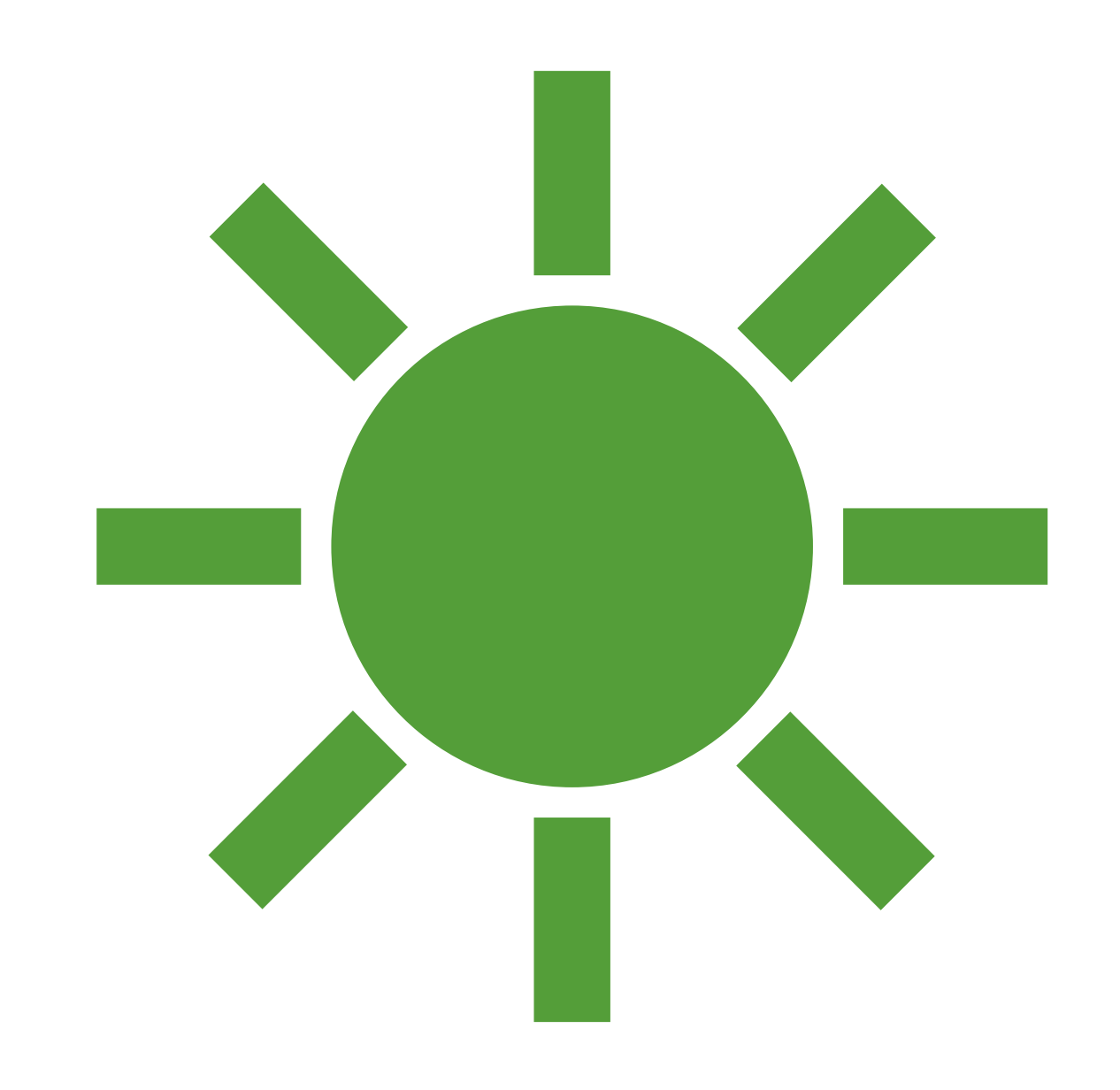


Resumen de magnitudes fotométricas

Magnitud	Símbolo	Unidad SI	¿Qué mide?
Flujo luminoso	Фv	lumen (lm)	Cantidad total de luz visible emitida
Intensidad luminosa	lv	candela (cd)	Luz emitida en una dirección
Iluminancia	Ev	$lux (lx = lm/m^2)$	Luz que incide sobre una superficie
Luminancia	Lv	cd/m²	Luz reflejada o emitida por una superficie en una dirección dada

Importancia de la fotometría

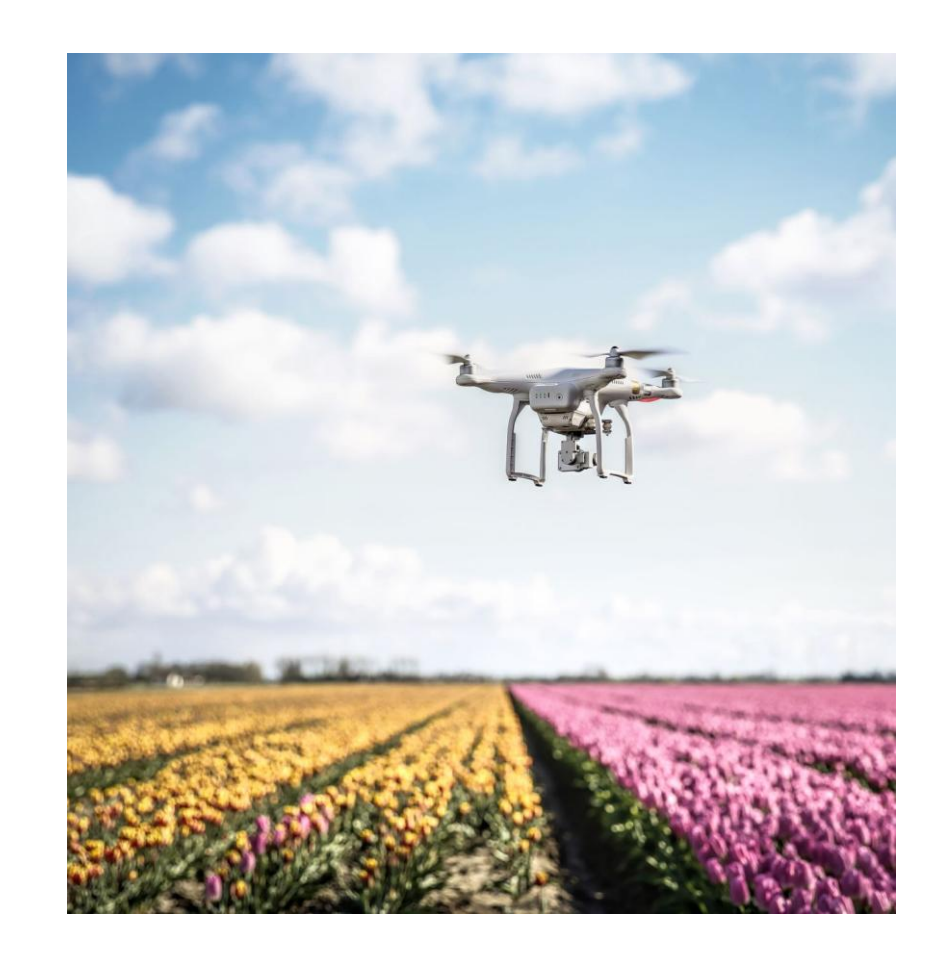
- La fotometría se basa en la curva de luminosidad fotópica, que representa la respuesta del ojo humano a diferentes longitudes de onda, con un pico en los 555 nm (verde).
- Evaluación de iluminación artificial para crecimiento vegetal
- Control de ambientes indoor o bajo invernadero
- Comparaciones de intensidad luminosa en sistemas agrovoltaicos o silvopastoriles con sombra



¿Qué es la radiometría de campo y su uso en teledetección?

La **radiometría de campo** en teledetección es una herramienta clave para validar, calibrar y entrenar modelos predictivos con sensores remotos:

- Cámaras mutiespectrales en satélites o drones (matriz de pixeles 2D)
- Sensor multiespectral de diferentes bandas (pixel 1D)
- Espectrómetros "portátiles" (pixel 1D o matriz de pixel sensible a alrededor 1000 longitudes de onda). Nota aclaratoria: "espectrómetros portátiles no son sensores remotos, son sensores proximales, y se convierten en remotos cuando son portados por plataformas".
- ¿Se podría a través de sensores multiespectrales estimar el espectro de un objeto?. Radiometro multiespectral.





¿Qué es la radiometría de campo y su uso en teledetección?

Es la medición in situ de la energía electromagnética reflejada o emitida por una superficie (como un cultivo o pasto) mediante instrumentos especializados, como espectrómetros portátiles o radiómetros multiespectrales.

Estas mediciones:

- Se hacen sobre el terreno (parcelas, padocks o lotes)
- Se registran en condiciones controladas (ángulo solar, nubes, humedad)
- Se usan como referencia terrestre, es decir los valores de dicha energía en la superficie sensada en términos de unidades radiométricas.

¿Para que se utiliza la radiometría en campo?

La radiometría de campo se utiliza para:

- 1. Validar imágenes satelitales o de drones
- 2. Calibrar sensores remotos (corrección atmosférica, geométrica, radiométrica)
- 3. Extraer la firma espectral de cultivos o coberturas específicas
- **4. Entrenar modelos de ML** con variables biofísicas reales (ej. biomasa, humedad, clorofila)





Comparación de dos plataformas radiométricas

Característica	Satélites (ej. Sentinel-2)	Drones (ej. MicaSense, Parrot Sequoia)
Resolución espacial	10–30 m	5–20 cm
Bandas espectrales	Discretas (4–13 bandas)	Discretas (4–6 bandas típicamente)
Ventaja	Cobertura amplia y frecuente	Alta resolución y flexibilidad temporal
Limitación	No tan preciso sin calibración	Requiere paneles de calibración

Característica de un "sensor proximal", espectrómetro portátil Característica Detalle Visible hasta SWIR (ej. 350– Rango espectral 2500 nm) Resolución espectral Alta (1–10 nm) Reflectancia espectral Qué mide continua por superficie vegetal Sirve como "verdad de Relación con sensores campo" para calibrar sensores

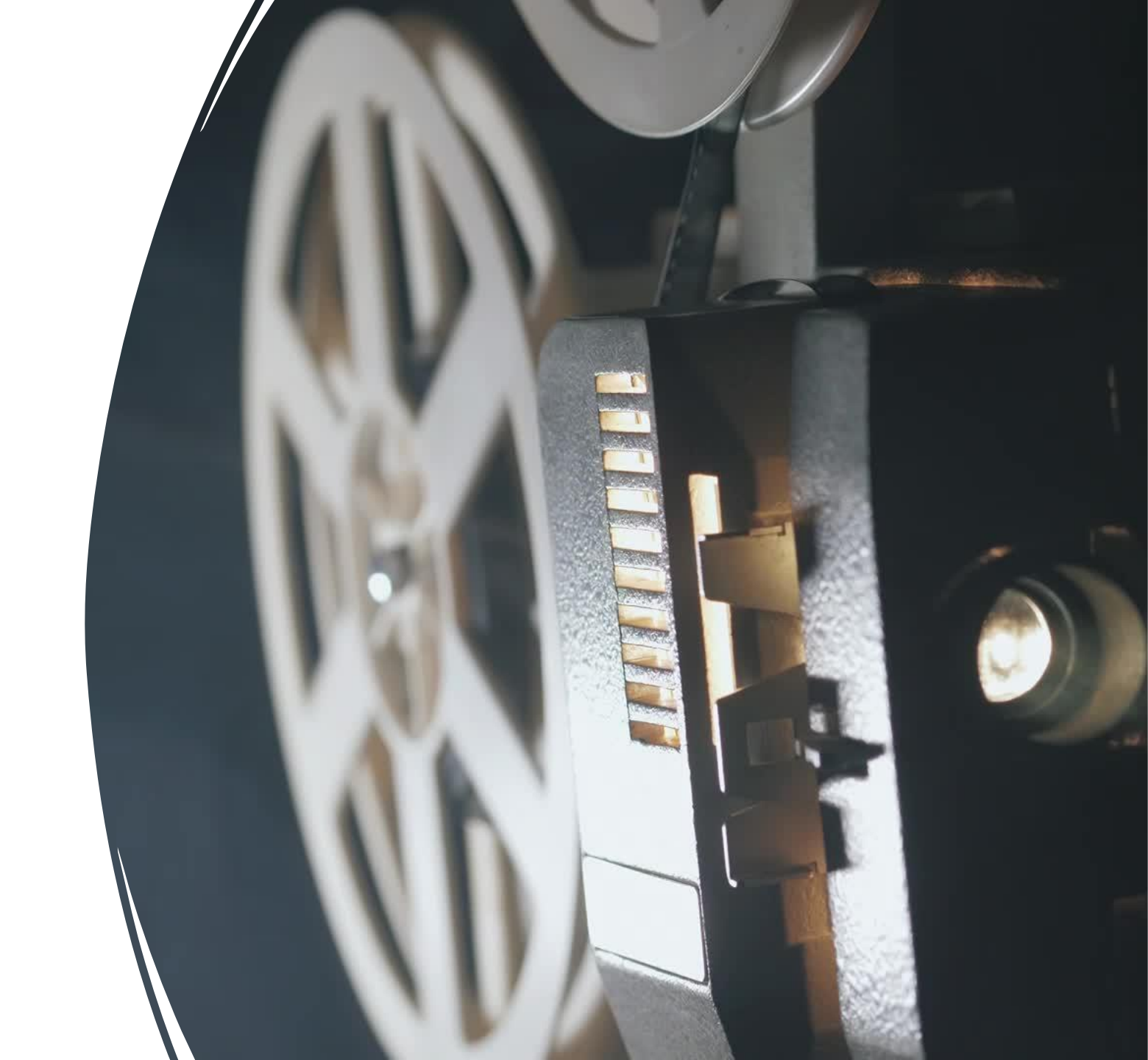
remotos

multiespectrales o

hiperespectrales

¿Qué es la corrección radiométrica?

La corrección radiométrica es un proceso fundamental en teledetección que busca eliminar o minimizar errores o distorsiones en los datos registrados por sensores remotos (drones, satélites o cámaras portátiles) relacionados con la cantidad de energía electromagnética medida.





Importancia de la radiometría y su relación con las medidas de sensores remotos

¿Qué mide un sensor remoto?

Un sensor no mide directamente la reflectancia de la vegetación, sino la radiancia que llega al sensor (1 W/m²·sr), la cual está afectada por:

- Condiciones atmosféricas (nubes, vapor de agua, aerosoles)
- 🥯 Ángulo solar y hora del día
- Sensibilidad del sensor
- Reflejos del suelo u objetos cercanos
- 🔹 🢡 Variación en la iluminación (sol/sombra)



¿Para qué sirve la corrección radiométrica?



Convertir los datos en valores comparables y estandarizados.



Obtener reflectancia de superficie real, que puede usarse para:



Calcular índices de vegetación como **NDVI**, **NDRE**



Comparar diferentes fechas, sensores o zonas



Entrenar modelos de predicción de variables biofísicas



Tipos de corrección radiométrica

Tipo de corrección

Corrección instrumental

Corrección atmosférica

Calibración con panel blanco

III Conversión DN → Reflectancia

Aplicación

Ajusta errores del sensor, como líneas espectrales, ruido o sensibilidad

Elimina efectos de la atmósfera (ej. con modelos como Sen2Cor, 6S)

En campo con cámaras multiespectrales o espectrómetros

Transforma números digitales (DN) a valores de reflectancia (W/m²/sr/ μ m (radiancia, irradiancia o radiancia espectral) a reflectancia)



Ejemplo de calibraciones radiométricas.

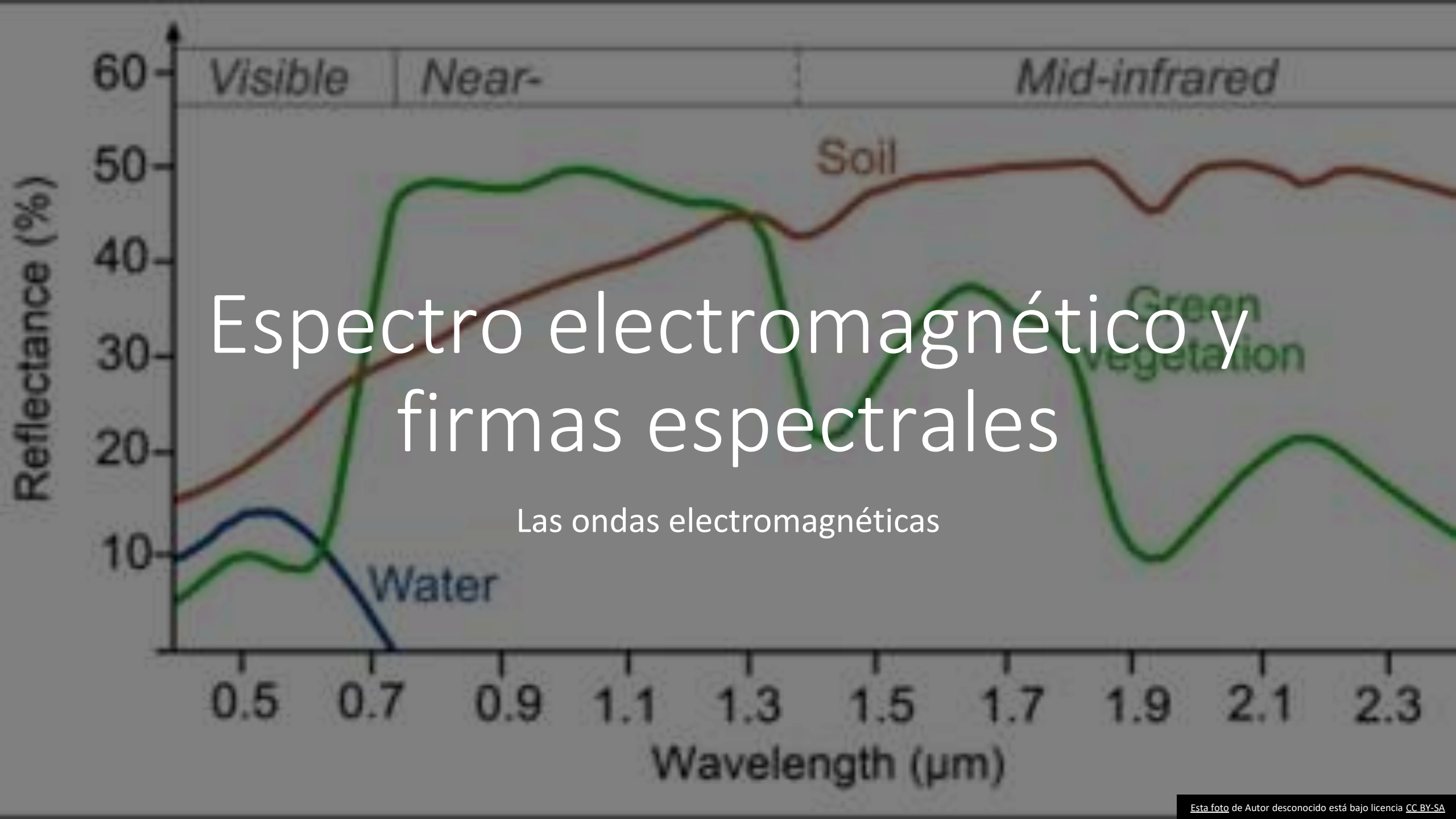
- Para plataforma dron:
- 1. Colocas un panel de calibración antes y después del vuelo (blanco con reflectancia conocida).
- 2. El software usa esa información para corregir las imágenes.
- 3. Los valores de las bandas (Rojo, NIR, etc.) ahora representan reflectancia de la vegetación, no solo "valores crudos" afectados por luz o sombras.
- Para plataforma satelital:
- 1. Las imágenes de nivel L1C de Sentinel contienen radiancia sin corregir (afectada por atmósfera).
- 2. Las de nivel L2A ya están corregidas atmosféricamente y son ideales para trabajar con índices de vegetación o ML.



Importancia de la radiometría en campo contexto de la teledetección

- La radiometría de campo es el puente fundamental entre el mundo físico real y los datos obtenidos desde sensores remotos. Sin ella, las imágenes satelitales o de drones pueden ser inexactas o poco comparables entre fechas o sensores.
- Es fundamental la corrección radiométrica es el proceso que convierte los datos brutos de los sensores remotos en información útil, precisa y comparable, eliminando efectos externos como iluminación, sensor o atmósfera.
- A partir de la corrección radiométrica se pueden obtener correctamente los índices de vegetación.





Espectro electromagnético y firmas espectrales





2.1. REFLEXIÓN, TRANSMISIÓN Y ABSORCIÓN



2.2. POLARIZACIÓN

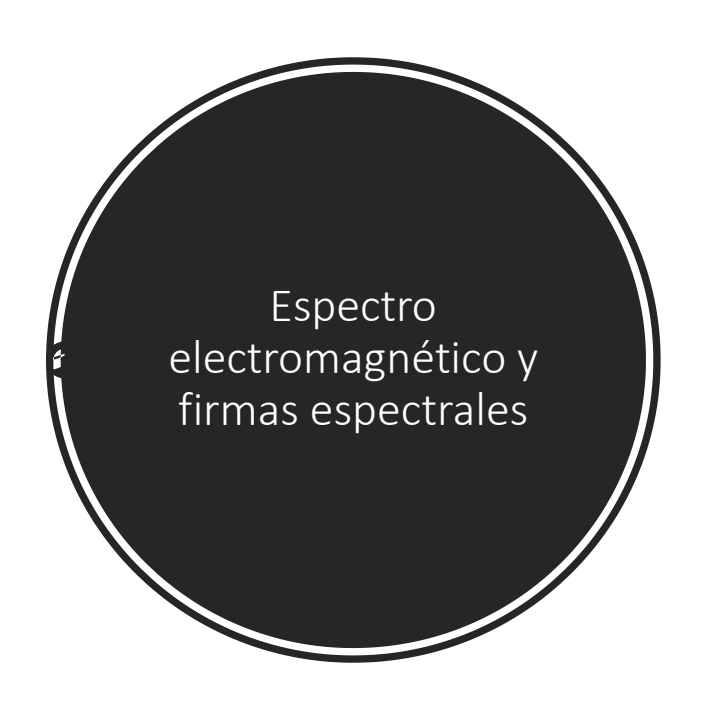


2.3. LONGITUD DE PENETRACIÓN DE ONDAS ELECTROMAGNÉTICAS

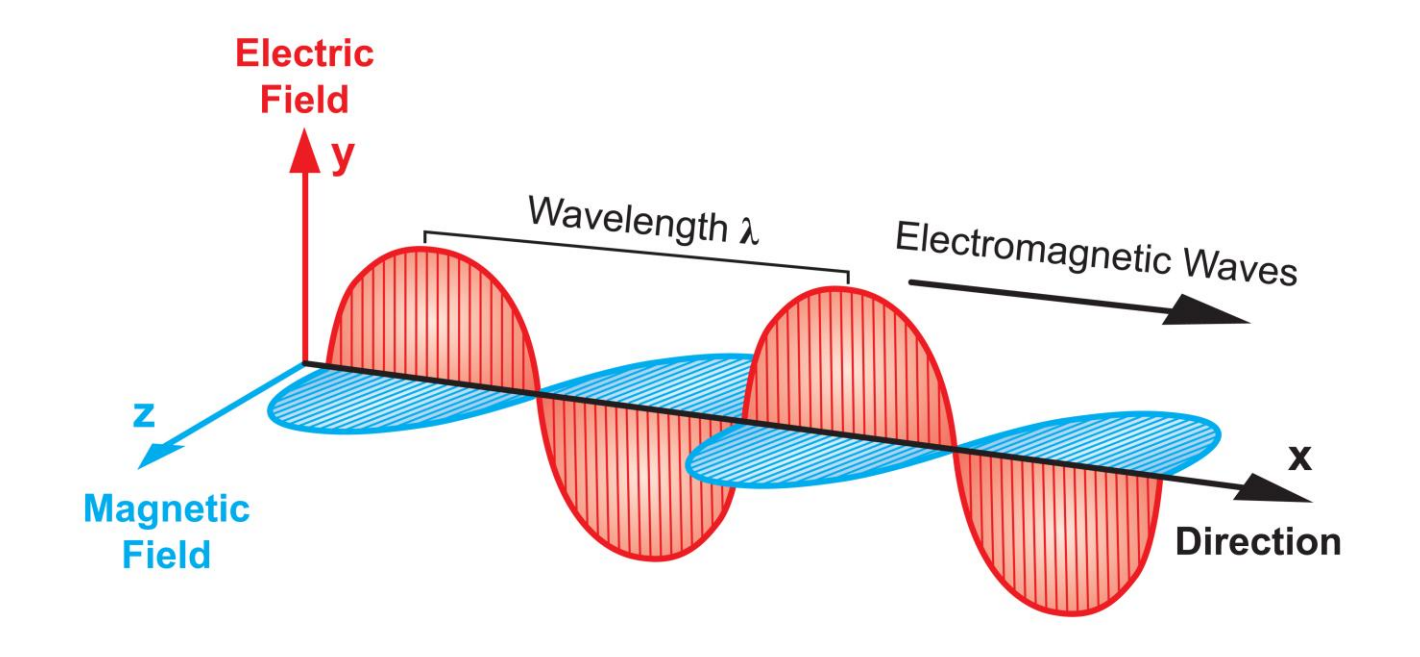


2.4. MATERIALES LAMBERTIANOS



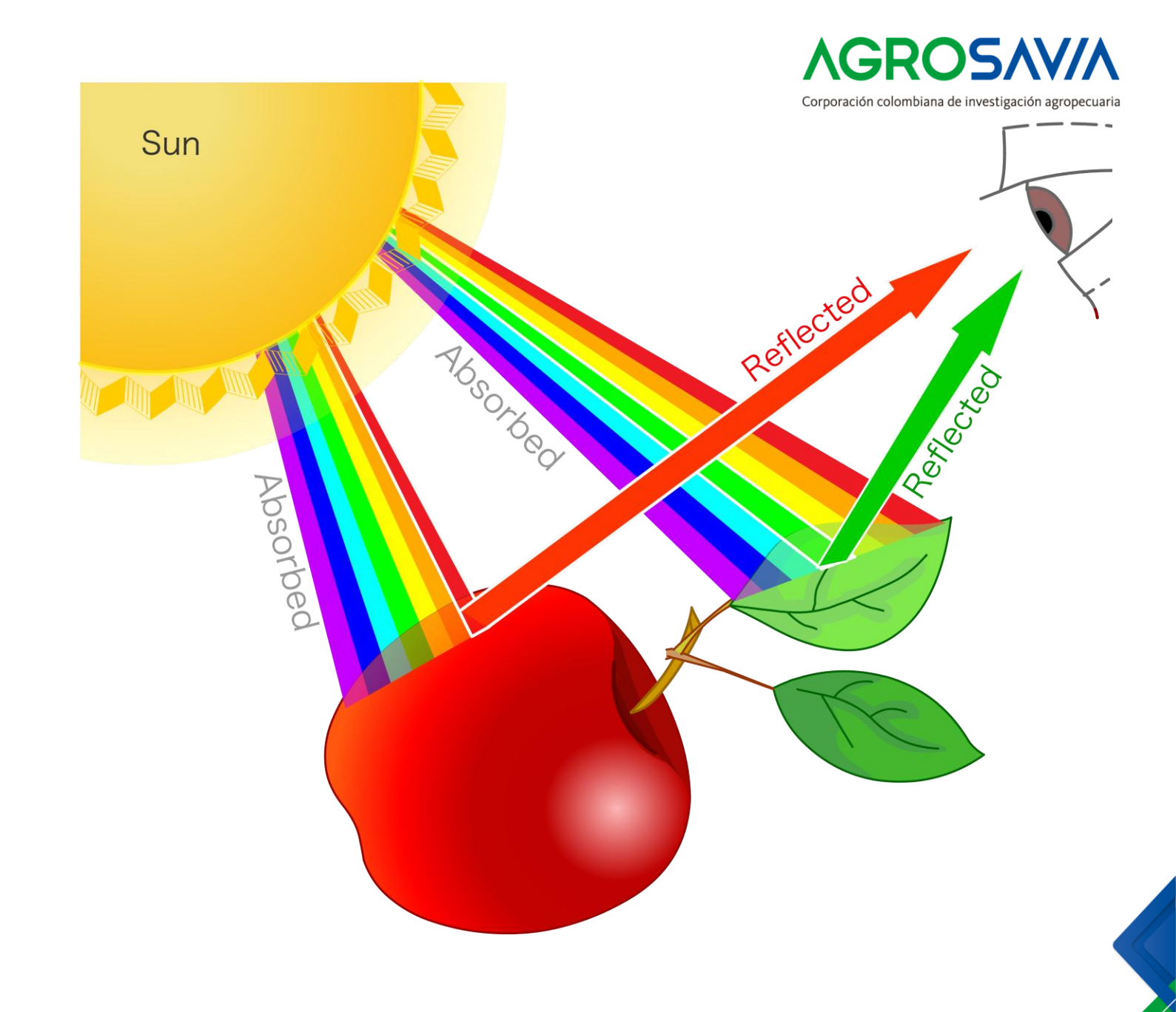


Electromagnetic Waves



Espectro electromagnético y firmas espectrales

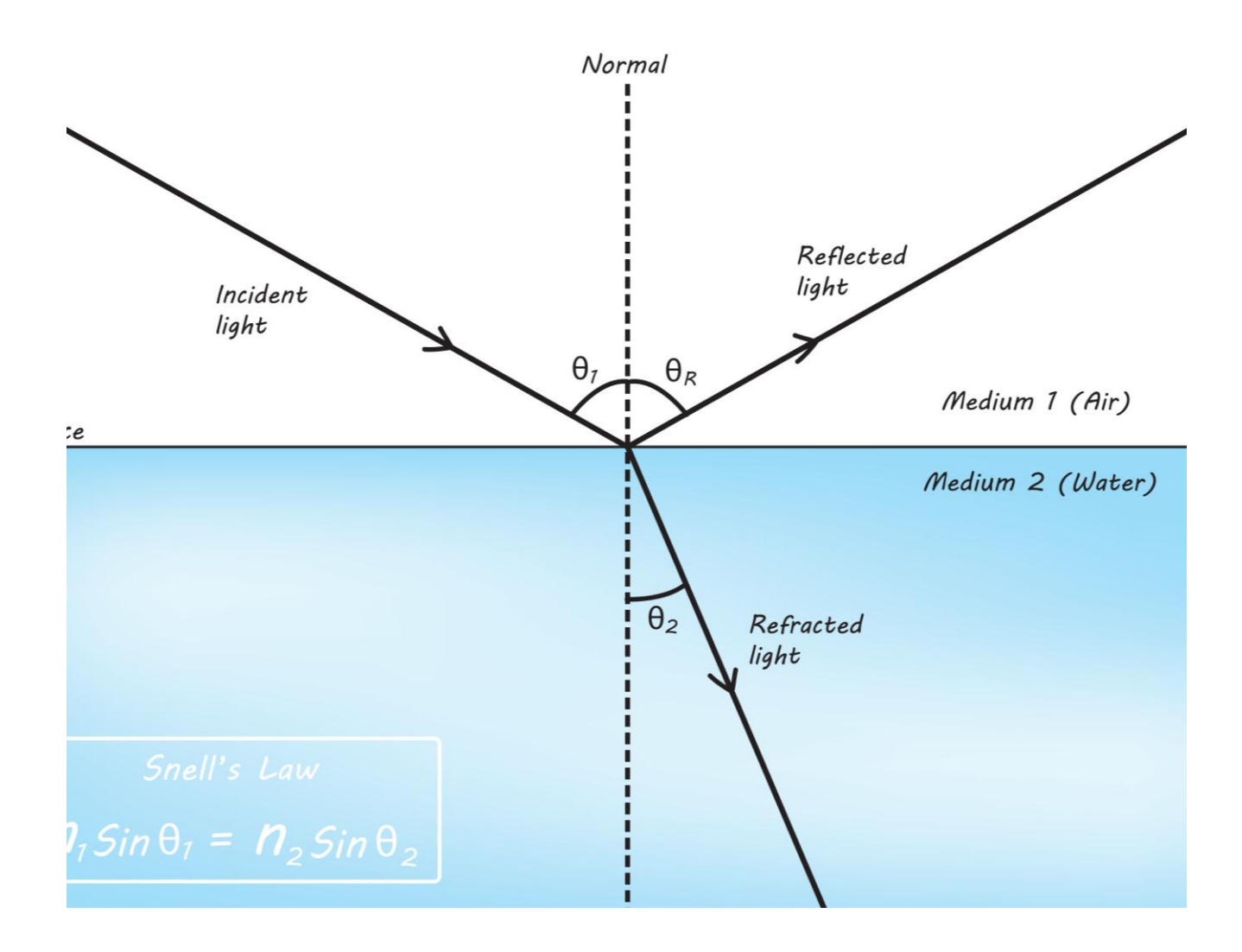
• Reflexión, Transmisión y Absorción





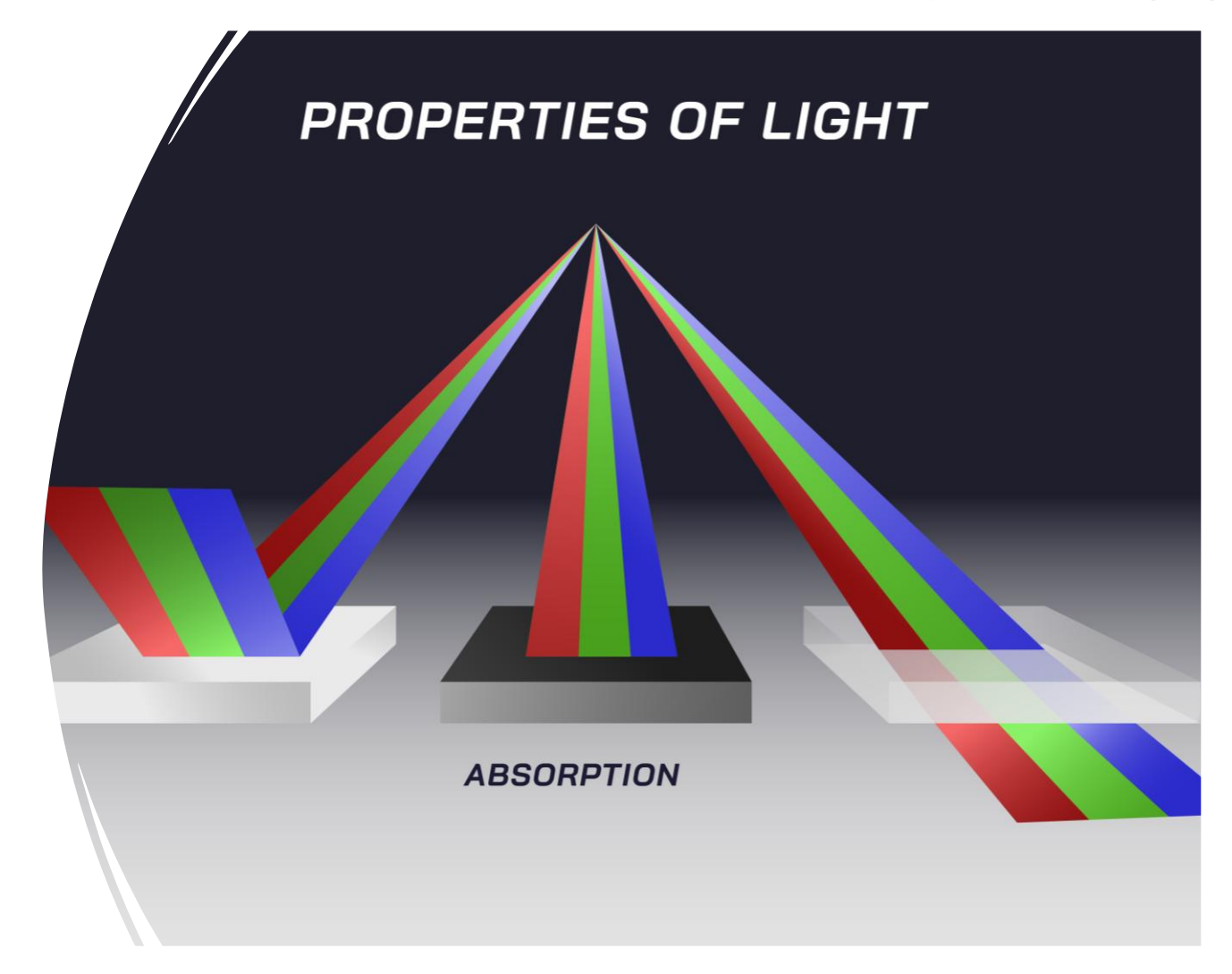
Espectro electromagnético y firmas espectrales

• Reflexión, Transmisión y Absorción





 Reflexión, Transmisión y Absorción



AGROSAV/A

Espectro electromagnético y firmas espectrales

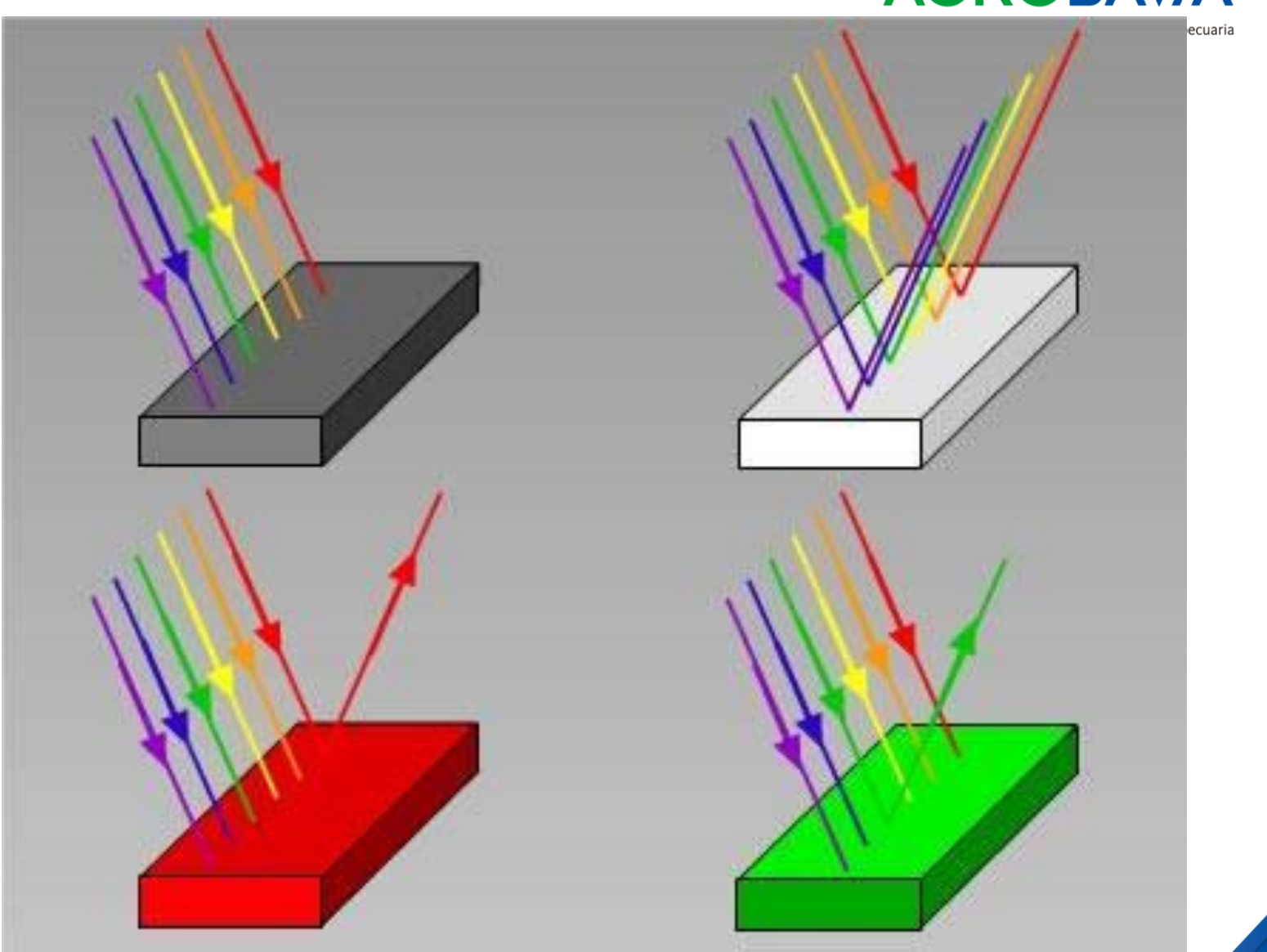
 Reflexión, Transmisión y Absorción

Objeto Negro: Absorción

• Objeto Blanco: Reflexión

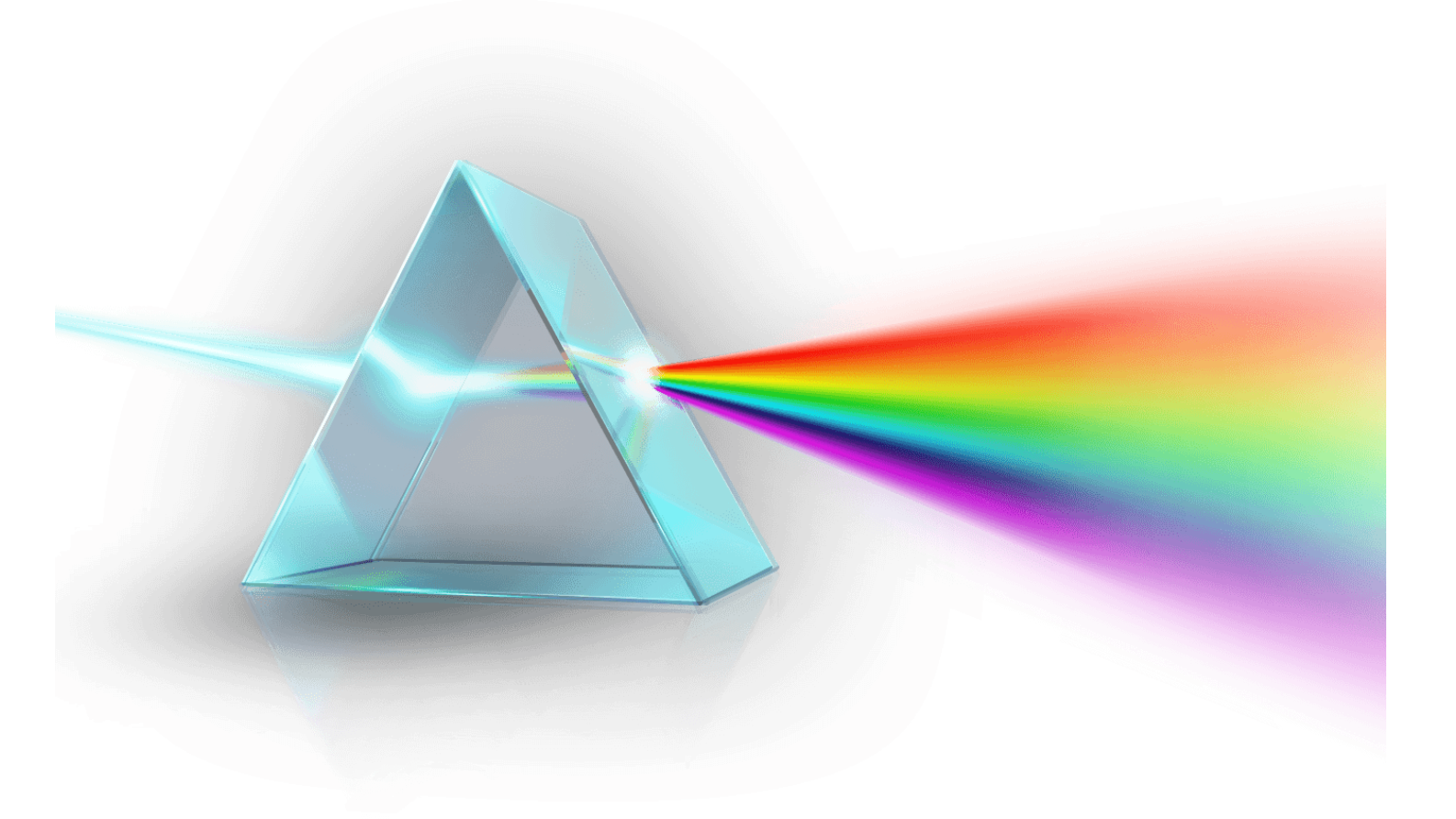
 Objeto Rojo: Refleja Rojo y absorbe el resto de longitudes de onda

• **Objeto Verde:** Refleja Verde y absorbe el resto de longitudes de onda.

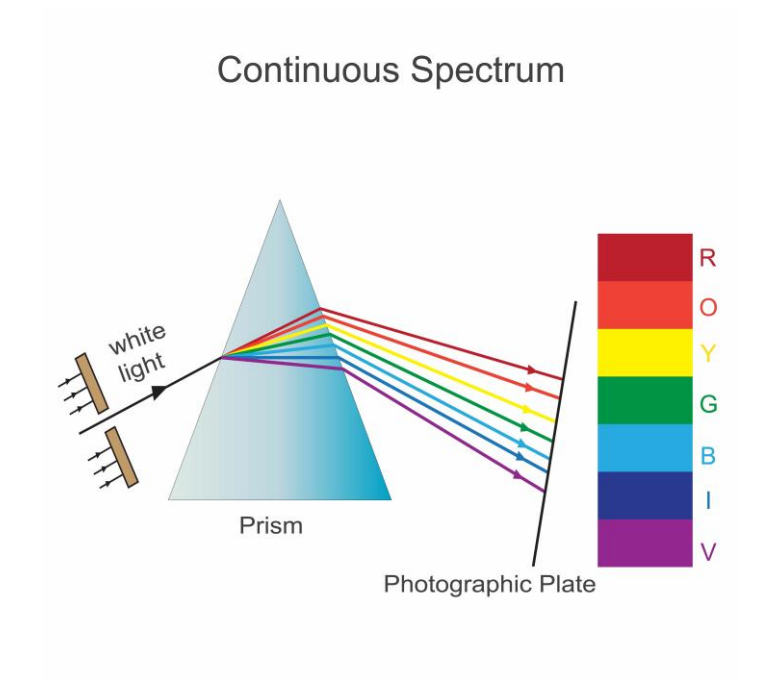


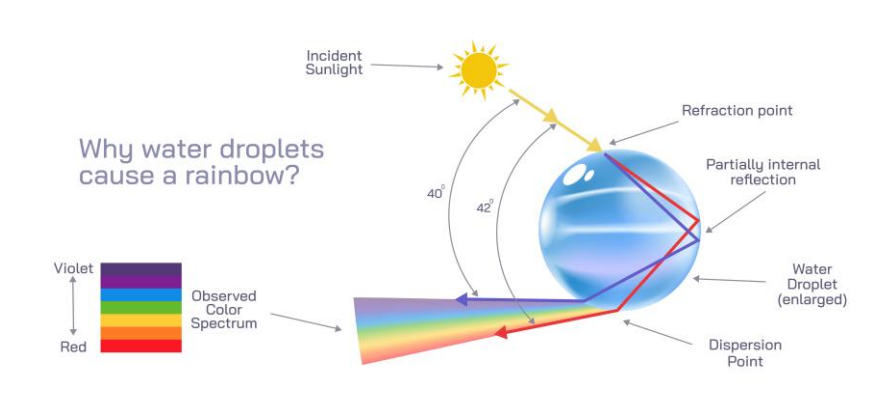


• Reflexión, Transmisión y Absorción



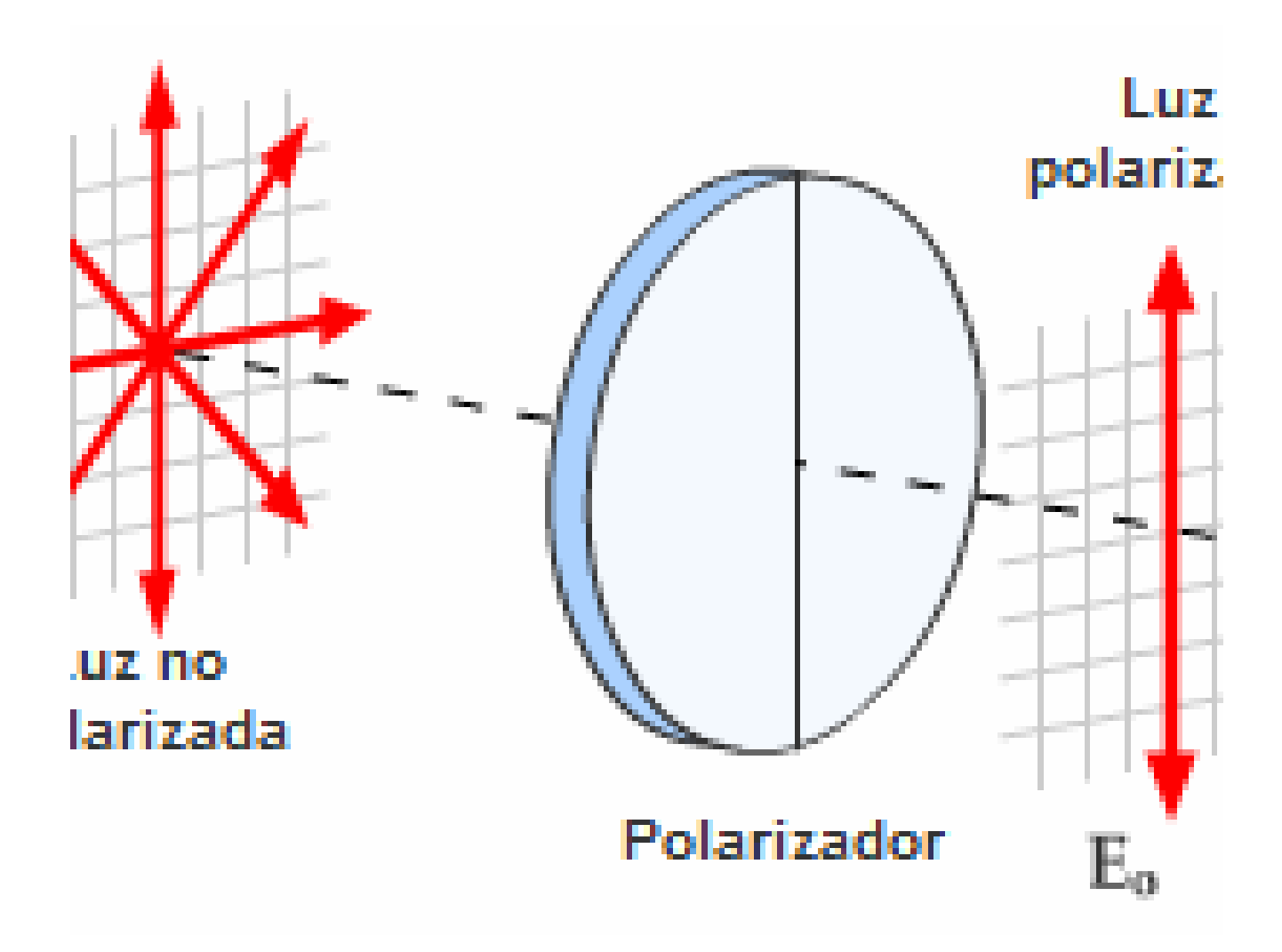








Polarización





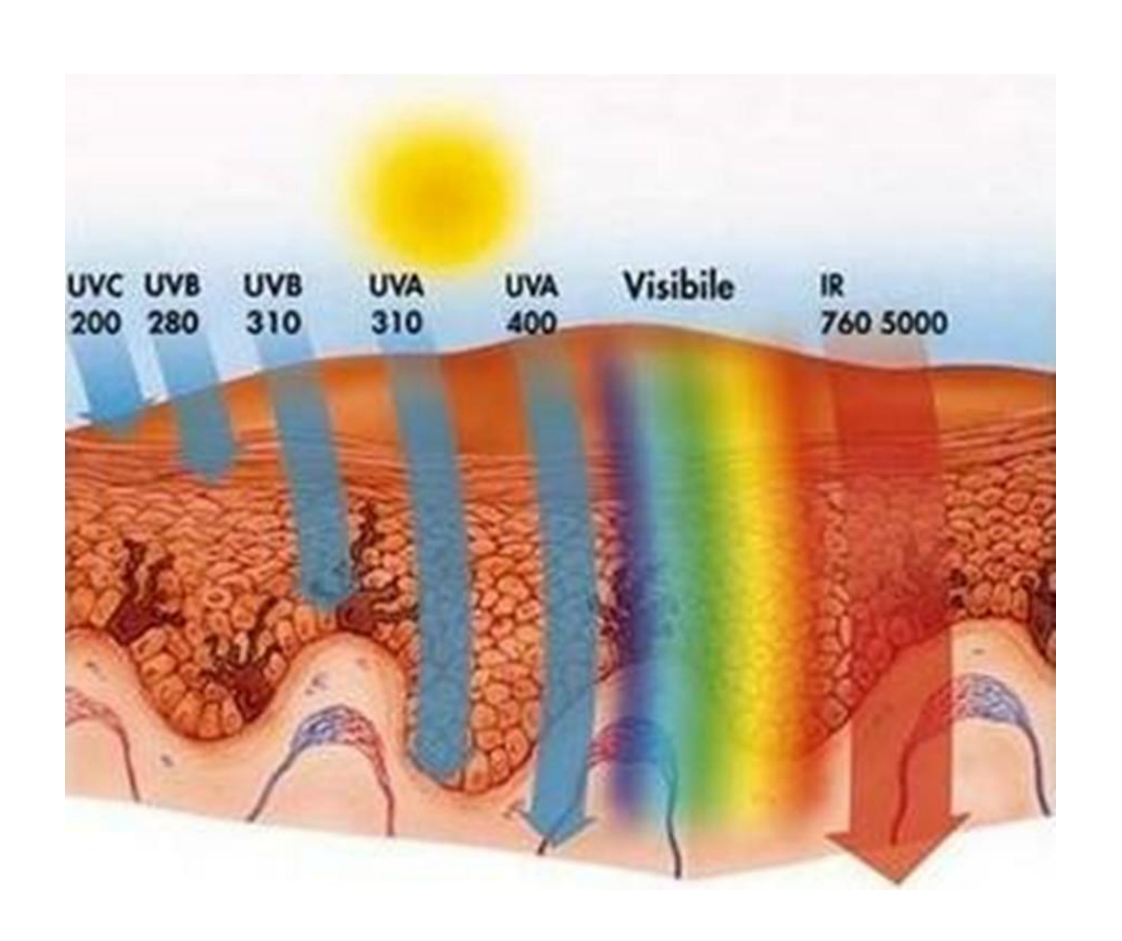
Longitud de penetración de ondas electromagnética:

La longitud de penetración de una onda electromagnética, también conocida como profundidad de penetración o profundidad de skin (skin depth en inglés), es la distancia a la que la amplitud de una onda electromagnética decrece significativamente cuando se propaga a través de un material conductor o absorbente. Esta profundidad depende de las propiedades del material y la frecuencia de la onda.

$$\delta = \frac{1}{\sqrt{\pi f \mu \sigma}}$$

- δ = Profundidad de penetración o longitud de penetración (en metros).
- f = Frecuencia de la onda electromagnética (en Hz).
- μ = Permeabilidad magnética del material (en H/m o henrios por metro).
- σ = Conductividad eléctrica del material (en S/m o siemens por metro).

2. Conceptos de propagación de ondas **Corporación colombiana de investigación de lectromagnéticas. Caso particular la óptica

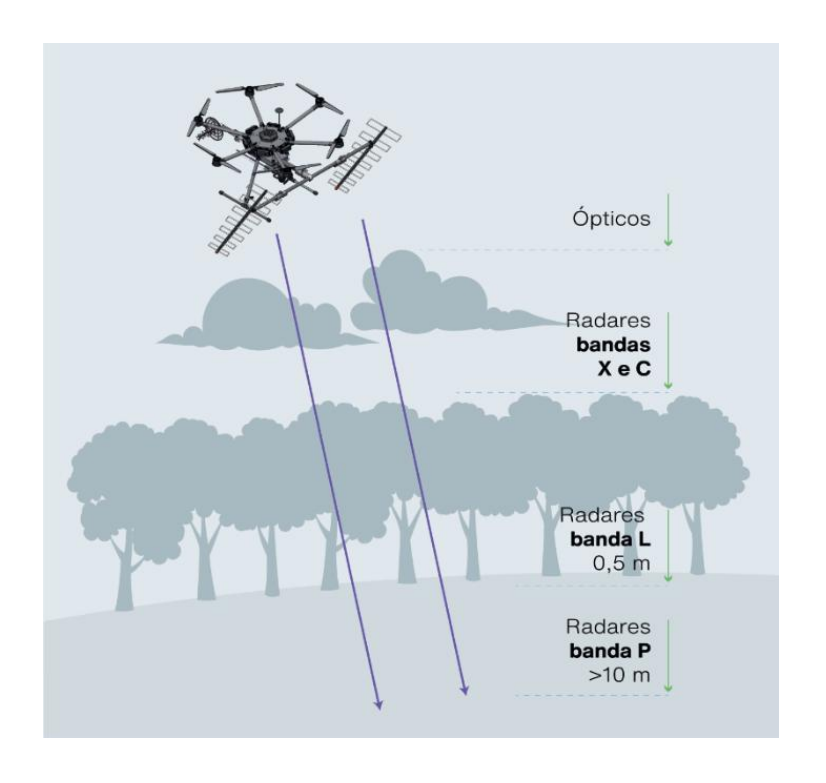




ÓPTICO



RADAR





- Materiales Lambertianos
- Un material lambertiano es un tipo de superficie ideal que refleja la luz de manera difusa siguiendo la Ley de Lambert. Esta ley establece que la intensidad luminosa reflejada desde una superficie difusa es independiente del ángulo de observación, lo que significa que la superficie parece tener el mismo brillo cuando se ve desde cualquier ángulo.
- Un material lambertiano, como el yeso blanco o el papel mate, tiene un brillo uniforme desde cualquier punto de vista. Esto se debe a que la luz es dispersada de manera homogénea, haciendo que no se produzcan brillos ni reflejos especulares.
- Los materiales lambertianos se emplean en estudios de iluminación para calibrar fuentes de luz y medir la reflectividad de superficies. Un reflector lambertiano es útil para dispersar la luz de manera uniforme en un ambiente controlado.

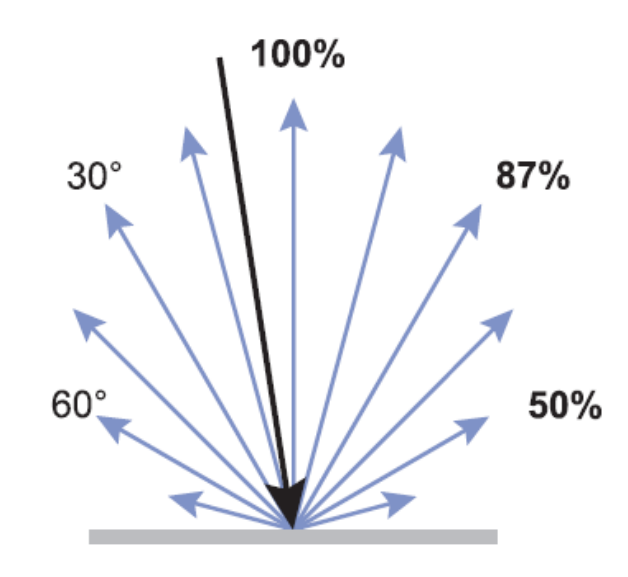
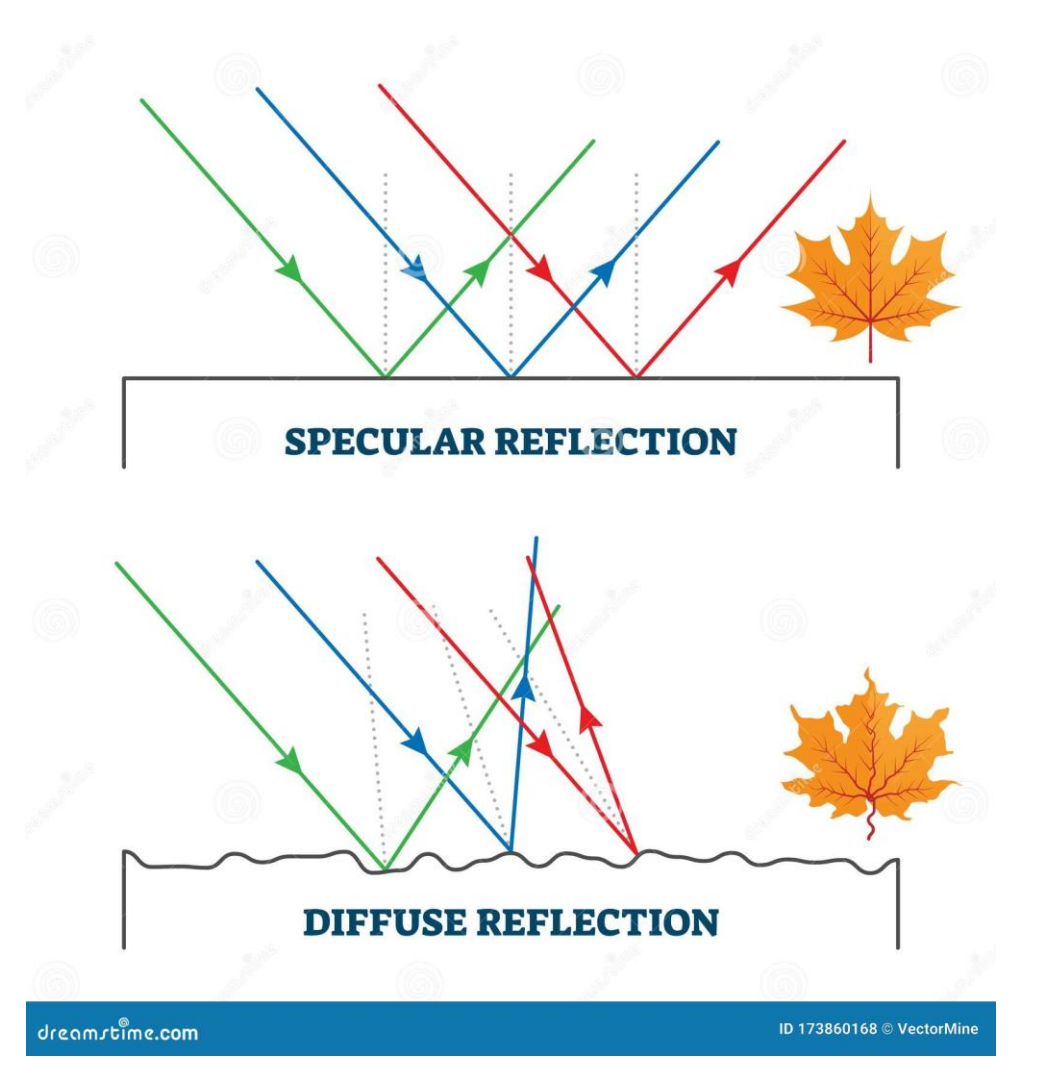


Figure 4.3 — Lambertian surface.



- 2.4. Materiales Lambertianos
- Superficie especular: (no Lambertiana):
- Es un tipo de superficie que refleja la luz de manera coherente y direccional, creando un reflejo claro y nítido, similar a un espejo. las superficies especulares reflejan la luz en un solo ángulo, lo que resulta en una imagen reflejada más definida.
- Superficies difusas:
- dispersan la luz en múltiples direcciones aleatorias.







Firmas espectrales – propiedades espectrales de la vegetación





3.1. Biofotónica



3.2. Firma espectral



3. Propiedades espectrales de la vegetación

La **biofotónica** investiga la interacción de la luz con sistemas biológicos, lo que permite tanto el análisis y diagnóstico como la intervención en organismos vivos.

Tópicos

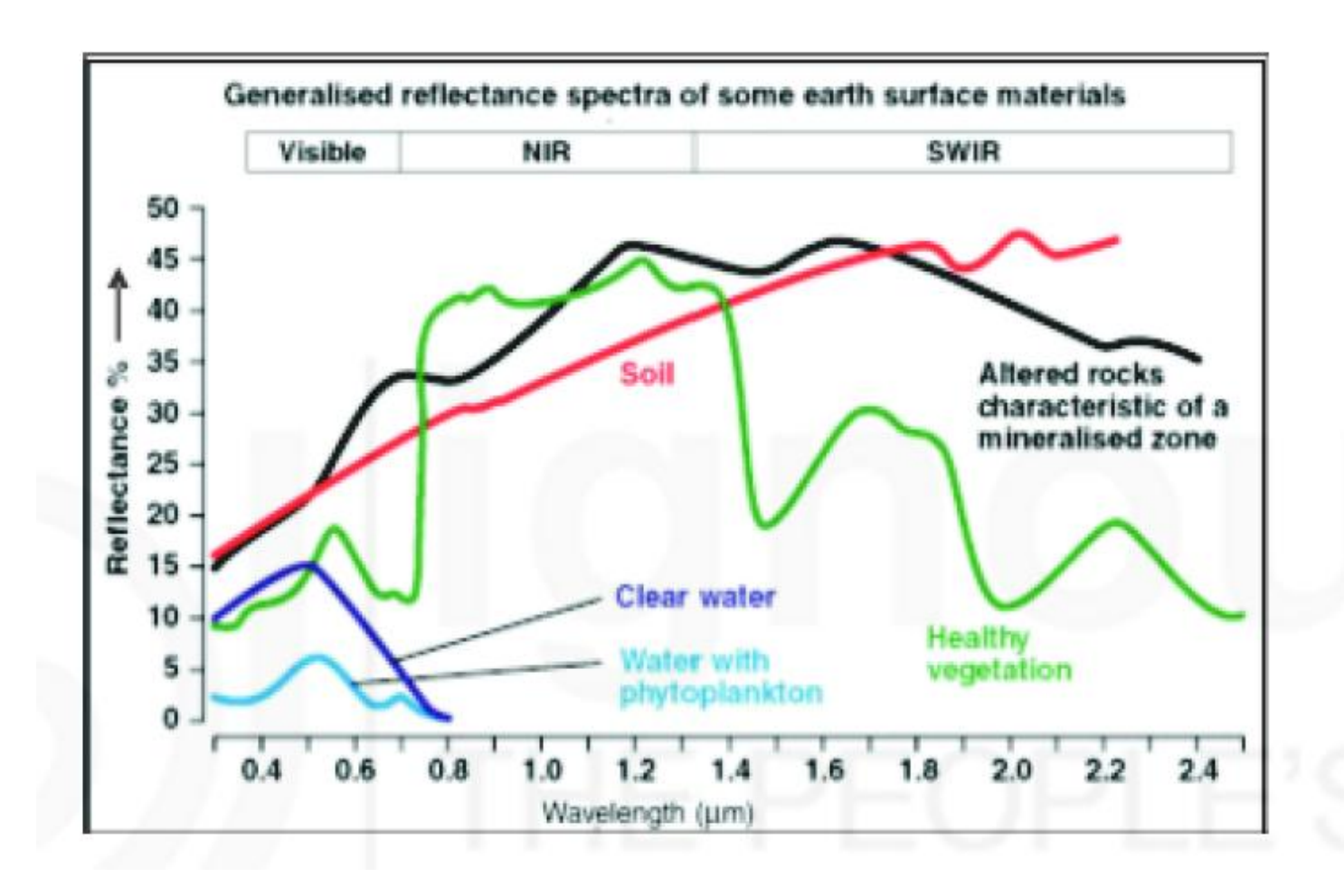
- ✓ Definición de firma espectral
- ✓ Explicar cómo las firmas espectrales difieren para diferentes objetos biológicos o no.
- ✓ Cómo se distinguen los objetos: vegetación, agua, suelo, minerales, rocas según su firma espectral
- ✓ Identificar y explicar las firmas por inspección



- 3.2. Firma(s) espectral(es)
- ✓ Las firmas espectrales son la combinación de la radiación electromagnética reflejada, absorbida y transmitida o emitida por objetos en distintas longitudes de onda, que pueden identificar de forma única un objeto.
- ✓ Cuando se representa gráficamente la cantidad de radiación electromagnética (normalmente la intensidad de la radiación reflejada o reflectancia en porcentaje) procedente del material en un rango de longitudes de onda, los puntos conectados sucesivamente producen una curva que se conoce como firma espectral del material o, en otras palabras, curva de respuesta espectral.
- ✓ Son importantes para la interpretación de imágenes de teledetección.



- Firma(s) espectral(es)
- Firmas espectrales de materiales comunes de la Tierra en las bandas NIR (infrarrojo cercano) y SWIR (región infrarroja de onda corta). (tomado de www.rsacl.co.uk/rs.html)





- Firma(s) espectral(es)
- Firma espectral típica de la vegetación (Tomado de Hoffer, R.M. 1978)

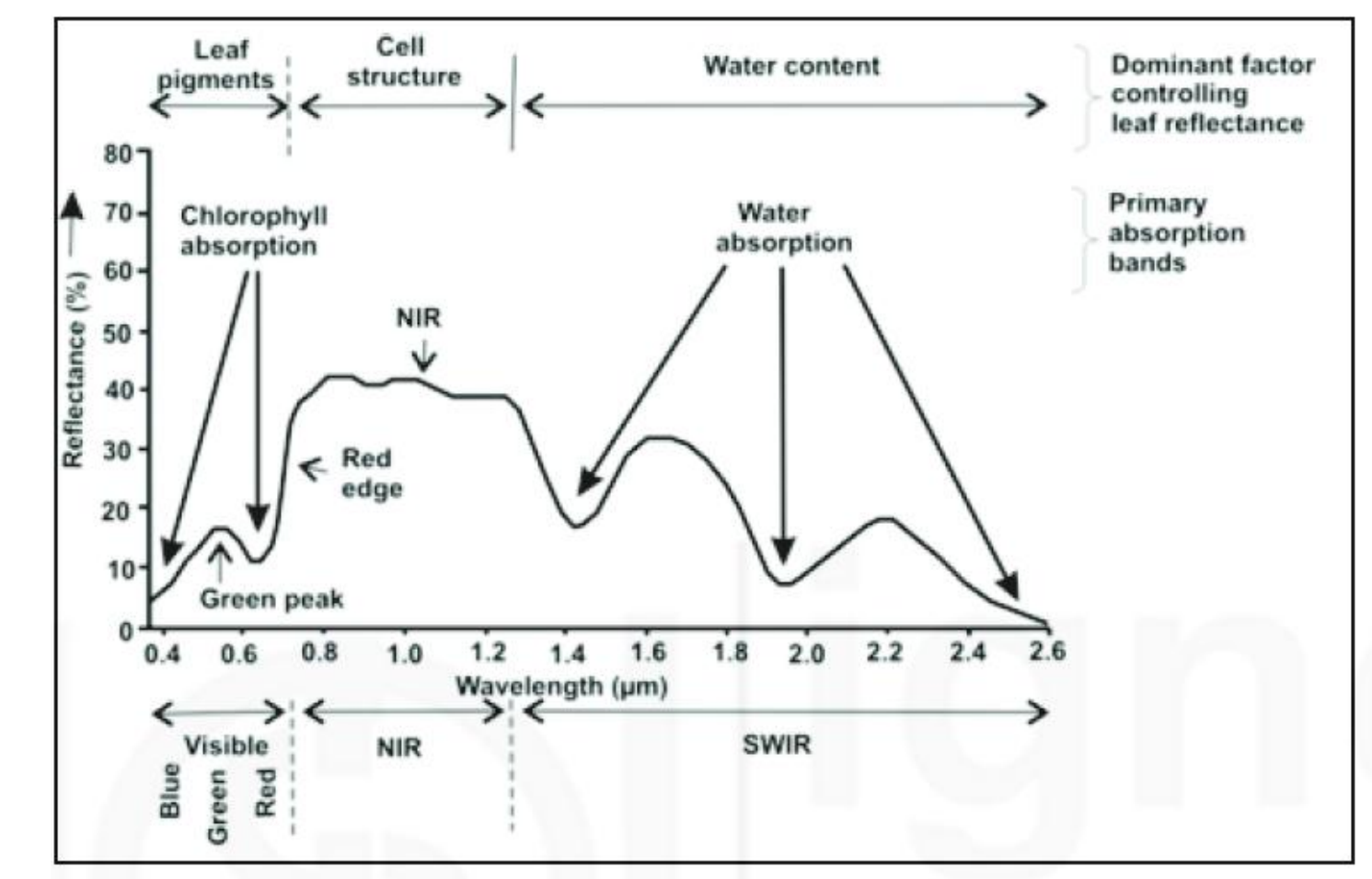


Fig. 3.2: Typical spectral signature of green vegetation (source: Hoffer, R.M., 1978)



Firmas Espectrales

- ✓ La vegetación se ve verde (pico de reflexión en el verde 560 nm relacionado con el pigmento de clorofila en las hojas de las plantas).
- ✓ La presencia del pigmento clorofila da como resultado una firma espectral única de la vegetación que nos permite distinguirla fácilmente de otros tipos de características de la cubierta terrestre (no vivas) en una imagen óptica.
- ✓ La reflectancia de la vegetación es baja en las regiones azul y roja del espectro EM, debido a la absorción de longitudes de onda azul y roja responsables de la fotosíntesis.
- ✓ En la región del infrarrojo cercano (NIR), la reflectancia es mucho mayor que en la banda visible debido a la estructura celular de las hojas, que se comportan como reflectores difusos. Por lo tanto, la vegetación puede identificarse fácilmente en la región NIR del espectro.
- √¿Qué pasa si las hojas se ven amarillas o rojizas?. Reflejan más rojo y menos verde.



• Ejemplo de firmas espectrales de vegetación sana, estresada y severamente estresada (fuente:

http://rst.gsfc.nasa.gov/Sect
3/Sect3 1.html)

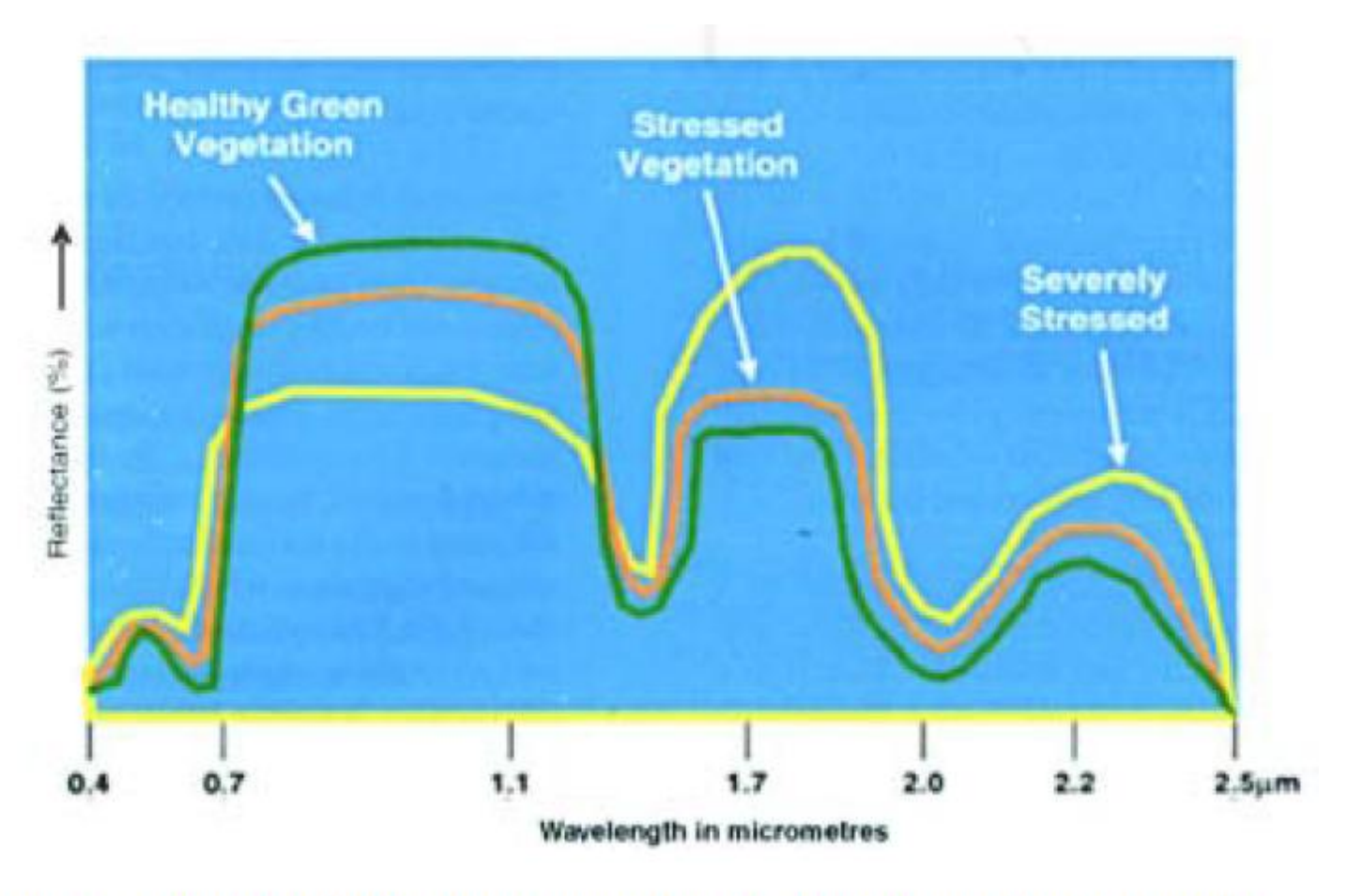


Fig. 3.3: Example of spectral signatures of healthy, stressed and severely stressed vegetations (source: http://rst.gsfc.nasa.gov/Sect3/Sect3_1.html)



Arobles deciduos (a) y tipo aguja(b)

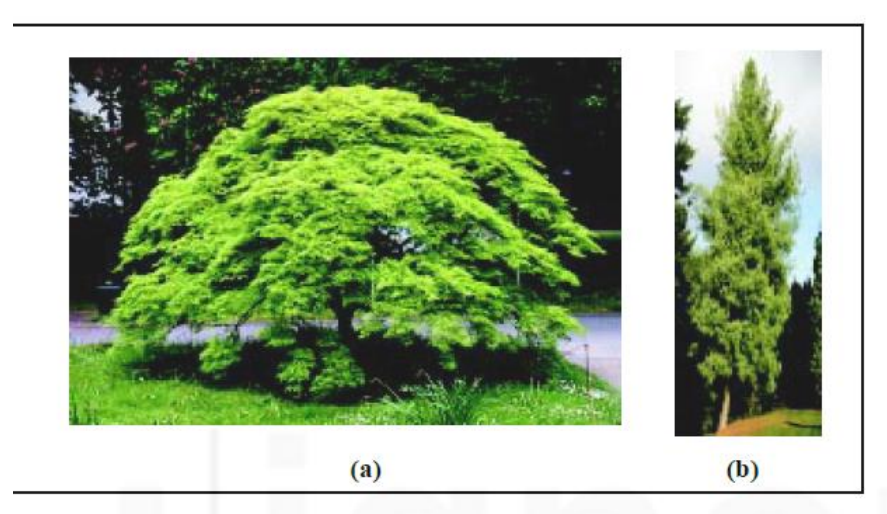
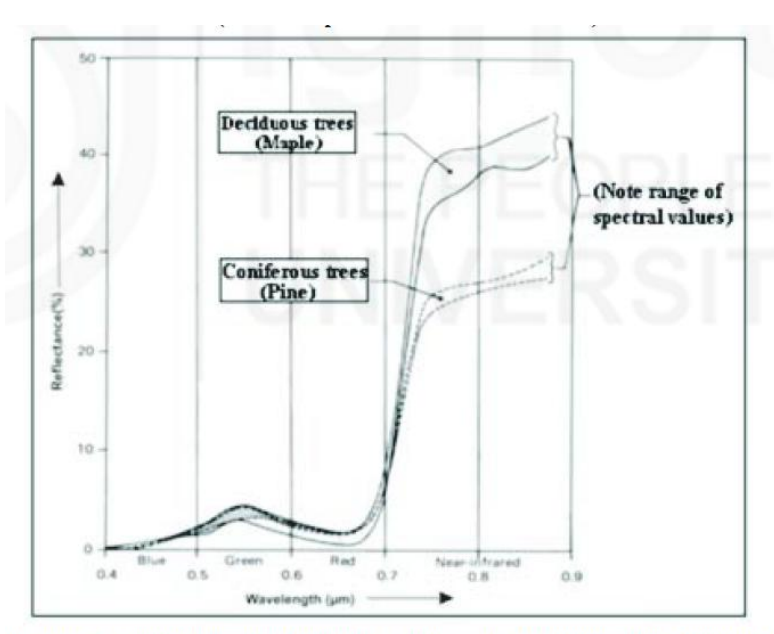


Fig. 3.4: (a) Deciduous tree - Maple; (b) Coniferous tree - Pine (source: http://theindoorbonsaitree.com)

Firma espectral - dependencia con la forma de la vegetación. Arboles tipo deciduos de hoja ancha (a) y coníferos de hoja tipo aguja (b). (Lillesand et.all 2007)



ig. 3.5: Generalised spectral reflectance envelopes for deciduous (broad-leaved) and coniferous (needle-bearing) trees. Each tree type has a range of values at any wavelength (source: Lillesand et. al, 2007)



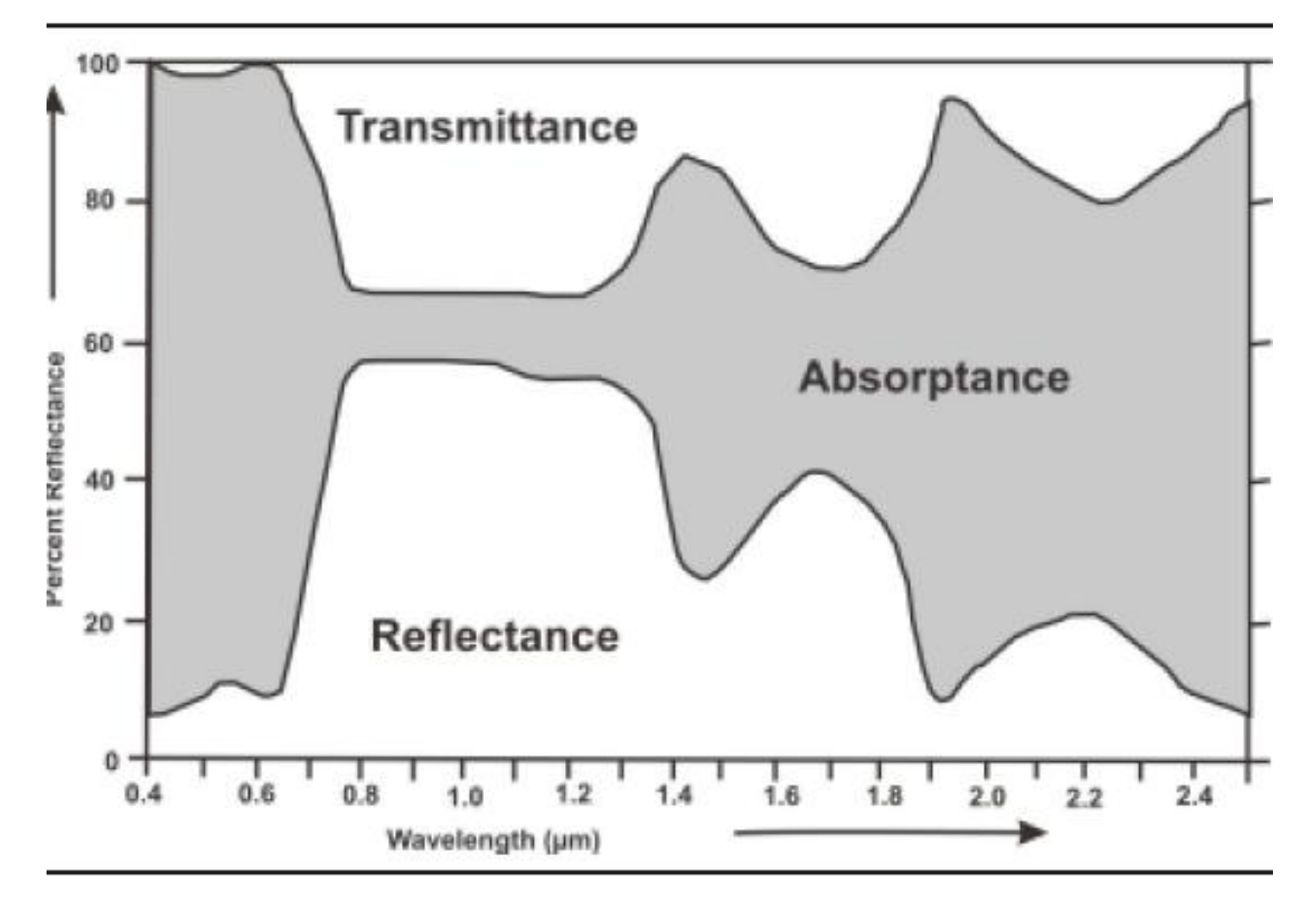
Firmas Espectrales

- ✓ Región visible (400-700 nm): baja reflectancia, alta absorción y transmitancia mínima. El control fundamental de las interacciones energía-materia con la vegetación en esta parte del espectro es la pigmentación de la planta. Parámetros característicos son las reflectancias en el rojo (R 630 nm), verde (G 560 nm), y azul (B 450 nm).
- ✓ Región NIR (700-1350 nm): alta reflectancia y transmitancia, muy baja absorción. El control físico son las estructuras internas de las hojas y su forma física. Parámetros característicos son la reflectancia en el "borde rojo" (RedEdge – 720-780) y la reflectancia en el resto de las longitudes de onda cuyo valor el cuasi-constante.
- ✓ Infrarrojo medio (MIR) (1350-2500 nm): a medida que aumenta la longitud de onda, tanto la reflectancia como la transmitancia generalmente disminuyen de media a baja, mientras que la absorción aumenta de baja a alta. El control físico primario en estas longitudes de onda del infrarrojo medio (SWIR) para la vegetación es el contenido de agua in vivo.



 Partición de la reflectancia espectral de la vegetación en las regiones visible, NIR y MIR del espectro EM (modificado desde

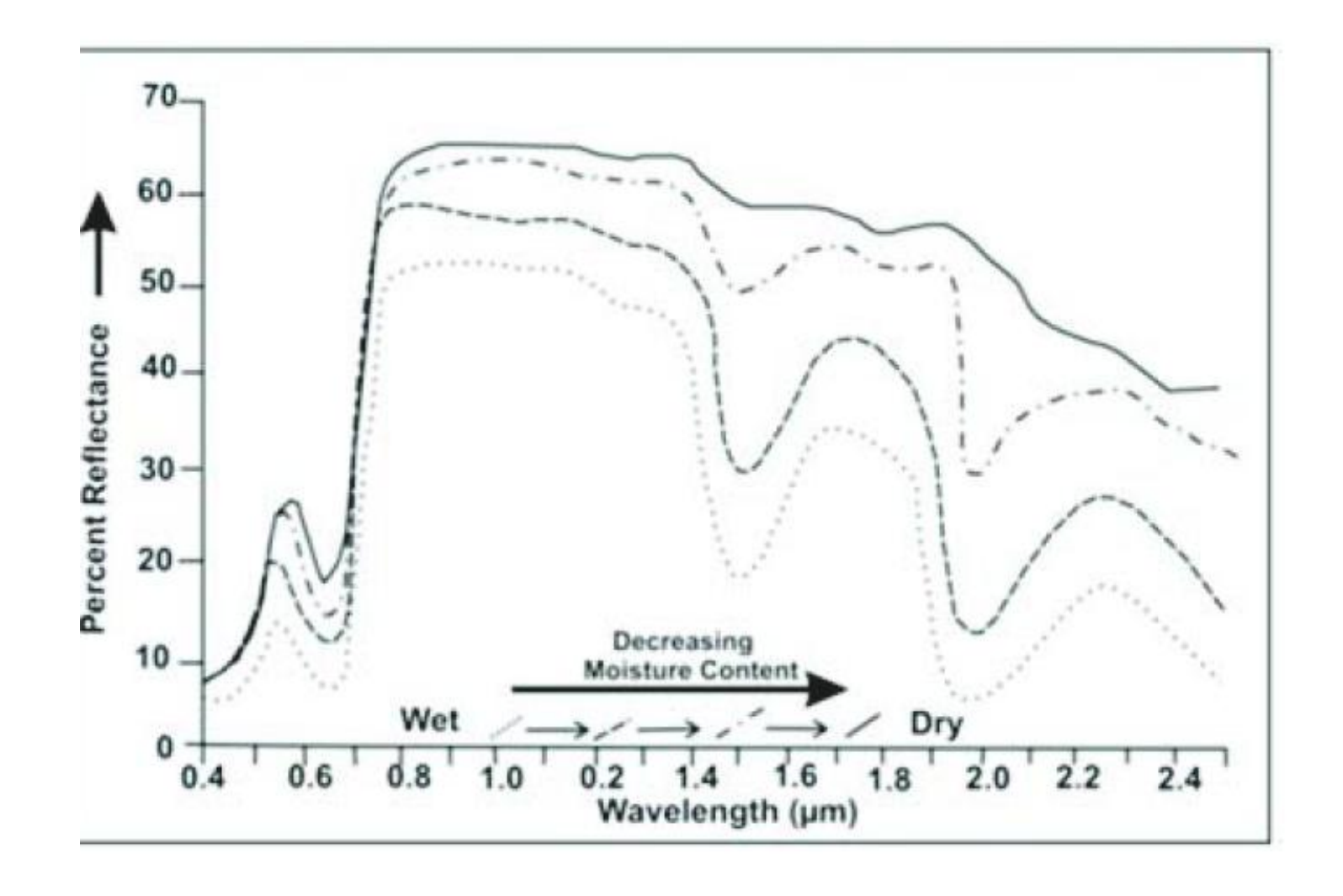
www.cpsamu.org/sf/notes/m1r-18.htm)





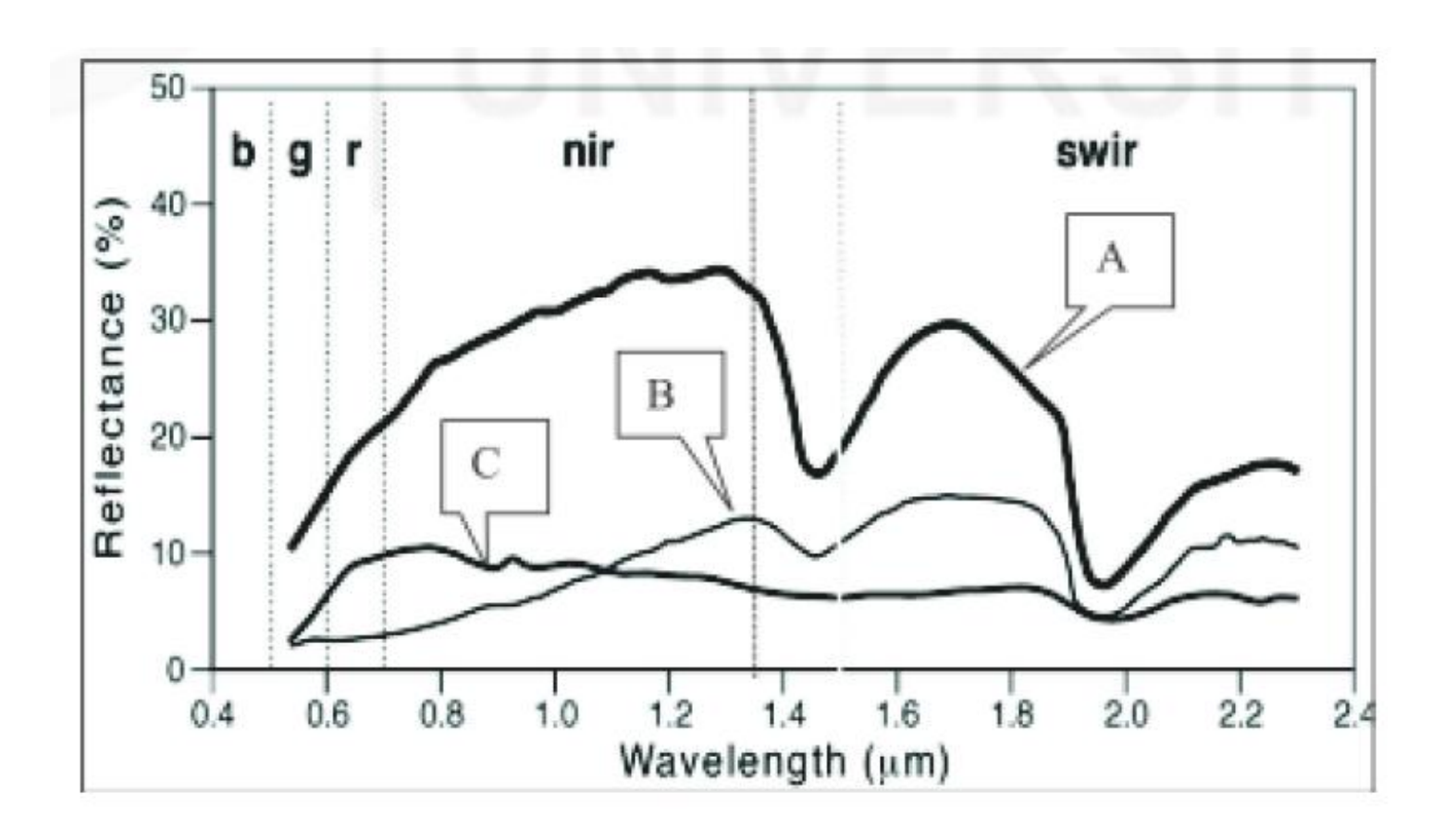
 Variación de las características de reflectancia espectral de la vegetación según el contenido de humedad de las hojas (modificado de

www.cpsamu.org/sf/notes/m1r-1-8.htm)



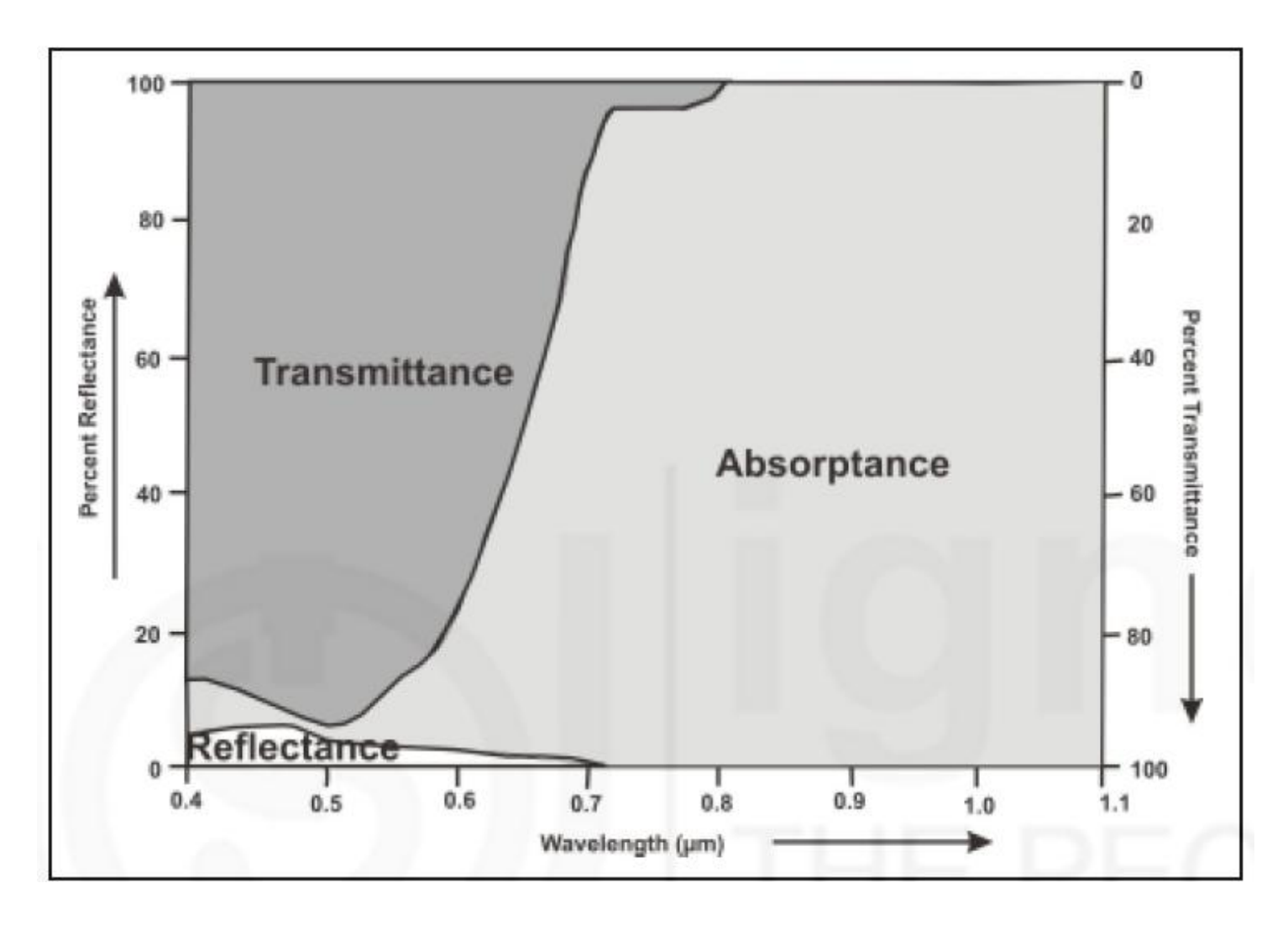


• Reflectancia de superficies de suelo desnudo. A) mínimamente alterada, B) con predominio de materia orgánica y C) con predominio de hierro (modificado de Stoner y Baumgardner, 1981)





 Características de reflectancia espectral de aguas profundas y claras (modificado de www.cpsamu.org/sf/notes/m1r-1-8.htm)





El Origen del índice de vegetación y su relación con la reflectancia, y las firmas espectrales.

- ✓ Una forma de distinguir suelo de vegetación
- ✓ los suelos tienden a tener aproximadamente la misma reflectancia en las dos bandas (VIS: visible y NIR: infrarojo cercano),
- ✓ En la vegetación la reflectancia de la banda visible es baja para la radiación ultravioleta y
 la reflectancia del infrarrojo cercano es alta.
- ✓ Un índice de vegetación define una relación entre la energía reflejada visible de la energía reflejada del infrarrojo; o de manera general hoy en día los índices de vegetación son "formulas" que buscan discriminar con alto contraste la vegetación y otros elementos







Plataformas satelitales

Es el **soporte físico** que lleva un sensor remoto (óptico, térmico, radar, etc.) en órbita.

El sensor es el que recolecta datos sobre la superficie terrestre, y la plataforma le proporciona:

- Energía (paneles solares)
- Posicionamiento y navegación (GPS, giroscopios)
- Comunicaciones (antenas para enviar datos a estaciones en tierra)



Tipos de plataformas satelitales

Tipo de órbita Características principales

Ejemplos de satélites

Heliosíncrona (LEO)

Pasa sobre el mismo punto a

Órbita baja (~700–900 km).

Sentinel-2, Landsat, MODIS

la misma hora solar.

Altura de ~36.000 km.

Geoestacionaria (GEO) Siempre observa el mismo

punto de la Tierra.

GOES, Meteosat

Altas órbitas (MEO)

Más usada en navegación (ej. GPS) que en

teledetección

GPS, Galileo (no óptimos

para imágenes)



Ejemplos de diferentes plataformas satelitates, características y aplicaciones.

Satélite	Plataforma/Agencia	Sensor principal	Resolución espacial	Frecuencia	Aplicaciones principales
Sentinel-2	ESA / Copernicus	MSI (multiespectral Instrument)	10–60 m	5 días	Agricultura, vegetación, agua, suelos. 13 bandas (visible, NIR y SWIR)
Landsat-8/9	NASA / USGS	OLI (Operational Land Imager), TIRS (Thermal InfraRed Sensor)	15–100 m	16 días	Uso del suelo, monitoreo ambiental. 11 bandas (dos son térmicas)
MODIS	NASA	MODIS (36 bandas)	250–1000 m	Diario	Clima, biomasa global, incendios
PlanetScope	Planet Labs (privado)	8 bandas RGB+RedEdge+NIR	3–5 m	Diario	Agricultura, detección de cambios
SPOT 6/7	Airbus	Multiespectral	1.5–6 m	Variable	Urbanismo, mapas de detalle
WorldView-3	Maxar (privado)	Multiespectral + SWIR	0.31–1.24 m	Variable	Alta precisión urbana, minería, agricultura



Sentinel-2

Satélite de observación de la Tierra que forma parte del programa Copernicus de la Agencia Espacial Europea (ESA), diseñado para monitorear la superficie terrestre de forma regular y gratuita.

Es una misión compuesta por dos satélites gemelos:

- Sentinel-2A (lanzado en 2015)
- Sentinel-2B (lanzado en 2017)

Ambos orbitan a una altitud de **786 km** y trabajan en conjunto para **obtener imágenes cada 5 días** de cualquier punto del planeta, lo que lo hace ideal para aplicaciones dinámicas como la agricultura, monitoreo forestal, cuerpos de agua, y más.



Sentinel-2

Rango espectral	Bandas (nm)	Resolución	Aplicaciones
Visible (RGB)	490–665	10 m	Vegetación, uso del suelo
NIR (Infrarrojo cercano)	705–842	10–20 m	NDVI, salud vegetal
SWIR (Infrarrojo de onda corta)	1375–2190	20 m	Humedad, suelos, estrés
Bandas costeras y atmosféricas	443, 945 nm, etc.	60 m	Corrección atmosférica

Sentinel - 2





Agricultura de precisión: monitoreo de cultivos, estrés hídrico, fertilización



Vegetación y uso del suelo: índices como NDVI, NDRE, clasificación de coberturas



Gestión del agua: calidad, turbidez, cuerpos de agua



Monitoreo de incendios forestales



Minería y geología



Cambio climático y desastres naturales











SENTINEL HUB EO BROWSER



PLATAFORMAS COMO GOOGLE EARTH ENGINE



Landsat

El Landsat es uno de los programas de observación de la Tierra más antiguos y consistentes del mundo, operado por la NASA y el USGS (Servicio Geológico de EE. UU.). Su objetivo es monitorear los cambios en la superficie terrestre a largo plazo.



Landsat

Satélite	Año de lanzamiento	Estado actual

Landsat 7 1999 falla de escaneo)

Landsat 8 2013 activo

Landsat 9 2021 activo



Landsat

- Sensor OLI (Operational Land Imager) Landsat 8 y 9
- 9 bandas multiespectrales (visible, NIR, SWIR, pancromática)
- Resolución:
 - 30 m en bandas ópticas
 - 15 m en banda pancromática (blanco y negro)
- Sensor TIRS (Thermal Infrared Sensor) Landsat 8 y 9
- 2 bandas térmicas (10 y 11)
- Resolución: 100 m (re-escalada a 30 m)





Monitoreo agrícola: salud de cultivos, índices de vegetación (NDVI, NDWI)



Gestión forestal: deforestación, biomasa



Cambio de uso del suelo: urbanización, minería, agricultura



Monitoreo del agua: cuerpos hídricos, humedad del suelo



Incendios: cicatrices de quemas, temperatura superficial





Landsat

USGS EarthExplorer

Google Earth Engine

Land Viewer (EOS)

AppEEARS (NASA)



Landsat Vs Sentinel

Característica	Landsat 8/9	Sentinel-2
Resolución espacial	15–30 m	10–60 m
Revisita	16 días	5 días (con 2 satélites)
Bandas espectrales	11 (OLI+TIRS)	13 (MSI)
Aplicaciones clave	Cambios a largo plazo	Agricultura, vegetación
Cobertura	Global	Global



MODIS

• El **MODIS** (Moderate Resolution Imaging Spectroradiometer) es un **sensor** instalado en dos satélites de la NASA.

Satélites Terra – lanzado en 1999 Aqua – lanzado en 2002

• Ambos satélites tienen órbitas polares sincronizadas con el Sol y están diseñados para ofrecer una visión global diaria del planeta.



MODIS

Característica Detalle

Resolución espacial 250 m, 500 m y 1000 m

Número de bandas 36 bandas espectrales (visible, NIR

 \rightarrow TIR)

Cobertura temporal Global cada 1–2 días

Ancho de escaneo 2,330 km

Datos desde Año 2000 (Terra)





NDVI y EVI (índices de vegetación)



Temperatura de la superficie terrestre (LST)



Cobertura del suelo



Nubes y aerosoles atmosféricos



Incendios (detección de puntos calientes)



Contenido de clorofila en océanos



Nieve y hielo



MODIS

- Cambio climático
- •Monitoreo agrícola y forestal a gran escala
- •Gestión de recursos hídricos
- •Seguimiento de sequías





MODIS

NASA LP DAAC (MODIS Products)

AppEEARS

Google Earth Engine

MODIS Subsets (ORNL DAAC)



Drones

- Los drones o vehículos aéreos no tripulados (UAVs) son plataformas aéreas que se utilizan ampliamente en teledetección, agricultura, medio ambiente, y muchos otros campos debido a su flexibilidad y bajo costo operativo.
- Un dron en teledetección es una plataforma aérea equipada con uno o más sensores (cámaras multiespectrales, térmicas, RGB (Visible), LIDAR, etc.) que captura datos desde el aire para analizar la superficie terrestre con gran detalle.



Drones



Tipo de sensor	Qué mide	Aplicaciones típicas
RGB	Imagen visible (como una cámara convencional)	Cartografía, conteo de plantas, inspecciones
Multiespectral	4–6 bandas: rojo, verde, azul, NIR, RedEdge	NDVI, salud de cultivos, vigor vegetal
🍾 Térmica (IR)	Temperatura superficial	Estrés hídrico, detección de animales, incendios
→ LiDAR	Nubes de puntos 3D (distancias con láser)	Altimetría, estructuras del suelo y vegetación
Hiperespectral	Decenas a cientos de bandas	Estudios detallados de composición química

Comparación de plataformas: drones vs satélites y poración colombiana de investigación agropecuaria

Característica	Drones	Satélites como Sentinel-2 o MODIS
Resolución espacial	Muy alta (cm por píxel)	Media a baja (10–1000 m)
Frecuencia de datos	Personalizable (día/hora)	Revisitación periódica (5–16 días)
Área de cobertura	Limitada (ha o km²)	Amplia (miles de km²)
Costo por uso	Medio a alto	Bajo (datos gratuitos)
Control del usuario	Total	Limitado (depende de órbita y clima)



¿Cómo se usa un dron en teledetección?



Planificación del vuelo (app tipo Pix4Dcapture o DJI GS Pro).



Captura de datos con cámara multiespectral (Micasense, Parrot Sequoia).



Corrección radiométrica con panel de calibración.



Procesamiento fotogramétrico (Pix4D, Agisoft Metashape, QGIS).



Cálculo de índices vegetativos (NDVI, NDRE, etc.).



Análisis e interpretación con mapas o series temporales.



Aviones

- Los aviones son una de las plataformas aéreas tripuladas más utilizadas en teledetección de alta resolución, especialmente cuando se necesita cubrir grandes extensiones de terreno con más flexibilidad que los satélites y más cobertura que los drones.
- Son aeronaves tripuladas que vuelan a altitudes medias (usualmente entre 1.000 y 10.000 metros) y llevan a bordo sensores especializados que capturan datos de la superficie terrestre. Se usan ampliamente en cartografía, estudios ambientales, monitoreo agrícola, estudios geológicos, forestales y urbanos.





Ventaja

Alta resolución espacial

Mayor cobertura por vuelo

Flexibilidad temporal

Carga útil elevada

Uso de sensores especializados

Descripción

Similar o superior a la de drones

Ideal para zonas grandes (decenas o cientos de km²)

Puede volar cuando y donde se necesite (clima permitido)

Puede llevar sensores grandes, pesados o múltiples a la vez

Cámaras hiperespectrales, LiDAR, térmicas, radar, etc.

Aviones



Plataforma

Aplicación típica

Aviones tripulados ligeros

Agricultura, silvicultura, planificación territorial

Aviones de investigación

Misiones científicas (NASA, ESA, INTA)

Aviones comerciales adaptados

Fotogrametría, cartografía urbana



Estimación de biomasa y productividad

Aplicaciones en investigación Seguimiento de **crecimiento de cultivos** o **silvopasturas**.

Generación de modelos digitales de elevación (MDE) y canopias.

Mapeo detallado de usos del suelo, deforestación, erosión.

Calibración/validación de sensores satelitales (como Sentinel o Landsat).



Comparación entre distintas plataformas: Satélite, Avión y dron

Característica	Satélite	Avión	Drone
Resolución espacial	Media	Alta	Muy alta
Cobertura	Global	Regional (100s km²)	Local (1–100 ha)
Flexibilidad	Baja	Media–Alta	Muy alta
Costo operativo	Bajo (datos libres)	Alto	Medio
Altura de vuelo	>700 km	1–10 km	30–150 m



Material de Autoaprendizaje

https://eventosytutoriales.my.canva.site/terminosteledeteccion

Guía Completa e Interactiva de Teledetección

Módulos Interactivos de Teledetección

Guía Interactiva de Teledetección





Machine Learning

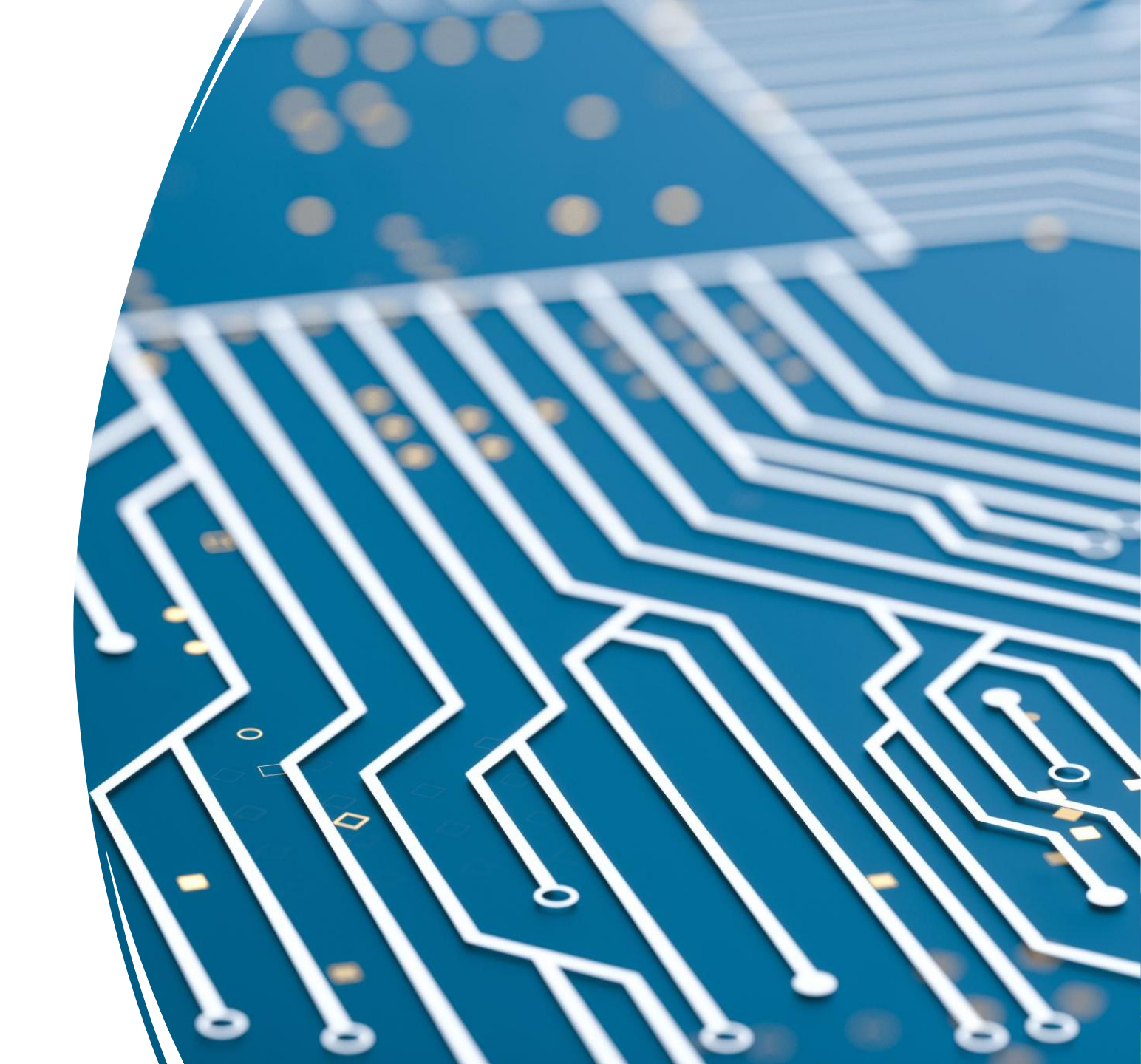
Machine learning (aprendizaje automático) es una rama de la inteligencia artificial que se centra en el desarrollo de algoritmos y modelos capaces de aprender patrones a partir de datos y mejorar su desempeño en una tarea específica sin ser programados de forma explícita para cada caso.

En lugar de seguir instrucciones fijas, un sistema de machine learning utiliza, por ejemplo, datos históricos para entrenar un modelo, el cual luego puede realizar predicciones, clasificaciones, recomendaciones o detección de patrones en nuevos datos

Machine Learning

Machine learning (aprendizaje automático) es una rama de la inteligencia artificial que se centra en el desarrollo de algoritmos y modelos capaces de aprender patrones a partir de datos y mejorar su desempeño en una tarea específica sin ser programados de forma explícita para cada caso.

En lugar de seguir instrucciones fijas, un sistema de machine learning utiliza, por ejemplo, datos históricos para entrenar un modelo, el cual luego puede realizar predicciones, clasificaciones, recomendaciones o detección de patrones en nuevos datos





Machine Learning

1

DATOS: EJEMPLOS O EXPERIENCIAS DE LOS QUE EL SISTEMA APRENDE.

2

MODELO: REPRESENTACIÓN MATEMÁTICA/ESTADÍSTICA QUE CAPTURA PATRONES DE LOS DATOS. 3

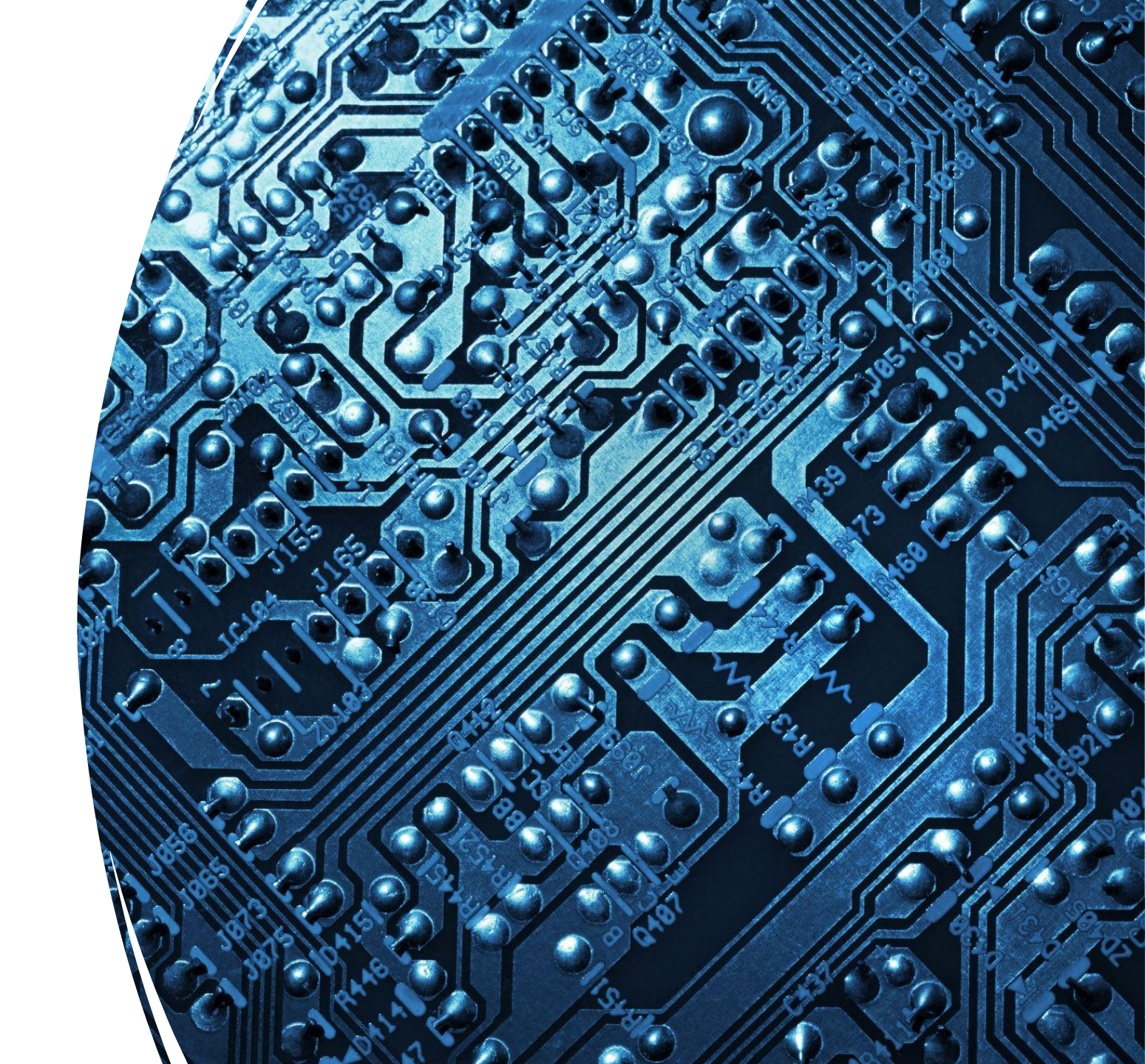
ENTRENAMIENTO: PROCESO DE AJUSTAR LOS PARÁMETROS DEL MODELO USANDO DATOS. 4

EVALUACIÓN: MEDICIÓN DEL DESEMPEÑO DEL MODELO EN DATOS NO VISTOS.

Inteligencia Artificial (IA)

La Inteligencia Artificial (IA) busca crear sistemas capaces de realizar tareas que normalmente requieren inteligencia humana, como el razonamiento, el aprendizaje, la percepción, la comprensión del lenguaje y la toma de decisiones.

En otras palabras, la IA trata de dotar a las máquinas de la capacidad de simular la inteligencia humana en distintos niveles, desde acciones simples (reconocer una voz o clasificar una imagen) hasta complejas (conducir un vehículo autónomo o diagnosticar una enfermedad).



Inteligencia Artificial



Aprender de la experiencia (Machine Learning).



Procesar y analizar grandes volúmenes de datos.



Razonar y resolver problemas.



Percibir el entorno mediante sensores (visión, sonido, etc.).



Interactuar con humanos (chatbots, asistentes virtuales).



Diferencias IA y ML

Aspecto Inteligencia Artificial Machine Learning

Alcance Campo general Subcampo de la IA

Método

Usa reglas, lógica, conocimiento Usa algoritmos de aprendizaje experto y ML basados en datos

Objetivo Simular inteligencia humana Aprender de datos para predecir o clasificar

Ejemplo Un robot que planifica rutas Un modelo que predice la ruta más rápida con datos históricos



Diferencias entre IA y ML





IA ES EL UNIVERSO COMPLETO.

ML ES UN **PLANETA DENTRO DE ESE UNIVERSO**.

Machine learning ¿Qué técnicas?



Supervisado → aprende con ejemplos correctos.



No supervisado → descubre patrones ocultos.



Refuerzo → aprende de recompensas.



Semi-supervisado → mezcla etiquetados y no etiquetados.



Ensembles → combina modelos para ser más robusto.



1. Aprendizaje Supervisado

El modelo aprende con **ejemplos etiquetados** (datos de entrada + la respuesta correcta).

- Ejemplos en agricultura digital:
 - Predecir biomasa o rendimiento de un cultivo a partir de imágenes Sentinel-2 y datos de campo.
 - Clasificar parcelas en cultivo, pasto, agua o bosque usando entrenamiento con mapas ya validados.
 - Detectar **estrés hídrico o nutricional** en potreros de Mombasa con índices espectrales (NDVI, NDRE).



2. Aprendizaje No Supervisado

El modelo busca patrones ocultos sin etiquetas.

- Ejemplos en agricultura digital:
 - Agrupar potreros en zonas homogéneas de vigor vegetal para fertilización diferenciada.
 - Detectar cambios en coberturas de suelo (deforestación, expansión agrícola).
 - Segmentar imágenes satelitales en regiones con distinta calidad de forraje.



3. Aprendizaje Semi-Supervisado

Se combinan pocos datos etiquetados con muchos sin etiquetar.

- Ejemplos en agricultura digital:
 - Clasificar cultivos cuando solo hay datos de campo en unas pocas parcelas, pero se tienen miles de imágenes satelitales.
 - Mapear malezas en pasturas, usando pocas muestras tomadas en terreno y grandes áreas sin etiqueta.



4. Aprendizaje por Refuerzo

El modelo aprende por **prueba y error**, recibiendo **recompensas o penalizaciones**.

- Ejemplos en agricultura digital:
 - Optimizar sistemas de riego inteligentes, ajustando el agua según humedad satelital + pronóstico climático.
 - Planificar rotación de potreros en sistemas silvopastoriles para maximizar productividad y bienestar animal.
 - Dirigir drones o robots agrícolas para monitorear cultivos de forma eficiente.



5. Aprendizaje por Ensambles (Ensemble Learning)

Se combinan varios modelos para obtener mayor precisión.

- Ejemplos en agricultura digital:
 - Usar Random Forest + XGBoost para predecir rendimiento de maíz o pasturas con datos de satélite + clima + suelo.
 - Mejorar la **detección temprana de plagas** en imágenes satelitales combinando distintos clasificadores.



1. Aprendizaje Supervisado

Algoritmo	Descripción	Ejemplo en agricultura digital (satélites)
Regresión Lineal (Simple, Multiple y regularizada como: ElasticNet, Ridge y LASSO)	Relación entre variables continuas.	Predecir biomasa de pasto Mombasa con NDVI de Sentinel-2.
Regresión Logística	Clasifica en dos categorías.	Detectar áreas con estrés hídrico en cultivos de maíz.
Árboles de decisión	Clasificación mediante reglas jerárquicas.	Clasificar tipos de cobertura (cultivo, pasto, bosque, agua).
Random Forest	Conjunto de árboles de decisión para mayor precisión.	Estimar rendimiento de caña con datos satelitales + clima.
SVM (Máquinas de Vectores de Soporte)	Encuentra fronteras óptimas para separar clases.	Clasificar cultivos vs malezas en imágenes satelitales.
Redes Neuronales Artificiales	Modelos inspirados en el cerebro, flexibles.	Estimar proteína en forraje con imágenes satelitales + datos de campo.



2. Aprendizaje no supervisado

A	lgoritmo

K-Means (Clustering)

DBSCAN

PCA (Análisis de Componentes Principales)

Descripción

Agrupa datos en clusters según similitud.

Agrupamiento por densidad, detecta anomalías.

Reduce dimensiones conservando información.

Ejemplo en agricultura digital (satélites)

Segmentar potreros en **zonas** homogéneas de vigor.

Identificar áreas afectadas por plagas o sequías.

Simplificar **bandas de Sentinel-2** para análisis más rápido.



Figmula en agricultura digital

3. Aprendizaje semisupervisado

Algoritmo	Descripción	(satélites)
Label Propagation	Propaga etiquetas de pocos datos hacia no etiquetados.	Clasificar cultivos con pocas parcelas medidas y muchas imágenes.
Autoencoders	Extraen características y reducen ruido.	Mejorar la detección de malezas en potreros con pocas muestras de campo.



4. Aprendizaje por refuerzo

Algoritmo	Descripción	Ejemplo en agricultura digital (satélites)
Q-Learning	Aprende mediante recompensas acumuladas.	Optimizar riego en arrozales usando humedad satelital + clima.
Deep Q-Networks (DQN)	Combina redes neuronales + refuerzo.	Controlar rotación de potreros en sistemas silvopastoriles.



5. Aprendizaje por ensamble

Algoritmo	Descripción	Ejemplo en agricultura digital (satélites)
Bagging (Random Forest)	Combina modelos para reducir varianza.	Predicción robusta de rendimiento de cultivos .
Boosting (<mark>XGBoost</mark> , LightGBM)	Combina modelos secuenciales para mejorar precisión.	Detección temprana de plagas y enfermedades en cultivos.



Revisión de algunas técnicas de aprendizaje

1. Aprendizaje supervisado

- Regresión Lineal (Simple, Multiple y regularizada como: ElasticNet, Ridge y LASSO)
- Random Forest
- SVM (Máquinas de Vectores de Soporte)

2. Aprendizaje no supervisado

- K-Means (Clustering)
- PCA (Análisis de Componentes Principales)

3. Aprendizaje por Ensamble

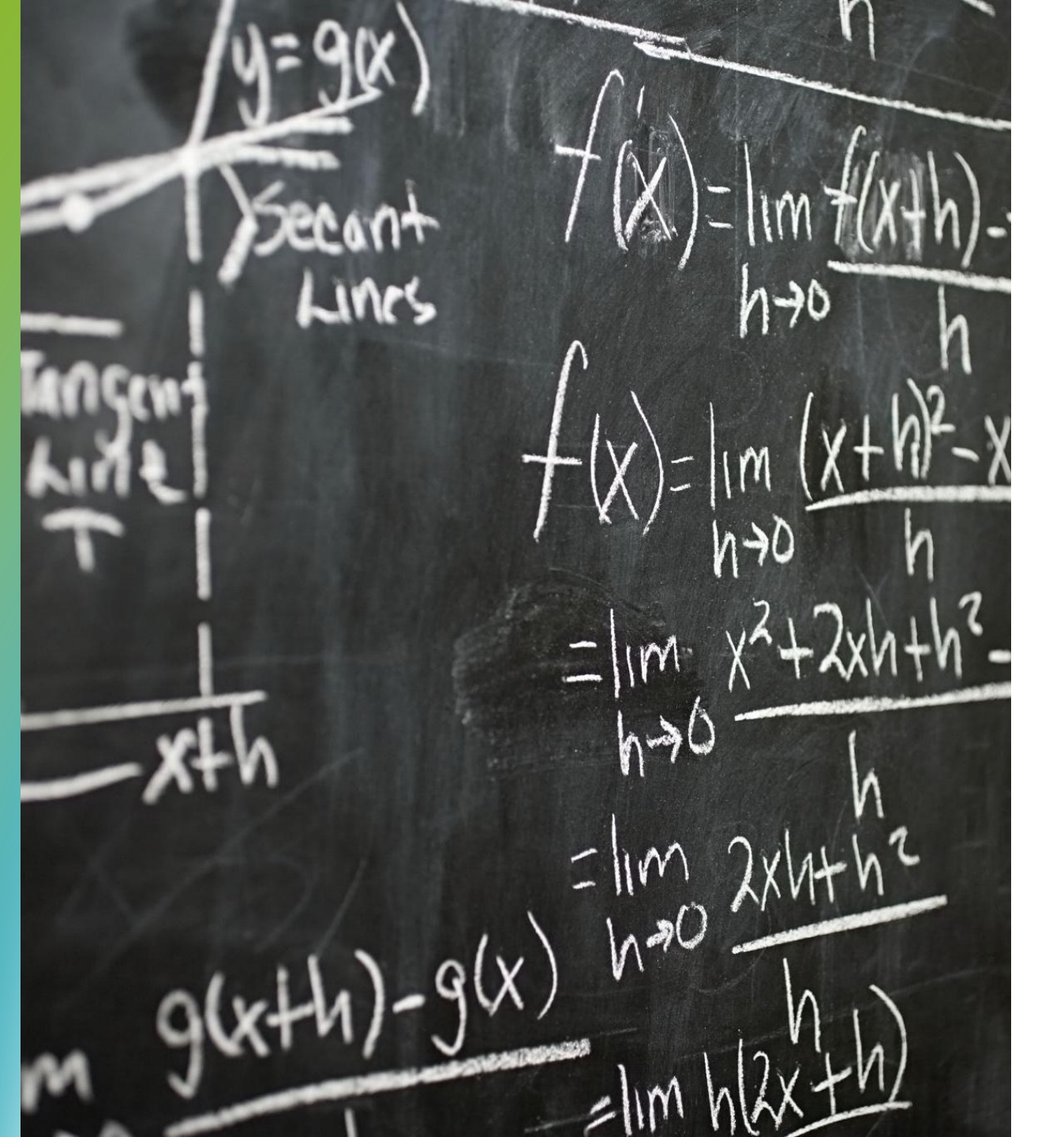
XGBoost



Fundamentos matemáticos

[1] G. James, D. Witten, T. Hastie, and R. Tibshirani, **An Introduction to Statistical Learning with Applications in Python**. New York, NY, USA: Springer, 2023.

[2] A. C. Müller and S. Guido, Introduction to Machine Learning with Python: A Guide for Data Scientists. Sebastopol, CA, USA: O'Reilly Media, 2017.



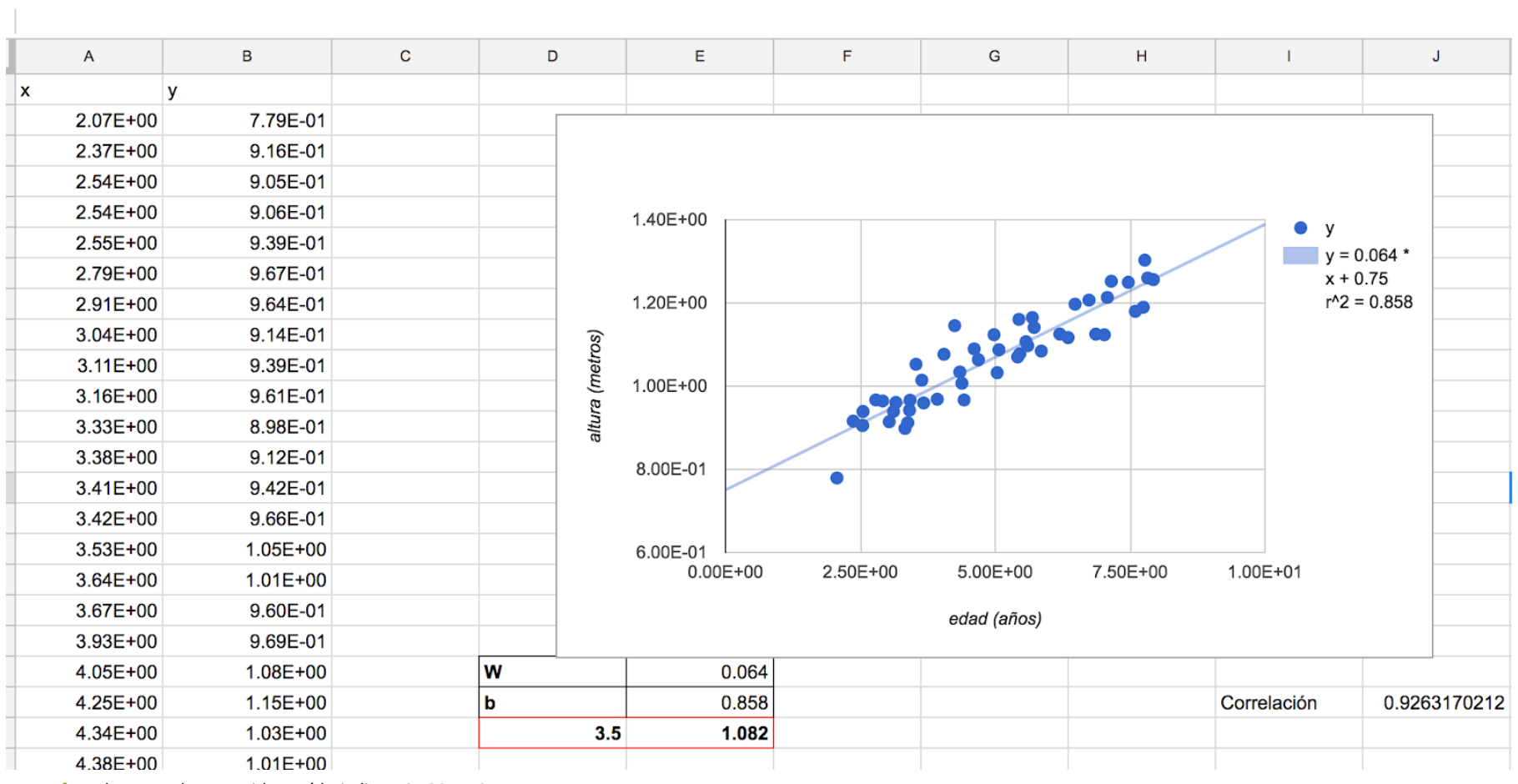
Fundamentos matemáticos

1. Aprendizaje supervisado

- Regresión Lineal
- a. Simple
- b. Múltiple
- c. Regularizada como: ElasticNet, Ridge y LASSO)



Regresión Lineal Simple



Esta foto de Autor desconocido está bajo licencia CC BY-SA



- ·Regresión lineal clásica (estadística):
- •Busca **explicar** la relación entre una variable dependiente YYY y una o varias independientes XXX.
- •El interés suele estar en los **coeficientes** (β): cuánto cambia YYY si XXX cambia también.
- •Ejemplo: "Por cada hora adicional de estudio, la nota aumenta 0.5 puntos".

Regresión lineal en machine learning (ML):

- •Se usa más para predecir que para explicar.
- •El foco no es tanto el valor de los coeficientes, sino que también llegue a un modelo generalizable para **nuevos datos**.
- •Ejemplo: predecir la producción de forraje el próximo mes con datos de clima y suelo.



Clásica:

- Normalmente usa Mínimos Cuadrados Ordinarios (OLS).
- •Busca minimizar el error cuadrático promedio

Machine Learning:

- •Puede usar OLS para disminuir el error de ajuste con los datos de entrenamiento, pero también métodos iterativos (ej. Gradient Descent) que buscan minimizar el error y son ideales para manejar grandes volúmenes de datos.
- •A menudo incluye **regularización** (Ridge, LASSO, Elastic Net) para evitar sobreajuste.
- •El interés es optimizar la función de pérdida + término de regularización.



3. Validación del modelo

• Clásica:

- Se apoya en supuestos (normalidad de errores, homocedasticidad, independencia, no multicolinealidad).
- Usa métricas como R^2 , pruebas de hipótesis, intervalos de confianza.

Machine Learning:

- Relajación de supuestos: no importa tanto si los errores son normales o si hay multicolinealidad.
- Validación se hace con conjuntos de entrenamiento, validación y prueba, usando técnicas como cross-validation o validación cruzada.
- Métricas típicas: RMSE, MAE, R²



4. Aplicación

Clásica:

- Más usada en investigación, ciencias sociales, econometría → para interpretar relaciones.
- Ejemplo: ¿Cómo influye el nivel educativo en el ingreso salarial?

Machine Learning:

- Más usada en predicción y sistemas automáticos → agricultura digital, visión por computadora, series temporales.
- Ejemplo: Predecir biomasa de Mombasa usando datos satelitales e IoT.



Regresión

Modelos

Clasificación



Métricas de evaluación de modelos ML (regresión)

1. MAE – Mean Absolute Error (Error Absoluto Medio)

$$MAE = \frac{1}{n} \sum_{i=1}^{n} |y_i - \widehat{y}_i|$$

- Calcula el promedio de los errores absolutos.
- •Es fácil de interpretar: indica, en promedio, cuánto se equivoca el modelo en las predicciones.
- •Ejemplo: si MAE = 2, significa que en promedio me equivoco **2 unidades** (kg, cm, etc.).

Métricas de evaluación de modelos ML (regresión)

2. RMSE – Root Mean Squared Error (Raíz del Error Cuadrático Medio)

$$RMSE = \sqrt{\frac{1}{n} \sum_{i=1}^{n} (y_i - \widehat{y_i})^2}$$

- Penaliza más los errores grandes, porque los eleva al cuadrado.
- Es útil cuando nos importa mucho que no haya errores grandes.
- También, al igual que el anterior, está en las **mismas unidades de la variable** que estamos prediciendo.
- Ejemplo: en agricultura, si predigo biomasa y RMSE = 50 kg/ha, significa que en promedio me equivoco en **50 kg/ha**.

Métricas de evaluación de modelos ML (regresión)



Coeficiente de Determinación - R²

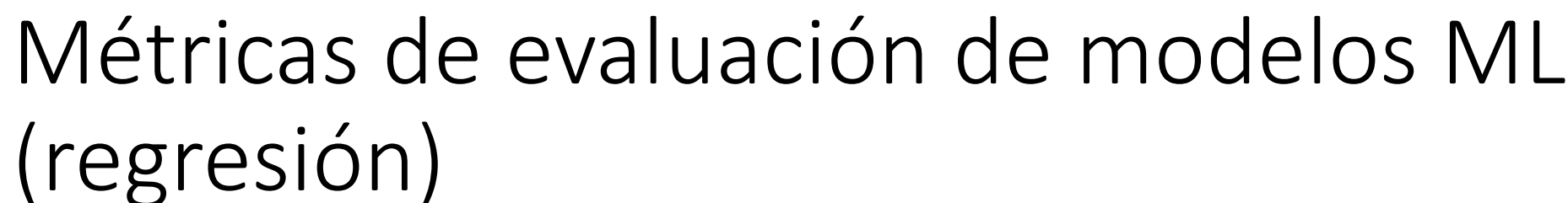
$$R^{2} = 1 - \frac{\sum (y_{i} - \hat{y}_{i})^{2}}{\sum (y_{i} - \hat{y})^{2}}$$

- Mide qué proporción de la variabilidad de los datos es explicada por el modelo.
- •Varía entre **0 y 1** (aunque puede ser negativa si el modelo es muy malo).
- • R^2 = 1 el modelo explica toda la variabilidad.
- $\bullet R^2 = 0$ el modelo no explica nada (igual que usar el promedio).
- •Ejemplo: $R^2 = 0.85 \rightarrow el$ modelo explica el 85% de la variación de los datos.

Métricas de evaluación de modelos ML (regresión)

- •MAE → promedio del error (robusto, fácil de interpretar).
- •RMSE → como el MAE, pero castiga más los errores grandes.
- • $R^2 \rightarrow$ qué tan bien se ajusta el modelo a los datos.







Ejemplo:

- •MAE te diría el error promedio en kg/ha.
- •RMSE resaltaría si tuviste errores muy grandes en ciertas parcelas.
- •R² diría qué porcentaje de la variabilidad entre parcelas está bien explicado por tu modelo

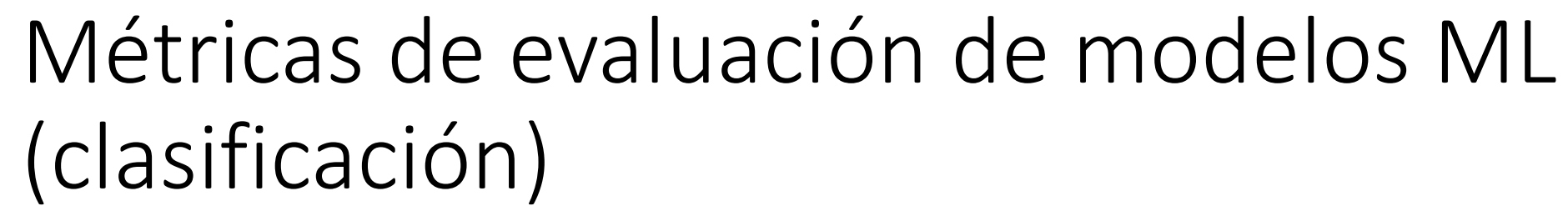
Métricas de evaluación de modelos ML (clasificación)

AGROSAVIA Corporación colombiana de investigación agropecuaria

F1-Score

$$F1 = 2 \frac{\text{Precisión} * \text{Recall}}{\text{Precisión} + \text{Recall}}$$

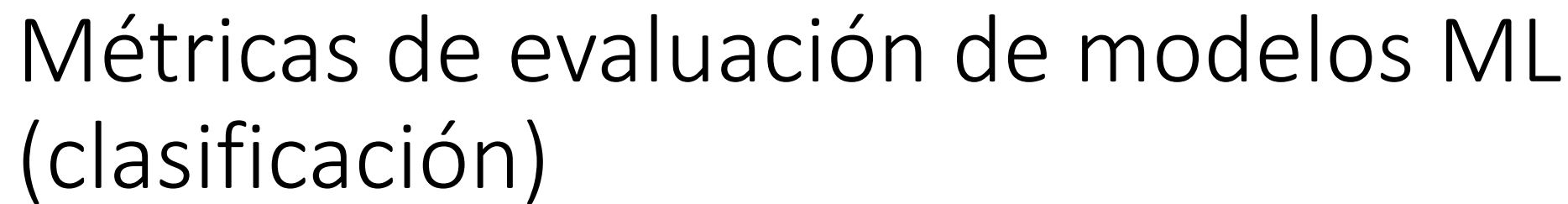
- Es la media armónica entre precisión y recall (sensibilidad).
- Útil cuando hay **clases desbalanceadas** (ej: 90% sanos, 10% enfermos). **Interpretación:**
- Precisión = de los que predije como positivos, ¿cuántos realmente lo son?
- Recall (sensibilidad) = de los positivos reales, ¿cuántos detecté?
- El **F1-score** equilibra ambas cosas.



AGROSAVIA Corporación colombiana de investigación agropecuaria

Ejemplo:

- En un modelo que predice si una planta tiene una enfermedad:
- Alta precisión pero bajo recall → casi no doy falsos positivos, pero me pierdo muchos enfermos.
- Alta recall pero baja precisión → detecto casi todos los enfermos, pero doy muchas falsas alarmas.
- F1 mide el **balance** entre ambos.



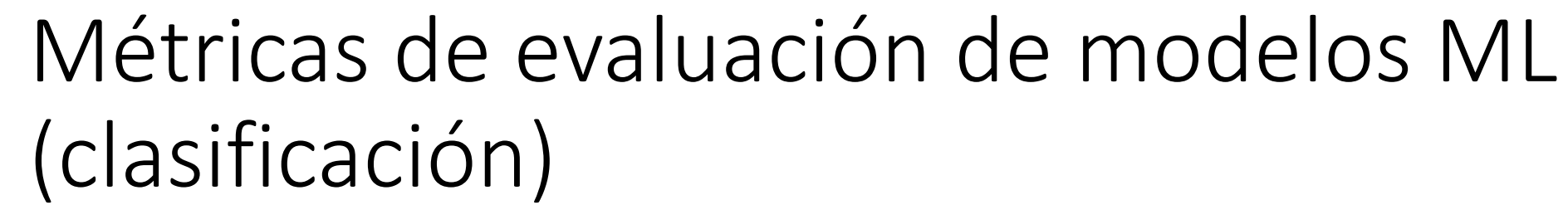
AGROSAVIA Corporación colombiana de investigación agropecuaria

AUC – Area Under the Curve (Área bajo la curva ROC)

- Se calcula a partir de la curva ROC (Receiver Operating Characteristic).
- La curva ROC grafica:
 - **Eje Y:** Tasa de verdaderos positivos (Recall o Sensibilidad).
 - **Eje X:** Tasa de falsos positivos (1 Especificidad).

Interpretación:

- AUC = $1 \rightarrow$ el modelo separa perfectamente las clases.
- AUC = $0.5 \rightarrow$ el modelo no es mejor que adivinar al azar.
- AUC $< 0.5 \rightarrow$ peor que azar (clasifica al revés).





Ejemplo en agricultura digital:

- Si quiero clasificar imágenes satelitales en "pasto sano" vs "pasto estresado",
 - AUC = 0.90 significa que hay un 90% de probabilidad de que el modelo dé una puntuación mayor a un píxel realmente "sano" que a uno realmente "estresado".



Métricas de evaluación de modelos ML (clasificación)

F1-score → equilibrio entre precisión y recall (útil con clases desbalanceadas).

AUC → mide la capacidad del modelo para distinguir entre clases, independiente del umbral.



Regresión Lineal simple

• La regresión lineal simple modela la relación entre una variable dependiente y una independiente a través de una recta:

$$y_i = \beta_0 + \beta_1 x_i + \varepsilon_i$$

donde:

 y_i =variable dependiente

 x_i : variable independiente

 β_0 : intercepto

 β_1 : pendiente

 ε_i : término de error



Regresión lineal simple

• Los coeficientes β_0 y β_1 se estiman con:

$$\beta_1 = \frac{\sum (x_i - \bar{x})(yi - \bar{y})}{\sum (x_i - \bar{x})^2}$$

$$\beta_0 = \bar{y} - \beta_1 \bar{x}$$

El objetivo del modelo es **estimar los parámetros** β_0 y β_1 a partir de los datos, usualmente usando el **método de mínimos cuadrados**:



Regresión lineal simple

$$\beta_0 = \bar{y} - \widehat{\beta_1}\bar{x}$$
 $\widehat{\beta_1} = \frac{\sum_{i=1}^n (x_i - \bar{x})(y_i - \bar{y})}{\sum_{i=1}^n (x_i - \bar{x})^2}$



Regresión lineal múltiple

 La regresión lineal múltiple extiende la regresión lineal simple a varios predictores:

$$y_i = \beta_0 + \beta_1 x_{i1} + \beta_2 x_{i2} + \dots + \beta_p x_{ip} + \varepsilon_i$$

donde:

• y_i : variable dependiente

• x_{ip} : variables independientes

• β_0 : intercepto

• β_p : coeficientes de regresión

• ε_i : término de error



Regresión lineal múltiple

El modelo puede escribirse en notación matricial como:

$$Y = X\beta + \varepsilon$$

- donde:
- Y es el vector de respuestas o salida (n×1)
- Xes la matriz de predictores (n×p)
- β es el vector de coeficientes (p×1)
- ε es el vector de errores (n×1)

Los parámetros se estiman mediante el método de mínimos cuadrados:

$$\hat{\beta} = (X^T X)^{-1} X^T Y$$



Regresión Lineal Ridge, LASSO, ElasticNet

1. Regresión Ridge (o Tikhonov)

• Minimiza la suma de errores cuadrados más una penalización L2:

$$\widehat{\beta^{ridge}} = \arg\min_{\beta} \left\{ \sum_{i=1}^{n} \left(y_i - \beta_0 - \sum_{j=1}^{p} \beta_j x_{ij} \right)^2 + \lambda \sum_{j=1}^{p} \beta_j^2 \right\}$$



Regresión Lineal Ridge, LASSO, ElasticNet

2. Regresión LASSO (Least Absolute Shrinkage and Selection Operator)

• Minimiza la suma de errores cuadrados más una penalización L1:

$$\widehat{\beta^{lasso}} = \arg\min_{\beta} \left\{ \sum_{i=1}^{n} \left(y_i - \beta_0 - \sum_{j=1}^{p} \beta_j x_{ij} \right)^2 + \lambda \sum_{j=1}^{p} |\beta_j| \right\}$$



Regresión Lineal Ridge, LASSO, ElasticNet

3. Regresión Elastic Net

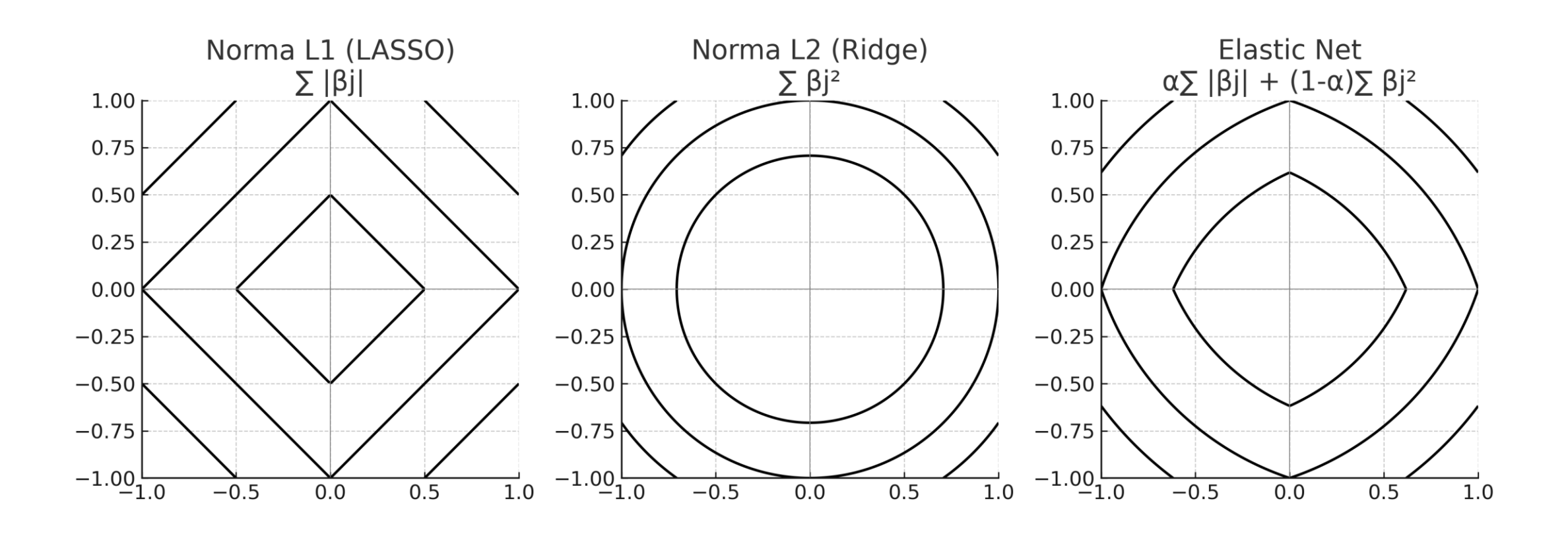
• Combina L1 (LASSO) y L2 (Ridge) con un parámetro de mezcla α:

$$\widehat{\beta^{EN}}$$

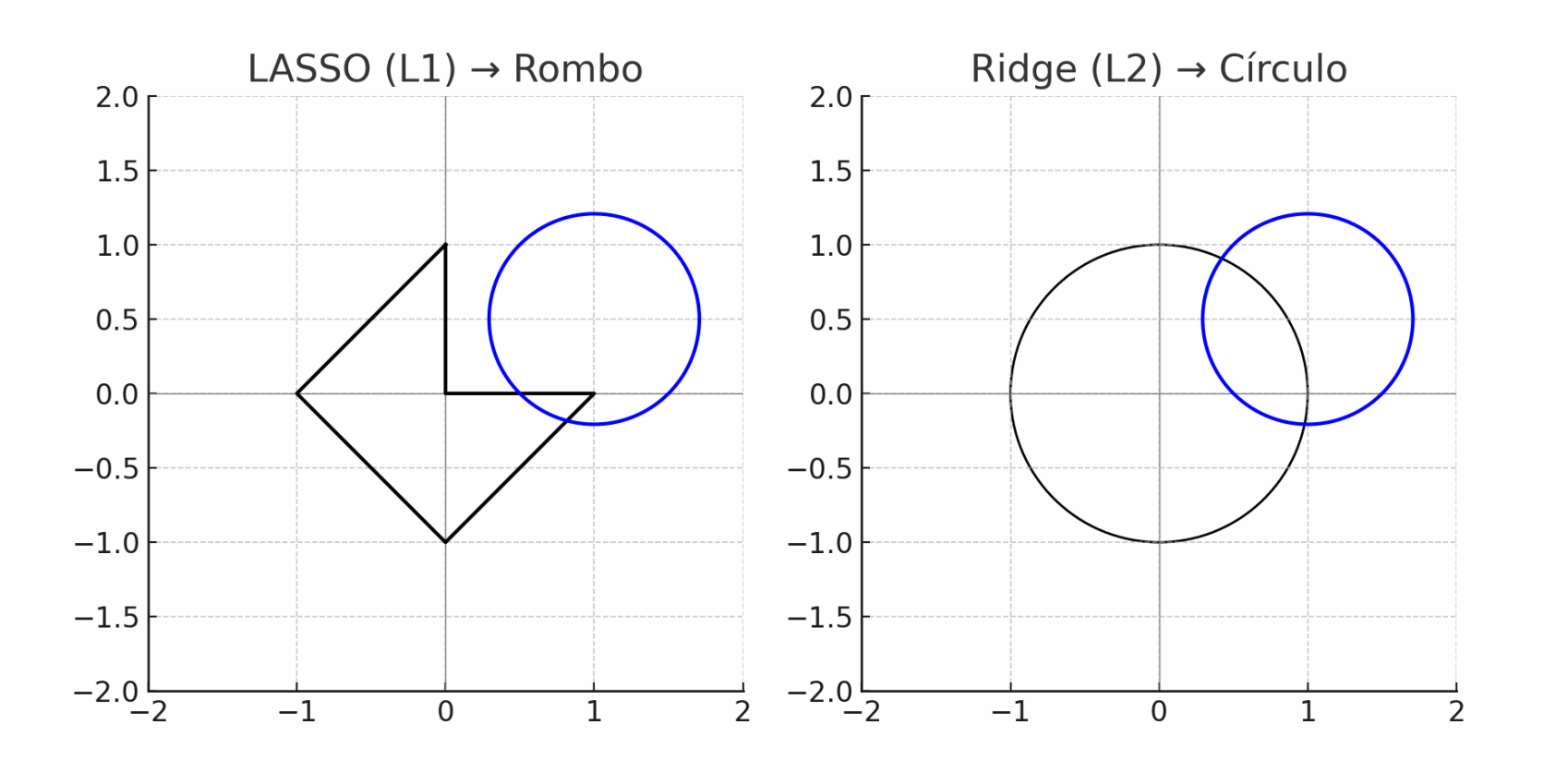
$$= \arg\min_{\beta} \left\{ \sum_{i=1}^{n} \left(y_i - \beta_0 - \sum_{j=1}^{p} \beta_j x_{ij} \right)^2 + \lambda \left[\alpha \sum_{j=1}^{p} |\beta_j| + (1 - \alpha) \sum_{j=1}^{p} \beta_j^2 \right] \right\}$$

AGROSAV/A Corporación colombiana de investigación agropecuaria

Representación geométrica de las penalizaciones







Random Forest es un método de aprendizaje conjunto (ensemble learning) que combina múltiples árboles de decisión para crear un modelo más robusto y preciso

Random Forest se basa en el principio de bagging, que reduce la varianza del modelo mediante el promediado de múltiples estimadores.





Conjunto de datos

$$D = \{(x_1, y_1), (x_2, y_2), \dots, (x_n, y_n)\}\$$

Donde:

 $x_i \in \mathbb{R}_P$ (p características)

 $y_i \in \mathbb{R}$ (regresión) o $y_k \in 1,2,...,K(clasificación)$

n= número de muestras



Bootstrap Aggregating (Bagging)

Crear B muestras Bootstrap D_b mediante muestreo con reemplazo de los datos originales de cada árbol (unos se repiten y otros quedan fuera (out-of bag, pero son útiles para validación interna).

- Entrenar un árbol T_b (árbol de decisión) para cada muestra
- Combinar predicciones

Regresión:

$$\hat{f}_{RF}(x) = \frac{1}{B} \sum_{b=1}^{B} T_b(x)$$

Clasificación:

$$\hat{f}_{RF}(x) = \text{mode}\{T_1(x), T_2(x), \dots T_b(x)\}$$



Feature Bagging

Segunda Fuente de Aleatoriedad

En cada nodo del árbol, en lugar de evaluar todas las variables, solo se consideran m características aleatorias de las p (predictoras) totales

• Decorrelaciona los árboles (mejor Split del conjunto para crecer el árbol), buscando que los arboles sean diferentes entre sí.

Valores típicos:

Clasificación: $m = \sqrt{p}$

Regresión: $m = \frac{p}{3}$



Crecimiento de árboles

- Cada árbol se expande hasta una cierta profundidad o hasta que mejore el ajuste.
- Normalmente no se podan (a diferencia de los árboles clásicos), porque la diversidad mejora el resultado.

Combinación de resultados

- Una vez construidos todos los árboles (n árboles en el bosque):
 - Clasificación: cada árbol "vota" por una clase, y la clase con más votos es la predicción final (mayoría).
 - Regresión: se promedian las predicciones de todos los árboles.



Evaluación del modelo

- Se pueden usar los datos "out-of-bag" (los que quedaron por fuera de cada bootstrap) como validación interna.
- También se emplean métricas clásicas: MAE, RMSE, \mathbb{R}^2 para regresión, o accuracy, F1-score, AUC para clasificación.

Se evalúa con el conjunto de prueba.



Reducción de Varianza Análisis Matemático

Varianza del Random Forest:

$$\operatorname{var}(\hat{f}_{RF}) = \rho \sigma^2 + \frac{1 - \rho}{B} \sigma^2$$

Donde:

 σ^2 = varianza de un árbol individual

 ρ = correlación promedio entre árboles

B = numero de árboles

Si
$$B \to \infty$$

$$Var(\hat{f}_{RF}) \rightarrow \rho \sigma^2$$



Criterios de División - Clasificación

• Medidas de Impureza Impureza Gini:

$$G = 1 - \sum_{k=1}^{k} P_k^2$$

Entropía:

$$H = -\sum_{k=1}^{k} p_k \log(p_k)$$

Donde p_k = proporción de muestras de clase k en el nodo



Out-of-Bag (OOB) Error

Validación Integrada

- Cada árbol usa ~63.2% de muestras únicas
- El 36.8% restante son muestras OOB

OBB
$$Eror = \frac{1}{n} \sum L(y_i, f_{OOB}^{(i)})$$

 $f_{OOB}^{(i)}$ = predicción usando solo arboles donde x_i fue OBB Proporción esperada en bootstrap:

$$1 - \left(1 - \frac{1}{n}\right)^n = 0.632$$



- De las n muestras originales, aproximadamente 0.632n aparecerán al menos una vez en la muestra bootstrap
- Aproximadamente 0.368n muestras NO aparecerán (estas son las muestras Out-of-Bag)
- •Algunas muestras aparecerán múltiples veces (por eso tenemos n muestras totales pero solo.



Esta propiedad es fundamental porque:

- Validación natural: El 36.8% de muestras OOB sirven como conjunto de validación
- Diversidad: Cada árbol ve un subconjunto diferente de datos
- Reducción de sobreajuste: Los árboles no memorizan todo el dataset
- Estimación de error sin CV: OOB error es un estimador insesgado del error de generalización.



Estimador Completo

Formulación General:

$$\hat{f}_{RF}(x) = \frac{1}{B} \sum_{b=1}^{B} T(x; \theta_b, D_b)$$

- D_b = muestra Bootstrap b-esmima
- θ_b = selección aleatoria de características
- $T(x; \theta_h, D_h)$ = árbol b-ésimo



Por qué funciona Random Forest

- Robustez al sobreajuste
 - Promediado reduce varianza sin aumentar sesgo
- No paramétrico
 - Sin supuestos distribucionales
- Captura no linealidades
 - Árboles modelan interacciones complejas
- Invariante a transformaciones monótonas
 - No requiere normalización



Puntos Clave

- Bagging: Reduce varianza mediante promediado
- Feature randomness: Decorrelaciona predictores
- OOB: Validación sin conjunto separado
- Convergencia: Var $-\rho\sigma^2$ cuando B $-\infty$
- Balance óptimo: Bajo sesgo + Baja varianza

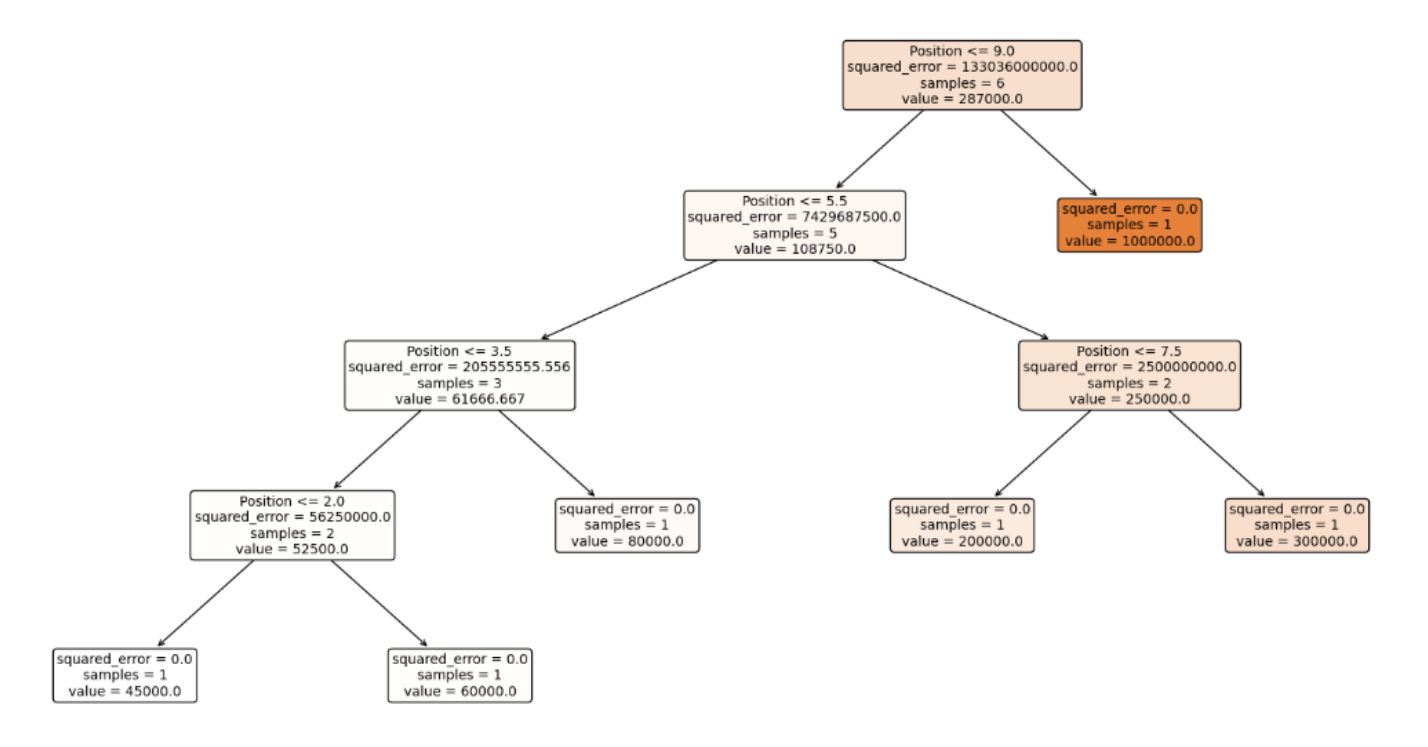
Aplicaciones:

- Clasificación y regresión
- Alta dimensionalidad
- Datos con ruido
- Detección de importancia de variables





Decision Tree from Random Forest





Panel de Configuración:

- Número de árboles: Ajustable de 1 a 50 para ver cómo afecta el ensemble
- Profundidad máxima: Control sobre la complejidad de cada árbol
- Muestras por hoja: Parámetro de regularización
- Selección de características: Diferentes estrategias (sqrt, log2, todas)
- Tipo de problema: Clasificación o regresión
- Conjuntos de datos: Varios patrones sintéticos para explorar



Visualización:

- Gráfico de datos: Muestra los puntos de entrenamiento con colores por clase
- Límites de decisión: Visualiza las regiones de clasificación del modelo
- Vista de árboles individuales: Cada árbol muestra sus estadísticas
- Métricas en tiempo real:

Precisión promedio del bosque

OOB Score (Out-of-Bag)

Profundidad promedio de los árboles

Total de nodos en el bosque



Uso pedagógico:

- Explorar el efecto del número de árboles: Muestra cómo más árboles generalmente mejoran la estabilidad
- Entender el bootstrap sampling: Cada árbol se entrena con muestras diferentes
- Visualizar el voting/averaging: La predicción final combina todos los árboles
- Experimentar con diferentes datasets: Ver cómo el algoritmo maneja diferentes patrones



Opciones en el applet:

- Vn (Raíz cuadrada): Si tienes 100 características, cada división considera solo 10
 - Bueno para clasificación
 - Mayor diversidad entre árboles
- log₂(n): Si tienes 100 características, cada división considera ~7
 - Más restrictivo
 - Árboles más diversos pero potencialmente menos precisos individualmente
- Todas: Usa todas las características (no es Random Forest puro)
 - Menor diversidad
 - Similar a un bosque de árboles normales



Queremos **predecir el rendimiento de un cultivo (kg/ha)** a partir de variables obtenidas por sensores e imágenes satelitales:

- NDVI (índice de vegetación).
- Precipitación acumulada (mm).
- Temperatura media (°C).

Esto es un **problema de regresión**, ya que la variable de salida es numérica (rendimiento).

Ejemplo:

Entrenamiento: Se construye un bosque de 200 árboles de decisión.

•Predicción: El modelo estima el rendimiento de cada parcela.

Métricas típicas:

•MAE: error promedio en kg/ha.

•RMSE: penaliza más los errores grandes.

•R²: qué proporción de la variabilidad del rendimiento explican las variables.

•Importancia de variables: El gráfico muestra cuáles variables (NDVI, precipitación, temperatura) influyen más en la predicción.





SVM (Máquinas de Vectores de Soporte)

SVM (Support Vector Machine o Máquina de Vectores de Soporte) es un algoritmo de aprendizaje supervisado cuyo modelo matemático se basa en encontrar el hiperplano óptimo que separa las clases de datos con el margen máximo.

El objetivo es encontrar un hiperplano definido por:

$$w \cdot x + b = 0$$

- w es el vector de pesos (normal al hiperplano)
- •x es el vector de características
- •b es el término de sesgo



SVM (Máquinas de Vectores de Soporte)

Función de decisión:

$$f(x) = sign(w \cdot x + b)$$

Problema de optimización:

Minimizar: $\frac{1}{2} ||w||^2$

Sujeto a: $y_i(w \cdot x_i + b) \ge 1$ para i = 1,...,n

Donde $y_i \in \{-1, +1\}$ son las etiquetas de clase.



SVM (Máquinas de Vectores de Soporte)

Kernel trick

Para casos no lineales, se mapean los datos a un espacio de mayor dimensión usando kernels:

Función de decisión: $f(x) = sign(\sum \alpha_i y_i K(x_i, x) + b)$

Kernels comunes:

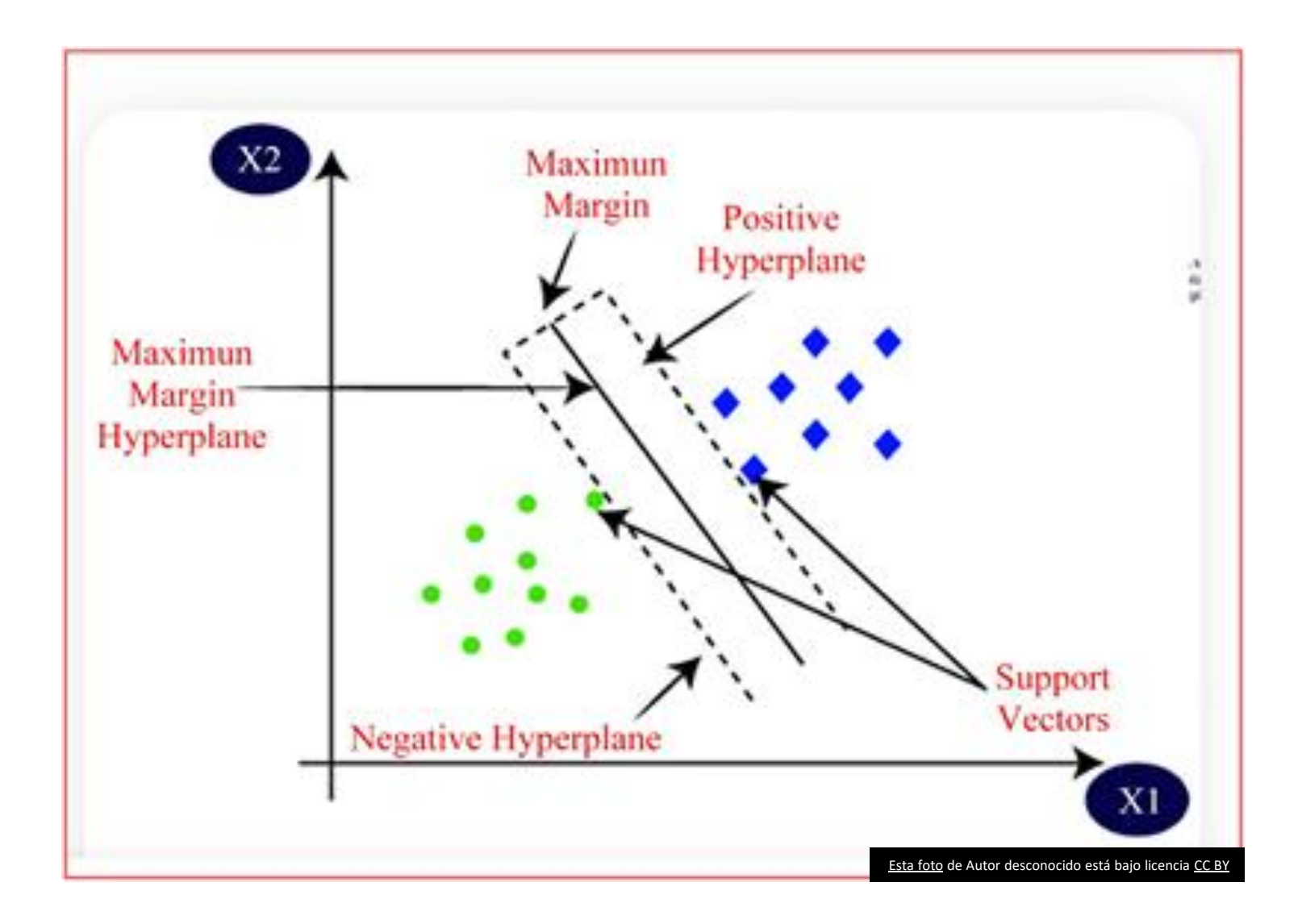
•Lineal: $K(x_i,x_j) = x_i \cdot x_j$

•Polinomial: $K(x_i,x_j) = (\gamma x_i \cdot x_j + r)^d$

•RBF (Gaussiano): $K(x_i,x_j) = exp(-\gamma||x_i-x_j||^2)$

Los vectores de soporte son aquellos puntos x_i donde $\alpha_i > 0$, y son los únicos que determinan el hiperplano de separación.







Ejemplo con SVM

Problema: Queremos clasificar zonas de un cultivo en dos clases usando imágenes satelitales:

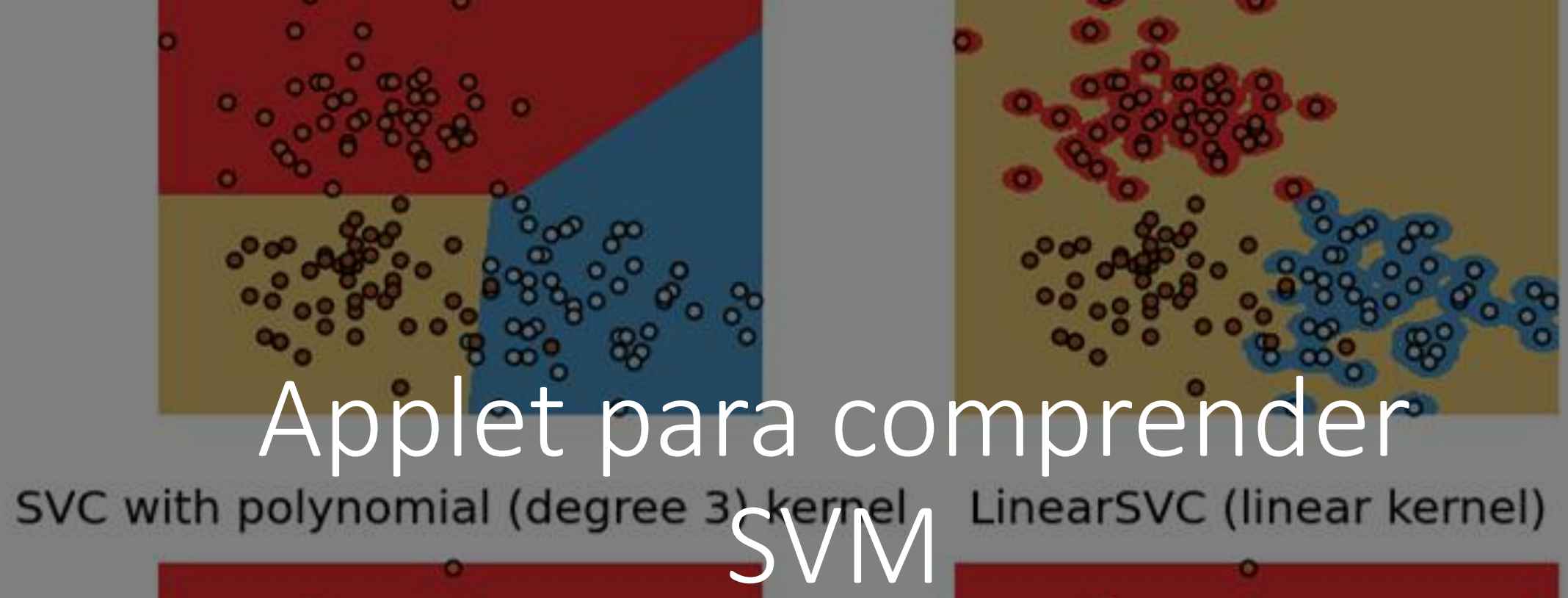
• Clase 1: "estrés hídrico" 🖤

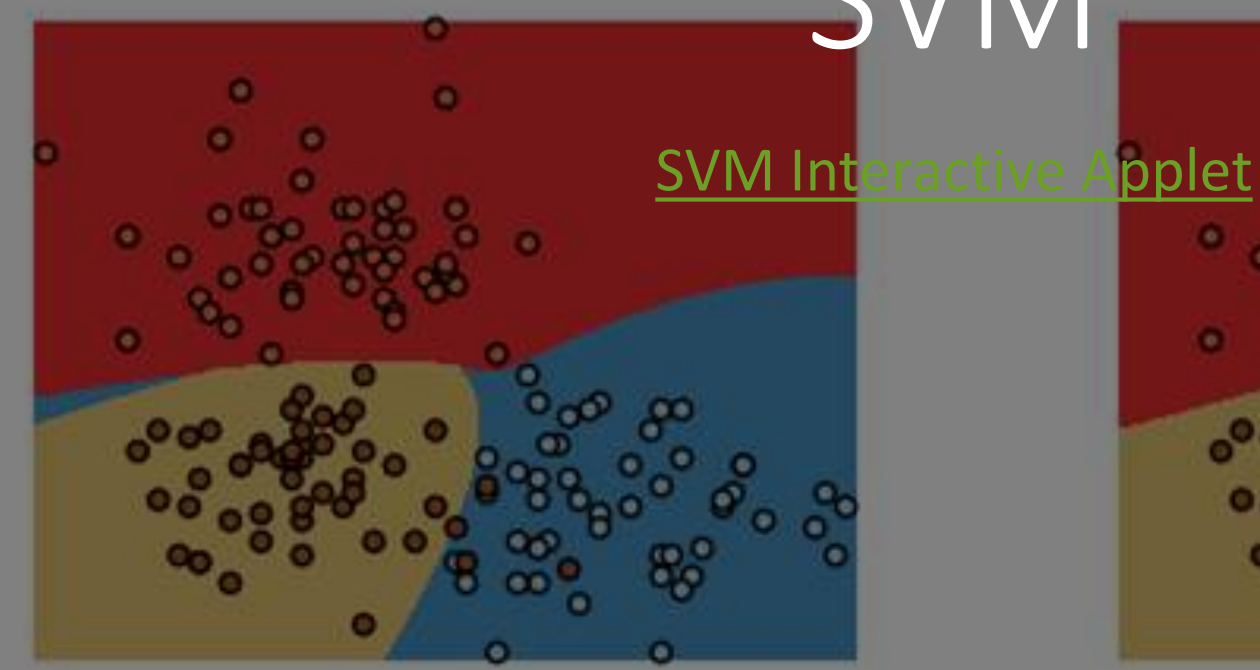


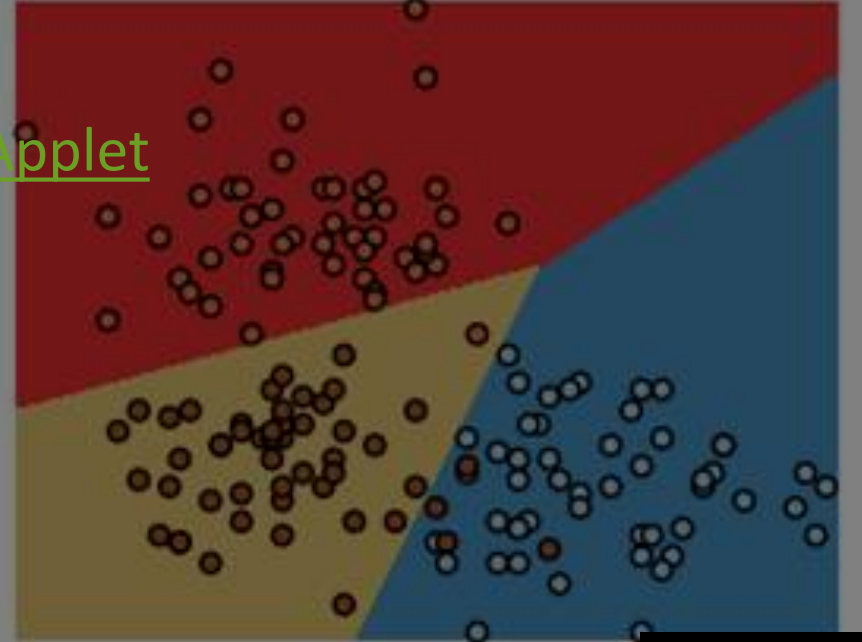
Variables (features) de entrada:

- NDVI (índice de vegetación).
- Humedad del suelo.
- Temperatura superficial.

Salida: Etiqueta binaria \rightarrow 0 = estrés, 1 = sano.









K-means (k-medias)

K-means es un algoritmo de Machine Learning no supervisado que se usa para clustering (agrupamiento). Su objetivo es dividir un conjunto de datos en k grupos (clusters), de tal forma que:

- Los puntos dentro de un mismo grupo sean lo más parecidos posible.
- Los puntos de diferentes grupos sean lo más distintos posible.



K-means (k-medias)

Minimizar la suma de distancias cuadradas intracluster:

$$J = \sum_{i=1}^{\infty} \sum_{x \in c_i} ||x - \mu_i||^2$$

K es el numero de cluster c_i es el conjunto de puntos en el cluster i μ_i el el centroide del cluster i $\|x - \mu_i\|^2$ distancia euclidiana al cuadrado.



K-means (k-medias)

Pasos del algoritmo:

- 1. Inicialización: seleccionar k centroides $\mu_1, \mu_2, \mu_3, ... \mu_k$
- 2. Asignación: Cada punto x_i se asigna al clúster más cercano:

$$c_i = \left\{ x_j : \|x_j - \mu_i\|^2 \le \|x_j - \mu_l\|^2 : \forall l \in \{1, ..., k\} \right\}$$

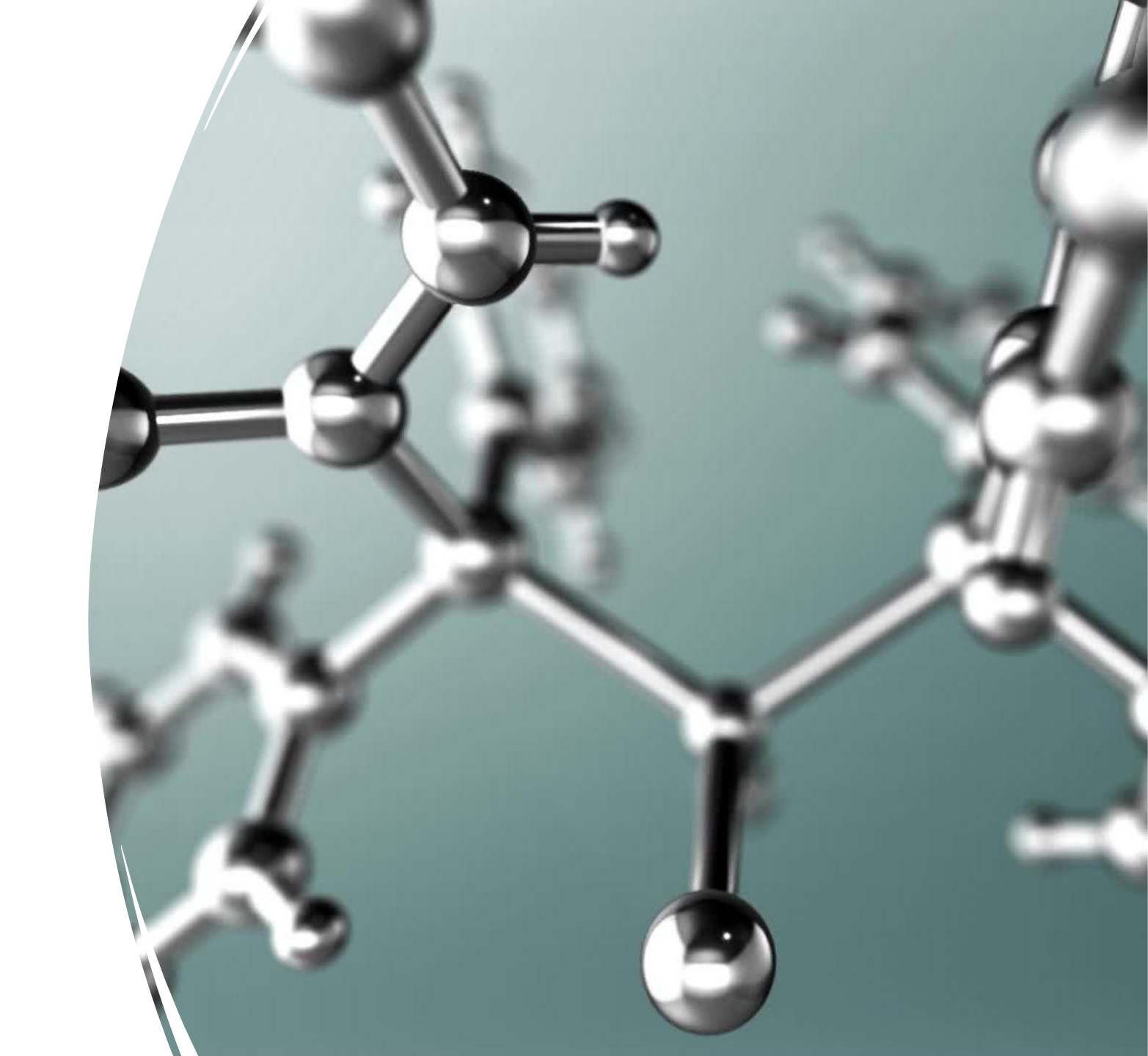
3. Actualización : Recalcular centroides como medidas de puntos asignados:

$$\mu_i = \frac{1}{C_i} \sum_{\mathbf{x} \in C_i} \mathbf{x}$$

4. Convergencia: Repetir 2-3 hata que centroides no cambien o $\Delta J < \epsilon$

Características de k-means

- •Convergencia a mínimo local garantizada
- No garantiza óptimo global
- •Resultado depende de inicialización





Ejemplo en Agricultura Digital

- Supongamos que tengo imágenes satelitales de un cultivo y quiero segmentar áreas según vigor (NDVI):
- Pongo $k=3k=3k=3 \rightarrow tres grupos$:
 - Cluster 1: áreas de bajo vigor (estrés hídrico).
 - Cluster 2: vigor medio.
 - Cluster 3: alto vigor (pastura sana).
- El algoritmo encuentra los centroides y agrupa los píxeles.
- Resultado: un mapa temático con tres zonas de manejo.

Ventajas: No se requiere entrenamiento.

Ideal Clustering





PCA (Principal Component Analysis o Análisis de Componentes Principales) es una técnica estadística de reducción de dimensionalidad que se usa mucho en machine learning, y análisis de datos multivariados.

- Toma un conjunto de variables originales (muchas veces correlacionadas) y las transforma en un nuevo conjunto de variables llamadas componentes principales.
- Estos componentes principales:
 - Son combinaciones lineales de las variables originales.
 - Son no correlacionados entre sí (transforma a espacios con independencia lineal)
 - Están ordenados según la cantidad de variabilidad (información) que explican.
- En pocas palabras: PCA encuentra nuevas variables (componentes) que resumen la mayor parte de la información de los datos originales, con menos dimensiones.



Objetivo:

Encontrar proyección lineal que maximice la varianza de los datos proyectados o minimice el error de reconstrucción.

Formulación:

Datos: Matrix $X \in \mathbb{R}^{n \times d}$ (n muestras, d dimensiones)

1. Centrado de datos:

$$\bar{\mathbf{x}} = \frac{1}{n} \sum_{i=1}^{n} \mathbf{x}_{i}$$

Donde $X_c = X - \bar{x}$



Matriz de covarianza:

$$C = \frac{1}{n-1} X_c^T X_c$$

Descomposición espectral:

$$C = V\Lambda V^{T}$$

Donde:

V = matriz de vectores propios (componentes principales)

 Λ = matriz diagonal de valores propios $\lambda_1 \geq \lambda_2 \geq ... \geq \lambda_d$



Proyección

Reducción a k dimensiones:

$$Y = X_c V_k$$

Donde V_k contiene los primeros k vectores propios.

Tenemos la varianza:

$$Var_{k} = \frac{\sum_{i=1}^{k} \lambda_{i}}{\sum_{i=1}^{d} \lambda_{i}}$$

Error de reconstrucción:

$$E = \|X_c - X_c V_k V_k^T\|_F^2 = \sum_{i=k+1}^d \lambda_i$$



Problema de optimización

$$V_{max}Tr(V^{\mathrm{T}}CV)s.t.$$
 $V^{\mathrm{T}}V=I$

- Componentes principales = V
- •Valores propios = $\frac{\sigma_i^2}{n-1}n$

Pasos para implementar el PCA

- •Estandarizar los datos (si las variables tienen diferentes escalas).
- •Calcular la matriz de covarianza entre las variables.
- •Obtener valores propios y vectores propios (autovalores y autovectores).
- •Cada autovalor indica cuánta varianza explica el componente.
- •Cada autovector define la dirección del nuevo componente.
- •Ordenar los componentes principales de mayor a menor varianza explicada.
- •Proyectar los datos originales en el nuevo espacio de componentes.



Ejemplo

Imagina que mides en cada parcela:

- NDVI (índice de vegetación).
- EVI (índice mejorado de vegetación).
- Humedad del suelo.
- Temperatura superficial.
- Reflectancia en bandas espectrales (azul, verde, rojo, NIR).
- Estos datos pueden estar muy correlacionados (ej. NDVI y EVI).



Ejemplo PCA

Con PCA:

- Reduces todas esas variables a 2 o 3 componentes principales.
- Aún así capturas 80-95% de la variabilidad original.
- Esto permite:
 - Visualizar mejor los datos (gráficos 2D o 3D).
 - Aligerar el cálculo en algoritmos de machine learning.
 - Eliminar redundancia entre variables.
- Ejemplo práctico: aplicar PCA a imágenes hiperespectrales (200+bandas) para resumirlas en 3 componentes y generar un **mapa RGB sintético** que concentre la mayor parte de la información.



PCA y cambio de bases en espacios vectoriales

PCA (Análisis de Componentes Principales) es justamente un cambio de base en el espacio de los datos. ©

¿Cómo se entiende el cambio de base en PCA?

- Tienes tus datos originales en una base formada por las variables originales (ej: NDVI, humedad, temperatura, bandas espectrales, etc.).
- PCA calcula los **autovectores de la matriz de covarianza**, que forman una **nueva base ortogonal** (perpendicular entre sí). Osea un nuevo subespacio vectorial con unos autovectores (matriz de covarianza) y autovalores (lambda)
- Luego proyecta los datos en esta nueva base.

Es decir:

- Las direcciones principales (componentes) son autovectores.
- La importancia de cada dirección (cuánta varianza explica) está dada por los autovalores.



Analogía geométrica PCA

Imagina una nube de puntos en 2D:

- Eje X = NDVI
- Eje Y = humedad

La nube no está alineada con los ejes, sino inclinada.

PCA rota el sistema de coordenadas para que el **primer eje (PC1)** quede alineado con la dirección donde los datos tienen mayor dispersión (varianza). El **segundo eje (PC2)** es ortogonal al primero y explica la segunda mayor parte de la variabilidad.

Así, PCA = **rotación del sistema de referencia** para que los datos se expliquen mejor en menos dimensiones.



Conexión con el Algebra Lineal

Sí, PCA = cambio de base:

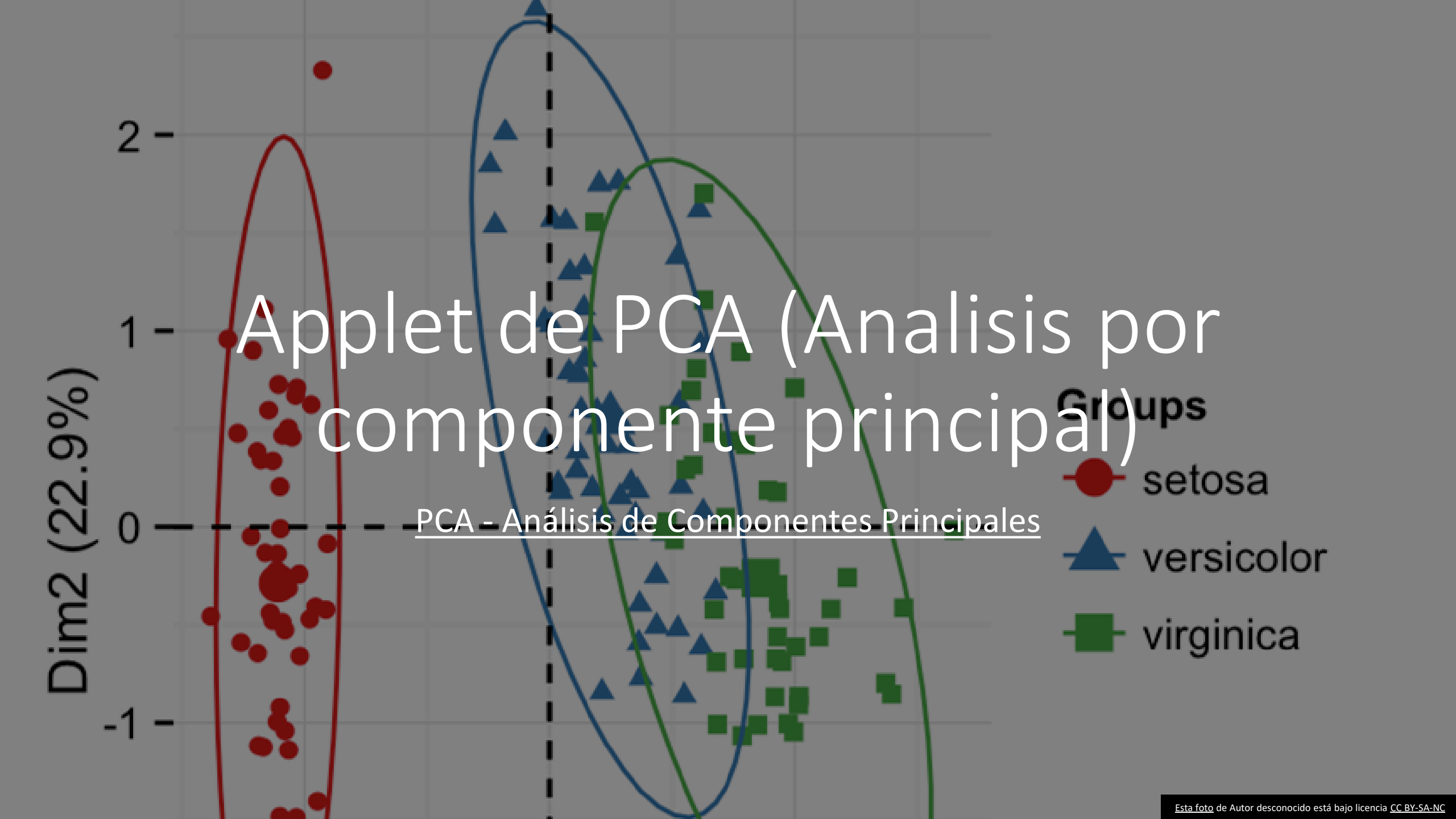
$$X \rightarrow Z = X * W$$

X datos originales.

W: matriz de autovectores (la nueva base).

Z: datos en la nueva base (componentes principales).

PCA es un cambio de base hacia una base ortogonal formada por las direcciones de máxima varianza de los datos.





XGBoost

- •XGBoost (Extreme Gradient Boosting) es una implementación optimizada del algoritmo Gradient Boosting, basada en árboles de decisión.
- •Es muy usado en regresión, clasificación y ranking.
- Destaca por su velocidad, precisión y capacidad de manejar grandes volúmenes de datos.



Como funciona XGBoost

- Se construye un **conjunto (ensemble) de árboles de decisión débiles** (shallow trees).
- Cada árbol corrige los errores del anterior.
- Al final, las predicciones de todos los árboles se suman para dar el resultado.
- Es como un equipo de expertos: cada árbol aprende de los errores de los anteriores.



Diferencia con Random Forest

- Random Forest: construye muchos árboles independientes y combina resultados (promedio o mayoría).
- XGBoost: construye los árboles de manera secuencial, cada uno aprendiendo de los errores del anterior (boosting).



Ventajas de XGBoost sobre Random Forest

- Muy preciso
- Maneja datos faltantes.
- Optimizado para velocidad y memoria.
- Tiene regularización (L1, L2) → evita sobreajuste.
- Funciona bien en datasets tabulares (ej. datos climáticos + espectrales + suelos).



Función objetivo

$$\mathcal{L} = \sum_{i=1}^{n} l(y_i, \widehat{y}_i) + \sum_{i=1}^{K} \Omega(f_k)$$

Donde

l= función de pérdida

$$\Omega(f_k) = \gamma T + \frac{1}{2}\lambda \sum_{j=1}^{T} \omega_j^2$$
 (función de regularización)

T= numero de hojas

 ω_i es el peso de la hoja



$$\hat{\mathbf{y}}_{i}^{t} = \hat{\mathbf{y}}_{i}^{t-1} + \mathbf{f}_{t}(\mathbf{x}_{i})$$

Objetivo en la iteración t, luego de reemplazar los términos:

$$L(t) \approx \sum \left[l(\hat{\mathbf{y}}_i^t, \hat{\mathbf{y}}_i^{t-1}) + g_i f_t(\mathbf{x}_i) + \frac{1}{2} h_i f_t^2(\mathbf{x}_i) \right] + \Omega(\mathbf{f}_t)$$

$$g_{i} = \frac{\partial l(\hat{y}_{i}^{t}, \hat{y}_{i}^{t-1})}{\partial \hat{y}_{i}^{t-1}} (gradiente)$$

$$h_{i} = \frac{\partial^{2} l(\hat{y}_{i}^{t}, \hat{y}_{i}^{t-1})}{\partial \hat{y}_{i}^{(t-1)^{2}}} (hessiano)$$



- Optimización del Árbol
- Peso óptimo por hoja j:

•
$$\omega_{\rm j} = -\frac{G_{\rm j}}{H_{\rm j} + \lambda}$$

Donde:

- G_i suma de gradientes
- H_i suma de hessianos

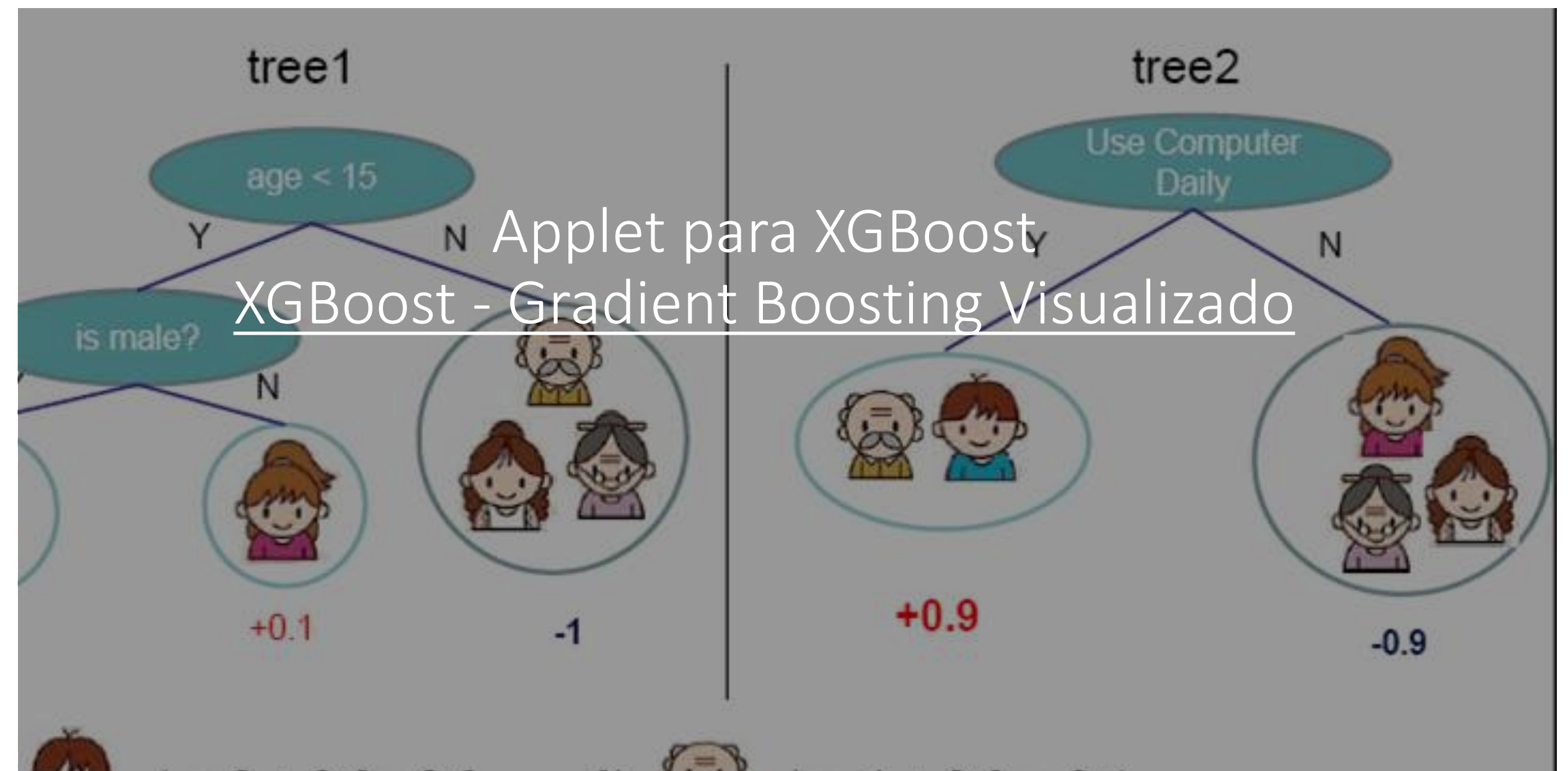


- •η (learning rate): escala
- λ (L2 regularización en pesos)
- γ (penalización por complejidad del árbol)
- •max_depth: profundidad máxima
- •min child weight: H mínimo en nodo hoja



Interpretación

- •El modelo aprende relaciones **no lineales** entre NDVI, clima y biomasa.
- •El gráfico de importancia de variables indica cuáles influyen más
- (ej. NDVI y precipitación suelen ser dominantes).
- •Métricas como MAE, RMSE y R² permiten evaluar la calidad de la predicción.





$$) = 2 + 0.9 = 2.9$$



$$)=-1+0.9=-0.1$$



Qué son los hiperparámetros en ML

- En machine learning, los hiperparámetros son parámetros que no se aprenden automáticamente del entrenamiento, sino que tú los defines antes de entrenar el modelo y controlan el comportamiento del algoritmo de aprendizaje.
- **Parámetros**: valores aprendidos por el modelo durante el entrenamiento (por ejemplo, los coeficientes β en una regresión lineal, o los pesos en una red neuronal).
- Hiperparámetros: valores definidos por el usuario para guiar cómo se entrenan los parámetros (ejemplo: número de árboles en un Random Forest, tasa de aprendizaje en XGBoost, número de clusters en Kmeans).

Ejemplos de hiperparámetros en distinto solumbiana de investigación agropecuario algoritmos

Regresión lineal / LASSO / Ridge:

Coeficiente de regularización (α ο λ) ο L1 ο L2.

Árboles de decisión / Random Forest:

- Profundidad máxima del árbol (max_depth).
- Número de árboles (n_estimators).
- •Número mínimo de muestras por hoja (min_samples_leaf).

XGBoost / Gradient Boosting:

- Tasa de aprendizaje (learning_rate).
- Número de iteraciones (n_estimators).
- Profundidad máxima (max_depth).

Ejemplos de hiperparámetros en distinto solumbiana de investigación agropecuario algoritmos

K-means:

- Número de clusters (k).
- Número de iteraciones máximas.

SVM (Support Vector Machine):

- Parámetro de penalización (C).
- Tipo de kernel (linear, rbf, poly).
- Parámetro gamma en kernels no lineales.



Ajuste de hiperparámetros

- Para encontrar los valores óptimos se usan técnicas como:
- Grid Search: probar combinaciones de hiperparámetros en una cuadrícula.
- Random Search: probar combinaciones aleatorias.
- Bayesian Optimization / AutoML: búsqueda más inteligente y automática.



Underfitting y overfitting

Underfitting (subajuste)

Ocurre cuando el modelo **es demasiado simple** para capturar la complejidad de los datos.

- El modelo no aprende lo suficiente y tiene un bajo rendimiento tanto en entrenamiento como en validación/prueba.
- Ejemplo: usar una **regresión lineal simple** para predecir el crecimiento de un cultivo que depende de múltiples variables (clima, suelo, riego, fertilización, etc.). El modelo no logra adaptarse.

Síntomas:

• Error alto en entrenamiento y validación.



Underfitting y overfitting

Overfitting (sobreajuste)

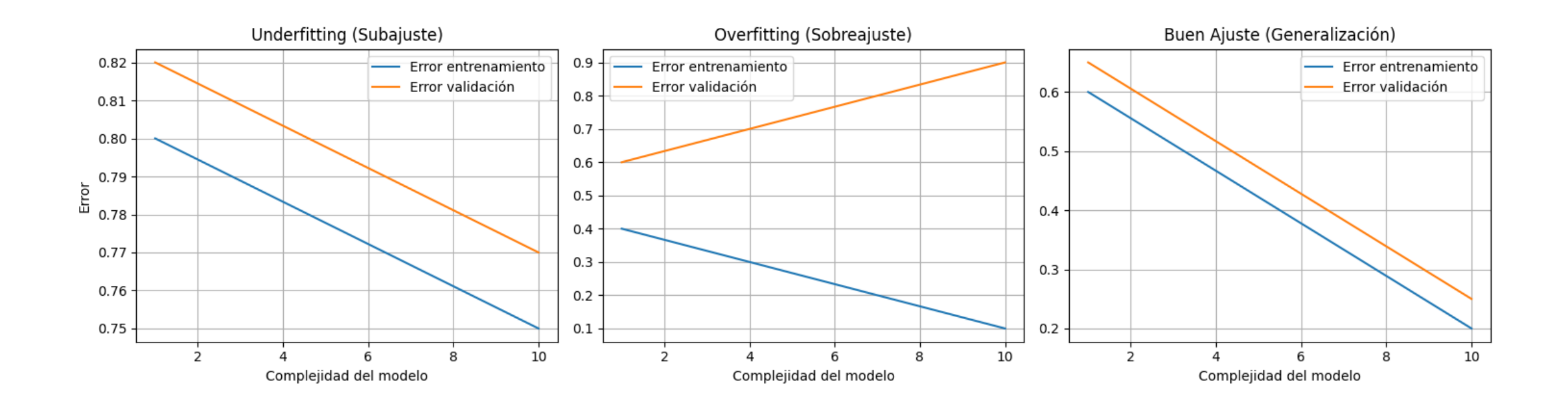
- Ocurre cuando el modelo es demasiado complejo y se adapta excesivamente a los datos de entrenamiento, incluyendo ruido y patrones irrelevantes.
- El modelo **memoriza** en vez de generalizar, por lo que funciona muy bien en entrenamiento pero **falla con datos nuevos**.
- Ejemplo: un Random Forest con demasiados árboles profundos que predice perfectamente el rendimiento de pasto en el conjunto de entrenamiento, pero da valores erráticos con nuevas parcelas.

Síntomas:

- Error muy bajo en entrenamiento, pero alto en validación/prueba.
- Gran diferencia entre desempeño en train y test.



Underfitting y overfitting





1. Revisión inicial de los datos

Tratamiento de datos para machine learning

Explorar el dataset: mirar filas, columnas, tipos de variables (numéricas, categóricas, fechas, texto).

Buscar valores nulos o faltantes (NaN).

Detectar valores atípicos (outliers) con boxplots o reglas estadísticas.

Revisar la distribución de cada variable (histogramas, densidad).



2. Limpieza de datos

Tratamiento de datos para machine learning

Manejo de valores faltantes:	Imputación con la media, mediana o moda.
	Imputación con modelos (ejemplo: KNNImputer).
	Eliminar registros/columnas si hay demasiados nulos.
Tratamiento de outliers:	Recortar valores extremos.
	Aplicar transformaciones (log, sqrt).
	Usar métodos robustos a outliers (ejemplo: MAE en vez de MSE).
Eliminar duplicados de registros.	

Tratamiento de datos para machine learning



3. Transformación	Normalización o estandarización	Corporación colombiana de investigación agropecua
de variables	Cuando los algoritmos son sensibles a escalas: K-means, PCA, SVM, redes neuronales	
	Normalización (0–1): MinMaxScaler.	
	Estandarización (media 0, varianza 1): StandardScaler.	
Codificación de variables categóricas:	One-Hot Encoding (para variables sin orden).	
	Label Encoding (para variables ordinales).	
Ingeniería de características:	Crear nuevas variables derivadas (ejemplo: de una fech	a → día, mes, año, estación).
	Reducir dimensionalidad con PCA o selección de caracto	erísticas.



4. División del dataset

Tratamiento de datos para machine learning

Separar en **train/test** (70-30, 80-20, etc.).

Usar validación cruzada (Cross-Validation) para evaluar de forma robusta.

En series de tiempo usar **TimeSeriesSplit** (manteniendo el orden).

Tratamiento de datos para machine learning



5. Balanceo de clases (solo clasificación)

Si el dataset está desbalanceado (ejemplo: 95% clase A, 5% clase B):

Oversampling: SMOTE (sintético).

Undersampling: reducir la clase mayoritaria.

Class Weights: darle más peso a las clases minoritarias.



6. Preparación final

Tratamiento de datos para machine learning

Guardar los datos transformados con joblib o pickle para reproducibilidad (librería sk-learn de Python)

Documentar los pasos aplicados (pipeline).

Usar Pipeline de sklearn para automatizar transformaciones y entrenamiento.



En repositorio (IntroML)

0- Preprocesamiento

1- Código para comprensión de overfitting y underfitting

2 – Código de regresión lineal simple

3- Código de regresión lineal LASSO, ElasticNet y Ridge

5- Random Forest - Regresión

6- Random Forest - Clasificación

6- PCA

7-kmeanns

8-XGBoost regresión

9-XGBoost clasificación

10-Red Neuronal-KERAS



Librerias para machine learning en Python

Tratamiento y manipulación de datos

- pandas -> Manejo de DataFrames (tablas), limpieza, transformación.
- numpy → Operaciones numéricas y algebra lineal eficiente.

Estadística y análisis

- scipy -> Estadística, optimización, transformadas y más.
- **statsmodels** → Modelos estadísticos clásicos (regresión lineal, ANOVA, series de tiempo).



Librerias para machine learning en Python

Visualización

- matplotlib → Gráficos básicos y personalizables.
- seaborn → Visualización estadística más estilizada (basada en matplotlib).
- **plotly** → Gráficos interactivos.

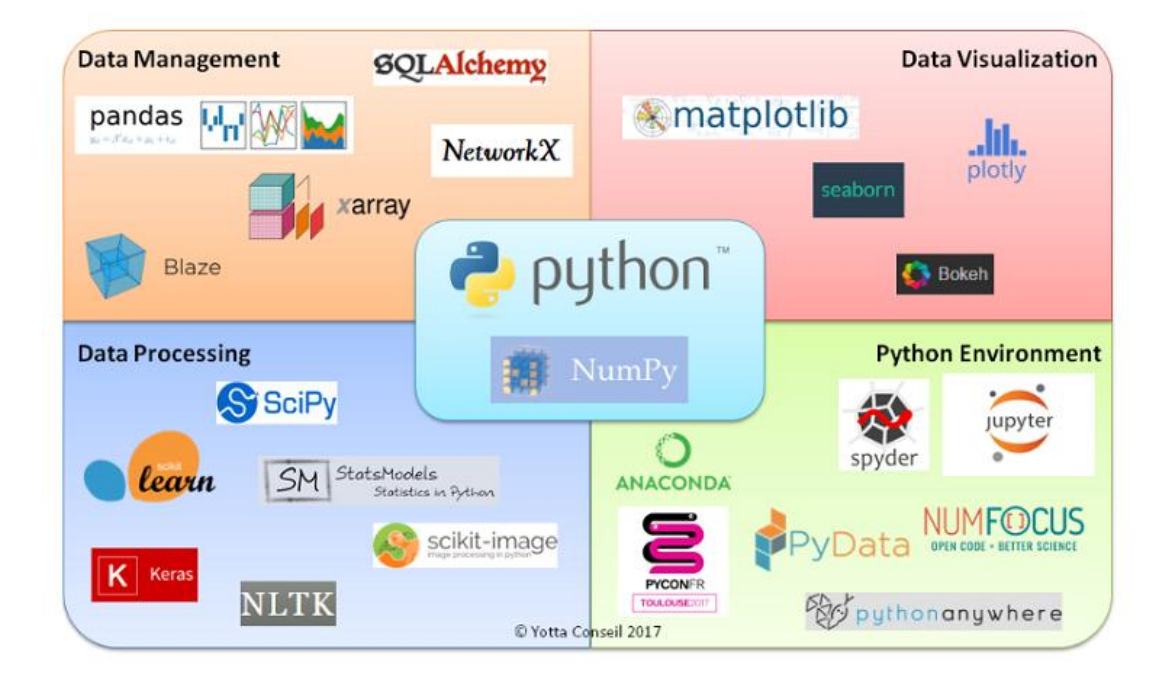
Machine Learning (para ir más allá)

- scikit-learn → Modelado, clasificación, regresión, clustering.
- tensorflow / keras → Redes neuronales y deep learning.
- pytorch → Alternativa muy popular para deep learning.

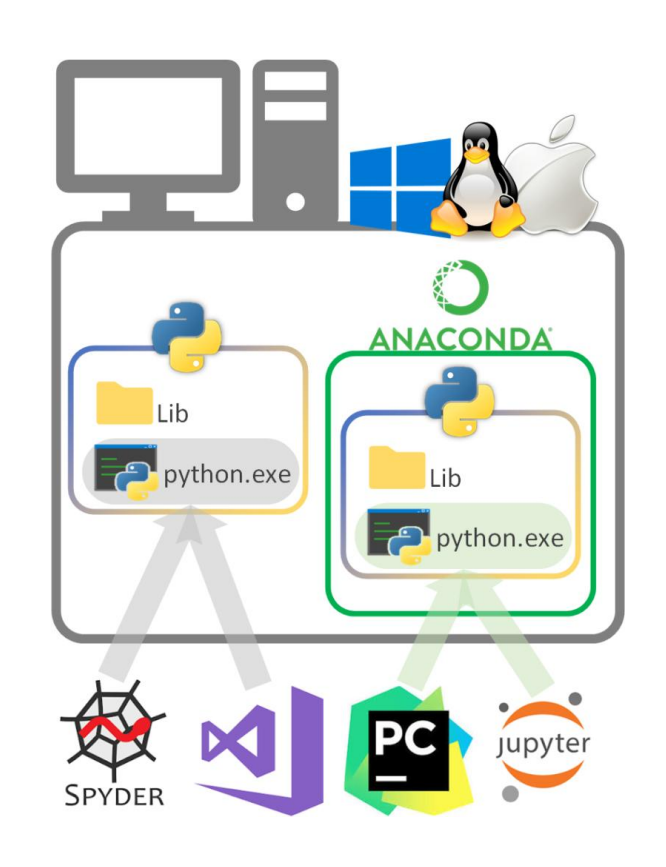


Librerias de Python





Entornos de operación de Python







Del píxel al insight: La clave está en que cada transformación (dato→información→aprendizaje→conocimiento) no es automática sino que requiere modelos, contexto y validación para generar valor real.

El código se convirtió en el lenguaje perfecto para entrenar IAs: estructurado como las matemáticas, abundante como el texto, y valioso como el oro, el mundo vive un momento único donde la tecnología, demanda y capital convergieron perfectamente.

CONTENIDO

1. Fundamentos de teledetección

2. Imágenes pasivas

3. Imágenes activas



CONTENIDO

1. Fundamentos de teledetección

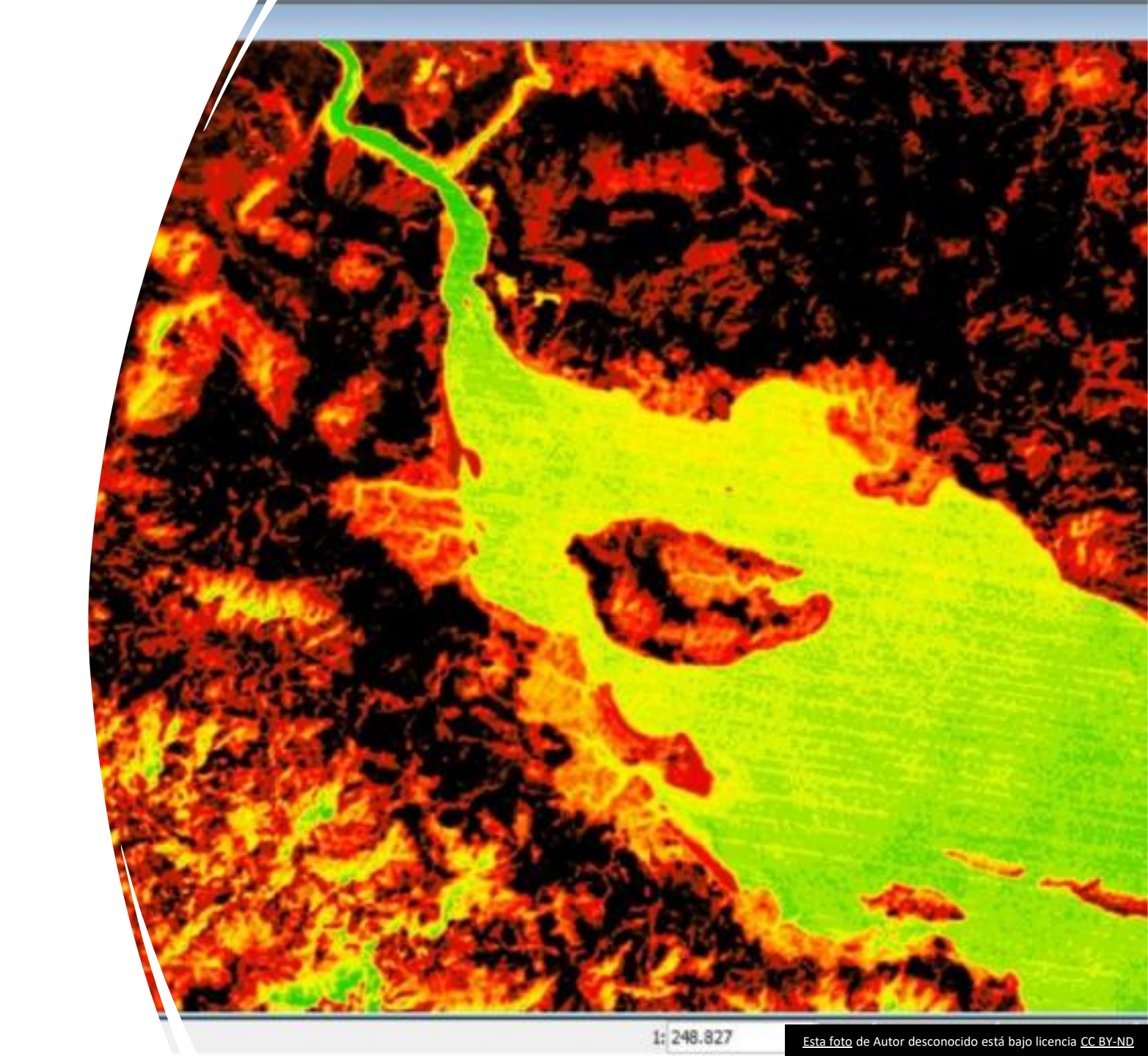
2. Imágenes pasivas

3. Imágenes activas



MODULO 2

IMÁGENES PASIVAS







¿Qué es un sensor óptico pasivo?

Un sensor óptico pasivo capta la radiación solar reflejada por la vegetación, el suelo, el agua, etc., o la radiación térmica emitida naturalmente por los objetos. Se usan ampliamente en satélites, drones y aviones para obtener imágenes multiespectrales, hiperespectrales o térmicas.



Tipos de sensores pasivos

Tipo de sensor

Qué detecta

Ejemplos de sensores / plataformas

Multiespectral

Varias bandas del espectro visible e infrarrojo cercano (VIS, NIR, SWIR)

MSI (Sentinel-2), OLI (Landsat), Micasense

(drones)

Hiperespectral

Decenas a cientos de bandas estrechas

ias

científicos como

espectrometros

Térmico (IR)

Radiación infrarroja emitida

por objetos (calor)

TIRS (Landsat), cámaras térmicas FLIR

AVIRIS, PRISMA, sensores

RGB (color)

Tres bandas visibles (rojo,

verde, azul)

Cámaras digitales comunes





Resolución espectral: número y ancho de bandas (más bandas = más precisión espectral).





Resolución espacial: tamaño mínimo de píxel observado (de cm a cientos de m).



Resolución temporal: frecuencia con que se adquieren datos del mismo sitio.



Tipos de sensores pasivos y plataformas

Sensor	Plataforma	Tipo	Resolución espacial
MSI	Sentinel-2	Multiespectral	10–60 m
OLI/TIRS	Landsat 8/9	Multiespectral + térmico	15–100 m
MODIS	Terra/Aqua	Multiespectral	250–1000 m
AVIRIS	Avión	Hiperespectral	5–20 m
Micasense RedEdge	Drone	Multiespectral	<10 cm





Dependen de **luz solar** → no operan de noche.

Limitaciones



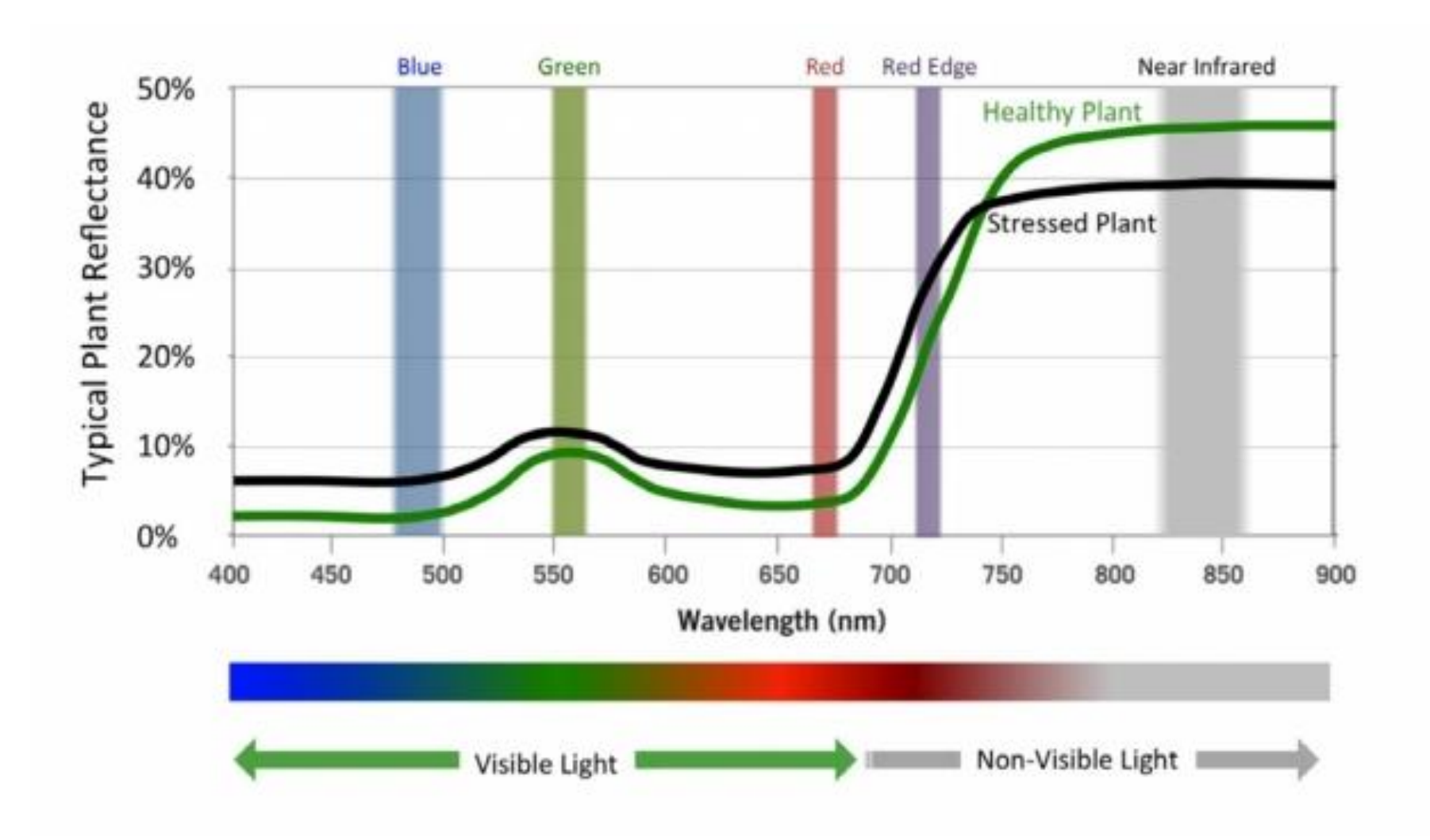
Sensibles a nubes y atmósfera → requieren corrección atmosférica.



La calidad de los datos puede verse afectada por **sombra**, **humedad**, y **ángulos de observación**.

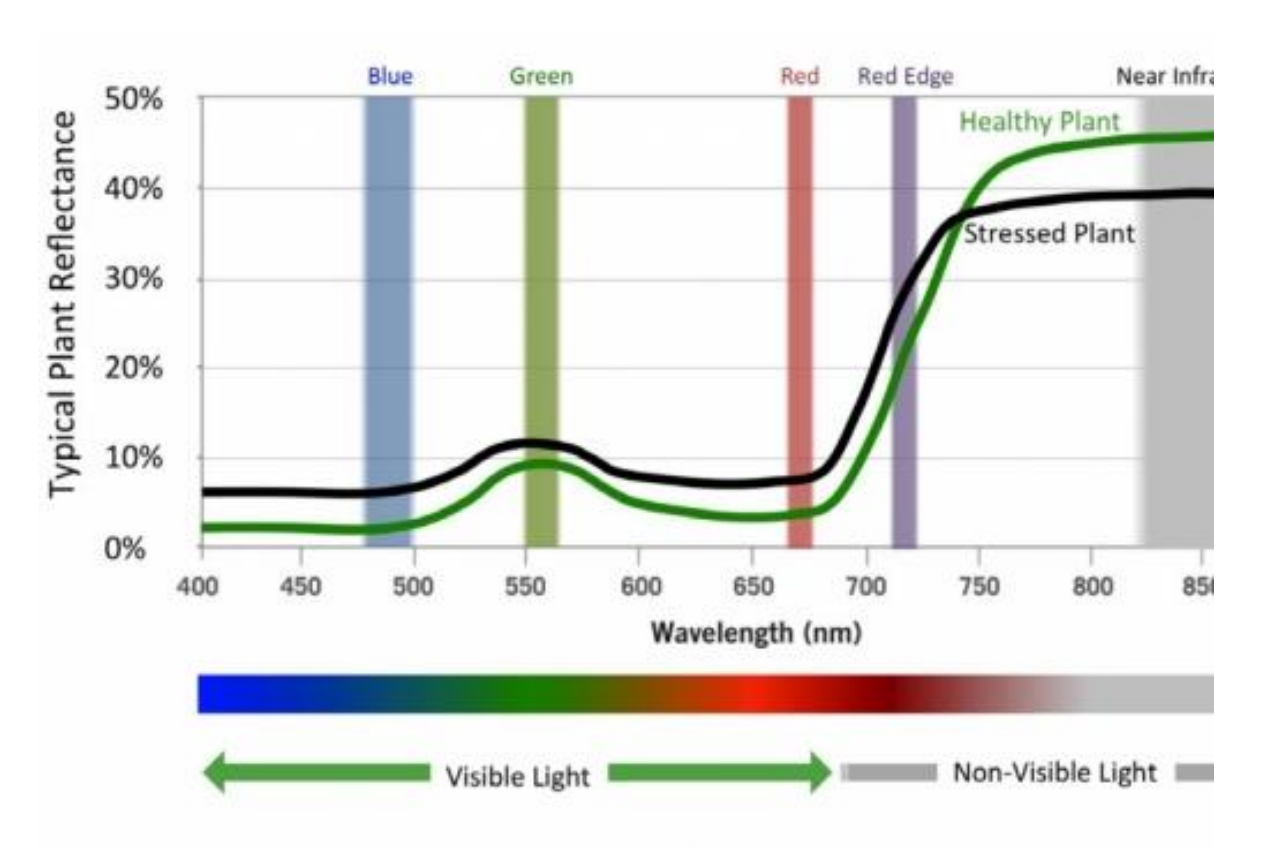


Sensores multispectral (pasivo)





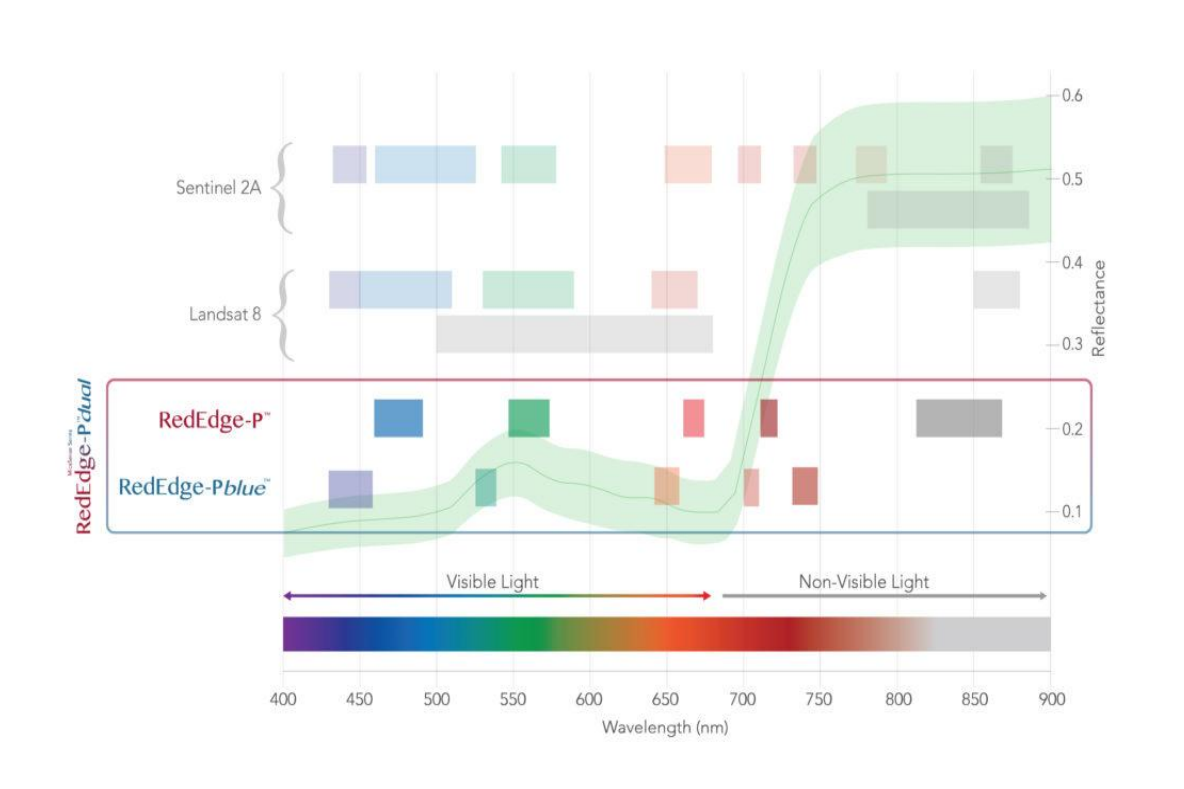
Sensores multispectral (pasivo)



- Nuevas opciones para la cámara multiespectral RedEdge de MicaSense TYC GIS GIS, Teledetección y Drones
- Detección en bandas ópticas discretas de gran ancho spectral.



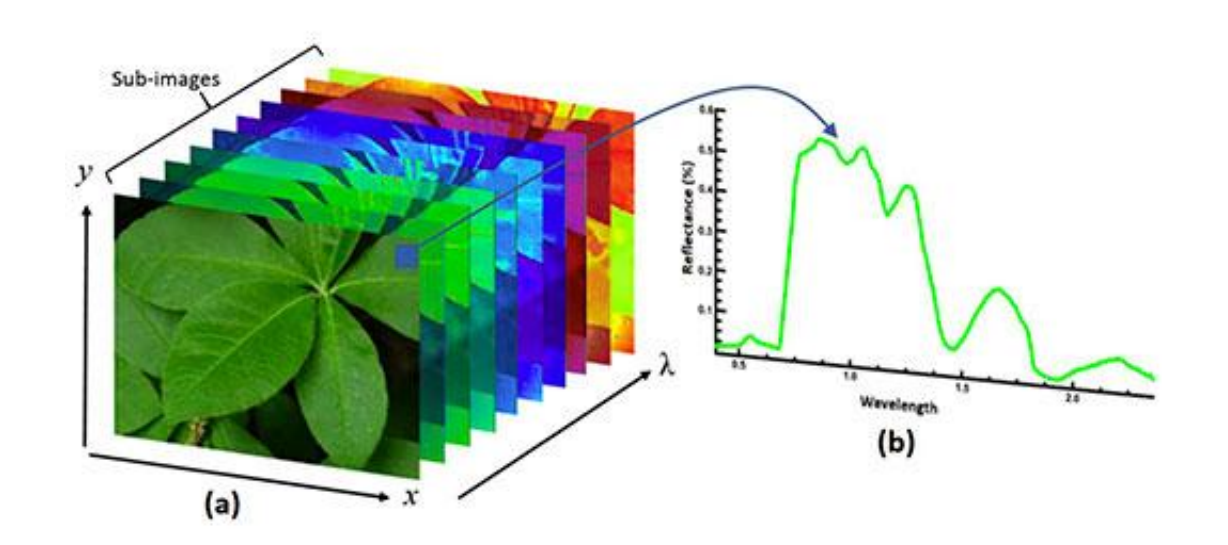
Sensores multispectral (pasivo)



- De 2 a 10- 20 longitudes de onda. De 36-40 longitudes de onda asumida por algunos autores.
- Poseen filtros ópticos espectrales de 10 − 20 nm que captan "bandas de longitudes de onda".
- Estan portados en cámaras multiespectrales comerciales, satélites como el Landsat 8, Sentinel 2 se basan en tecnología multiespectral.



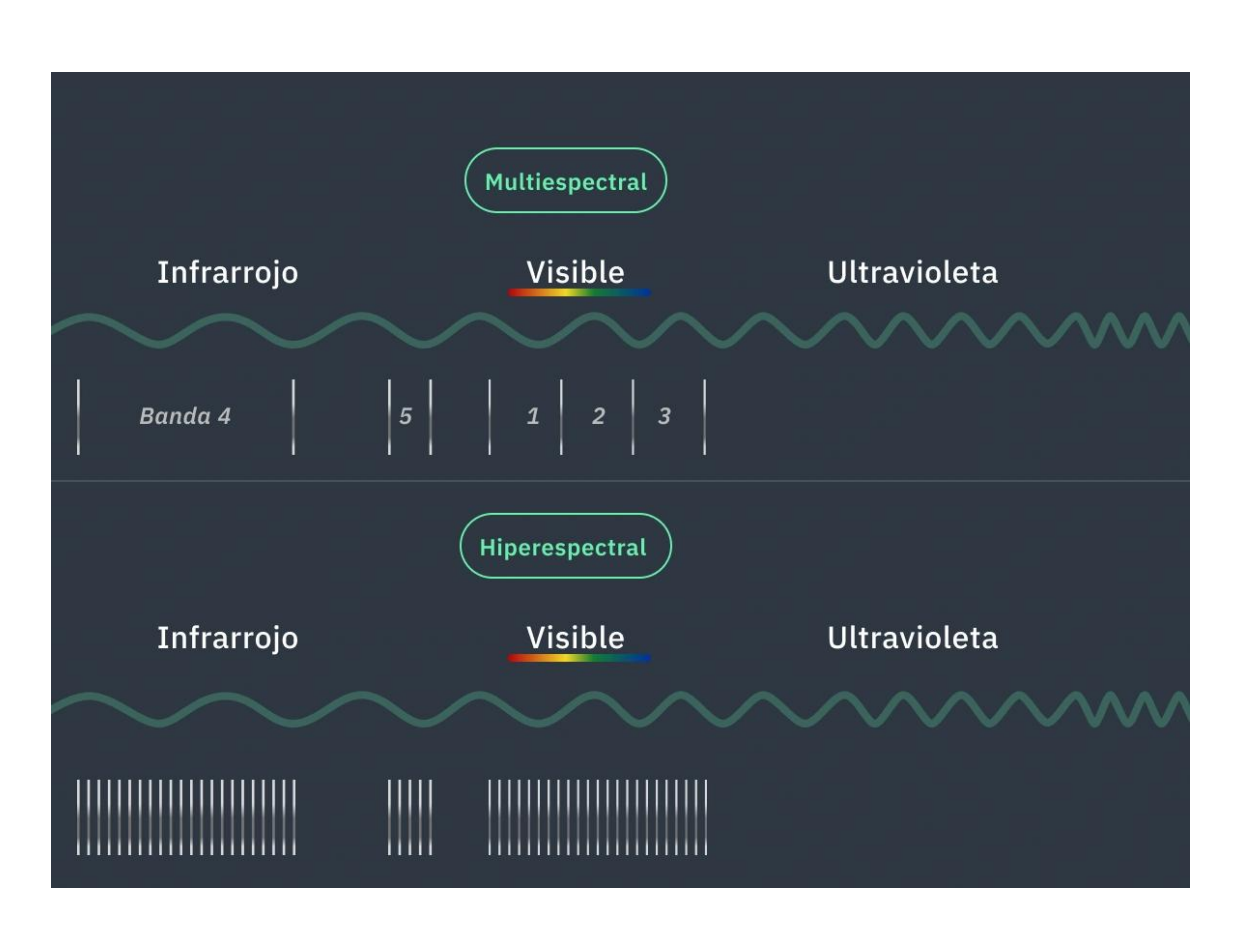
Sensores hiperespectral (pasivo)



- Mas de 20 longitudes de onda, y hasta centenas-
- Filtros ópticos espectrales menores a 5 nm
- Cámaras hiperespectrales y espectrómetros son equipos de tecnología hiperespectral
 - Tecnología hiperespectral ¿qué es? ATRIA Innovation



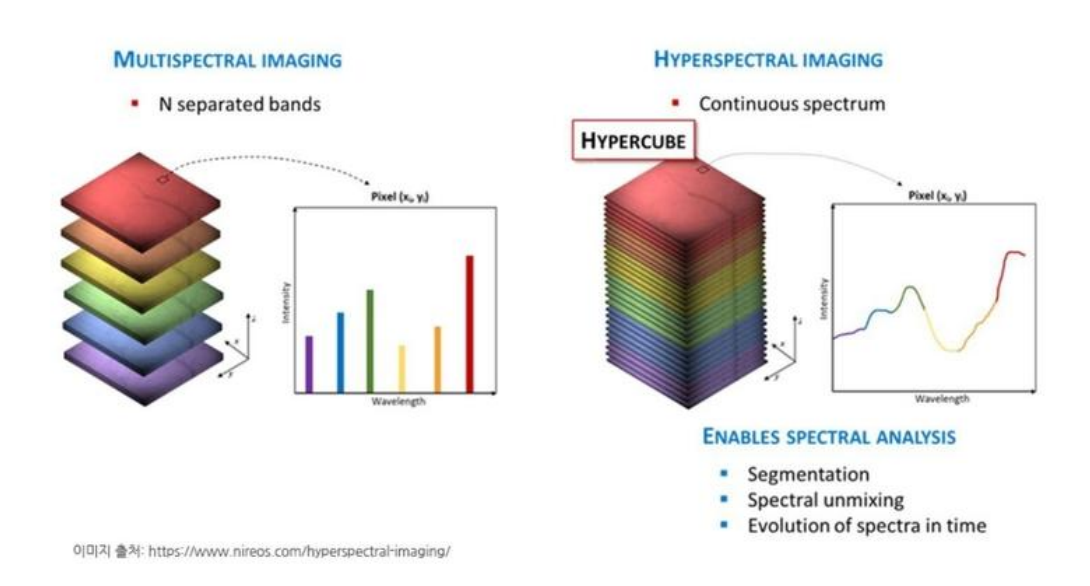
Sensor multispectral vs. hiperespectral



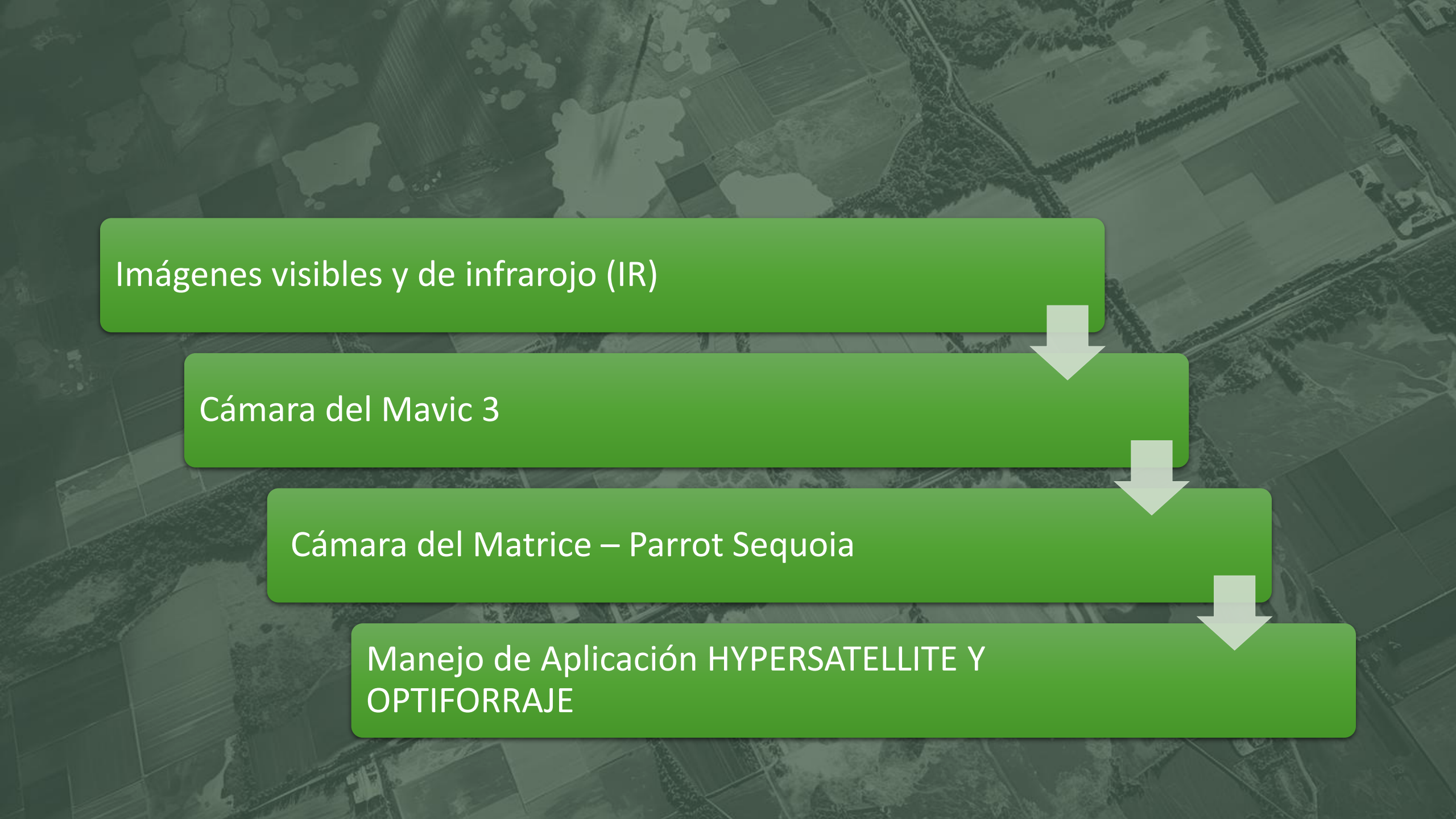
- Diferencias entre tecnología multiespectral e hiperespectral
- <u>Multiespectral Y</u>
 <u>Multiespectral: Diferencias Entre</u>
 <u>Ambas (eos.com)</u>



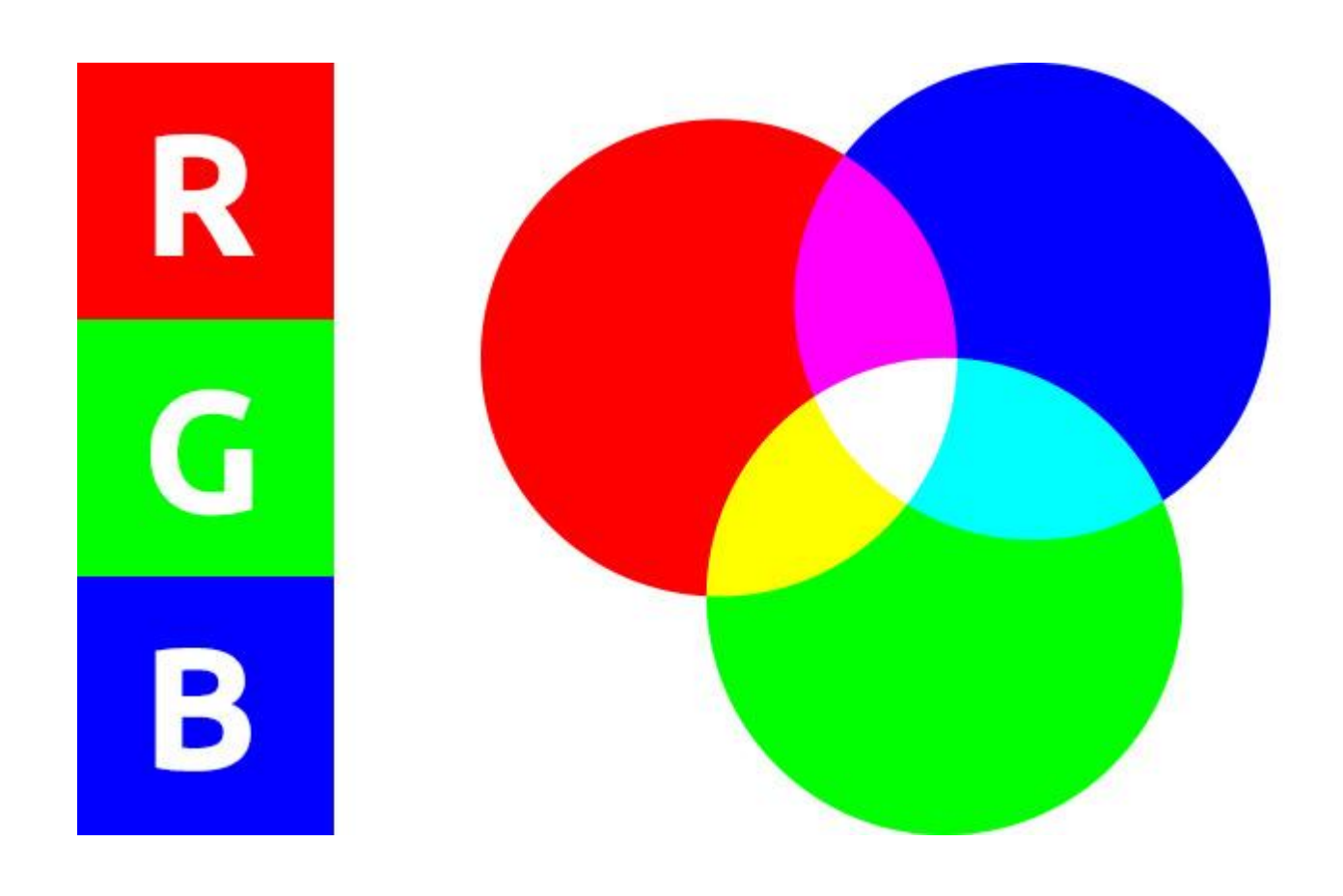
Sensor multispectral vs. hiperespectral



- ► Diferencias entre tecnología multiespectral e hiperespectral
- ►art 16384297261981 679853.jp g (795×405) (hellot.net)





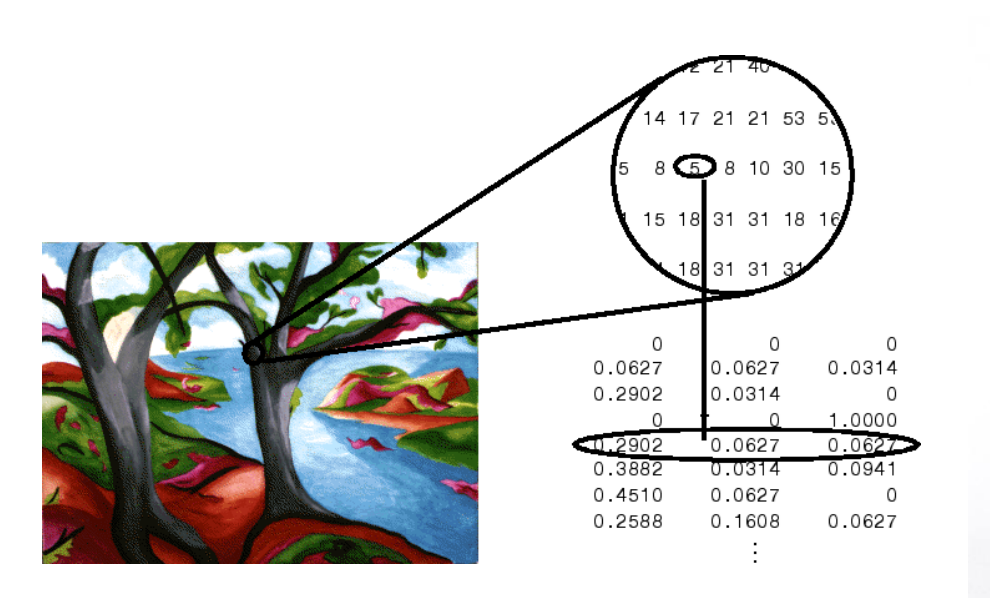




Cámaras visibles RGB

ALMACENAMIENTO COMPUTACIONAL (Ejemplo de Python que indica los tres (3) valores R-G-B)

Cámara RGB (Captura en visible)

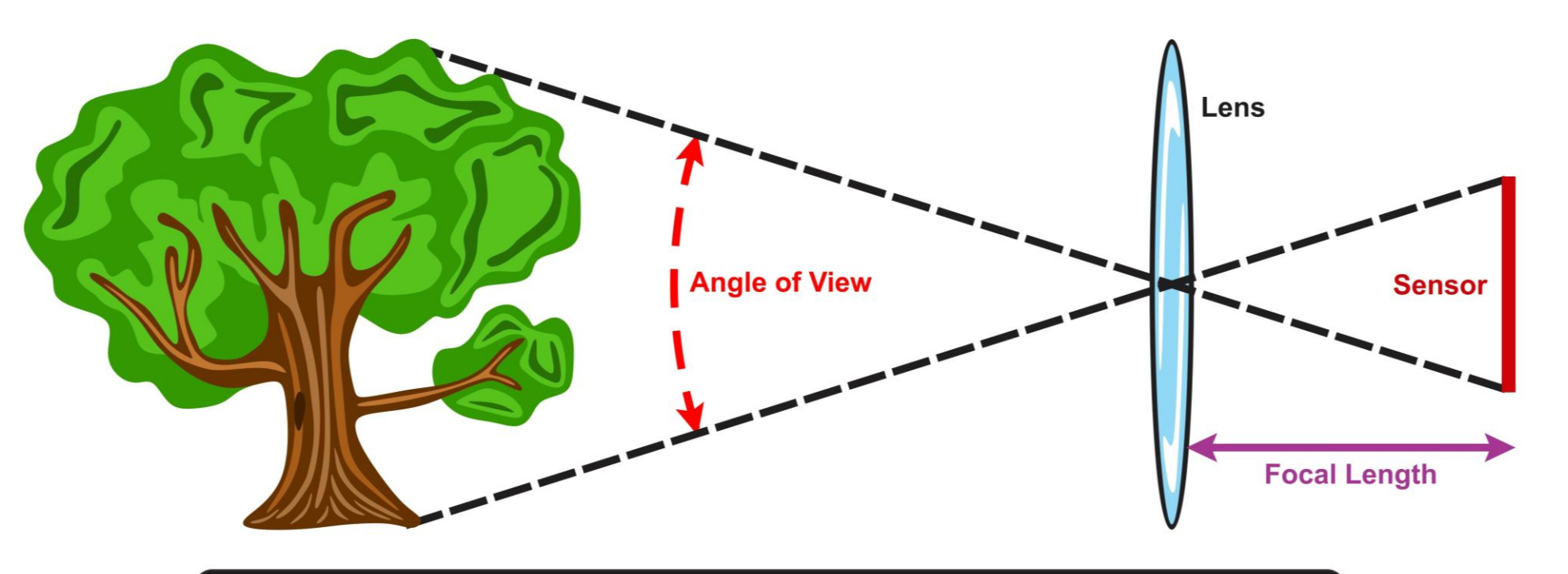




Qué es el FOV (Focal Angle of View) y el "Focal Length"



Focal Length and Angle of View



The greater the focal length, the closer the image and the less the angle of view The less the focal length, the farther the image and the greater the angle of view



Comparación entre ambas tecnologías

- Cámaras (dispositivos electrónicos) para la detección de la reflectancia en ciertas longitudes de onda óptica.
- Determinación de índices de interes en el análisis del estado de cultivos; por ejemplo NDVI, NDRE, entre otros.

Tecnología Multiespectral

- Cámaras para la detección de la reflectancia en un espectro de longitudes de onda óptica.
- Imágenes y registros de bandas de longitudes de onda para la diferenciación de enfermedades en cultivos a partir de determinar la banda discriminante (firma espectral)

Tecnología Hiperespectral



Comparación entre ambas tecnologías

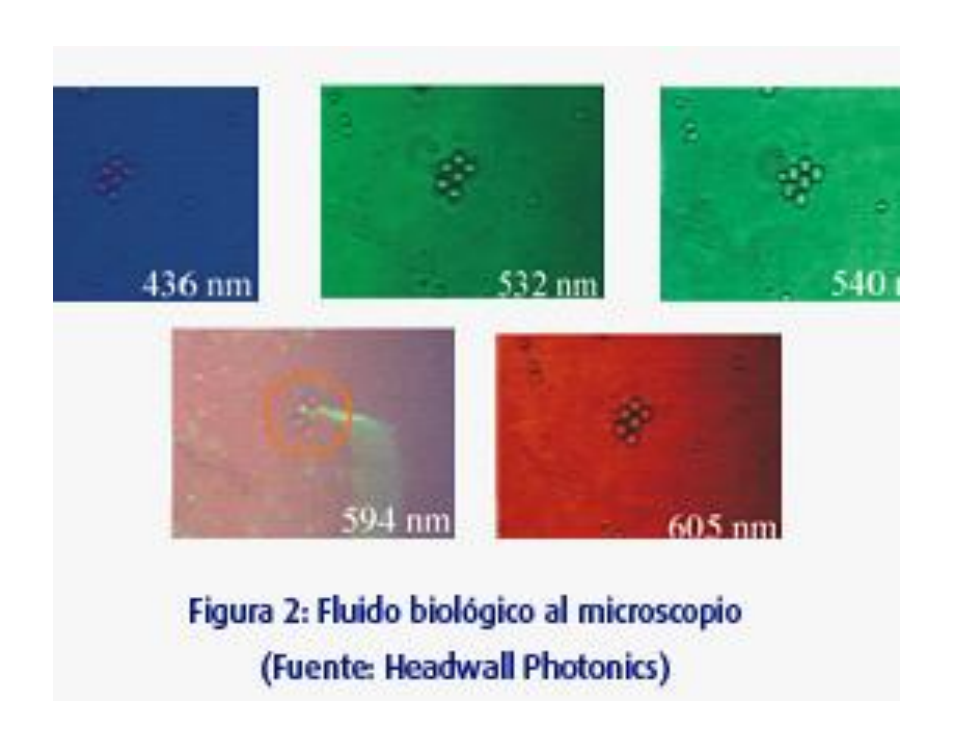
 Detección de valor de reflectancia en cada coordenada (x,y) por longitud de onda (λ1, λ2...)

Tecnología Multiespectral Detección de valor de reflectancia en cada coordenada (x,y) por bandas de longitudes de onda (Δλ): Espectros Ópticos

Tecnología Hiperespectral

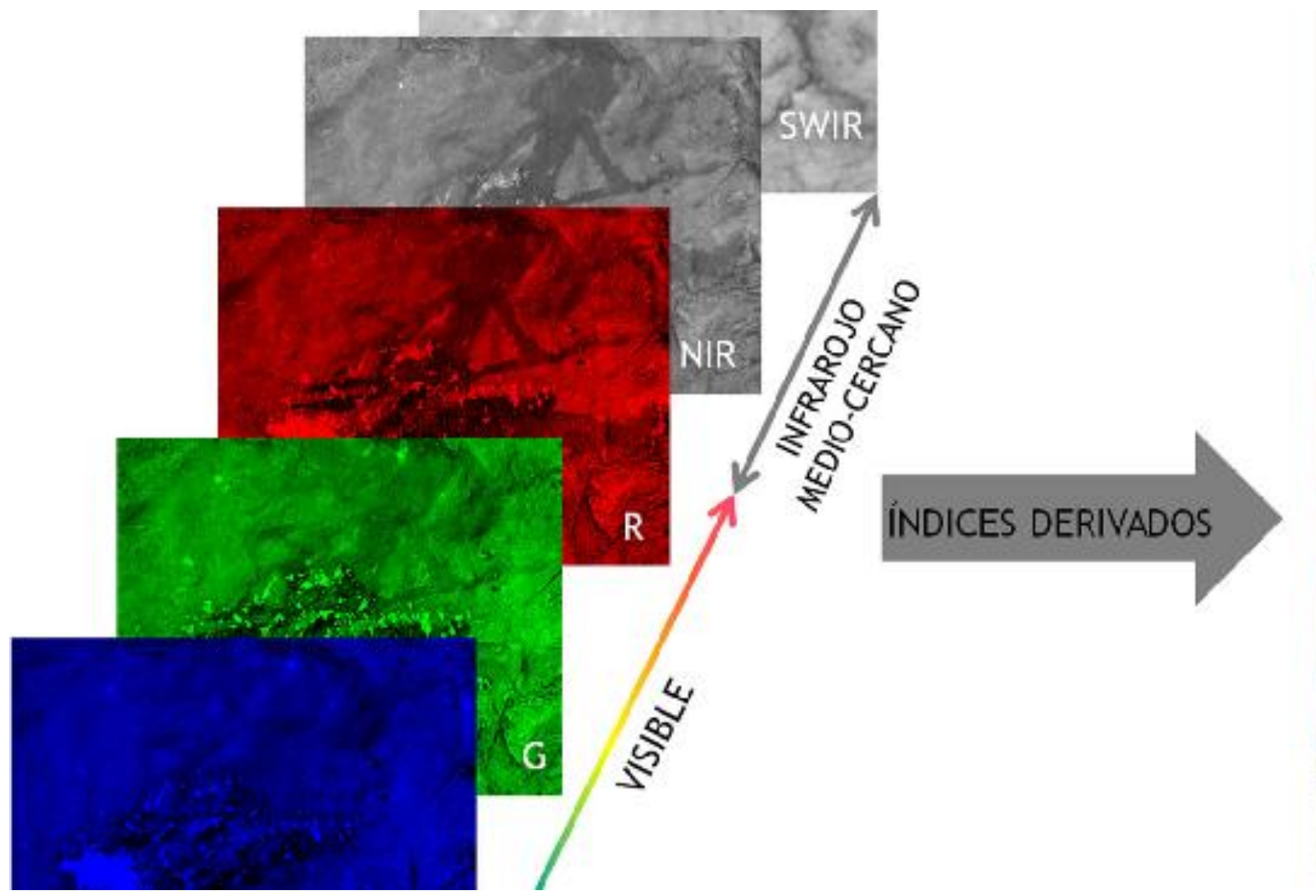


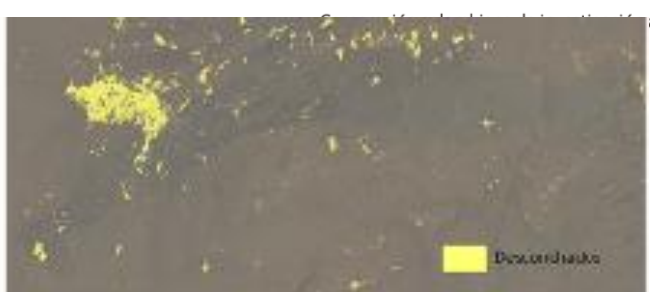


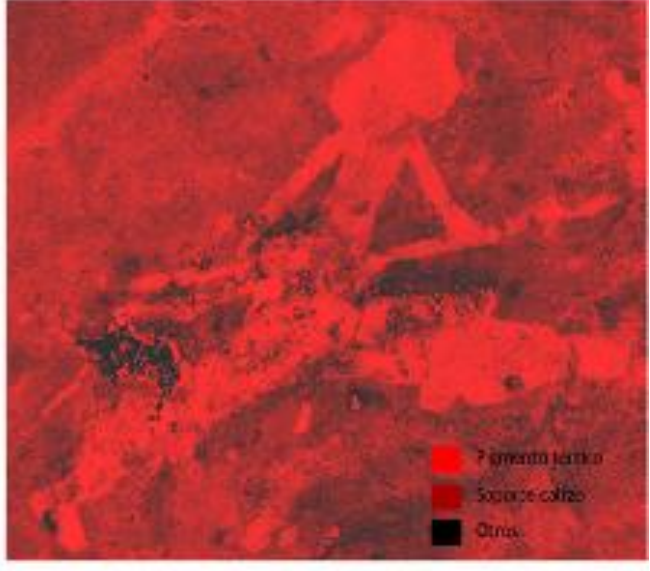


Cámaras Multiespectrales

AGROSAV/A







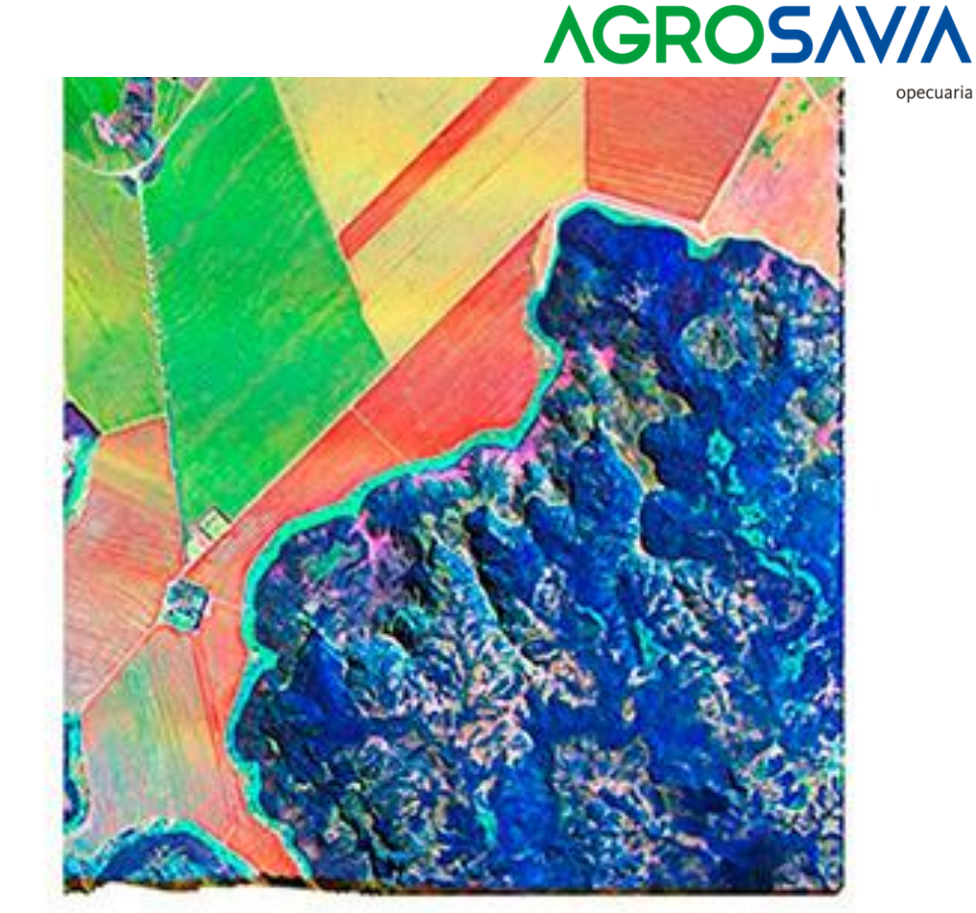


Cámara Hiperespectral





Multispectral Images From 2 to 10 bands

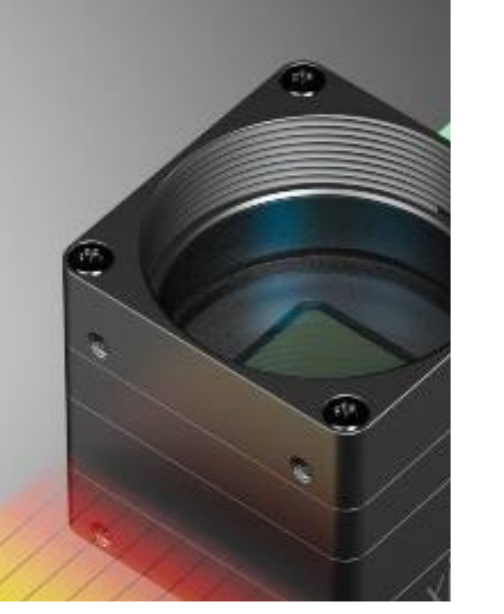


Hyperspectral Images
Hundreds of bands

https://www.atriainnovation.com/tecnologia-hiperespectral/

xiSPEC hyperspectral

2Mpix multi-linescan 470-900nm

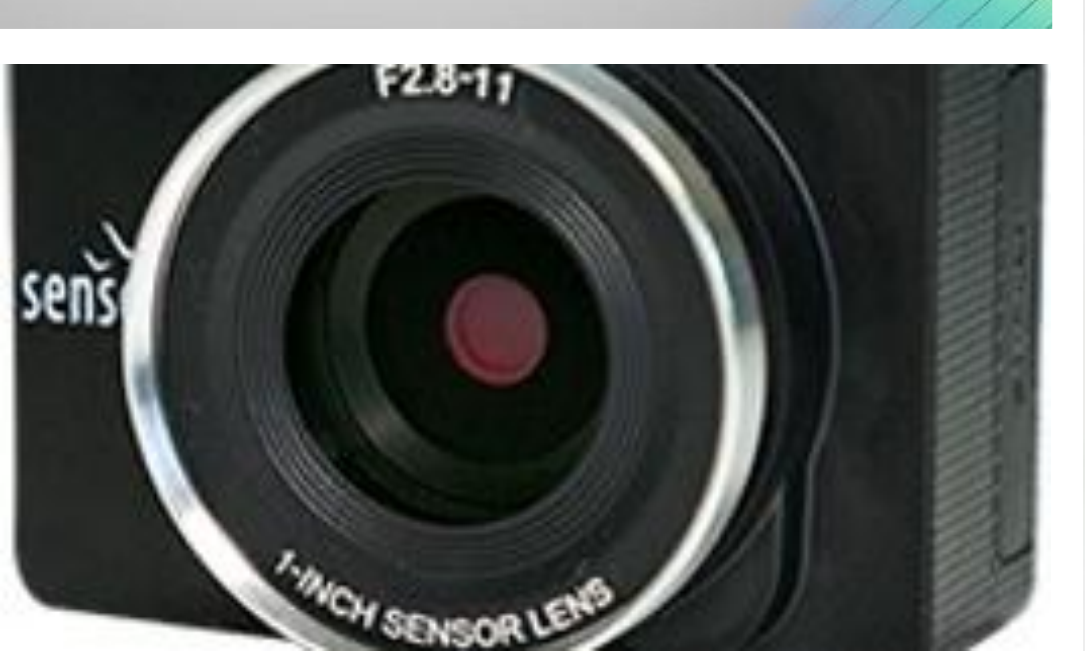








Learn more

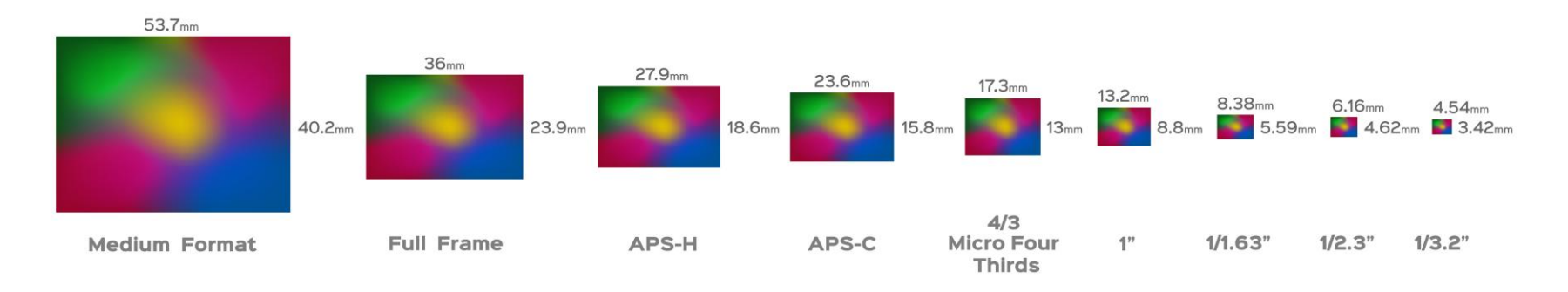






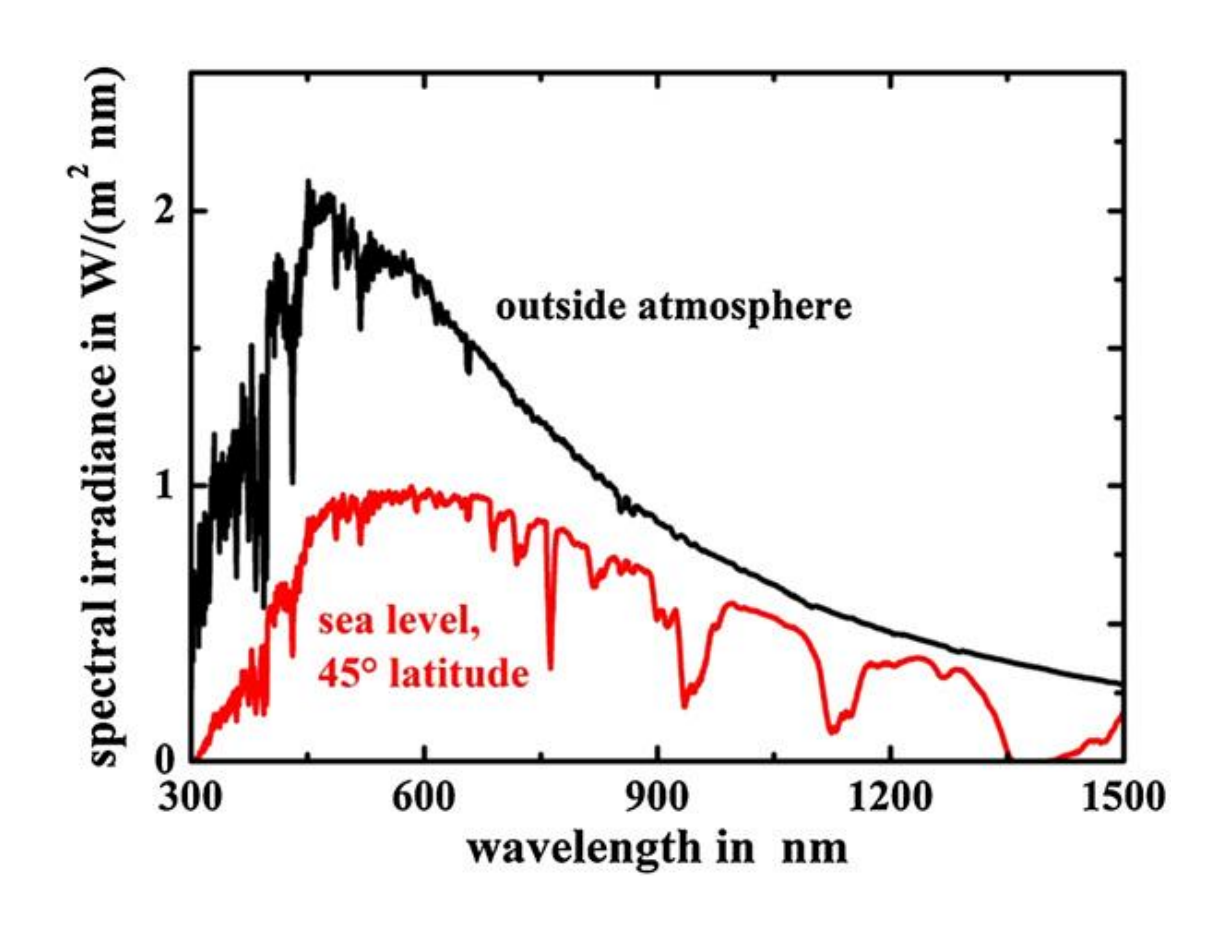
Tamaño de los sensores (cámaras)

Camera Sensor





Espectro de la luz solar



► Ejemplo típico del espectro de luz solar disponible en la región VIS y NIR. Un ángulo cenital solar de 45° La integral de toda la curva de la irradiación solar a la distancia media Tierra-Sol (fuera de la atmósfera de la Tierra) 1370 W m−2.



Imágenes visible e infrarojo

► Comparación de una fotografía VIS convencional (a) y su correspondiente fotografía NIR (b) de la misma escena grabada poco después, como se puede ver desde las sombras. Aparece vegetación verde espectacularmente brillante en el NIR y el contraste entre el cielo y las nubes es mucho mayor en comparación con a la fotografía del VIS. The physics of near-infrared photography - IOPscience





(b)



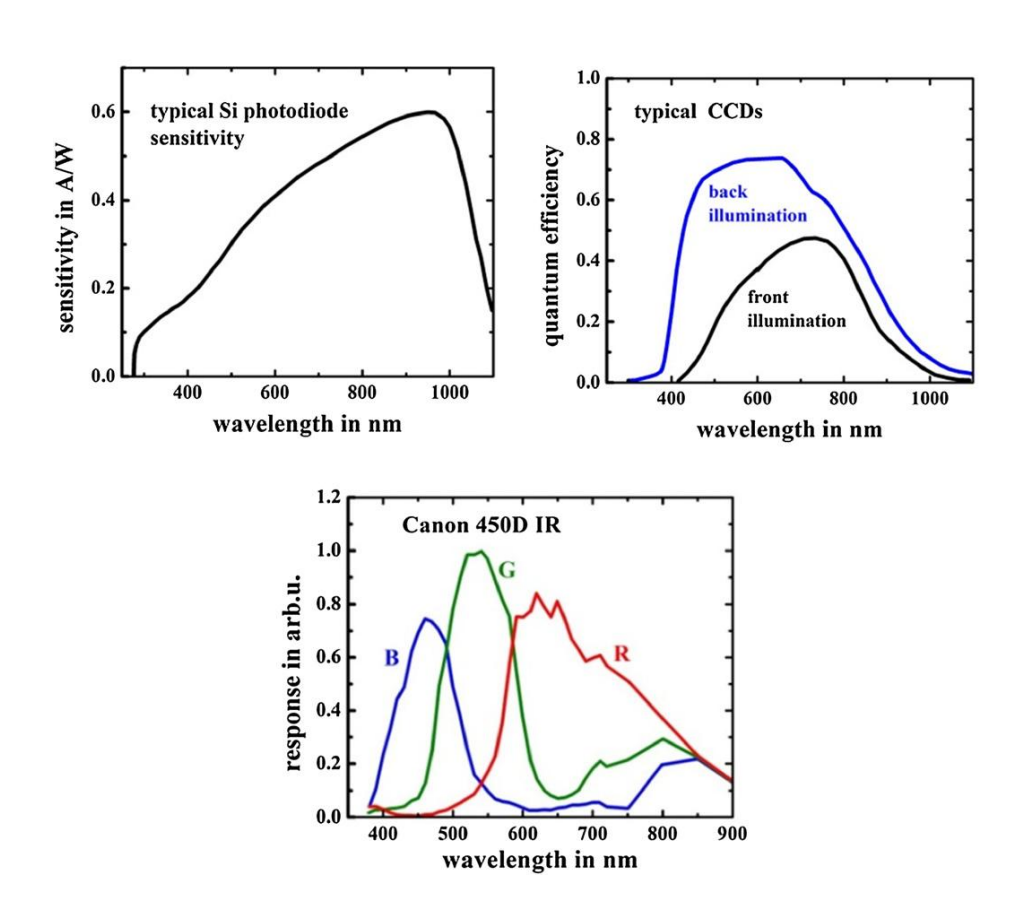




▶Otra escena urbana en VIS

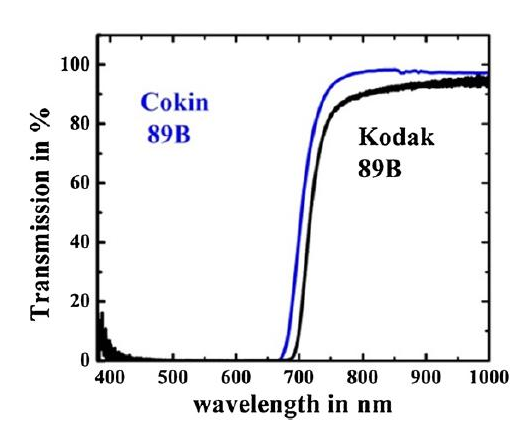
(a) y NIR (b) que muestra el mismo efecto de dispersión brillante de vegetación en el NIR. Nótese de nuevo el contraste del cielo y también las diferencias de reflexión en las ventanas de la casa a mano derecha.

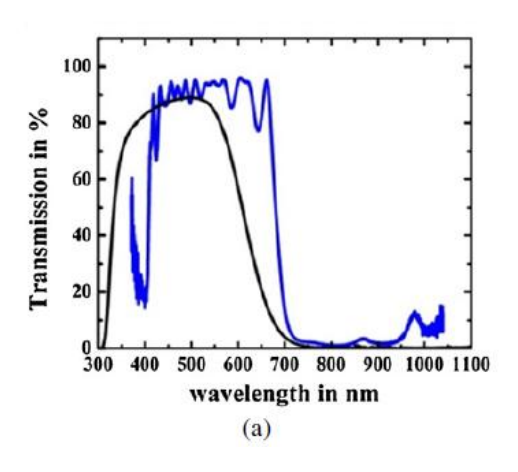




Espectro de sensibilidad típico de un fotodiodo de silicio (según Hamamatsu S 2386). b) Espectros de eficiencia cuántica típicos de los modernos conjuntos de plano focal CCD utilizados en los sistemas modernos de cámaras. La mayoría de las cámaras tienen sensores CCD con iluminación frontal menos costosa, mientras que las cámaras científicas especializadas utilizan los sensores CCD retroiluminados más eficientes. (c) Sensibilidad típica del detector de una cámara réflex digital Canon EOS 450 sin un filtro de bloqueo de infrarrojos

(a) Ejemplo de dos espectros de transmisión para los típicos filtros de bloqueo de infrarrojos utilizados en cámaras. (b) Transmisión típica de filtros de transmisión NIR, es decir, filtros de bloqueo VIS. (c) Filtros de bloqueo VIS (izquierda) y de bloqueo NIR (Izquierda)











►Imágenes de una botella y un vaso llenos de vino tinto grabadas solo para VIS light (izquierda), enteras rango VIS y NIR (medio) e IR solamente (derecha).

Imágenes visibles y de infrarojo (IR)









Ejemplo de una imagen NIR de las piernas de una mujer que muestra claramente las venas de abajo la superficie de la piel. Estos no se podían ver fácilmente en el VIS.

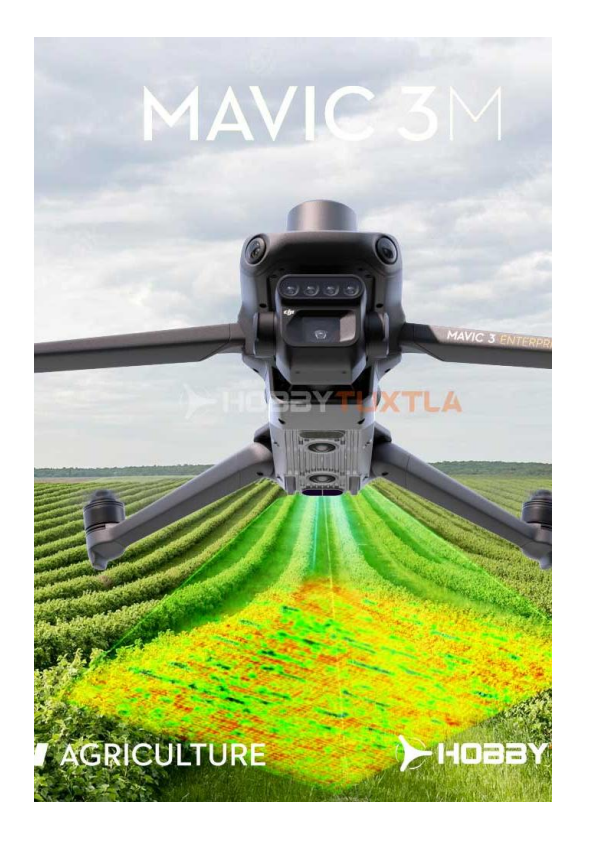








RGB Camera	
Sensor	4/3 CMOS; Effective pixels: 20 MP
Lens	FOV: 84° Format Equivalent: 24 mm Aperture: fr/2.8-fr/11 Focus: 1 m to ∞ (with autofocus)
ISO Range	100-6400
Shutter Speed	Electronic shutter: 8-1/8000 s Mechanical shutter: 8-1/2000 s
Max Image Size	5280×3956
Photo Shooting Mode	Single shot: 20 MP Timed: 20 MP JPEG: 0.711/2/3/5/7/10/15/20/30/60 s JPEG + RAW: 3/5/7/10/15/20/30/60 s Panorama: 20 MP (raw image)
Video Encoding and Resolution	H.264 4K: 3840×2160@30fps FHD: 1920×1080@30fps
Video Bitrate	4K: 130Mbps FHD: 70Mbps
Photo Format	JPEG/DNG (RAW)
Video Format	MP4 (MPEG-4 AVC/H.264)
Supported File System	exFAT
Digital Zoom	8x
Multispectral Camera	
Sensor	1/2.8" CMOS; Effective pixels: 5 MP
Lens	FOV: 73.91° Format Equivalent: 25 mm Aperture: f/2.0 Focus: N/A
Narrow Band Filter	Green (G): 560±16 nm, Red (R): 650±16 nm, Red edge (RE): 730±16 nm, Near-infrared (NIR): 860±26 nm
Gain Range	1x-32x
Shutter Speed	Electronic shutter: 1/30-1/12800 s





Cámaras de drones comerciales

Max Image Size	2592×1944
Photo Shooting Mode	Single shot: 5 MP Timed: 5 MP TIFF: 2/3/5/7/10/15/20/30/60 s
Video Encoding and Resolution	H.264 FHD: 1920×1080@30fps Video content: NDVI/GNDVI/NDRE
Video Bitrate	Stream 60Mbps
Photo Format	TIFF
Video Format	MP4 (MPEG-4 AVC/H.264)
Sensing	
Туре	Omnidirectional binocular vision system, supplemented with an infrared sensor at the bottom of the aircraft.
Forward	Measurement Range: 0.5-20 m Detection Range: 0.5-200 m Effective Sensing Speed: Flight Speed ≤15 m/s FOV: Horizontal 90°, Vertical 103°
Backward	Measurement Range: 0.5-16 m Effective Sensing Speed: Flight Speed ≤12 m/s FOV: Horizontal 90°, Vertical 103°
Lateral	Measurement Range: 0.5-25 m Effective Sensing Speed: Flight Speed ≤15 m/s FOV: Horizontal 90°, Vertical 85°
Upward	Measurement Range: 0.2-10 m Effective Sensing Speed: Flight Speed ≤6 m/s FOV: Front and Back 100°, Left and Right 90°
Downward	Measurement Range: 0.3-18 m Effective Sensing Speed: Flight Speed ≤6 m/s FOV: Front and Back 130°, Left and Right 160°
Operating Environment	Forward, Backward, Lateral, and Upward: surface with a clear pattern and adequate lighting (lux >15) Downward: diffuse reflective surface with diffuse reflectivity>20% (e.g. walls, trees, people) and adequate lighting (lux >15)
Video Transmission	
Video Transmission System	DJI O3 Enterprise Transmission
Live View Quality	Remote Controller: 1080p/30fps
Operating Frequency ^[2]	2.400-2.4835 GHz, 5.725-5.850 GHz
Transmitter Power (EIRP)	2.4 GHz: <33 dBm (FCC), <20 dBm (CE/SRRC/MIC) 5.8 GHz: <33 dBm (FCC), <14 dBm (CE), <30 dBm (SRRC)
Max Transmission Distance (unobstructed, free of interference) ^[3]	15 km (FCC), 8 km (CE/SRRC/MIC)



Cámara de DJI Mavic 3M



Cámara del Matrice – RedEdge de **MICASENSE**



Peso: 231.9 g

Dimensiones: 8.7cm x 5.9cm x 4.54cm Poder externo: 4.2 V DC - 15.6 V DC

Azul, verde, rojo, borde rojo, cerca de IR (obturador Bandas espectrales

global, banda estrecha)

Salida de color RGB: Obturador global, alineado con todas las bandas.

Distancia de muestra en

el suelo (GSD):

8 cm por píxel (por banda) a 120 m (~ 400 pies) AGL

1 captura por segundo (todas las bandas), RAW de 12 Velocidad de captura:

Serial, Ethernet 10/100/1000, Wi-Fi extraíble, disparador Interfaces

externo, GPS, SDHC

47.2 ° HFOV Campo de visión:

Modo de temporizador, modo de superposición, modo Opciones de activación: de disparo externo (PWM, GPIO, serie y opciones de

Ethernet), modo de captura manual



Peso: 231.9 g

Dimensiones: 8.7cm x 5.9cm x 4.54cm

Poder externo: 4.2 V DC – 15.6 V DC

Bandas espectrales

Azul, verde, rojo, borde rojo, cerca de IR (obturador

global, banda estrecha)

Salida de color RGB: Obturador global, alineado con todas las bandas.

Distancia de muestra en

el suelo (GSD):

8 cm por píxel (por banda) a 120 m (~ 400 pies) AGL

Velocidad de captura:

1 captura por segundo (todas las bandas), RAW de 12

bit

Serial, Ethernet 10/100/1000, Wi-Fi extraíble, disparador

externo, GPS, SDHC

Campo de visión: 47.2 ° HFOV

Modo de temporizador, modo de superposición, modo

Opciones de activación: de disparo externo (PWM, GPIO, serie y opciones de

Ethernet), modo de captura manual

Cámara del Matrice – RedEdge de MICASENSE



Preprocesamiento

Correcciones radiométricas, atmosféricas y geométricas





Correcciones radiométricas, atmosféricas y geométricas

Las correcciones radiométricas, atmosféricas y geométricas son procesos fundamentales en teledetección que se aplican a las imágenes obtenidas por sensores remotos (drones, satélites, aviones) para asegurar que los datos reflejen valores reales y comparables de la superficie terrestre.



Corrección radiométrica

Ajusta las imágenes para eliminar errores del sensor y condiciones de iluminación (como variación solar), garantizando que los valores digitales (DN o reflectancia) sean consistentes.

¿Corrige?

- Ruido del sensor.
- Diferencias de ganancia entre bandas.
- Efectos de sombra o sobreexposición.

Resultado:

 Produce una imagen con valores radiométricos corregidos listos para conversión a reflectancia a través de blancos de calibración.



Corrección atmosférica

Elimina los efectos de la **atmósfera** (absorción, dispersión, humedad, aerosoles) sobre la radiación captada por el sensor. Sin esta corrección, los valores de reflectancia no representan la superficie real.

¿Corrige?

- Efecto de gases como vapor de agua, ozono.
- Dispersión de Rayleigh y Mie (nubes, polvo).
- Variación atmosférica entre fechas o lugares.

Resultado:



Corrección atmosférica

Herramientas comunes:

- **SEN2COR** (Sentinel-2)
- QUAC, FLAASH (ENVI)
- ACOLITE (para aguas)
- DOS (Dark Object Subtraction) método empírico



Corrección geométrica

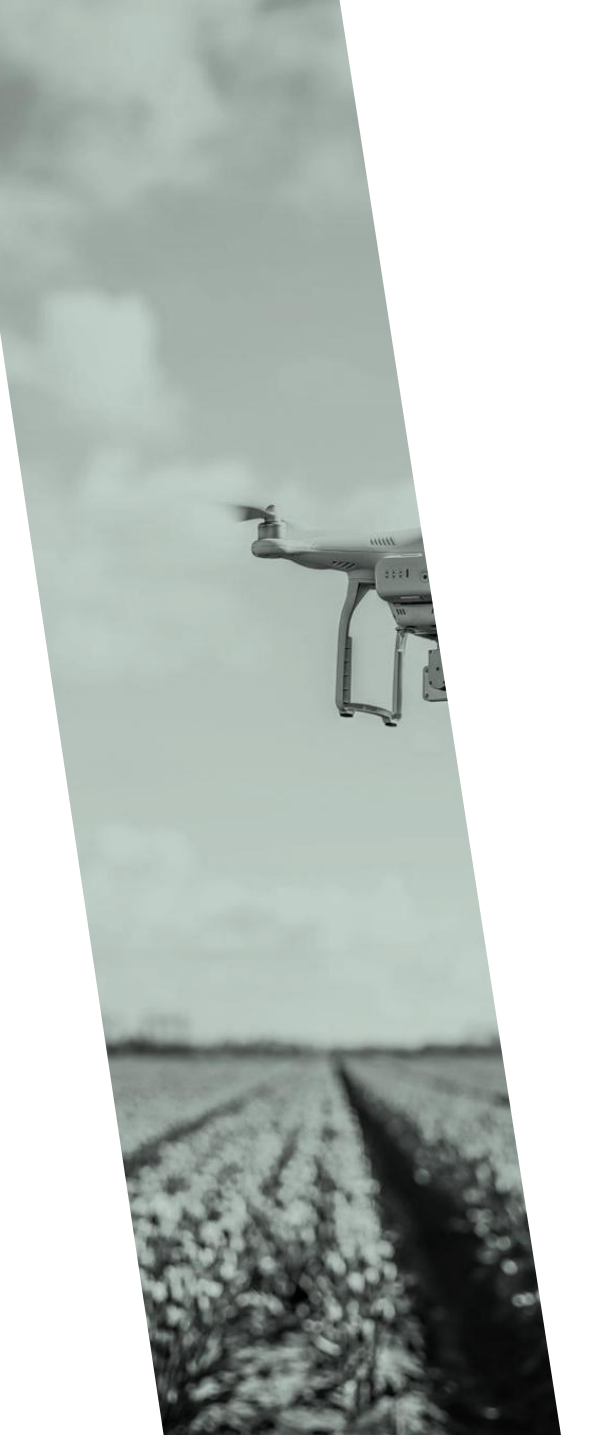
Corrige errores de **posición espacial** y **distorsión geográfica**, asegurando que cada píxel esté alineado correctamente con su ubicación real en la Tierra.

¿Corrige?

- Movimiento del satélite o dron.
- Curvatura terrestre.
- Rotación, inclinación y ángulo del sensor.
- Variaciones topográficas (relieve).

Resultado:

• Imágenes **georreferenciadas y ortorrectificadas**, listas para análisis GIS, comparación multitemporal o fusión con otros datos (como mapas de suelo o clima).





Importancia de las correcciones

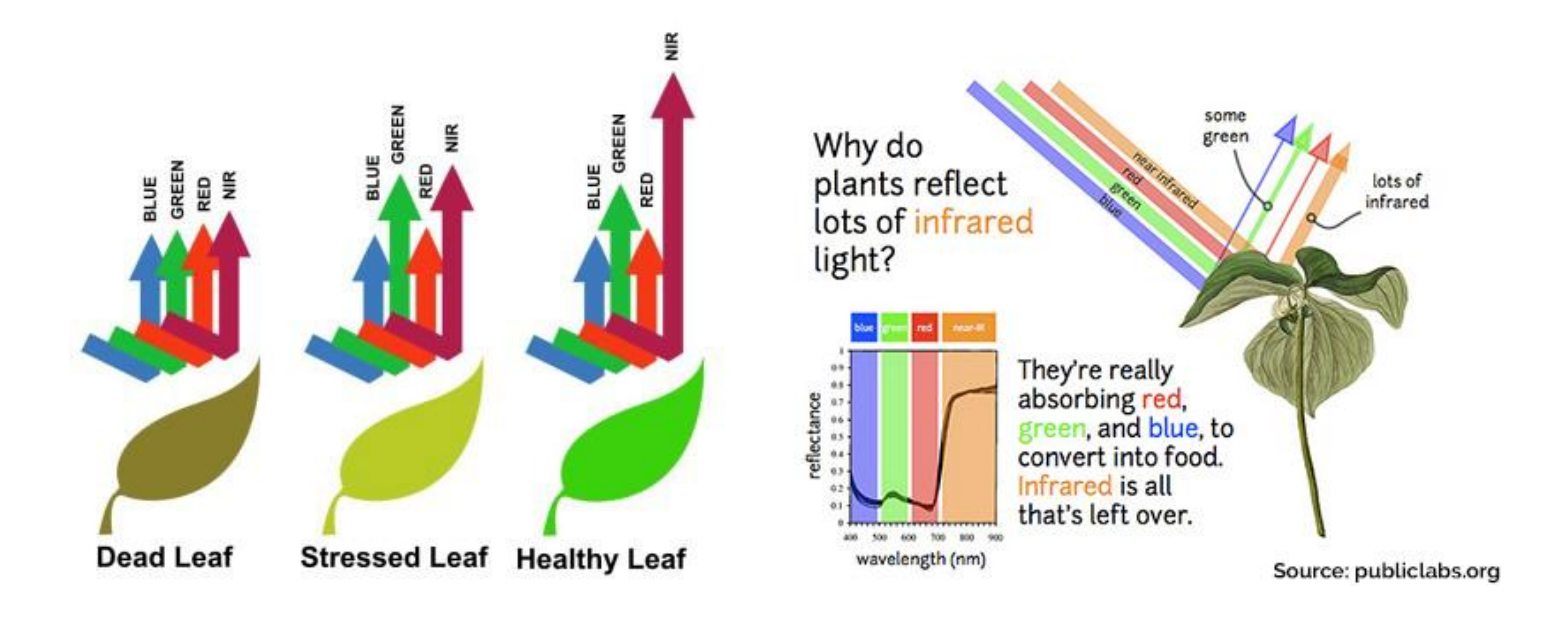
- Comparar imágenes en el tiempo (series temporales).
- Calcular índices espectrales (NDVI, etc.) con precisión.
- Integrar imágenes con datos de campo o de otras plataformas (drones, sensores espectrales).

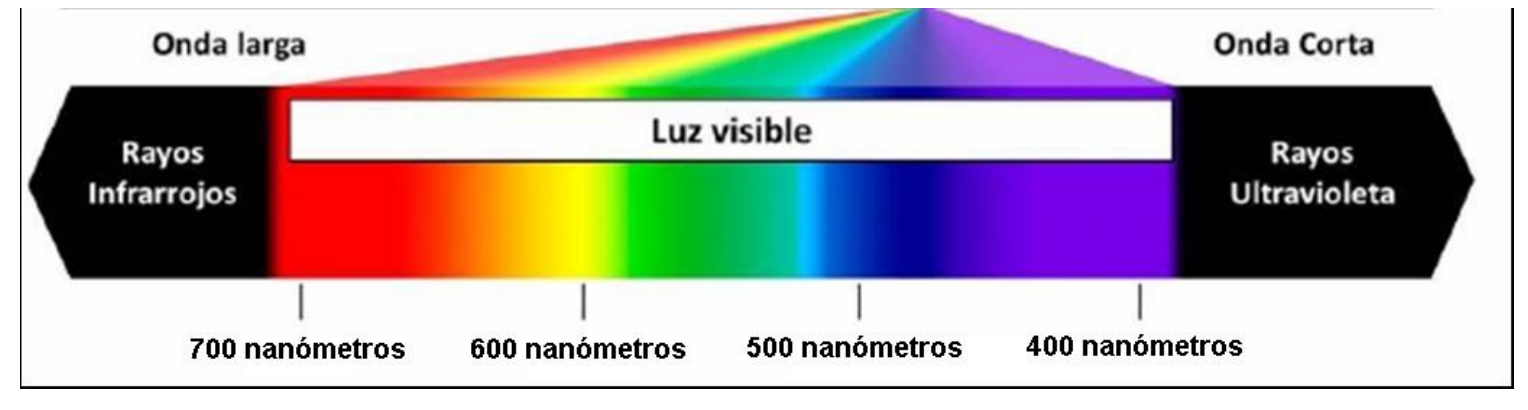


Composición de bandas e índices espectrales

NDVI, NDWI, SAVI, etc.

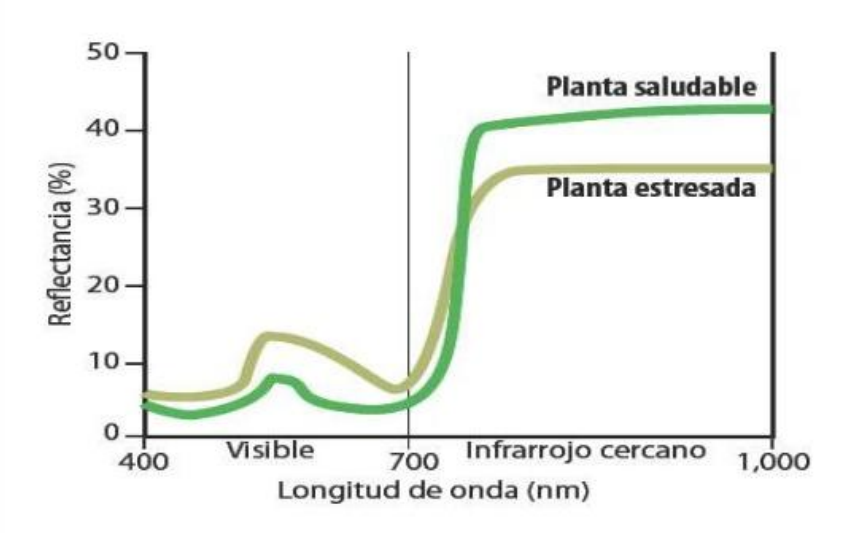
¿De donde proviene el concepto físico de índice de vegetación?





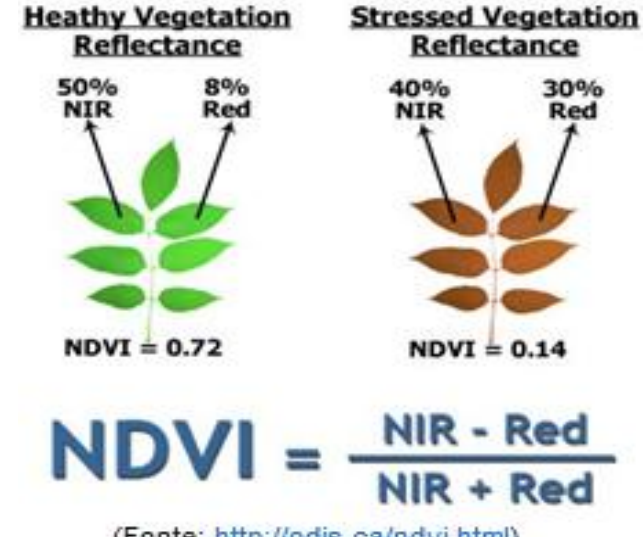
¿De donde proviene el concepto físico de índice de vegetación?





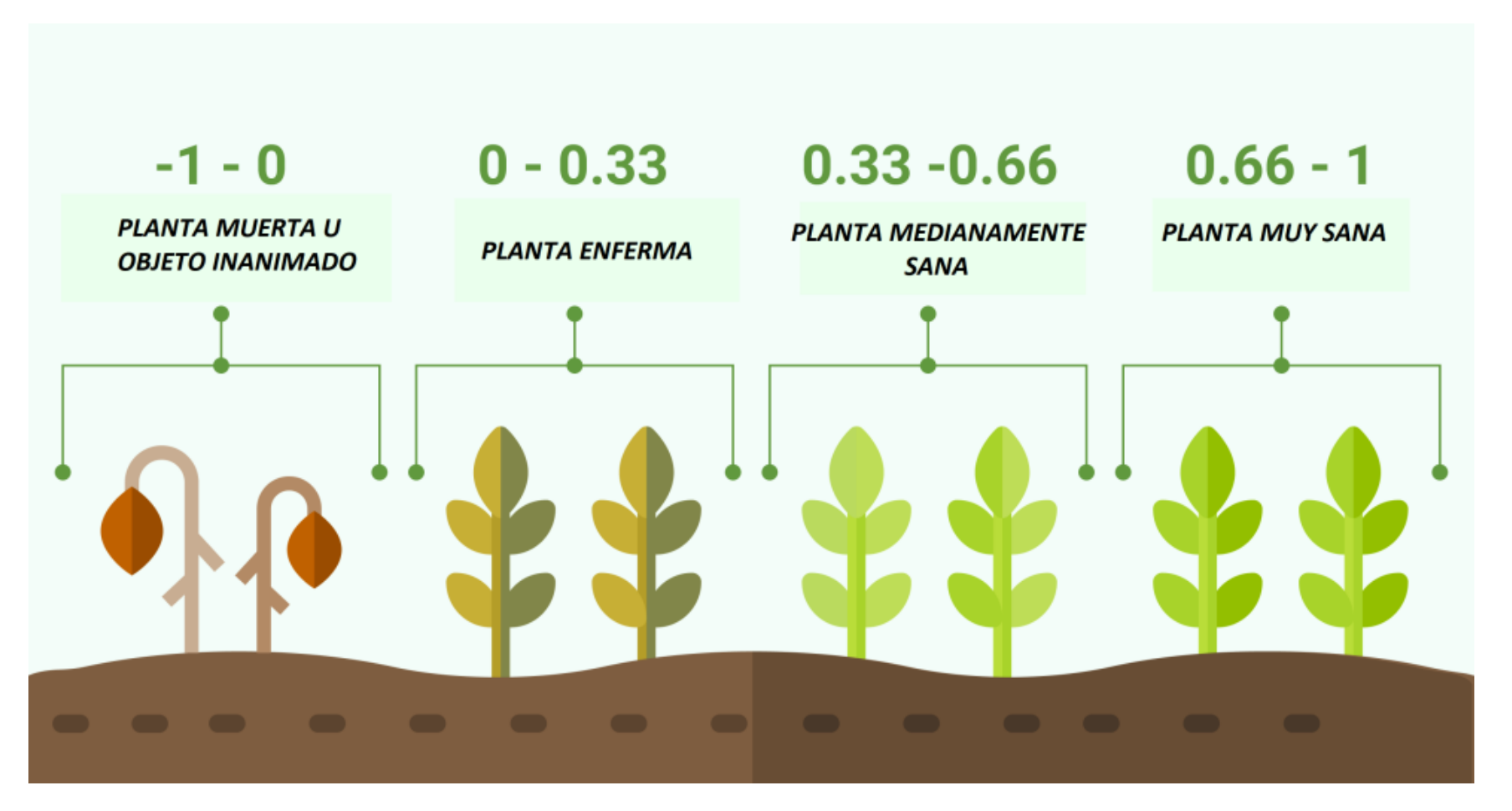
Ejemplo de espectro típico de reflectancia mostrando el comportamiento de una planta vigorosa y otra en condiciones de estrés. Fuente: CIMMYT.

NVDI: Normalized Difference Vegetation Index. NIR=Infrarojo cercano (850 nm) y Red: Rojo (650 nm). Indice de la salud de la planta



(Fonte: http://odis.ca/ndvi.html)

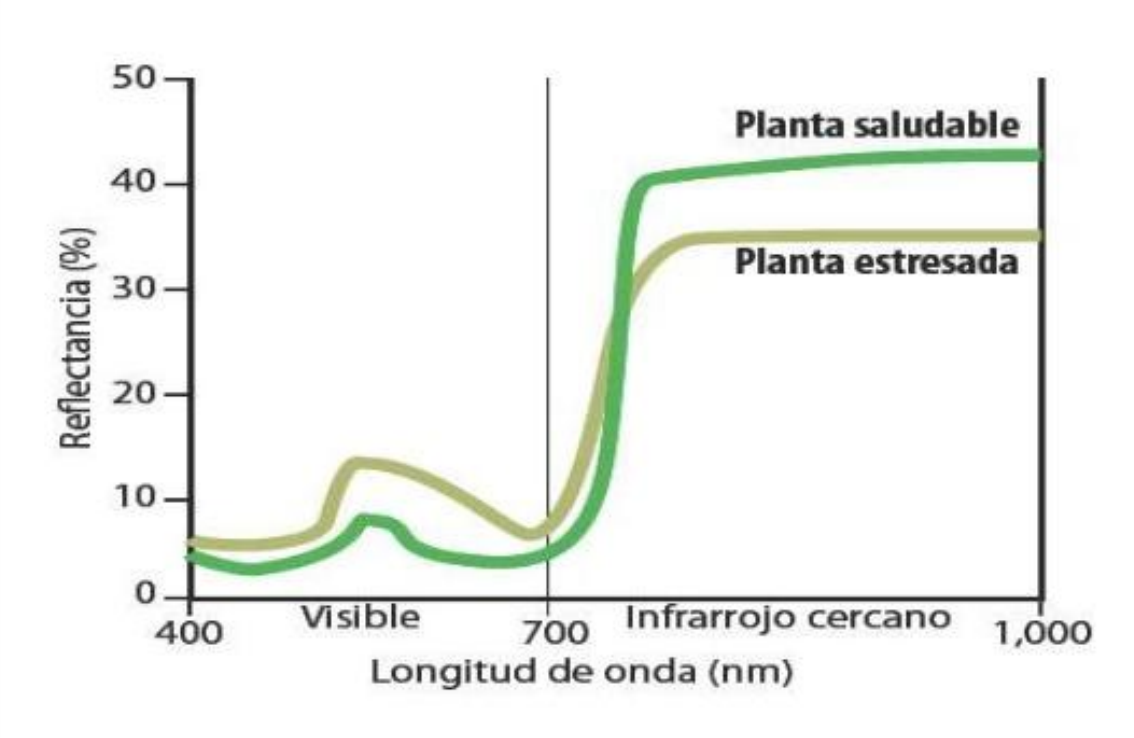




NDVI



¿De donde proviene el concepto físico de índice de vegetación?



Ejemplo de espectro típico de reflectancia mostrando el comportamiento de una planta vigorosa y otra en condiciones de estrés. Fuente: CIMMYT.

NDRE: Normalized Difference Red Edge. NIR=Infrarojo Lejano (850 nm) y RE: Red Edge (715 nm).

Medida de la cantidad de Clorofila

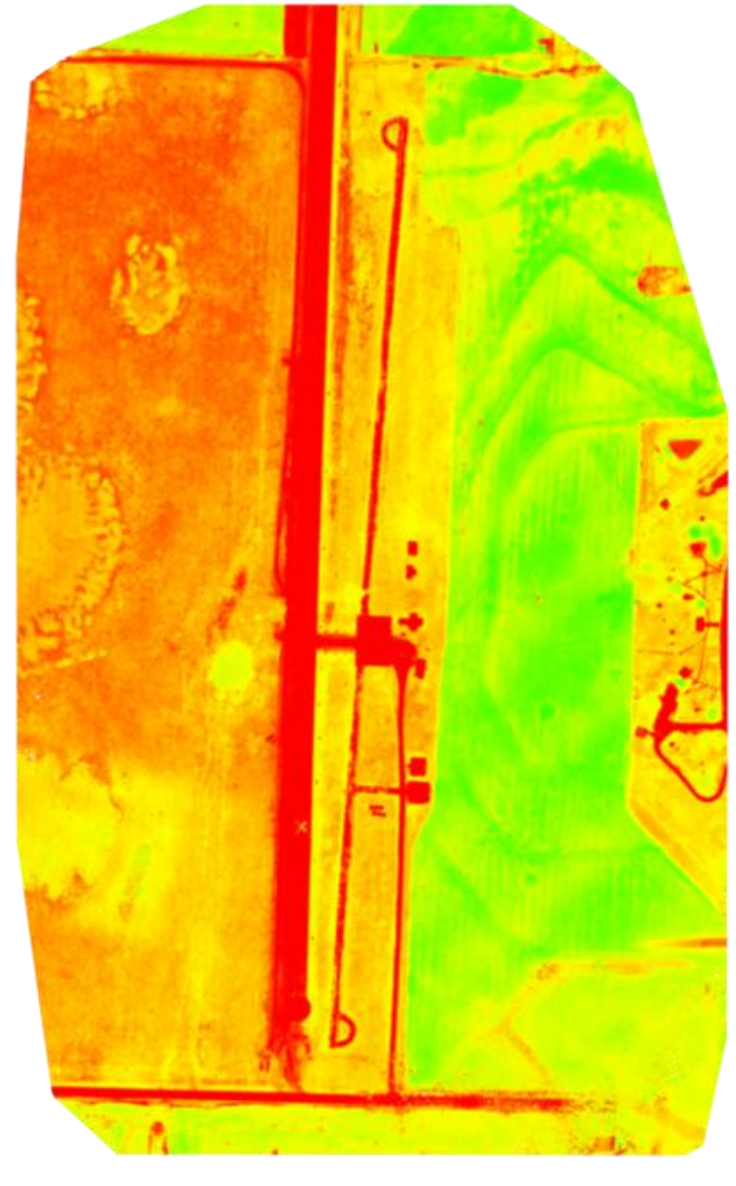
$$NDRE = \frac{(NIR - RE)}{(NIR + RE)}$$

AGROSAV/A



 $NDVI = \frac{NIR - Red}{NIR + Red}$





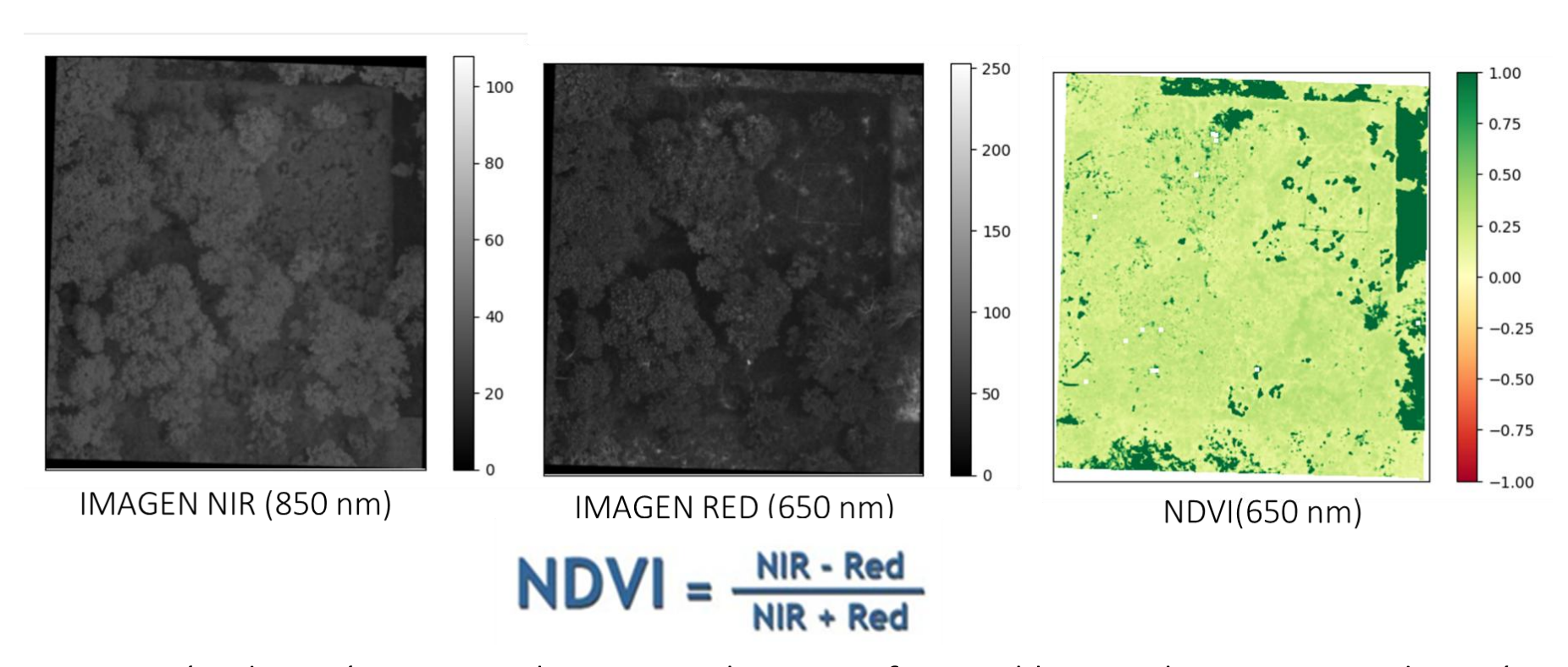






Generación de imágenes de indices de vegetación





Generación de imágenes multiespectrales en software libre Python a partir de imágenes de reflectancia calibradas con blanco de reflectancia

Indices de Vegetación

Nota: ρ son las bandas espectrales de las bandas de luz infrarroja cercana (NIR), roja, verde y azul, respectivamente; ρ i denota reflectancia en la longitud de onda de la banda i en nanómetros.



Vegetation Index	Formulas		
Three gradient difference vegetation index (TGDVI)	$TGDVI = \frac{\rho_{NIR} - \rho_{R}}{\lambda_{NIR} - \lambda_{R}} - \frac{\rho_{R} - \rho_{G}}{\lambda_{R} - \lambda_{G}}$		
Triangular vegetation index (TVI)	$TVI = 60(\rho_{NIR} - \rho_{G}) - 100(\rho_{R} - \rho_{G})$		
Modified triangular vegetation index (MTVI2)	$MTVI2 = \frac{1.5[(1.2(\rho_{NIR} - \rho_{G}) - 2.5(\rho_{R} - \rho_{G}))]}{\sqrt{(2\rho_{NIR} + 1)^{2} - (6\rho_{NIR} - 5\sqrt{\rho_{R}}) - 0.5}}$		
Red edge NDVI	$NDVI_{\text{Red-edge}} = \frac{\rho_{\text{NIR}} - \rho_{\text{Red-edge}}}{\rho_{\text{NIR}} + \rho_{\text{Red-edge}}}$		
Red-edge chlorophyll index	$CI_{Red-edge} = \frac{\rho_{NIR}}{\rho_{Red-edge}} - 1$		
MERIS Terrestrial Chlorophyll Index	$MTCI = \frac{\rho_{NIR} - \rho_{Red-edge}}{\rho_{Red-edge} - \rho_{Red}}$		
Water Index (WI)	$\mathrm{WI} = \rho_{900} \ / \ \rho_{970}$		
Normalized difference water index (NDWI)	$NDWI = \frac{\rho_{860} - \rho_{1240}}{\rho_{860} + \rho_{1240}}$		
Normalized difference infrared index (NDII)	$NDII = \frac{\rho_{819} - \rho_{1600}}{\rho_{819} + \rho_{1600}}$		
Disease water stress index (DSWI)	$DSWI = \frac{\rho_{803} + \rho_{549}}{\rho_{1659} + \rho_{681}}$		

Indices de Vegetación

Nota: ρ son las bandas espectrales de las bandas de luz infrarroja cercana (NIR), roja, verde y azul, respectivamente; ρ i denota reflectancia en la longitud de onda de la banda i en nanómetros.



Vegetation Index	Formulas		
Three gradient difference vegetation index (TGDVI)	$TGDVI = \frac{\rho_{NIR} - \rho_{R}}{\lambda_{NIR} - \lambda_{R}} - \frac{\rho_{R} - \rho_{G}}{\lambda_{R} - \lambda_{G}}$		
Triangular vegetation index (TVI)	$TVI = 60(\rho_{N\!I\!R} - \rho_{G}) - 100(\rho_{R} - \rho_{G})$		
Modified triangular vegetation index (MTVI2)	$MTVI2 = \frac{1.5[(1.2(\rho_{NIR} - \rho_{G}) - 2.5(\rho_{R} - \rho_{G}))]}{\sqrt{(2\rho_{NIR} + 1)^{2} - (6\rho_{NIR} - 5\sqrt{\rho_{R}}) - 0.5}}$		
Red edge NDVI	$NDVI_{\text{Red-edge}} = \frac{\rho_{\text{NIR}} - \rho_{\text{Red-edge}}}{\rho_{\text{NIR}} + \rho_{\text{Red-edge}}}$		
Red-edge chlorophyll index	$CI_{\text{Red-edge}} = \frac{\rho_{\text{NIR}}}{\rho_{\text{Red-edge}}} - 1$		
MERIS Terrestrial Chlorophyll Index	$MTCI = \frac{\rho_{NIR} - \rho_{Red-edge}}{\rho_{Red-edge} - \rho_{Red}}$		
Water Index (WI)	$\mathrm{WI} = \rho_{900} \ / \ \rho_{970}$		
Normalized difference water index (NDWI)	$NDWI = \frac{\rho_{860} - \rho_{1240}}{\rho_{860} + \rho_{1240}}$		
Normalized difference infrared index (NDII)	$NDII = \frac{\rho_{819} - \rho_{1600}}{\rho_{819} + \rho_{1600}}$		
Disease water stress index (DSWI)	$DSWI = \frac{\rho_{803} + \rho_{549}}{\rho_{1659} + \rho_{681}}$		

Indices de Vegetación



Table 3. Vegetation indices compiled from the literature.

Vegetation Index	Formulas		
Atmospherically-resistant vegetation index (ARVI)	$ARVI = \frac{\rho_{NIR} - RB}{\rho_{NIR} + RB}$ $RB = R - \gamma(B - R), \gamma = 1$		
Difference vegetation index (DVI)	$DVI = \rho_{NIR} - \rho_{R}$		
Enhanced vegetation index (EVI)	$EVI = 2.5 \frac{\rho_{NIR} - \rho_R}{\rho_{NIR} + 6\rho_R - 7.5\rho_B + 1}$		
Green normalized difference vegetation index (GNDVI)	$GNDVI = \frac{\rho_{NIR} - \rho_{G}}{\rho_{NIR} + \rho_{G}}$		
(61.5 1.1)			
Modified nonlinear vegetation index (MNLI)	$MNLI = \frac{1.5(\rho_{NIR^2} - \rho_R)}{\rho_{NIR^2} + \rho_R + 0.5}$		
The second modified SAVI (MSAVI2)	MSAVI2 = $\frac{2\rho_{NIR} + 1 - \sqrt{(2\rho_{NIR} + 1)^2 - 8(\rho_{NIR} - \rho_R)}}{2}$		
Modified simple ratio (MSR)	$MSR = \frac{\rho_{NIR}/\rho_R - 1}{\sqrt{\rho_{NIR}/\rho_R} + 1}$		
Normalized difference vegetation index (NDVI)	$NDVI = \frac{\rho_{NIR} - \rho_{R}}{\rho_{NIR} + \rho_{R}}$		
Nonlinear vegetation index (NLI)	$NLI = \frac{\rho_{NIR^2} - \rho_R}{\rho_{NIR^2} + \rho_R}$		

Optimization of soil-adjusted vegetation index (OSAVI)	OSAVI = $(1+0.16) \frac{\rho_{NIR} - \rho_{R}}{\rho_{NIR} + \rho_{R} + 0.16}$
Renormalized difference vegetation index (RDVI)	$RDVI = \frac{\rho_{NIR} - \rho_{R}}{\sqrt{\rho_{NIR} + \rho_{R}}}$
Ratio vegetation index (RVI)	$RVI = \frac{\rho_{NIR}}{\rho_{R}}$
Soil-adjusted vegetation index (SAVI)	SAVI = $\frac{\rho_{NIR} - \rho_R}{(\rho_{NIR} + \rho_R + L)} (1 + L), L = 0.5$



IDB - List of available Indices



¿Cómo usar las imágenes del Sentinel 2 para que sean procesadas e interpretadas de manera rápida por personal no experto?





EQUIPO DE TRABAJO

THOMAS GOMEZ SERPA

Es un estudiante de matemáticas y física en la Universidad de los Andes en Colombia. También conocido en GitHub por su nombre de usuario Ratabart666 Ratabart666 (GitHub). Programador de proyecto HYPERCORN adaptando algoritmos de procesamiento de imágenes multiespectrales y procesamiento de espectros en Python. Su interés es la física teórica, física matemática, modelación matemática y ciencias computacionales. Aspira a ser doctor en Física y empresario de proyectos digitales en Inteligencia Artificial para agricultura.

Autor de App HYPERSATELLITE y OPTIFORRAJE





EQUIPO DE TRABAJO

ANDRES FELIPE MENDOZA

Es un estudiante Ingeniería de Sistema en la Universidad de los Andes en Colombia. También conocido en GitHub por su nombre de usuario gordosaurio gordosaurio (github.com); desarrollando proyectos Web y proyectos de transacciones financieras. Es programador de HYPERCORN creando backend, base de datos y frontend. Intereses en programación y arquitectura de software.

Autor de App HYPERSATELLITE



ARQUITECTURA



ACCESO a la NUBE:





JavaScript

INTERFAZ GRÁFICA:

FRONT END









BACKEND







Versatilidad de la arquitectura





Modelos de machine learning para la estimación de parámetros relevantes en cultivos.



Análisis y procesamiento online de imágenes.



Detección de vegetación, seguimiento de deforestación y evolución de zonas verdes, detección de zonas con agua, seguimiento de emisiones.



Promoción de la conectividad para la gestión agrícola.



Corporación colombiana de investigación agropecuar

Espectroradiómetros (sensores proximales)

MODEL	PSR-1100f	RS-3500	PSR+	RS-8800	NaturaSpec	NaturaSpec Ultra
	PSR-1100	Assertation Assert	PSR-	Personal Property of the Control of	SPECTAL REVOLUTION TARREST	APPETENT APP
	Smallest and lightest portable instrument Spectral range is ideal for vegetation and water analysis Internal memory – no need for external PC to operate Tripod mountable Compatible with all fore optics and accessories	Tried and true full-range model Standard spectral resolution Lightweight and portable for field research Compatible with all fore optics and accessories	· Lightest, most portable full-range instrument · Internal memory & onboard controls - no need for external PC to operate · Option for direct attach lens or fiber optic · Tripod mountable · Compatible with all fore optics and accessories	Built-in computer with IoT operating system to control instrument with smartphone See field of view in real-time & record GPS, distance to target, solar elevation angle, and capture picture of fov with exclusive accessory Sensaprobe™ Compatible with all fore optics and accessories	Best signal to noise compromise in a field instrument High resolution & sensitivity Better data quality of any field spectrometer The new standard for remote sensing	The highest spectral resolution of any field spectroradiometer Enables field validation and calibration of even the highest resolution hyperspectral cameras and satellites by bringing lab quality hyperspectral data into the field. The optimum instrument to build high-resolution libraries and to push the limits of spectral analysis
Spectral Range	320-1100nm	350-2500nm	350-2500nm	350-2500nm	350-2500nm	350-2500nm
Spectral Resolution	3.0nm@600nm	2.8nm@700nm 8nm@1500nm 6nm@2100nm	2.8nm@700nm 8nm@1500nm 6nm@2100nm	3nm@700nm 8nm@1500nm 6nm@2100nm	2.7nm@700nm 5.5nm@1500nm 5.8nm@2100nm	1.5nm@700nm 3nm@1500nm 3.8nm@2100nm
Detector(s)	512-element Si Array	512-element Si Array Two 256-element TE-cooled InGaAs Arrays	512-element Si Array Two 256-element TE-cooled InGaAs Arrays	512-element Si Array Two 256-element TE-cooled InGaAs Arrays	1024-element UV-enhanced Si Array 512-element TE-cooled InGaAs Array 512-element extended TE-cooled InGaAs Arrays	1024-element UV-enhanced Si Array 512-element TE-cooled InGaAs Array 512-element extended TE-cooled InGaAs Arrays



Espectrómetro OCEAN INSIGHT

Ocean Optics. Espectrómetro SR-4VN500-25. SR4 es altamente configurable, con modelos que cubren diferentes rangos de longitud de onda desde aproximadamente 190-1100 nm y opciones de ranura de entrada en anchos de 5 μm a 200 μm. SR4 demuestra resultados efectivos para aplicaciones que van desde la medición de picos espectrales distintos dentro de plasmas y fuentes de emisión hasta la detección de cambios sutiles en la absorbancia en ADN, proteínas y otras muestras biológicas.



- Rango de longitud de onda: 190nm - 1,04 μm

- Longitud de onda del resplandor: 500 nm

- Resolución óptica: 1,2 nm

- Píxeles: 3648

- Ranura de entrada: 25 μm. Ref:SR-4VN500-25

Ref: SR-4VN500-25



Espectrómetro OCEAN INSIGHT

Ocean Optics. Estándar de reflectancia difusa, PTFE. El WS-1 utiliza un difusor óptico de PTFE, un material lambertiano que se distingue por su acabado blanco mate y una reflectividad >98 % entre 250 y 1500 nm y >95 % entre 250 y 2200 nm. Ref: WS-1.





INSIGHT

Ocean Optics. Fibra óptica resistente a la solarización. Nuestros ensambles de fibra óptica de primera calidad son Espectrómetro OCEA latiguillos duraderos y de alta calidad que brindan resultados uniformes con una variación mínima de la señal. Los latiguillos de primera calidad actúan como fibras de iluminación y lectura y se conectan fácilmente a los espectrómetros, fuentes de luz y accesorios de muestreo Ocean Insight.



- Rango de longitud de onda: 200 nm 1,1 µm
- Tamaño del núcleo de fibra: 600 µm
- Longitud: 2 m
- Recubrimiento: acero inoxidable BX

Ref: QP600-2-SR-BX



Espectrómetro OCEAN INSIGHT

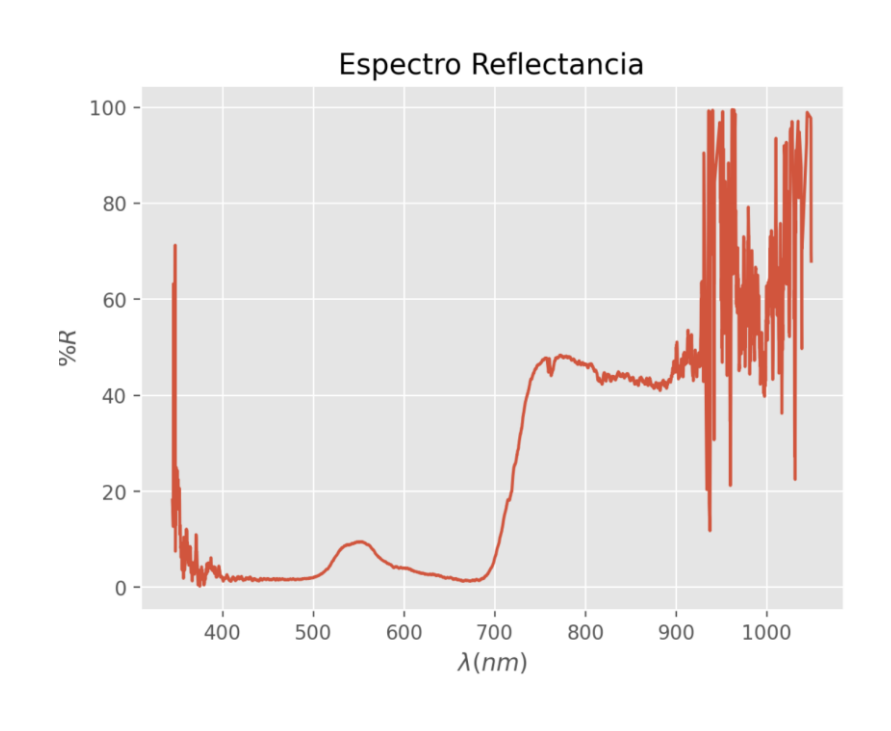
Ocean Optics. Juego de tubos Gershun. El Gershun Tube Kit es un conjunto óptico que se conecta a un espectrómetro o fibra óptica con terminación SMA 905 para controlar el FOV de la configuración. Cada conjunto comprende una base cónica y cilindros central y externo que se enroscan entre sí. Se pueden instalar aperturas intercambiables por el usuario para ajustar el FOV en diferentes incrementos de 1° a 28°.



- Conector: espectrómetro o fibra óptica con terminación SMA 905
- Material: Aluminio anodizado negro

Ref:GER-KIT





Espectrómetro OCEAN INSIGHT para adquisición de firmas espectrales – Espectro de Reflectancia







Google Earth Engine (GEE)

Descargando Imágenes de Sentinel - 2



Google Earth Engine (GEE) - MISIONES

1. NASA / USGS

- Landsat 1-9: Monitoreo terrestre desde 1972 hasta la actualidad (30 m resolución desde Landsat 4).
- MODIS (Terra y Aqua): Datos globales diarios desde 1999 (250 m - 1 km resolución).
- **ASTER**: Datos de elevación y multiespectrales (15 m 90 m).

ESA (Agencia Espacial Europea)

- **Sentinel-1**: Radar de apertura sintética (SAR), activo, desde 2014.
- Sentinel-2: Imágenes multiespectrales ópticas (10-60 m), desde 2015.
- **Sentinel-3**: Datos oceánicos y atmosféricos.



Google Earth Engine (GEE)

- GEE no tiene un número fijo, pero integra datos de más de 40 sensores satelitales diferentes.
- Puedes acceder a más de 100 datasets satelitales en su catálogo oficial: https://developers.google.com/earth-engine/datasets?hl=es-419



Google Earth Engine (GEE)

Nombre	Agencia	Tipo de sensor	Resolución (m)	Frecuencia	Desde
Landsat 8/9	NASA/USGS	Óptico (OLI/TIRS)	30 (óptico), 100 (TIRS)	Cada 16 días	2013 / 2021
Landsat 7	NASA/USGS	Óptico (ETM+)	30	Cada 16 días	1999
MODIS (Terra/Aqua)	NASA	Óptico / Térmico	250 – 1000	Diaria	1999 / 2002
Sentinel-1	ESA	Radar SAR C-band	10 – 40	Cada 6 días (par)	2014
Sentinel-2	ESA	Óptico multiespectral (MSI)	10 – 60	Cada 5 días	2015
Sentinel-3	ESA	Óptico y térmico	300 – 1200	Diaria	2016
ASTER	NASA/JAXA	Óptico multiespectral	15 – 90	Variable	1999
ALOS-1/2	JAXA	Radar PALSAR L-band	10 – 100	Variable	2006 / 2014
VIIRS	NOAA/NASA	Óptico / Térmico	375 – 750	Diaria	2011
GOES	NOAA	Geoestacionario (óptico)	500 – 1000	Cada 15 min	2016
Himawari-8	JMA	Geoestacionario (óptico)	500 – 2000	Cada 10 min	2015





Descarga de imágenes de Sentinel-2

- Google Earth Engine (GEE) Plataforma en la nube, sin necesidad de descargar imágenes.
- Ventajas: Gratuito
- Procesamiento en la nube
- Acceso a todas las imágenes de Sentinel-2 desde 2015
- Ideal para series temporales o análisis por zonas.
- Paso a paso para calcular NDVI:
 - Crea una cuenta: https://signup.earthengine.google.com
 - Abre el Code Editor: https://code.earthengine.google.com
 - Copia y pega este script básico (B4 = Rojo, B8 = Infrarrojo cercano)

Descarga de imágenes de Sentinel-2 (Córdiga divestigación agropecos en JavaScript)

```
// 1. Define tu zona de estudio (puedes usar un shapefile o
                                                                    // 4. Visualización
coordenadas)
                                                                    Map.centerObject(zona, 12);
var zona = ee.Geometry.Rectangle([-75.9, 8.9, -75.8, 9.0]); //
                                                                    Map.addLayer(ndvi, {min: -1, max: 1, palette: ['red', 'yellow',
ejemplo: Cereté, Córdoba
                                                                     'green']}, 'NDVÌ');
// 2. Carga colección Sentinel-2
                                                                    // 5. Exportar (opcional)
var colection = ee.ImageCollection('COPERNICUS/S2 SR')
                                                                    Export.image.toDrive({
 .filterBounds(zona)
                                                                     image: ndvi,
 .filterDate('2023-01-01', '2023-12-31')
                                                                     description: 'NDVI Sentinel2',
 .filter(ee.Filter.lt('CLOUDY PIXEL PERCENTAGE', 10))
                                                                     scale: 10,
 .median();
                                                                     region: zona,
                                                                     maxPixels: 1e9
// 3. Calcula NDVI = (NIR - Red) / (NIR + Red)
                                                                    });
var ndvi = coleccion.normalizedDifference(['B8',
'B4']).rename('NDVI');
```

1-descargarNDVISentineItoDrive



Descarga de imágenes de Sentinel-2

- La imagen aparecerá en tu Google Drive 'NDVI_Sentinel2' en formato .tif.
- Si no la puedes visualizar puedes cargarla en Python.
- Puedes exportar también bandas individuales (B2, B3, B4, B8...) o mosaicos multibanda.

En Google Earth Engine "COPERNICUS/S2_SR" corresponde al Sentinel-2 L2A con corrección atmosférica aplicada.

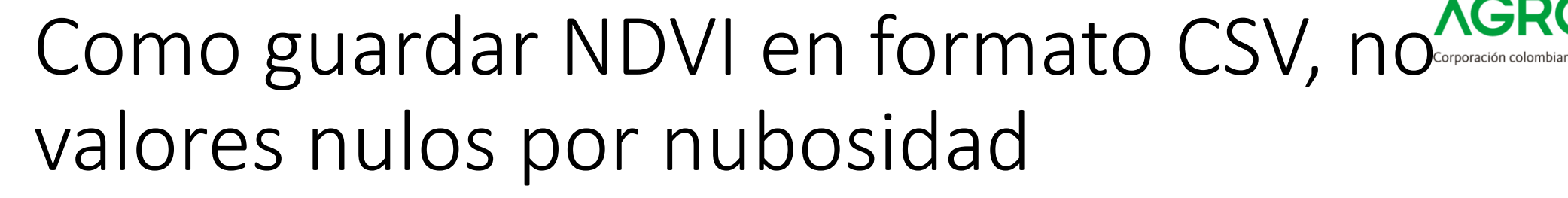
Descarga de imágenes de Sentinel-2 (Serprison agropecuario mensual)

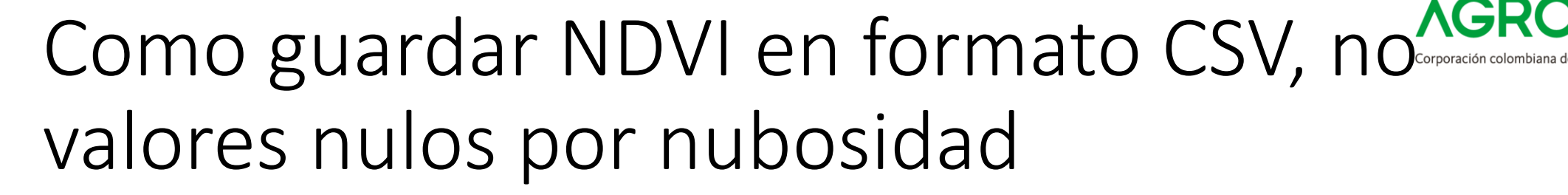
```
// 4. Aplicar máscara de nubes usando SCL que hace reconstrucción de la escena
// 1. Definir el área de interés (puedes usar tus propias
coordenadas o shapefile)
var aoi = ee.Geometry.Rectangle([-75.9, 8.8, -75.7, 9.0]); //
                                                                       function maskClouds(image) {
Ejemplo en Córdoba, Colombia
                                                                        var qa = image.select('SLC');
                                                                        var cloudBitMask = 1 << 10;
// 2. Definir el rango de fechas (ejemplo: marzo 2024)
                                                                        var cirrusBitMask = 1 << 11;
var start = '2024-03-01';
                                                                        var mask = qa.bitwiseAnd(cloudBitMask).eq(0)
var end = '2024-03-31';
                                                                                .and(qa.bitwiseAnd(cirrusBitMask).eq(0));
                                                                        return image.updateMask(mask).copyProperties(image,
// 3. Cargar Sentinel-2 nivel 2A (con corrección atmosférica)
                                                                       ["system:time start"]);
var s2 = ee.ImageCollection("COPERNICUS/S2 SR")
 .filterDate(start, end)
 .filterBounds(aoi)
                                                                       var s2Masked = s2.map(maskClouds);
 .filter(ee.Filter.lt('CLOUDY PIXEL PERCENTAGE', 20)); // Ajusta
según tolerancia
```

Descarga de imágenes de Sentinel-2 (Seriembiana de investigación mensual)

```
// 5. Calcular NDVI y renombrar
var withNDVI = s2Masked.map(function(img) {
 var ndvi = img.normalizedDifference(['B8',
'B4']).rename('NDVI');
 return img.addBands(ndvi);
});
// 6. Crear mosaico mensual (mediana)
var monthlyNDVI =
withNDVI.select('NDVI').median().clip(aoi);
// 7. Visualización en el mapa
Map.centerObject(aoi, 12);
Map.addLayer(monthlyNDVI, {min: 0, max: 1, palette: ['white', 'green']}, 'NDVI Marzo 2024');
```

```
// 8. Exportar a Google Drive
Export.image.toDrive({
 image: monthlyNDVI,
 description: 'NDVI Marzo2024 Mombasa',
 folder: 'GEE Exports',
 fileNamePrefix: 'NDVI Marzo2024',
 region: aoi,
 scale: 10.
 crs: 'EPSG:4326',
 maxPixels: 1e13
});
2-descargarNDVISentineltoDriveSerieTemp
```

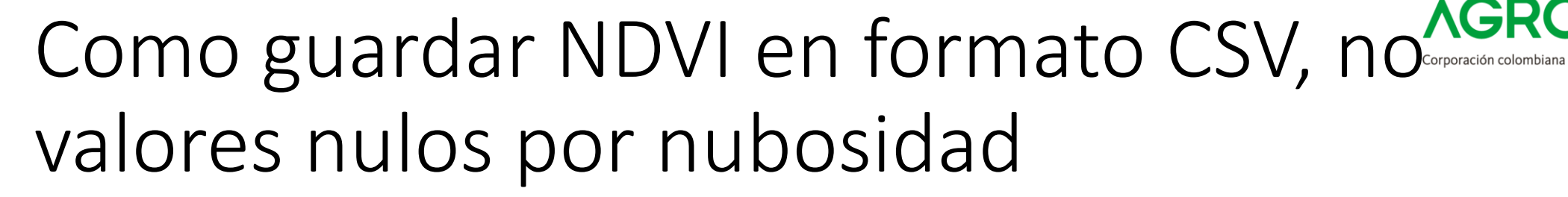




```
// 3. Cargar Sentinel-2 SR y calcular NDVI
var s2 = ee.ImageCollection('COPERNICUS/S2_SR')
.filterBounds(aoi)
.filterDate('2023-01-01', '2023-12-31')
.filter(ee.Filter.lt('CLOUDY_PIXEL_PERCENTAGE', 30))
.map(maskCloudsSCL)
.map(function(img) {
   var ndvi = img.normalizedDifference(['B8', 'B4']).rename('NDVI');
   return img.addBands(ndvi);
});
```

```
// 4. Calcular NDVI mensual solo si hay imágenes
var months = ee.List.sequence(1, 12);

var ndviByMonth = months.map(function(m) {
   var monthly = s2.filter(ee.Filter.calendarRange(m, m, 'month'));
   var count = monthly.size();
```



```
// Solo continúa si hay imágenes en ese mes
 return ee.Algorithms.If(
  count.gt(0),
  ee.Feature(null, {
   'mes': m,
   'NDVI': monthly.select('NDVI').mean()
            .reduceRegion({
             reducer: ee.Reducer.mean(),
             geometry: aoi,
             scale: 10,
             maxPixels: 1e13
            }).get('NDVI')
}),
  null
```

```
// 5. Filtrar valores nulos
var ndviFeatures =
ee.FeatureCollection(ndviByMonth).filter(ee.Filter.notNull(['NDVI']));

// 6. Exportar a CSV
Export.table.toDrive({
   collection: ndviFeatures,
   description: 'NDVI_Cerete_2023_OK',
   fileFormat: 'CSV'
});
3-DescargaejemploCSV2NoNulo
```



Generación Índices de Vegetación con QGIS

Programa gratuito de escritorio para análisis de imágenes satelitales

Generación de Índices de Vegetación conficion de investigación agropecuario QGIS

Opción 2: QGIS con el plugin Semi-Automatic Classification (SCP) Ventajas:

- No necesitas programación
- Puedes trabajar sin conexión
- Permite clasificaciones, índices e incluso análisis multitemporales

Paso a paso:

1.Instala QGIS (si no lo tienes):

https://qgis.org

2.Activa el plugin SCP:

- 1. Ve a Complementos > Administrar e instalar complementos
- 2. Busca Semi-Automatic Classification Plugin e instálalo

Generación de Índices de Vegetación conficion de investigación agropecuario QGIS

- 1.Descarga imágenes Sentinel-2 desde el plugin o desde:
 - 1. https://dataspace.copernicus.eu
- 2. Carga las bandas necesarias (B4 y B8)
- 3.Calcula el NDVI:
 - 1. En SCP > Preprocessing > Band set
 - 2. Define las bandas
 - 3. Luego, ve a Band calc y usa la fórmula:

$$(B8 - B4) / (B8 + B4)$$

(OPCION 1: ¡Continuamos y volvemos para hacer este proceso!).



Descarga de imágenes satelitales desde Copernicus

Copernicus es una base de datos web desde donde se descargan imágenes del satélite Sentinel-2



¿Cómo descargar desde Copernicus?

1. Entra al portal

- Ve a: https://dataspace.copernicus.eu/
- Inicia sesión o crea una cuenta gratuita (necesario para descargar datos) (SENTINEL HUB → Copernicus Browser).

2. Buscar tu área de interés

- Usa el mapa para acercarte a **Cereté, Colombia** (o la zona que desees).
- Dibuja un polígono o cuadrado sobre el área de interés.



¿Cómo descargar desde Copernicus?

3. Filtrar la búsqueda

- En el panel izquierdo:
 - Producto: selecciona Sentinel-2 L2A (procesado al nivel de superficie con corrección atmosférica).
 - Fecha: selecciona el rango deseado (por ejemplo: 2023-06-01 a 2023-06-30).
 - Nubes: ajusta a < 20% o el umbral que prefieras.
 - Haz clic en "Search".



¿Cómo descargar desde Copernicus?

4. Seleccionar una imagen

- Revisa las imágenes encontradas.
- Haz clic en una con baja nubosidad y buena cobertura de tu zona.

5. Descargar el producto

- Haz clic en el botón de descarga:
 - Puedes elegir el producto completo (aprox. 1 GB) o sólo algunas bandas.





Como descargar las bandas B4 y B8 (imágenes satelitales) descargadas desde Copernicus

- Una vez descargado el producto ZIP completo:
- Opción A: Extraer manualmente
- Descomprime el archivo.
- Entra a la carpeta: GRANULE > L2A_Tile_Code > IMG_DATA
- Busca los archivos:
 - Txxxyyy_YYYYMMDDTxxxx_B04_10m.jp2 (B4)
 - Txxxyyy_YYYYMMDDTxxxx_B08_10m.jp2 (B8)
- Puedes abrirlos en QGIS, SNAP o Python (usa rasterio o gdal).
- Opción B: Usar SNAP (opcional! Se verá luego)
- Abre el archivo ZIP directamente en SNAP.
- Visualiza y exporta las bandas deseadas como GeoTIFF.



Generación Índices de Vegetación con QGIS usando archivos .jp2

Programa gratuito de escritorio para análisis de imágenes satelitales



CÓMO CALCULAR NDVI EN QGIS USANDO ARCHIVOS .jp2

1. Abrir QGIS

Asegúrate de tener instalada la versión más reciente de QGIS (preferiblemente 3.22 o superior).

2. Cargar las bandas B4 y B8

Ve a "Capa" > "Añadir capa" > "Añadir capa ráster".

Selecciona el archivo .jp2 correspondiente a la banda B4 (típicamente tiene B04_10m.jp2 en el nombre).

Repite para la banda B8 (B08_10m.jp2).

Verás dos capas separadas en el panel de capas.

3. Asegúrate de que tengan la misma resolución y alineación

Las bandas de Sentinel-2 a 10m suelen coincidir directamente, pero puedes verificarlo:

Haz clic derecho en cada banda > Propiedades > pestaña Información.

Asegúrate de que tengan la misma resolución espacial, sistema de coordenadas y tamaño.





CÓMO CALCULAR NDVI EN QGIS USANDO ARCHIVOS .jp2

4. Calcular NDVI con la Calculadora ráster

Ve a "Procesos" > "Calculadora ráster" o presiona Ctrl+R. (OPCION 2)

- 1. Asigna un nombre a la capa de salida, por ejemplo: ndvi.tif.
- 2.En la parte inferior, selecciona el lugar para guardar el archivo.
- 3.En la expresión, escribe en texto plano en "" los nombres de los archivos

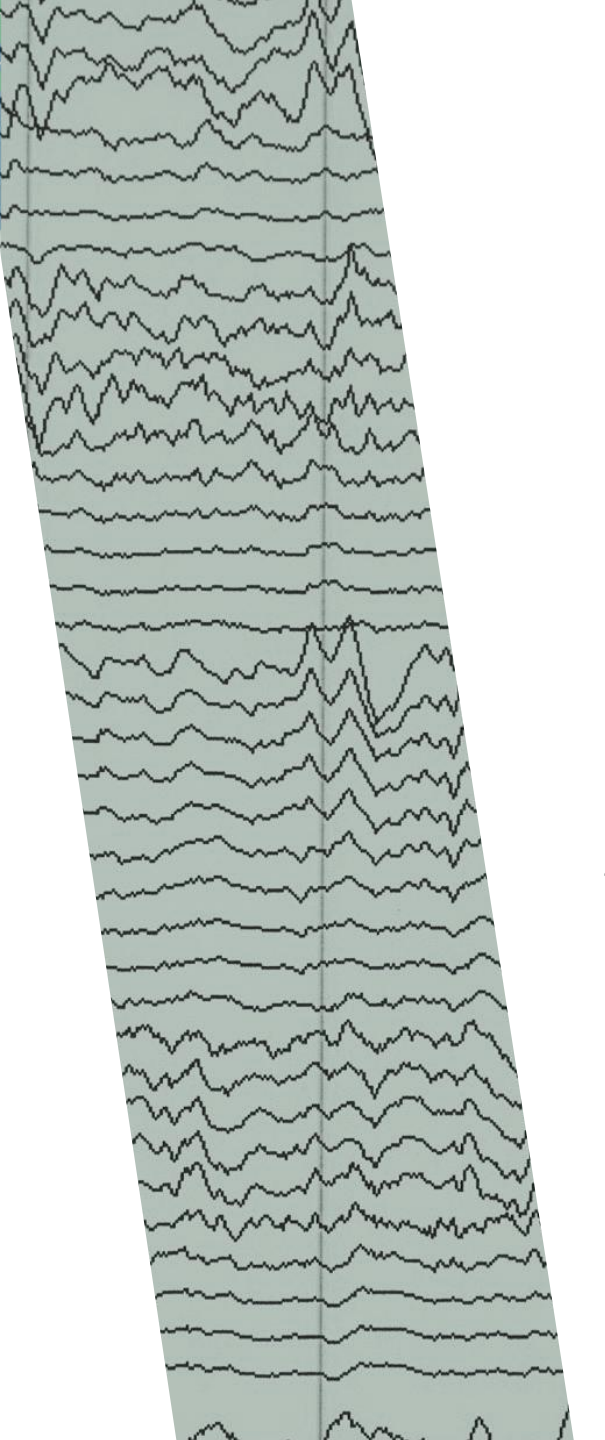
("B8@1" - "B4@1") / ("B8@1" + "B4@1")

Donde:

"B8@1" es el nombre de la capa de la banda 8 (puede llamarse distinto, revisa el nombre exacto en el panel).

"B4@1" es el nombre de la banda 4.

Si los nombres son diferentes (por ejemplo: B08 10m@1), usa esos nombres exactos.





CÓMO CALCULAR NDVI EN QGIS USANDO ARCHIVOS .jp2

Haz clic en Aceptar.

- 5. Visualiza y colorea el NDVI
- 1. Una vez generado, carga el archivo ndvi.tif.
- 2.En el panel de capas, haz clic derecho > Propiedades > pestaña Simbología.
- 3. Cambia el tipo a "Renderizado en pseudocolor" y aplica una rampa de color (verde amarillo rojo, por ejemplo).
- 4. Ajusta los valores mínimo y máximo a los esperados (por ejemplo: -1 a 1).



EO Browser de Sentinel-2

(web gratuita (limitada), visual e intuitiva)



Usando EO Browser de Sentinel-2

Ingreso

Ve a: https://apps.sentinel-hub.com/eo-browser

Pasos (EXPIRA EN 30 DIAS)

- **1.Sentinel2 Dashboard -> EO Browser. Selecciona tu zona de interés** (puedes buscar "Cereté, Colombia" si es tu caso).
- 2. Escoge el satélite: Sentinel-2 L2A (ya corregido atmosféricamente).
- 3. Define el rango de fechas (últimos días/semanas).
- 4.En "Visualizations", selecciona:
 - 1. True Color para ver imagen natural
 - 2. NDVI para salud vegetal
 - 3. Puedes crear visualizaciones personalizadas
- 5. Haz clic en "Compare" para ver diferencias entre fechas.
- 6. Puedes descargar las imágenes o datos NDVI como PNG, GeoTIFF o CSV.



Generación de imágenes de índice de vegetación usando imágenes de Sentinel-2 + Python

(con Google Earth Engine o descarga directa desde Copernicus)

Librerías de Python para procesamiento de investigación agropecuario imágenes satelitales

1.rasterio:

Propósito: Lectura, escritura y análisis de datos ráster (como imágenes satelitales).

Formatos comunes: GeoTIFF, JPEG2000, entre otros.

Usos típicos:

- Extraer valores de píxeles.
- Leer metadatos geoespaciales.
- Recortar, reproyectar y combinar bandas.





Que son los datos ráster

Los datos raster son un tipo de datos geoespaciales representados en forma de rejilla de celdas o píxeles, donde cada celda tiene un valor numérico que representa información sobre una característica del territorio en esa ubicación específica.

- Color (en imágenes satelitales RGB)
- Temperatura
- Altura o elevación (DEM)
- Índice de vegetación (NDVI, SAVI, etc.)



Estructura de un dato ráster

Elemento

Píxel

Resolución

Bandas

Valor

Descripción

Unidad mínima, cuadrada. Tiene una dimensión espacial (por ejemplo, 10 m).

Tamaño real que representa cada píxel en el terreno.

Capas del ráster que contienen distintos tipos de información (ej. R, G, B, NIR u otra banda).

Número o categoría almacenada en cada píxel. Puede ser real, entero o clase. Se refiere al DN



¿Qué representan los datos ráster?

Tipo de ráster	¿Qué representa cada píxel?	Ejemplo
Imágenes satelitales	Intensidad de luz reflejada en diferentes bandas	Sentinel-2, Landsat
Modelos de elevación (DEM)	Altura del terreno sobre el nivel del mar	SRTM, ASTER
Índices de vegetación	Cálculo como NDVI, NDRE, etc.	NDVI generado a partir de bandas
Mapas de temperatura	Temperatura de la superficie o del aire	Datos térmicos
Clasificaciones de uso suelo	Categoría del uso o cobertura del suelo	Bosque, cultivo, agua, etc.



Características de los datos raster

- Resolución espacial: Tamaño del píxel en el terreno. Ej: 10 m (cada píxel representa un área de 10x10 m).
- Extensión: Área total que cubre la imagen.
- Sistema de referencia: Información geográfica como UTM o WGS84.
- Formato común: .tif (GeoTIFF), .img, .asc, etc.





Atributo	Datos Raster	Datos Vectoriales
Forma de almacenamiento	Matriz de valores (rejilla)	Puntos, líneas y polígonos (geometrías)
Ejemplo	Imagen satelital NDVI	Shapefile de parcelas o caminos
Ideal para	Datos continuos (vegetación, elevación)	Datos discretos (parcelas, ríos, árboles)



¿Qué es un GeoTIFF?

 Un GeoTIFF es un archivo .tif o .tiff que no solo contiene una imagen raster, sino también metadatos que describen cómo esa imagen se ubica en el espacio geográfico.



Contenido de un archivo GeoTIFF

Elemento	Descripción		
Imagen raster	Datos en píxeles (ej. valores de NDVI, elevación, reflectancia, etc.)		
Sistema de coordenadas	Proyección y sistema geodésico (ej. WGS 84, UTM)		
Referencia espacial	Coordenadas del borde superior izquierdo y resolución (tamaño del píxel)		
Metadata adicional	Nombre del satélite, fecha, bandas, estadísticas, etiquetas, etc.		



Formatos comparables con **GeoTIFF** para almacenar datos ráster georreferenciados

Formato	Descripción breve	Georreferencia	Multibanda	Compresión	Compatibilidad
GeoTIFF	TIFF con metadatos espaciales incrustados	✓ Sí	☑ Sí	Opcional	✓ Muy alta
JPEG2000 (JP2)	Imagen comprimida con soporte de geolocalización	✓ Sí	✓ Sí	Alta	<u>/</u> Media
NetCDF (.nc)	Formato científico multidimensional (tiempo, espacio, altura, etc.)	✓ Sí	☑ Sí	Alta	Técnica (más en ciencia climática)
HDF5 (.h5/.hdf)	Formato jerárquico para grandes volúmenes de datos científicos (ej. MODIS)	✓ Sí	☑ Sí	✓ Alta	1 Técnica
ENVI .hdr/.dat	Propio del software ENVI (metadatos separados en archivo .hdr)	✓ Sí	✓ Sí	× No	A Parcial (mejor en ENVI/IDL)
IMG (ERDAS)	Formato raster usado por ERDAS Imagine	<mark>✓ Sí</mark>	✓ Sí	Alta	Alta solo en software ESRI/ERDAS
Cloud Optimized GeoTIFF (COG)	Variante de GeoTIFF para la nube, accesible por partes	✓ Sí	☑ Sí	Alta	Muy alta (especialmente en GEE, Python)



Usos de los los formatos geoespaciales

Uso principal

Formato recomendado

Visualización + análisis GIS

GeoTIFF, COG

Grandes volúmenes en

NetCDF, HDF5

clima/suelo

Intercambio web / servicios WMS JPEG2000, COG

Procesamiento remoto / cloud

COG, NetCDF

Análisis en ENVI

.hdr + .dat

WGS84 – Sistema de Coordenadas Geográficas ROSAVIA (World Geodetic System 1984)

Elemento

Tipo de sistema

Unidades

Cobertura

Representación

Datum

Uso común

Descripción

Geográfico (usa latitud y longitud)

Grados decimales (°), minutos (′), segundos

(")

Global

(latitud, longitud) Ej: (8.755°, -75.881°)

Basado en un elipsoide global, con centro

en el centro de la Tierra

GPS, mapas web (Google Maps, GEE,

Leaflet), sensores satelitales



Ejemplo de un WGS84

Coordenadas de Montería:

Latitud: 8.75° N

Longitud: 75.88° W

Sistema: EPSG:4326

UTM – Universal Transverse Mercator: Sistema Universal de Coordenadas Transversales de Mercator

Elemento

Tipo de sistema

Unidades

Cobertura

Representación

Datum común

Uso común

Descripción

Proyectado (plano/cartesiano)

Metros

Divide el mundo en 60 zonas de 6° de

ancho cada una

(Este, Norte, Zona) Ej: (795412, 968713,

Zona 18N)

Generalmente usa **WGS84**, pero también

puede usar otros

Cartografía de precisión, topografía,

teledetección, SIG locales



Ejemplo

Coordenadas UTM de Montería (aprox.):

Este (Easting): 795412 m

Norte (Northing): 968713 m

Zona: 18N

Sistema: **EPSG:32618** (WGS84 + UTM zona 18N)



Comparación entre WGS84 Vs. UTM

Característica	WGS84	UTM
Tipo	Geográfico (esférico)	Proyectado (plano)
Coordenadas	Latitud, Longitud	Este (X), Norte (Y), Zona
Unidades	Grados	Metros
Sistema	EPSG:4326	EPSG:32618
Sistema Precisión local	EPSG:4326 Menor	EPSG:32618 Mayor (útil para distancias/áreas)



¿Cómo usar uno u otro?

¿Qué estás haciendo?

Visualizar datos globales o usar GPS

Calcular áreas, distancias en metros, topografía

Trabajar en Google Earth Engine o mapas web

Hacer un análisis SIG local con precisión

Recomendado

WGS84

UTM

WGS84

UTM



Sistemas adoptados por países

País / Región Sistema común EPSG u observación

Colombia MAGNA-SIRGAS EPSG:4686 (geográfico), EPSG:9377–9382 (proyectados por zonas UTM)

España ETRS89 + UTM EPSG:25828–25831 según zona

Brasil SIRGAS 2000 EPSG:4674 o proyectado EPSG:31981–

31999

Chile PSAD56 / SIRGAS-Chile EPSG:24891 o EPSG:5361

México ITRF92 o NAD27/NAD83 local Varía por región

Argentina POSGAR94 / POSGAR07 EPSG:5347–5356

Francia Lambert 93 EPSG:2154





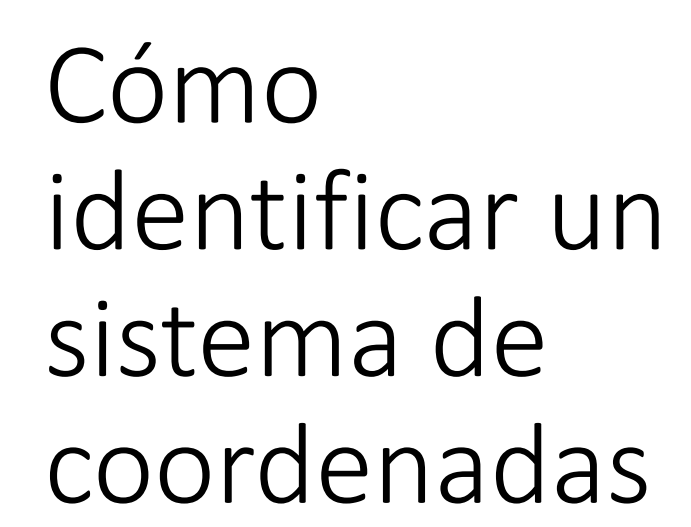
A través de su **EPSG** (European Petroleum Survey Group), un número único de referencia.



En QGIS o ArcGIS, puedes buscar estos sistemas por nombre o EPSG.



En Python puedes usar pyproj, rasterio, o geopandas para trabajar con sistemas de coordenadas.





Librerías de Python para procesamiento de livestigación agropecuaria imágenes satelitales

2. Shapely

- Propósito: Geometría y operaciones espaciales puras (sin datos)
- Usos típicos:
 - Crear puntos, líneas, polígonos.
 - Calcular distancias, áreas, intersecciones.

Librerías de Python para procesamiento de livestigación agropecuaria imágenes satelitales

3. fiona:

- Propósito: Entrada/salida de archivos vectoriales geográficos (como shapefiles).
- Usos típicos: Trabajar directamente con estructuras tipo diccionario para archivos .shp

Librerías de Python para procesamiento de investigación agropecuaria imágenes satelitales

4. Sentinelsat

- Propósito: Búsqueda y descarga de imágenes Sentinel desde Copernicus Open Access Hub.
- Útil para: Automatizar adquisición de datos satelitales.

Librerías de Python para procesamiento de investigación agropecuaria imágenes satelitales

5. scikit-image o opencv:

- Propósito: Procesamiento de imágenes (aplica también para imágenes satelitales).
- Usos: Mejora de contraste, filtrado.
- Clasificación por píxel, segmentación.

Instalar en Visual Studio Code las siguientes de investigación agropecuario librerías

pip install rasterio geopandas shapely fiona pyproj xarray rioxarray earthpy



Programas – Python

Conversores de sistemas geográficos, generación de índices de vegetación usando datos satelitales.

Ejemplo conversión WGS84 (lat/lon) a Unicola agropecuario zona 18N (EPSG:32618)- Python con pyproj

Ejemplo conversión inverso UTM a WGS Conversión agropecuario con Python con pyproj

Usando geopandas y shapely — ejemplo combiana de investigación agropeción transformación de un punto

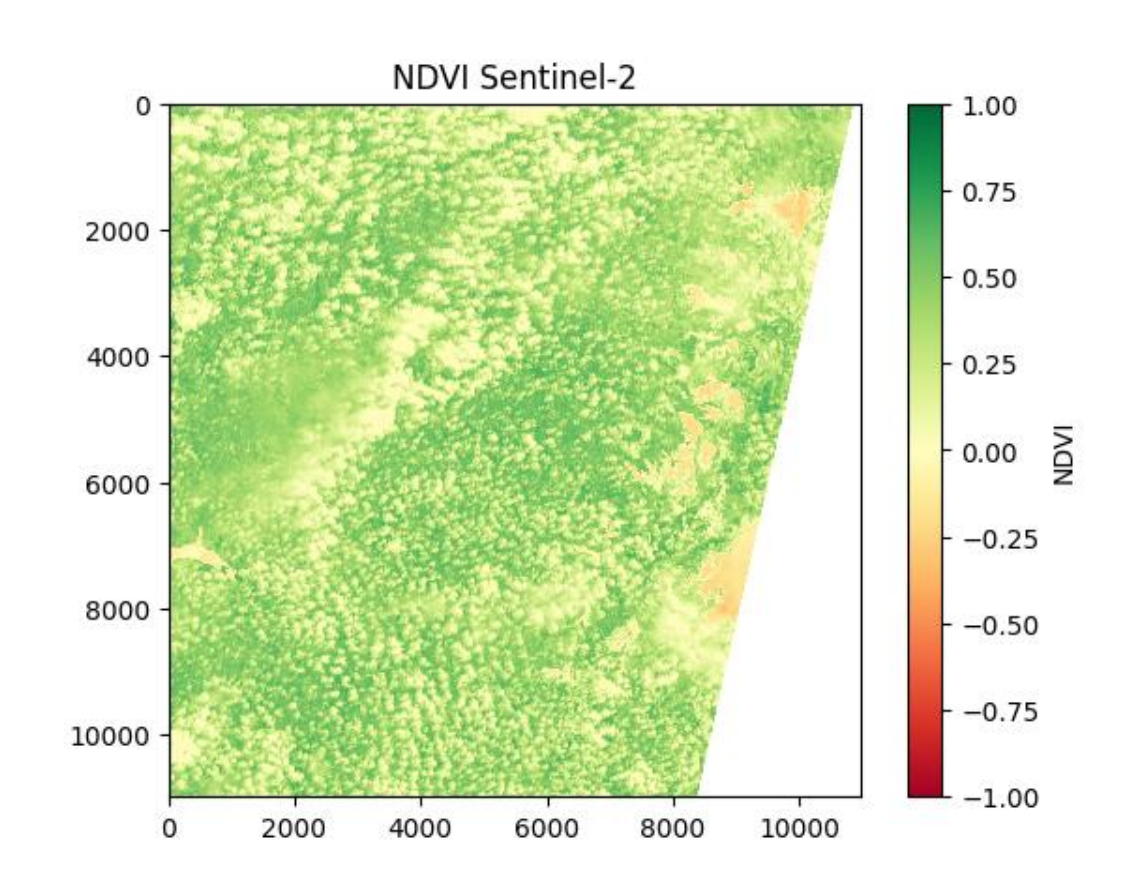
```
import geopandas as gpd
from shapely.geometry import Point
# Crear un GeoDataFrame con sistema WGS84
gdf<sub>5</sub>7<sub>5</sub>7<sub>1</sub>gpd.GeoPataFrame (geometry=[Point(-75.88,
# Convertir a UTM zona 18N
gdf utm = gdf.to crs("EPSG:32618")
print(gdf utm)
```

Generación de imágenes de índice de vegeta de la usando imágenes de Sentinel-2 + Python

```
import rasterio
import numpy as np
import matplotlib.pyplot as plt
# Carga de bandas NIR (B8) y RED (B4)
with rasterio.open('B08_10m.jp2') as
nir:
nir_band = nir.read(1).astype('float32')
with rasterio.open('B04 10m.jp2') as
red:
red_band = red.read(1).astype('float32')
```

```
Cálculo NDVI
ndvi = (nir_band - red_band) / (nir_band + red_band)
ndvi = np.clip(ndvi, -1, 1)
# Visualización
plt.imshow(ndvi, cmap='RdYlGn')
plt.colorbar(label='NDVI')
plt.title('NDVI Sentinel-2')
plt.show()
2-NDVI Satellite
```

Resultado de calculo de imagen de índices en servestigación agropecuaria vegetación NDVI





Programa 2 – Python

Generación de índices de vegetación usando datos satelitales



Análisis NDVI con Python y Sentinel-2 L2A

```
import rasterio
import numpy as np
import matplotlib.pyplot as plt
from glob import glob

# Ruta a las bandas de
  una imagen Sentinel-2
  L2A
ruta_b4 = 'B04_10m.jp2'
ruta_b8 = 'B08_10m.jp2'
```

```
# Abrir las bandas
with rasterio.open(ruta_b4) as
    src_red:
        red =
    src_red.read(1).astype('float32')
        perfil = src_red.profile
        nodata = src_red.nodata

with rasterio.open(ruta_b8) as
    src_nir:
    nir =
    src_nir.read(1).astype('float32')
```



Análisis NDVI con Python y Sentinel-2 L2A

```
# Manejo de nodata y cálculo del NDVI
                                         # Guardar NDVI como GeoTIFF
ndvi = np.where(
                                         ndvi scaled = ((ndvi + 1) *
    (nir + red) == 0,
                                          10000).astype('uint16') # NDVI [-
                                          1,1 \rightarrow [0, 20000]
    np.nan,
    (nir - red) / (nir + red)
                                         perfil.update(dtype='uint16',
                                          count=1)
 # Actualizar el perfil para guardar el
                                          with rasterio.open('NDVI.jp2',
 NDVI
                                           'w', **perfil) as dst:
perfil.update(dtype='float32',
                                             dst.write(ndvi_scaled, 1)
 count=1, nodata=np.nan)
```



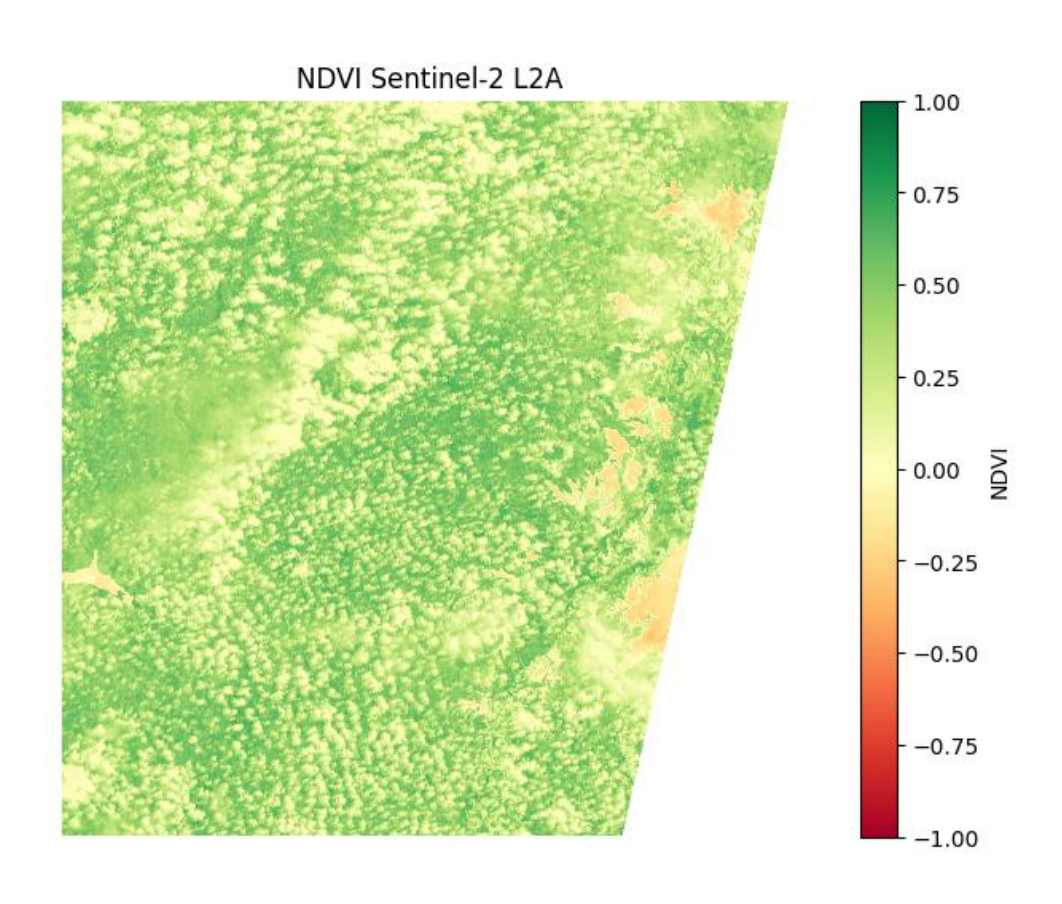
Análisis NDVI con Python y Sentinel-2 L2A

```
# Visualización
plt.figure(figsize=(10, 6))
ndvi_plot = plt.imshow(ndvi, cmap='RdYlGn', vmin=-1, vmax=1)
plt.colorbar(ndvi_plot, label='NDVI')
plt.title('NDVI Sentinel-2 L2A')
plt.axis('off')
plt.show()
```

3-NDVI SatelliteV2



Resultado de la ejecución del código





Corrección atmosférica

Con Sen2Cor y SNAP



¿Qué es SEN2Cor?

- La corrección atmosférica con **Sen2Cor** es un proceso que elimina los efectos de la atmósfera (como vapor de agua, aerosoles, gases) en imágenes del satélite Sentinel-2, para obtener reflectancia de superficie (BOA Bottom of Atmosphere) en lugar de reflectancia en la parte superior de la atmósfera (TOA).
- Sen2Cor es un software oficial de ESA (Agencia Espacial Europea) que convierte productos Sentinel-2 L1C (TOA) en L2A (BOA)
- Google Earth Engine (COPERNICUS/S2_SR), OpenEO, EO Browser y MAAP ya incluyen productos L2A generados con Sen2Cor.
- Mejora la precisión radiométrica para cálculos como NDVI (basados en reflectancia), clasificación de cobertura, o modelos de regresión espectral.
- Es esencial cuando necesitas comparabilidad entre fechas, sensores o zonas geográficas.



Las imágenes de Sentinel 2 (L2A) corregidas atmosféricamente

Producto

Tipo de

imagen

Corrección atmosférica

L1C

Reflectancia

TOA

× No

L2A (con

Sen2Cor)

Reflectancia

BOA

Sí (con

Sen2Cor)



Corrección atmosférica de Sentinel-2 con SEN2COR

Requisitos previos

- 1.Imagen Sentinel-2 nivel 1C (formato .SAFE) descargada de Copernicus Open Access Hub.
- 2.Instalación de **SNAP Toolbox** (gratuito) en la web:

https://download.esa.int/step/snap/12.0/installers/esa-snap_all_windows-12.0.0.exe

- 4. Descargar el plugin en (OPCION 1): https://step.esa.int/main/snap-supported-plugins/sen2cor/
- 3. Instalación del **plugin Sen2Cor** desde SNAP directamente.







Paso a paso para modulo de corrección atmosférica de imágenes de Sentinel

- 1. Instala SNAP y Sen2Cor
- Abre SNAP.
- •Ve a: Tools > Plugins.
- •En la pestaña **Available Plugins**, busca y selecciona **Sen2Cor**.
- Instálalo y reinicia SNAP.
- 2. Abre la imagen Sentinel-2
- •Ve a File > Open Product y selecciona el archivo .xml dentro de la carpeta .SAFE de tu producto nivel 1C.





Paso a paso para modulo de corrección atmosférica de imágenes de Sentinel

3. Ejecuta Sen2Cor

- Una vez cargada la imagen, ve a:
 Optical > Thematic Land Processing > Sen2Cor.
- En el cuadro de diálogo:
 - •Selecciona el producto.
 - •Configura la altura del terreno si es conocida (~50 m para regiones planas, ~200 m si hay colinas o árboles altos).
 - •Verifica las opciones de salida (Reflectancia de superficie, mapas de nubes, etc.).

4. Procesamiento

Sen2Cor generará un producto nivel

¿Qué obtienes con el producto L2A?



- Reflectancia de superficie por banda (corregida atmosféricamente).
- Máscaras de nubes, sombras, niebla y clasificación del terreno.
- Preparado para cálculo de índices como NDVI, NDRE, SAVI, y comparación multitemporal.



Estructura de un producto L2A

- S2A_MSIL2A_20240514T151651_N0500_R125_T18NUC_20240514T2 02321.SAFE/
- •
- ⊢— GRANULE/
- |---- HTML/
- ⊢— AUX_DATA/
- DATASTRIP/
- L—IMG_DATA/ ← Aquí están los archivos JP2 por banda (reflectancia)





Cálculo de NDVI en SNAP (interfaz gráfica)

Requisitos:

- Tener instalada SNAP.
- •Haber realizado la corrección atmosférica con Sen2Cor.

Pasos:

- **1.Abre el producto L2A** (reflectancia de superficie).
- 2.Ve a Raster > Band Maths.
- 3. Crea una nueva banda llamada NDVI.
- 4.En la expresión, escribe:



Cálculo de NDVI en SNAP (interfaz gráfica)

B8 = Banda NIR (842 nm)

B4 = Banda Roja (665 nm)

Asegúrate de marcar:

- •Virtual Band = No
- •Save to Product = Sí

Da clic en **OK** → SNAP genera el NDVI como una nueva banda.

Puedes visualizarlo, exportarlo a GeoTIFF, o recortarlo por polígonos



Descarga de imágenes satelitales desde Sentinel-2 usando Python

Usando las librerías sentinelsat, geopandas

Descarga de Imágenes satelitales usando librería sentinelsat

```
from sentinelsat import SentinelAPI, geojson to wkt
                                                                              # --- BÚSQUEDA DE PRODUCTOS SENTINEL-2 ---
from datetime import date
                                                                              products = api.query(
import geopandas as gpd
                                                                                area=aoi,
                                                                                date=('20240101', '20240531'), # Rango de fechas: enero a mayo de 2024
# --- CREDENCIALES DE ACCESO AL PORTAL COPERNICUS ---
                                                                                platformname='Sentinel-2'.
                                                                                producttype='S2MSI2A',
                                                                                                          # L2A: corrección atmosférica incluida
# Puedes registrarte gratis en: 'https://scihub.copernicus.eu/dhus
                                                                                cloudcoverpercentage=(0, 20) # Máximo 20% de nubes
api = SentinelAPI('usuario', 'contraseña',
https://apihub.copernicus.eu/apihub')
                                                                              # --- IMPRIMIR RESULTADOS ---
# --- LEER SHAPEFILE DE TU ÁREA DE INTERÉS (AOI) ---
                                                                              print(f"{len(products)} productos encontrados.")
gdf = gpd.read file('parcelas.shp')
aoi = geojson to wkt(gdf. geo interface )
```



Creación de archivos shapefile

```
# Opcional: mostrar info básica de los productos for product_id, product_info in products.items():

print(f"{product_info['title']} - {product_info['beginposition']} - {product_info['cloudcoverpercentage ']}% nubes")
```

los criterios.")

```
# --- DESCARGA DEL PRIMER PRODUCTO ---
# Descargará un archivo .zip en el directorio
actual
if products:
    first_product_id = list(products.keys())[0]
    api.download(first_product_id)
else:
    print("No se encontraron imágenes que
cumplan
```

20-SentinelSaT_Descarga



Creación de shapefiles

Usando las librerías sentinelsat, geopandas, Python y GEE



Creación de archivos shapefile

```
import geopandas as gpd
                                                          # Crear el polígono
from shapely.geometry import Polygon
                                                          polygon = Polygon(coords)
# Coordenadas de ejemplo (LONGITUD, LATITUD) - ordenadas en sentido horario
                                                          # Crear GeoDataFrame con el polígono
                                                         gdf = gpd.GeoDataFrame({'id': [1]},
geometry=[polygon], crs='EPSG:4326')
coords = [
  (-75.883, 8.883), # Esquina inferior izquierda
  (-75.870, 8.883), # Esquina inferior derecha
                                                          # Guardar como shapefile
  (-75.870, 8.890), # Esquina superior derecha
                                                          gdf.to_file('aoi_parcela.shp')
  (-75.883, 8.890), # Esquina superior izquierda
                                                          print("Shapefile 'aoi_parcela.shp' generado con
   (-75.883, 8.883) # Cerrar el polígono (igual al
primer punto)
                                                          éxito.")
```



¿Qué archivos se generan?

```
aoi_parcela.shp
aoi_parcela.shx
aoi_parcela.dbf
aoi_parcela.cpg
```

Puedes abrirlo en **QGIS**, **ArcGIS** o usarlo directamente en Python, aunque el mas común es el .shp.



Como generar shapefiles:

- Desde Google Earth o Google Maps: haz clic derecho sobre la zona → "¿Qué hay aquí?".
- Desde QGIS: dibuja el polígono con la herramienta de edición y expórtalo como .shp.
- Desde Sentinel Hub EO Browser: exporta un polígono en formato GeoJSON o KML y conviértelo.



Generar polígonos en GGE

```
// Tu polígono dibujado llamado 'aoi'
print('Coordenadas del polígono:', aoi.coordinates());
// Exportar el polígono como shapefile (Table)
Export.table.toDrive({
 collection: ee.FeatureCollection([ee.Feature(aoi)]),
 description: 'exportar_aoi',
 fileFormat: 'SHP'
});
```



Conversión de GeoJSON a shapefile

import geopandas as gpd

```
# Leer archivo GeoJSON
gdf = gpd.read_file("mi_area.geojson")
```

```
# Exportar como Shapefile gdf.to_file("mi_area_convertido.shp")
```

print("Conversión GeoJSON → Shapefile completada.")



Convertir de KML a Shapefile

- import geopandas as gpd
- # Leer archivo KML (requiere habilitar el driver)
- gdf = gpd.read_file("mi_area.kml", driver='KML')
- # Exportar como Shapefile
- gdf.to_file("mi_area_convertido.shp")
- print("Conversión KML → Shapefile completada.")



Convertir de GPX a Shapefile

import geopandas as gpd

```
# Leer tracks del GPX
gdf = gpd.read_file("mi_ruta.gpx", layer='tracks') # Puedes cambiar a
'waypoints', 'routes'

# Exportar como Shapefile
gdf.to_file("mi_ruta_convertido.shp")

print(" Conversión GPX → Shapefile completada.")
```



¿Cómo se consiguen estos archivos?

- **GeoJSON**: Puedes exportarlos desde https://apps.sentinel-hub.com/eo-browser o geojson.io.
- KML/GPX: Puedes obtenerlos desde Google Earth o aplicaciones de GPS como Garmin o Strava.



En Google Earth Engine (GEE) código de Java

```
// Tu polígono dibujado llamado 'aoi'
print('Coordenadas del polígono:', aoi.coordinates());
// Exportar el polígono como shapefile (Table)
Export.table.toDrive({
 collection: ee.FeatureCollection([ee.Feature(aoi)]),
 description: 'exportar aoi',
 fileFormat: 'SHP'
});
```



En Google Earth Engine (GEE)

- Exporta el área que dibujaste (Hacer click en Task que esta en amarillo)
- Recuerda que los archivos se exportan a tu Drive de Google
- Descarga un .zip con archivos shapefile (.shp, .shx, .dbf, etc.).
- Puedes usarlo directamente con geopandas, sentinelsat, o en QGIS.

 Recuerda que estos archivos se generan en GEE: https://code.earthengine.google.com



Imágenes satelitales de alta resolución espectral





MODerate Resolution Imaging Spectroradiometer (Espectrorradiómetro de Imágenes de Resolución Moderada)

Es un sensor a bordo de dos satélites de la NASA:

- •Terra (lanzado en 1999)
- •Aqua (lanzado en 2002)





MODIS captura imágenes de la superficie terrestre, océanos y atmósfera todos los días, en 36 bandas espectrales (desde visible hasta infrarrojo térmico).

Mide cosas como:

- Índices de vegetación: NDVI, EVI, etc.
- Temperatura de la superficie.
- Cobertura de nubes.
- Uso y cambio del suelo.
- Fuego y quemas.
- Biomasa, productividad primaria, etc.



Parámetro

Valor

Resolución espacial

250 m, 500 m o 1 km (según

banda)

Resolución temporal

1 a 2 días

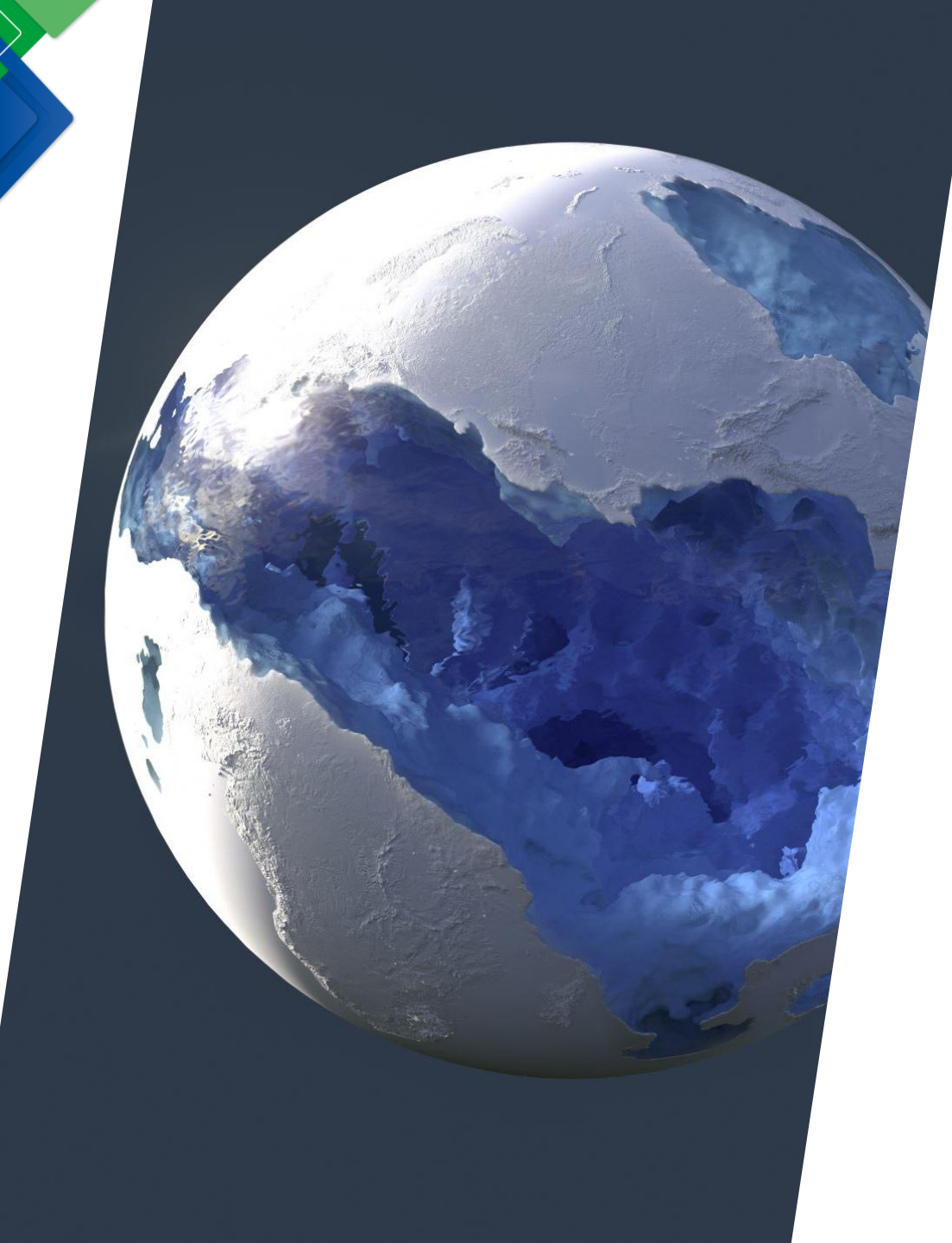
Cobertura global

Sí (visita toda la Tierra a diario)



Productos de MODIS

Producto	Descripción	Resolución
MOD13Q1	NDVI y EVI (cada 16 días)	250 m
MOD11A2	Temperatura de superficie (8 días)	1 km
MCD12Q1	Clasificación de cobertura del suelo	500 m
MOD15A2H	Índice de área foliar (LAI)	500 m





Donde se obtienen imágenes con MODIS

- Google Earth Engine (muy práctico para procesamiento en la nube).
- NASA LP DAAC (https://lpdaac.usgs.gov)
- App MODIS Subsets para descargas por coordenadas.
- Librerías en Python como MODIS, pyModis, o vía earthengine-api.



Cómo obtener con GEE (JavaScript)

```
var aoi = ee.Geometry.Rectangle([-75.89, 8.88, -75.86, 8.90]);
var modis = ee.ImageCollection("MODIS/006/MOD13Q1")
 .filterDate('2023-12-01', '2024-03-01')
 .filterBounds(aoi)
 .select('NDVI');
// Mostrar cuántas imágenes hay
print("Número de imágenes encontradas:", modis.size());
// Verifica si hay imágenes antes de hacer operaciones
var imageCount = modis.size();
var ndvi_mean = ee.Image(ee.Algorithms.If(
 imageCount.gt(0),
 modis.mean().clip(aoi),
 ee.Image(0).rename('NDVI').clip(aoi)
));
```

```
// Visualizar
Map.centerObject(aoi, 13);
Map.addLayer(ndvi_mean, {min: 0, max: 9000, palette: ['white', 'green']},
'NDVI');
// Exportar
Export.image.toDrive({
 image: ndvi mean,
 description: 'NDVI Export',
 folder: 'GEE_Exports',
 region: aoi,
 scale: 250,
fileFormat: 'GeoTIFF'
});
```

Usando earthengine-api (Google Earth Englisher) con Python)

Digitar en terminal pip install earthengine-api

Se abre earthengine authenticate

Usando earthengine-api (Google Earth Enginecon Python) en Python

```
import ee
ee.Initialize()
# Área de interés (Turipaná, Córdoba)
aoi = ee.Geometry.Rectangle([-75.89, 8.88, -75.86, 8.90])
# Fechas de análisis
start date = '2024-01-01'
end date = '2024-03-01'
# Colección MODIS NDVI
modis ndvi = ee.ImageCollection('MODIS/006/MOD13Q1') \
  .filterDate(start_date, end_date) \
  .filterBounds(aoi) \
  .select('NDVI')
# Validar si hay imágenes disponibles
image count = modis ndvi.size().getInfo()
print(f" Número de imágenes encontradas: {image count}")
```

```
if image count > 0:
 # Calcular NDVI promedio
  ndvi composite = modis ndvi.mean().clip(aoi)
 # Exportar imagen a Google Drive
  task = ee.batch.Export.image.toDrive(
    image=ndvi_composite,
    description='MODIS NDVI EneMar2024',
    folder='GEE Exports',
    fileNamePrefix='NDVI MODIS Turipana 2024',
    region=aoi,
    scale=250,
    crs='EPSG:4326',
    maxPixels=1e13
 task.start()
 print("Exportación iniciada a Google Drive.")
else:
 print("No se encontraron imágenes MODIS NDVI para el área y fechas especificadas.")
```



¿Por qué usar MODIS?

- Alta frecuencia temporal (útil para seguimiento).
- Larga serie histórica (desde 2000).
- Cobertura global y gratuita.



Clasificación de imágenes: supervisada y no supervisada

Algoritmos de clasificación de imágenes





¿En qué consiste la clasificación?

La clasificación consiste en la asignación de etiquetas (clases) a cada píxel según sus características espectrales, espaciales y radiométricas. Esta puede hacerse de dos maneras principales:

- 1. Clasificación Supervisada
- 2.Clasificación No Supervisada



Clasificación Supervisada

El usuario entrena el algoritmo con ejemplos de clases conocidas, como:

- Bosque
- Agua
- Cultivos
- Urbano

El algoritmo aprende los patrones espectrales o radiométricos y luego clasifica el resto de la imagen.

Algoritmos comunes

- Random Forest (RF)
- Support Vector Machine (SVM)
- Decisión Tree (Árboles de decisión)
- Redes neuronales (MLP)



Clasificación Supervisada

Ventajas

- Alta precisión si las muestras están bien tomadas
- Control sobre las clases

Desventajas

- Requiere muestras etiquetadas (datos de entrenamiento)
- Sensible a errores en los datos de entrada



Clasificación No Supervisada

El algoritmo **agrupa píxeles sin conocimiento previo** de las clases, basándose solo en similitudes espectrales o radiométricas(clustering).

Algoritmos comunes

- K-means
- ISODATA



Clasificación No Supervisada

Ventajas

- No requiere datos de entrenamiento
- Útil para exploración inicial

Desventajas

- El usuario debe interpretar los grupos resultantes
- Menor precisión
- No garantiza que cada grupo corresponda a una clase real

Comparación entre ambos métodos de clasificación



Característica

¿Requiere muestras?

¿Precisión?

¿Interpretación?

¿Ideal para...?

Supervisada



Alta con buen entrenamiento

Directa

Clasificación temática precisa

No Supervisada



Menor, depende del agrupamiento

Necesita análisis posterior

Exploración preliminar





Clasificación Supervisada con Random Forest y en GEE

- 1. Carga imágenes Sentinel-2.
- 2. Aplica enmascarado de nubes.
- 3.Crea muestras de entrenamiento para 3 clases (bosque, pasto y suelo)
- 4. Entrena un clasificador (Random Forest).
- 5. Aplica y visualiza la clasificación.



```
// 1. Área de interés (Turipaná, Córdoba)
var aoi = ee.Geometry.Rectangle([-75.89, 8.88, -75.86, 8.90]);
Map.centerObject(aoi, 14);
// 2. Enmascarar nubes y seleccionar solo bandas necesarias
function maskS2clouds(image) {
 var qa = image.select('SCL');
 var cloudBitMask = 1 << 10;
 var cirrusBitMask = 1 << 11;</pre>
 var mask = qa.bitwiseAnd(cloudBitMask).eq(0)
         .and(qa.bitwiseAnd(cirrusBitMask).eq(0));
 return image.updateMask(mask)
        .select(['B2', 'B3', 'B4', 'B8']) // Solo las bandas útiles
        .copyProperties(image, ['system:time_start']);
```

```
// 3. Cargar imágenes Sentinel-2 SR
var s2 = ee.ImageCollection('COPERNICUS/S2_SR')
   .filterDate('2024-01-01', '2024-03-31')
   .filterBounds(aoi)
   .map(maskS2clouds);
```



```
// 4. Crear imagen compuesta (mediana)
var composite = s2.median().clip(aoi);
                                                              var pasto = ee.FeatureCollection([
                                                               ee.Feature(ee.Geometry.Point([-75.87, 8.89]),
                                                              {'class': 1}),
// 5. Visualización RGB
                                                               ee.Feature(ee.Geometry.Point([-75.871, 8.891]),
Map.addLayer(composite, {bands: ['B4', 'B3', 'B2'], min: 0, max: 0.3}, 'Sentinel-2 RGB');
                                                              {'class': 1})
                                                              ]);
// 6. Crear muestras de entrenamiento (puedes
modificarlas o cargarlas)
                                                              var suelo = ee.FeatureCollection([
                                                               ee.Feature(ee.Geometry.Point([-75.86, 8.89]),
var bosque = ee.FeatureCollection([
                                                              {'class': 2}),
 ee.Feature(ee.Geometry.Point([-75.88, 8.89]),
{'class': 0}),
                                                               ee.Feature(ee.Geometry.Point([-75.861, 8.891]),
                                                              {'class': 2})
 ee.Feature(ee.Geometry.Point([-75.879, 8.891]),
{'class': 0})
                                                              ]);
]);
```



```
// 8. Entrenar clasificador Random
var muestras =
bosque.merge(pasto).merge(suelo);
                                        Forest
                                        var classifier =
                                        ee.Classifier.smileRandomForest(50).
// 7. Tomar muestras de la imagen
                                        train({
compuesta
                                          features: training,
var training =
composite.sampleRegions({
                                         classProperty: 'class',
 collection: muestras,
                                         inputProperties:
                                        composite.bandNames()
 properties: ['class'],
                                        });
 scale: 10
});
```



```
// 9. Clasificar la imagen
var classified = composite.classify(classifier);

// 10. Visualizar clasificación
Map.addLayer(classified,
    {min: 0, max: 2, palette: ['006400', '7FFF00', 'DAA520']},
    'Clasificación Random Forest');
```

```
// 11. Exportar la imagen clasificada a Google Drive
Export.image.toDrive({
 image: classified,
 description: 'Clasificacion_RF_Turipana',
 folder: 'GEE_Exports', // Cambia si deseas otra
carpeta en tu Drive
 fileNamePrefix: 'clasificacion turipana rf 2024',
 region: aoi,
 scale: 10,
 crs: 'EPSG:4326',
 maxPixels: 1e13
});
```





Clasificación no Supervisada con k-means

- 1. Carga imágenes Sentinel-2.
- 2. Aplica enmascarado de nubes.
- 3. Clasificación para para 3 clases (bosque, pasto y suelo) según características radiométricas o espectrales
- 4. Aplica y visualiza la clasificación.



Clasificación no Supervisada con k-means

```
// 1. Definir el área de interés
var aoi = ee.Geometry.Rectangle([-75.89, 8.88, -75.86, 8.90]);
                                                                            // 3. Cargar colección Sentinel-2 SR
Map.centerObject(aoi, 14);
                                                                            var s2 = ee.ImageCollection('COPERNICUS/S2_SR')
                                                                             .filterDate('2024-01-01', '2024-03-31')
// 2. Enmascarar nubes y seleccionar bandas útiles
                                                                             .filterBounds(aoi)
function maskS2clouds(image) {
                                                                             .map(maskS2clouds);
var qa = image.select('SCL');
var cloudBitMask = 1 << 10;</pre>
                                                                            // 4. Crear imagen compuesta
var cirrusBitMask = 1 << 11;</pre>
                                                                            var composite = s2.median().clip(aoi);
var mask = qa.bitwiseAnd(cloudBitMask).eq(0)
        .and(qa.bitwiseAnd(cirrusBitMask).eq(0));
return image.updateMask(mask)
       .select(['B2', 'B3', 'B4', 'B8']) // Solo bandas espectrales
       .copyProperties(image, ['system:time_start']);
```



Clasificación no Supervisada con k-means

```
// 5. Visualización RGB
                                                                            // 7. Entrenar el modelo KMeans con 3 clusters
Map.addLayer(composite, {bands: ['B4', 'B3', 'B2'], min: 0, max: 0.3},
                                                                            var clusterer = ee.Clusterer.wekaKMeans(3).train(training);
'Sentinel-2 RGB');
                                                                            // 8. Clasificar la imagen
// 6. Clasificación no supervisada: sampleo y KMeans
                                                                            var result = composite.cluster(clusterer);
var training = composite.sample({
region: aoi,
                                                                            // 9. Visualizar clasificación
scale: 10,
                                                                            Map.addLayer(result.randomVisualizer(), {}, 'KMeans - Clusters');
numPixels: 5000,
geometries: true
});
```



Técnicas de Segmentación y Detección de Cambios

Algoritmos de Segmentación

Importancia de la segmentación y detección el los de cambios

Las **técnicas de segmentación y detección de cambios** son herramientas clave en el análisis de imágenes satelitales, sobre todo para **monitoreo de coberturas**, **agricultura**, **gestión forestal** y **seguimiento de fenómenos ambientales** como la deforestación o sequías



Qué es la segmentación

La **segmentación** consiste en dividir una imagen en regiones homogéneas en función de sus características espectrales, espaciales o temporales. Aquí algunas técnicas comunes:

a) Segmentación por Umbral (Thresholding)

- Se basa en definir un valor límite (por ejemplo, NDVI > 0.4) para separar vegetación de no vegetación.
- Muy útil en imágenes NDVI, NDWI, etc.



Qué es la segmentación

b) Crecimiento de Regiones (Region Growing)

Parte de "semillas" que se expanden a píxeles vecinos similares. Más complejo y generalmente aplicado en software como eCognition o Python (OpenCV, scikit-image).

c) Segmentación basada en Objetos (OBIA)

Divide la imagen en objetos geográficos, no solo píxeles. Se usa en plataformas como:eCognitionOrfeo ToolboxGEE (limitado con connectedComponents) Python (skimage.segmentation.slic)

d) k-Means y clustering espectral:

Técnicas no supervisadas (útiles como segmentadores de clases espectralmente o radiométricamente homogéneas.



Técnicas de Detección de Cambios

c) Clasificación Post-Clasificación

• Clasificas ambas fechas con Random Forest, luego comparas píxel a píxel los resultados para generar un mapa de transición.

d) Cambio basado en aprendizaje automático

- Se usa un modelo supervisado para clasificar tipos de cambio directamente.
- También existen métodos no supervisados como Change Vector Analysis (CVA) o PCA multitemporal.



Ejemplo de segmentación en GEE

Pasos

- Extrae NDVI desde Sentinel-2.
- Aplica un umbral NDVI > 0.5 para seleccionar vegetación densa.
- Agrupa los píxeles contiguos (4-conectividad) en objetos etiquetados.
- Usa randomVisualizer() para visualizar cada parche con color diferente.

¿Qué se puede hacer después?

Exportar cada parche como shapefile. Calcular área, perímetro, NDVI medio por segmento. Usarlo como base para clasificación supervisada basada en objetos.

Ejemplo de segmentación (Umbralización ación aci

```
// 1. Área de interés: Turipaná
var aoi = ee.Geometry.Rectangle([-75.89, 8.88, -75.86, 8.90]);
Map.centerObject(aoi, 15);
// 2. Imagen Sentinel-2, sin nubes
var s2 = ee.ImageCollection('COPERNICUS/S2_SR')
 .filterBounds(aoi)
 .filterDate('2024-01-01', '2024-01-31')
 .filter(ee.Filter.lt('CLOUDY PIXEL PERCENTAGE', 10))
 .median()
 .clip(aoi);
// 3. Calcular NDVI
var ndvi = s2.normalizedDifference(['B8', 'B4']).rename('NDVI');
Map.addLayer(ndvi, {min: 0, max: 1, palette: ['white', 'green']}, 'NDVI');
// 4. Umbral para vegetación densa
var vegetacion = ndvi.gt(0.5).selfMask();
```

```
// 4. Umbral para vegetación densa
var vegetacion = ndvi.gt(0.5).selfMask();
// 5. Preparar imagen binaria (necesaria para segmentar)
var binaria = vegetacion.rename('binary');
// 6. Segmentar usando connectedComponents
var segmentos = binaria.connectedComponents({
 connectedness: ee.Kernel.plus(1), // conectividad 4
 maxSize: 128
});
// 7. Visualizar etiquetas de segmentos
var etiquetas = segmentos.select('labels');
var visual = etiquetas.randomVisualizer();
Map.addLayer(visual, {}, 'Segmentos de vegetación');
```





Detección de cambios y mapas de post-clasificación

- •Un ejemplo en GEE con detección de cambio NDVI entre dos fechas.
- •O cómo hacer un mapa de transición post-clasificación.



Código de detección de cambios

```
// 1. Área de interés: Turipaná
                                                                     // 3. Colecciones multitemporales
                                                                     var s2 2023 = ee.ImageCollection('COPERNICUS/S2 SR')
var aoi = ee.Geometry.Rectangle([-75.89, 8.88, -75.86, 8.90]);
Map.centerObject(aoi, 14);
                                                                      .filterDate('2023-01-01', '2023-01-31')
                                                                      .filterBounds(aoi)
// 2. Función para enmascarar nubes en Sentinel-2
                                                                      .map(maskS2clouds)
function maskS2clouds(image) {
                                                                      .median()
 var qa = image.select('QA60');
                                                                      .clip(aoi);
 var cloudBitMask = 1 << 10;
 var cirrusBitMask = 1 << 11;</pre>
                                                                     var s2 2024 = ee.ImageCollection('COPERNICUS/S2 SR')
 var mask = qa.bitwiseAnd(cloudBitMask).eq(0)
                                                                      .filterDate('2024-01-01', '2024-01-31')
                                                                      .filterBounds(aoi)
        .and(qa.bitwiseAnd(cirrusBitMask).eq(0));
 return image.updateMask(mask)
                                                                      .map(maskS2clouds)
        .select(['B8', 'B4']); // B8 = NIR, B4 = Red
                                                                      .median()
                                                                      .clip(aoi);
```



Código de detección de cambios

```
// 4. Calcular NDVI
function calcNDVI(image) {
 return image.normalizedDifference(['B8',
'B4']).rename('NDVI');
var ndvi 2023 = calcNDVI(s2 2023);
var ndvi 2024 = calcNDVI(s2 2024);
// 5. Calcular cambio de NDVI
var cambioNDVI =
ndvi 2024.subtract(ndvi 2023).rename('C
ambioNDVI');
```

```
// 6. Visualización
Map.addLayer(ndvi 2023, {min: 0, max: 1, palette:
['white', 'green']}, 'NDVI 2023');
Map.addLayer(ndvi_2024, {min: 0, max: 1, palette: ['white', 'darkgreen']}, 'NDVI 2024');
Map.addLayer(cambioNDVI, {min: -0.5, max: 0.5, palette: ['red', 'white', 'blue']}, 'Cambio NDVI');
// 7. Umbralizar pérdida y ganancia
var perdida = cambioNDVI.lt(-0.1);
var ganancia = cambioNDVI.gt(0.1);
Map.addLayer(perdida.updateMask(perdida),
{palette: ['red']}, 'Pérdida Vegetación');
Map.addLayer(ganancia.updateMask(ganancia), {palette: ['blue']}, 'Ganancia Vegetación');
```



Código de detección de cambios

```
Export.image.toDrive({
image: cambioNDVI,
 description: 'Cambio_NDVI_Ene2023_2024',
folder: 'GEE Exports',
scale: 10,
region: aoi,
 fileFormat: 'GeoTIFF'
});
```

Ejemplo de detección de cambios con Montago para cambios mas grandes

```
// 1. Área de interés en EPSG:4326 (lat/lon)
                                                                         // 3. Escalar NDVI
var aoi4326 = ee.Geometry.Rectangle([-75.89, 8.88, -75.86, 8.90]);
                                                                         var modisNDVI = modis.map(function(img) {
Map.centerObject(aoi4326, 13);
                                                                          return img.multiply(0.0001).copyProperties(img,
                                                                         ['system:time start']);
                                                                         });
// 2. Cargar NDVI MODIS
var modis = ee.ImageCollection('MODIS/006/MOD13Q1')
                                                                         // 4. Obtener proyección MODIS y transformar AOI con tolerancia
 .filterDate('2023-01-01', '2024-01-01')
                                                                         var sampleImage = modis.first();
 .filterBounds(aoi4326)
                                                                         var modisProjection = sampleImage.projection();
 .select('NDVI');
                                                                         var aoiReprojected = aoi4326.transform(modisProjection, 100); //
                                                                         Tolerancia de 100 m
```

Ejemplo de detección de cambios con Mario para cambios mas grandes

```
// 5. Gráfico serie temporal
var chart = ui.Chart.image.series({
 imageCollection: modisNDVI,
 region: aoiReprojected,
 reducer: ee.Reducer.mean(),
 scale: 250,
 xProperty: 'system:time start'
}).setOptions({
 title: 'Serie Temporal de NDVI MODIS (2023)',
 hAxis: {title: 'Fecha'},
 vAxis: {title: 'NDVI (0 - 1)'},
 lineWidth: 2,
 pointSize: 4
});
```

```
print(chart);

// 6. Visualizar última imagen

var ultima = modisNDVI.sort('system:time_start', false).first();

Map.addLayer(ultima, {min: 0, max: 1, palette: ['white', 'green']}, 'NDVI última imagen');
```



Fusión de Imágenes y Multitemporalidad

Mejorando la interpretación, clasificación y monitoreo de fenómenos a lo largo del tiempo.





Fusión de imágenes

La fusión de imágenes (image fusion) es el proceso de combinar información de múltiples imágenes (pueden ser de diferentes sensores, resoluciones o fechas) para generar una nueva imagen más informativa o útil.



Tipos de fusiones



Fusión espacial:

Combina imágenes de baja resolución espacial (e.g., MODIS) con imágenes de alta resolución (e.g., Sentinel-2).



Fusión espectral:

Integra bandas de diferentes sensores o longitudes de onda (e.g., visible + infrarrojo térmico).

Ejemplo: Pan-sharpening, que mejora la resolución espacial de una imagen multiespectral usando una banda pancromática



Fusión temporal:

Une imágenes tomadas en diferentes fechas para mejorar la continuidad de observación (útil cuando hay nubes).



Fusión de sensores:

MODIS + Sentinel + Landsat, por ejemplo, para tener mejor frecuencia temporal o espectral.



Característica de una banda pancromátrica

- Alta resolución espacial: detecta detalles más finos del terreno. Por ejemplo, la banda pancromática del satélite Landsat 8 tiene una resolución de 15 metros, mientras que sus bandas multiespectrales tienen 30 metros.
- Amplio espectro: integra varias longitudes de onda visibles (como azul, verde y rojo) y a veces parte del infrarrojo cercano, pero no permite distinguir colores.
- Imagen en escala de grises: registra variaciones en la reflectancia total como intensidades de gris.



Banda pancromática (Pan-sharpening)

La banda pancromática es una banda espectral que captura imágenes en blanco y negro (escala de grises), combinando un amplio rango de longitudes de onda del espectro visible (y a veces parte del infrarrojo cercano). Su principal característica es que ofrece una resolución espacial más alta que las bandas multiespectrales del mismo satélite.





Fusión de imágenes (pan-sharpening): se combina la banda pancromática con las bandas multiespectrales para mejorar la resolución espacial de las imágenes a color.

Aplicaciones



Detección de detalles urbanos o agrícolas finos: caminos, techos, surcos, etc.



Análisis temporal con alta resolución cuando no se requiere información espectral precisa.



Bandas pancromátricas en Satélites

Ejemplo:

- Satélite Landsat 8
 - Banda Pancromática (Banda 8)
 - Resolución: 15 m
 - Rango espectral: 0.50 0.68 μm



Bandas pancromátricas en Satélites

En la banda pancromática, no se combinan directamente las bandas multiespectrales existentes, sino que el sensor captura directamente una sola imagen en blanco y negro (escala de grises), usando una banda ancha del espectro electromagnético.

Sin embargo, la intensidad (nivel de gris) de cada píxel en la banda pancromática depende de la cantidad total de radiación reflejada dentro del rango espectral específico de la banda pancromática.



¿Cómo se calcula el nivel de energía capatado por la banda pancromátrica?

No se calcula como suma de otras bandas como el rojo, verde y azul, sino que el sensor mide la energía total reflejada en un rango amplio (por ejemplo, de 0.5 a 0.68 µm en Landsat 8).

Cada píxel representa la cantidad de energía que llega al sensor dentro de ese rango.

Esa energía se convierte en un valor digital (Digital Number, DN) proporcional a la reflectancia.



Multitemporalidad

- La multitemporalidad en imágenes satelitales se refiere al uso de imágenes adquiridas en diferentes momentos del tiempo para observar y analizar cambios, patrones o dinámicas.
- Aplicaciones: Detección de cambios (deforestación, expansión urbana, sequías). Monitoreo agrícola (NDVI a lo largo del ciclo fenológico). Análisis estacional (variaciones entre épocas húmedas y secas). Evaluación de recuperación ambiental tras incendios o inundaciones.



Uso de GEE y Python

- En Google Earth Engine, usas .filterDate() y .map() para construir colecciones multitemporales.
- En Python, puedes usar librerías como rasterio, xarray, geopandas o PyModis para manejar datos multitemporales y combinarlos.



Ejemplo de fusión y multitemporalidad

- 1. Análisis multitemporal mensual de NDVI con MODIS.
- 2.Fusión MODIS (temporal) + Sentinel-2 (espacial).



Código GEE en JavaScript-Paso 1 para generar serie multitemporal con MODIS

```
// Área de interés: Turipaná, Córdoba
var aoi = ee.Geometry.Rectangle([-75.89, 8.88, -75.86, 8.90]);
Map.centerObject(aoi, 13);
// Cargar colección MODIS NDVI
var modis = ee.ImageCollection('MODIS/006/MOD13Q1')
 .filterBounds(aoi)
 .filterDate('2023-01-01', '2023-12-31')
 .select('NDVI');
// Crear lista de imágenes mensuales, ignorando meses sin datos
var listaMensual = ee.List.sequence(1, 12).map(function(mes) {
 var mensual = modis.filter(ee.Filter.calendarRange(mes, mes, 'month'));
 var count = mensual.size();
```

```
// Si hay imágenes, promediarlas y devolver imagen NDVI escalada
 return ee.Algorithms.If(
   count.gt(0),
   mensual.mean()
    .multiply(0.0001)
    .set('month', mes)
.set('system:time_start',
ee.Date.fromYMD(2023, mes, 1).millis()),
   null // Ignorar si no hay imágenes
```



```
// Eliminar elementos nulos y convertir a ImageCollection
var mensual =
ee.ImageCollection(ee.List(listaMensual).removeAll([null]));
```

```
// Gráfico NDVI mensual
var chart = ui.Chart.image.series({
imageCollection: mensual,
 region: aoi,
 reducer: ee.Reducer.mean(),
 scale: 250
}).setOptions({
 title: 'NDVI Mensual MODIS 2023 (Turipaná)',
 hAxis: {title: 'Mes'},
 vAxis: {title: 'NDVI (0 - 1)'}
});
print(chart);
```



```
// 1. Definir área de interés
// =============
var aoi = ee.Geometry.Rectangle([-75.89, 8.88, -75.86, 8.90]);
Map.centerObject(aoi, 13);
// =============
// 2. Serie mensual MODIS NDVI 2023
// =============
var modis = ee.ImageCollection('MODIS/006/MOD13Q1')
.filterBounds(aoi)
 .filterDate('2023-01-01', '2023-12-31')
```

.select('NDVI');

```
// Generar colección mensual (con control de errores)
var listaMensual = ee.List.sequence(1, 12).map(function(mes) {
 var mensual = modis.filter(ee.Filter.calendarRange(mes, mes, 'month'));
 var count = mensual.size();
 return ee.Algorithms.If(
  count.gt(0),
  mensual.mean()
   .multiply(0.0001)
   .set('month', mes)
   .set('system:time start', ee.Date.fromYMD(2023, mes, 1).millis()),
  null
});
var mensual = ee.ImageCollection(ee.List(listaMensual).removeAll([null]));
```



```
AGROSAVIA

Corporación colombiana de investigación agropecuaria
```

```
// 3. Gráfico de NDVI mensual MODIS
// =============
var chart = ui.Chart.image.series({
 imageCollection: mensual,
 region: aoi,
 reducer: ee.Reducer.mean(),
 scale: 250
}).setOptions({
 title: 'NDVI Mensual MODIS 2023 (Turipaná)',
 hAxis: {title: 'Mes'},
 vAxis: {title: 'NDVI (0 - 1)'}
});
print(chart);
```

```
// ==============
// 4. NDVI junio 2023 - MODIS
// =============
var modis jun = ee.Image(ee.Algorithms.If(
 modis.filterDate('2023-06-01', '2023-06-30').size().gt(0),
 modis.filterDate('2023-06-01', '2023-06-30')
 .mean()
 .multiply(0.0001)
 .rename('NDVI MODIS'),
 ee.Image(0).rename('NDVI_MODIS').updateMask(ee.Image(0))
));
```



```
AGROSAV

Corporación colombiana de investigación agropo
```

```
// =============
// 5. NDVI junio 2023 - Sentinel-2
var s2 = ee.ImageCollection('COPERNICUS/S2_SR_HARMONIZED')
 .filterBounds(aoi)
 .filterDate('2023-06-01', '2023-06-30')
 .filter(ee.Filter.lt('CLOUDY PIXEL PERCENTAGE', 20))
 .select(['B4', 'B8']); // rojo e infrarrojo cercano
var sentinel jun = ee.Image(ee.Algorithms.If(
 s2.size().gt(0),
 s2.median(),
 ee.Image().select() // imagen vacía
));
```

```
var ndvi s2 = ee.Algorithms.If(
 sentinel jun.bandNames().size().gt(0),
 sentinel_jun.normalizedDifference(['B8', 'B4']).rename('NDVI_S2'),
ee.Image().select()
ndvi s2 = ee.Image(ndvi s2);
// 6. Fusión visual: Reproyectar MODIS a 10 m
var reproj = ee.Algorithms.lf(
 ndvi s2.bandNames().size().gt(0),
 ndvi_s2.projection(),
 ee.Projection('EPSG:4326').atScale(10)
var modis resampled = modis jun
 .resample('bilinear')
 .reproject({
  crs: ee.Projection(reproj).crs(),
  scale: 10
 });
```



Código completo de fusión y multitemporalidad en JavaScript para GEE

```
// 7. Mostrar capas en el mapa
// ==============
if (modis jun.bandNames().size().getInfo() > 0) {
 Map.addLayer(modis resampled.clip(aoi), {
  min: 0, max: 1,
  palette: ['white', 'green']
 }, 'MODIS NDVI (jun 2023)');
} else {
 print(' 1 No hay datos MODIS NDVI en junio 2023.');
```

```
if (ndvi s2.bandNames().size().getInfo() > 0) {
 Map.addLayer(ndvi s2.clip(aoi), {
  min: 0, max: 1,
  palette: ['white', 'darkgreen']
 }, 'Sentinel-2 NDVI (jun 2023)');
} else {
 print(' \(\begin{aligned}
\text{No hay datos Sentinel-2 NDVI en junio 2023.');}\)
```



Procesamiento de espectros de reflecta de investigación agropecuario firma espectral

Código: 7-SPECTRUM_PROCESSING_GROUP.ipynb

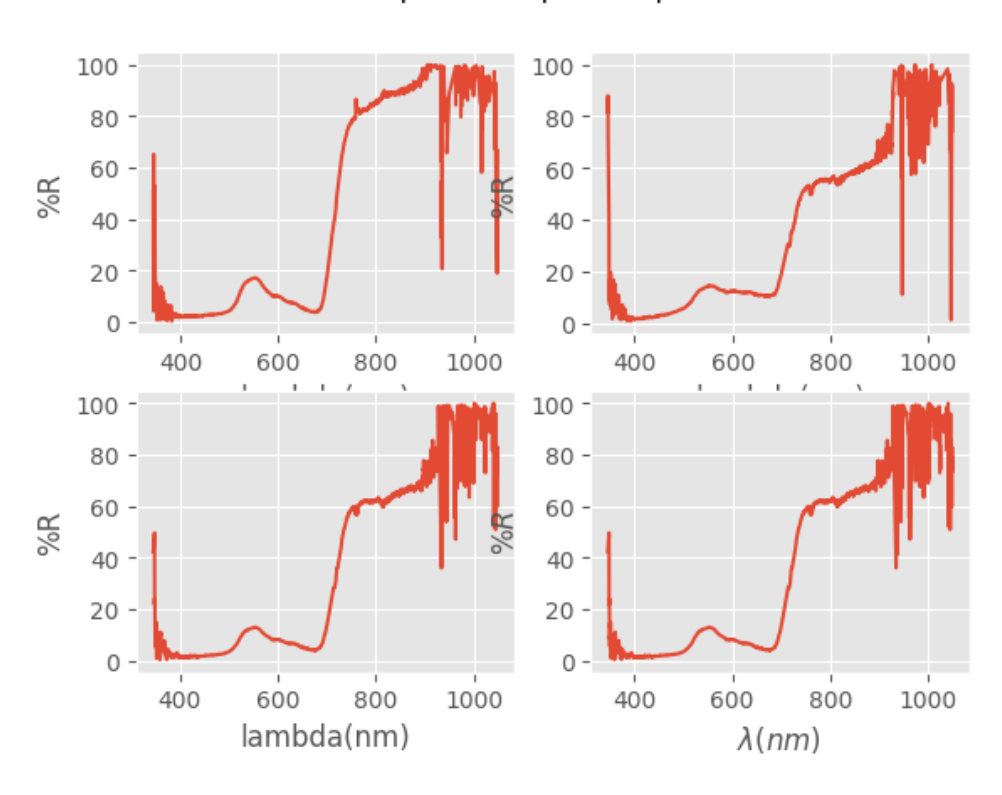
Características:

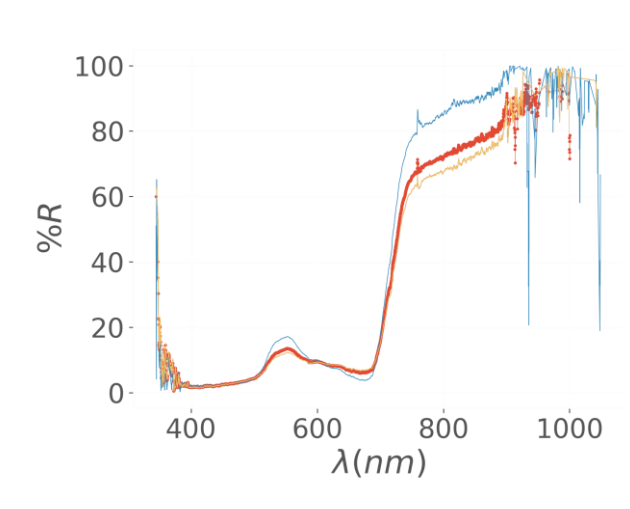
- Lectura de archivos .txt de registros de firmas espectrales con OCEAN OPTICS
- Promedio de 4 espectros
- Visualización de espectro promedio.
- Calculo de covarianza en bandas R, G, B y NIR
- Cálculo de 21 índices de vegetación (NDVI, NDRE, GNDVI, etc), calculada a través de la longitud de onda aproximada.



Procesamiento de espectros de reflectancia – firma espectral

Spectrums per sample







Ejemplo de etiquetados

Etiquetado

Asociar cada espectro con una clase conocida, por ejemplo:

- Tipo de cobertura: pasto Mombasa, suelo desnudo, sombra, árbol.
- Estado: estrés hídrico, sano, seco.

Asociar a la covarianza del NIR una clase conocida, por ejemplo

- Uniformidad de macollas de Mombasa: Dependiendo del valor
- Usar algoritmos como Máquinas de Soporte Vectorial (SVM) para clasificación de biomasa de Mombasa si se asocia una propiedad del espectro (reflectancia NIR, NDVI u otro índice) con la biomasa en términos de etiquetas (ALTA, BAJA). Véase ejemplo ilustrativo en clase de una clasificación de biomasa con No. de hojas totales de la planta (macolla).

Código de clasificación usando sklearn de Python

import numpy as np

```
espectros = [ # Datos de ejemplo: X = espectros (reflectancias por banda), y = etiquetas y =
```

Código de clasificación usando sklearn de Python

```
y = ['Mombasa', 'Mombasa', 'Suelo', 'Suelo']

# Evaluar

# Dividir y entrenar

X_train, X_test, y_train, y_test = train_test_split(X, y, test_size=0.25, random_state=42)

clf = RandomForestClassifier(n_estimators=100, random_state=42)

clf.fit(X_train, y_train)

# Evaluar

y_pred = clf.predict(X_test)

print(classification_report(y_test, y_pred))

# Evaluar

y_pred = clf.predict(X_test)

Print(classification_report(y_test, y_pred))

**Evaluar

**Output**

**Dividir y entrenar

**Output**

*
```



Aplicaciones del modelo

Aplica el modelo a:

- Imágenes multiespectrales completas (por píxel).
- Nuevas muestras de espectro de campo.

Si tienes imágenes de **Sentinel-2** o dron:

- Extrae las bandas por píxel.
- Aplica el modelo a cada vector de bandas.
- Reconstruye un mapa de clases.

<u>Véase ejemplo de clasificación de imágenes multibandas (5 bandas)</u> usando Random Forest

9-ClasificadorSupMombasaImagen5bandas.ipynb

9-Generador Aleatorio Imagen 5 Bandas

Comparación de técnicas de clasificación colombiana de investigación agropecual supervisadas y no supervisadas

Técnica

Random Forest

SVM

PCA

K-means + supervisado

CNNs

Descripción

Robusto y fácil de interpretar. Ideal para

espectros.

Funciona bien con espectros si normalizas.

Reduce bandas redundantes antes de

clasificar.

Usa *k-means* para agrupar y etiquetar

manualmente.

Para clasificación de imágenes completas

con espectros espaciales.



Librerias de Python



scikit-learn: modelos clásicos.



xgboost: muy preciso para clasificación.



spectral: para trabajar con imágenes hiperespectrales.



geemap/ee: si trabajas con imágenes de Earth Engine.



numpy, pandas, matplotlib: manipulación y visualización.



Generalidades y componentes de los vehículos aéreos no tripulados

Drones, características técnicas y altura de vuelo



Tipos de drones según plataforma

Tipo	Descripción	Ejemplo de uso
Multirrotor	Vuela verticalmente, maniobrable y fácil de operar	Agricultura, topografía, inspecciones
Ala fija	Vuela como un avión, mayor autonomía y cobertura	Cartografía, monitoreo de cultivos
Híbrido VTOL	Despega como multirrotor, vuela como ala fija	Coberturas amplias con precisión



Características técnicas claves

Característica

Sensor / Cámara

Resolución

Estabilización / Gimbal

Precisión GPS

Autonomía de vuelo

Alcance de comunicación

Capacidad de carga útil

Descripción

RGB, multiespectral, térmica, hiperespectral,

LiDAR

En megapíxeles (RGB) o resolución espacial

(cm/píxel para multiespectral)

Mejora la calidad de imágenes en vuelo

RTK/PPK para precisión centimétrica (ideal

para ortomosaicos y mapeo)

Entre 20 y 60 minutos típicamente

Generalmente entre 2–7 km (depende del

dron y regulaciones locales)

Peso que puede llevar: importante si deseas

añadir sensores específicos

Altura de vuelo recomendada (AGL = sobre el el nivestigación agrope nivel del suelo)

Aplicación	Altura típica (AGL)	Resolución esperada (cm/píxel)	Notas
Agricultura RGB general	60–120 m	2–5 cm/píxel	Balance entre resolución y cobertura
Agricultura multiespectral	80–120 m	5–10 cm/píxel	Según sensor (e.g., RedEdge, Altum)
Clasificación de cobertura (NDVI)	100–120 m	5–10 cm/píxel	Cobertura amplia, resolución útil
Detección fina (plagas, estrés)	30–60 m	<2 cm/píxel	Requiere baja altura y alta resolución
Levantamiento topográfico (LiDAR)	100–150 m	Depende del sensor	Generalmente con RTK/PPK
Silvopasturas	80–100 m	4–8 cm/píxel	Permite NDVI, altura y biomasa

Drones usados en Agricultura y Monitor AGROSAWA Ambiental

Modelo Sensor incluido Notas clave

DJI Phantom 4 RTK RGB + RTK Muy usado para cartografía y ortomosaicos

DJI Mavic 3 Multispectral

RGB + Multiespectral (4 Ideal para NDVI y agricultura bandas)

de precisión

Parrot Anafi USA RGB + térmica Inspección y monitoreo

eBee X + RedEdge-MX Multiespectral Alta cobertura para parcelas grandes

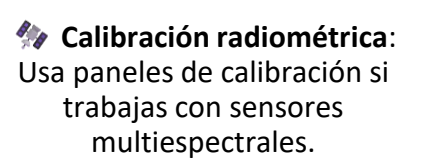
DJI Matrice 300 + ZenmuseRGB / LiDAR
Profesional, adaptable, alta

P1 / L1 carga útil



Recomendaciones para uso de drones







★ Planifica con software:
Pix4D, DroneDeploy, DJI Terra o
QGIS con plugins.



Vuelo automático: Usa misiones preprogramadas para asegurar solapamiento y calidad.



Baterías extras: Planifica con baterías de respaldo si el terreno es grande.

Programa que relaciona el FOV, la altura de investigación agropecuaria Vuelo y tipo de cámara

• 10-CALCULADORA_CAMARA_DRONES.ipynb

PASOS PARA GENERACIÓN DE IMÁGENES NOVIDED DRONES

- Cargar las bandas (NIR y RED)
- Calcular el NDVI
- Visualizar el NDVI
- Guardar el NDVI como imagen GeoTIFF o JPG

El rango del NDVI va de -1 a 1:

- NDVI > 0.5: vegetación vigorosa
- NDVI entre 0.2 y 0.5: vegetación escasa o en estrés
- NDVI < 0.2: suelo, agua, o materiales inertes

PASOS PARA GENERACIÓN DE IMÁGENES NOVIDED DE DRONES

- 11-CARGAR_IMAGENES_DRONES.ipynb
- 12-GENERACION_NDVI_FROM_R_NIR -DRONES

SEGMENTACIÓN DE IMÁGENES DE DRO USANDO k-means

• 13-Segmentación_Kmeans (Carpeta con archivos Python)







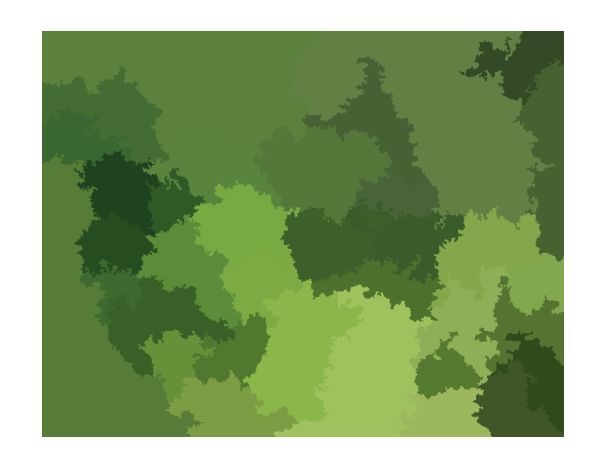




IMÁGENES ORIGINALES











IMAGENES SEGMENTADAS



App de escritorio y Android: OPTIFORRAJE

- Presentación de la App Optiforraje.
- Algoritmos de procesamiento de espectros integrados en plataforma digital OPTIFORRAJE
- Algoritmos de procesamiento de imágenes: k-means y Mahalanobis.

Sensores remotos (Teledetección) Vs. Sensores proximales (Espectroradiómetros y smartphones)

Los **SENSORES REMOTOS** capturan información de la superficie terrestre desde una **gran distancia**, normalmente desde **satélites o drones**.

Características:

- Cobertura espacial amplia (decenas a miles de km²).
- Resoluciones espacial, espectral, temporal y radiométrica variables.
- Pueden ser sensores pasivos (como Sentinel-2, Landsat) o activos (como Sentinel-1, LIDAR).

Usos comunes:

- Monitoreo multitemporal de NDVI, humedad del suelo, temperatura.
- Seguimiento de cambios en grandes extensiones (cultivos, pasturas, bosques).
- Detección de patrones regionales.

Ejemplos:

- Satélites: Sentinel-2, Landsat, MODIS.
- Drones con cámaras multiespectrales o térmicas.

Sensores remotos (Teledetección) Vs. Sensores versigación agropecual proximales (Espectroradiometros y smartphones)

Los SENSORES PROXIMALES operan **muy cerca del objetivo** (centímetros a metros), y son empleados directamente en campo.

Características:

- Alta resolución espacial y espectral.
- Permiten mediciones inmediatas y específicas por planta o parcela.
- Ideales para calibrar y validar datos satelitales.

Usos comunes:

- Medición directa del NDVI, PRI, clorofila, contenido de agua.
- Evaluación de calidad forrajera o estrés hídrico.
- Calibración de modelos predictivos y aprendizaje automático.

Ejemplos:

- Espectroradiómetros portátiles (como ASD FieldSpec, OCEAN OPTICS).
- Smartphones con apps especializadas o adaptadores de lentes multiespectrales.
- Sensores ópticos en tractor o bastón.



Sensores Proximales

ASD FieldSpec, smartphone, SVC

Sensores remotos Vs. Proximales

Sensores Remotos

Característica

Ejemplos

Distancia de medición	Decenas a miles de kilómetros	Centímetros a pocos metros
Resolución espacial	Baja a media (10–1000 m/píxel)	Muy alta (milímetros – centímetros)
Cobertura	Regional a global	Hoja, planta, parcela
Frecuencia de medición	Determinada por plataforma	Según necesidad (manual o continua)
Costo	Bajo por área, alto por unidad	Medio a alto por unidad
Requiere calibración	Sí, preferiblemente con datos de campo	No siempre

Sentinel-2, MODIS, drones



Aplicaciones y estado de arte

Open Access Article

In-Field Forage Biomass and Quality Prediction Using Image and VIS-NIR Proximal Sensing with Machine Learning and Covariance-Based Strategies for Livestock Management in Silvopastoral Systems

by Claudia M. Serpa-Imbett 1,2,* ≥ 0 Erika L. Gómez-Palencia 1 ≥ Diego A. Medina-Herrera 1 ≥ 0 Jorge A. Mejía-Luquez ¹ □, Remberto R. Martínez ¹ □, William O. Burgos-Paz ¹ □ and Lorena A. Aguayo-Ulloa 1,*

✓

- Corporación Colombiana de Investigación Agropecuaria AGROSAVIA, Centro de Investigación Turipaná, km 13 vía Montería Cereté, Cereté 230550, Córdoba, Colombia
- 2 Departamento de Ingeniería Eléctrica, Universidad del Sinú Elías Bechara Zainum, Montería 230001, Córdoba, Colombia
- * Authors to whom correspondence should be addressed.

AgriEngineering 2025, 7(4), 111; https://doi.org/10.3390/agriengineering7040111

Submission received: 14 February 2025 / Revised: 18 March 2025 / Accepted: 2 April 2025 / Published: 8 April 2025

(This article belongs to the Collection Exploring the Application of Artificial Intelligence and Image Processing in Agriculture)

Remotos para analizar patrones y evolución en el tiempo.

Proximales para validar datos, mejorar modelos de predicción y tomar decisiones inmediatas de manejo.

In-Field Forage Biomass and **Quality Prediction Using Image and** VIS-NIR Proximal Sensing with Machine Learning and Covariance-**Based Strategies for Livestock** Management in Silvopastoral Systems



CONTENIDO

1. Fundamentos de teledetección

2. Imágenes pasivas

3. Imágenes activas





CONTENIDO

1. Fundamentos de teledetección

2. Imágenes pasivas

3. Imágenes activas



¿Qué es un sensor activo?

Un **sensor activo** es un tipo de sensor de teledetección (sensor remoto) que emite su propia energía electromagnética hacia la superficie terrestre y mide la energía reflejada o dispersada por los objetos en esa superficie.



¿Qué es un sensor activo?

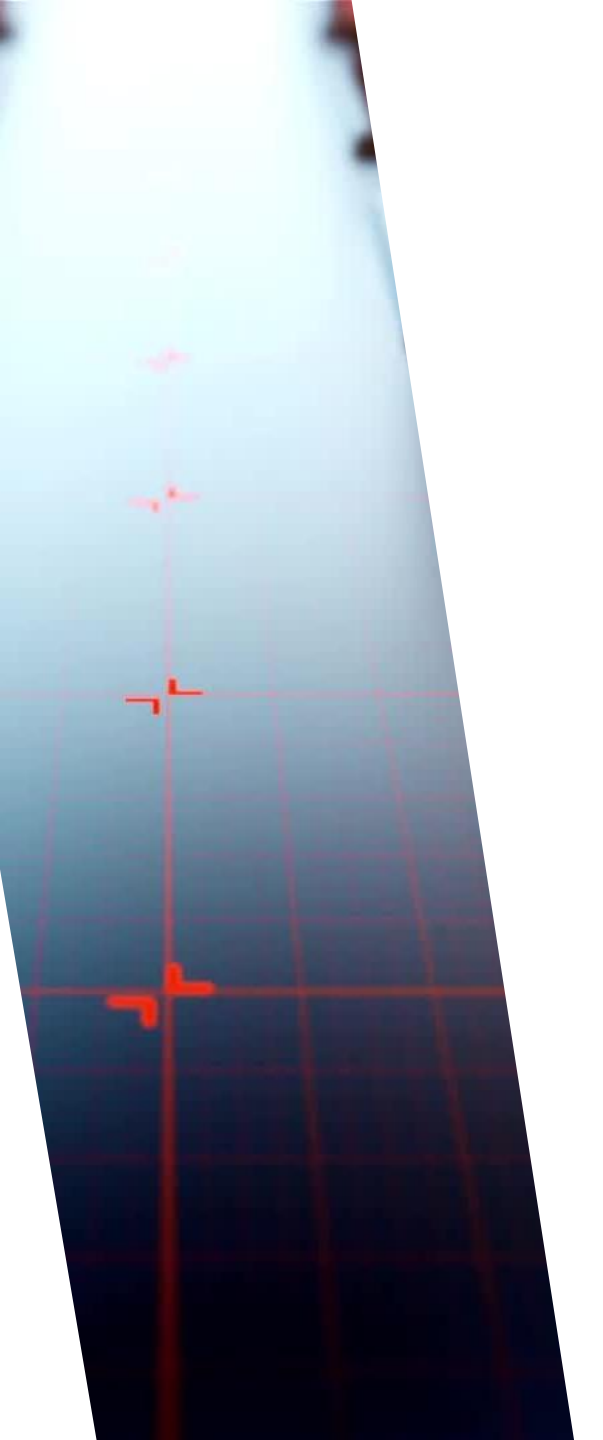
Los sensores activos generan una imagen activa capturada por una plataforma de teledetección que emite su propia señal electromagnética y registra su retorno tras interactuar con el objetivo.

Ejemplos más comunes:

 Radar (Radio Detection and Ranging) — microondas.

• LIDAR (Light Detection and Ranging) — láser (infrarrojo o verde).







¿Cómo funciona un sensor activo?

- •Emisión: El sensor genera una señal (como un pulso de microondas o láser) dirigida hacia el terreno.
- •Interacción: Esta señal interactúa con la superficie u objetos (suelo, vegetación, agua, construcciones).
- •Recepción: El sensor detecta la señal que retorna después de la interacción.
- •Procesamiento: A partir del tiempo, intensidad y forma de la señal reflejada, se infiere información sobre el objeto observado.



Tipos de sensores activos

- RADAR (Radio Detection and Ranging)
- Emite microondas.
- Usado en satélites como Sentinel-1, RADARSAT.
- Capaz de operar bajo cualquier condición climática.
- LIDAR (Light Detection and Ranging)
- Emite pulsos de luz láser.
- Usado en drones y aviones para generar modelos 3D del terreno o vegetación.
- Alta resolución y precisión vertical.





Sensor	Energía emitida	Longitud de onda	Usos comunes
SAR (Radar de apertura sintética)	Microondas (GHz)	~1–100 cm	Vegetación, humedad del suelo, estructuras, topografía, agricultura
LIDAR	Láser (infrarrojo o visible)	~0.5–1.5 μm	Modelos digitales de terreno, biomasa, estructuras forestales



Diferencias entres sensor activo y pasivo

Característica

Sensor Activo

Sensor Pasivo

Fuente de energía

Propia (emitida)

Externa (como el Sol)

Operación nocturna

✓ Sí

X No (depende de la luz solar)

Capacidad de penetrar nubes o vegetación

Alta (especialmente radar)

Limitada

Ejemplos

RADAR, LIDAR, Echo Sounder Cámaras ópticas, termales, multiespectrales



Ventajas de los sensores activos



Funcionan de **día o noche** (independientes de la luz solar).



Pueden **penetrar nubes, humo y vegetación** (especialmente SAR).



Capturan información estructural y geométrica (relieve, textura, rugosidad).



LIDAR proporciona datos en **3D** de alta precisión.





Interacción de la señal con la superficie

Radar/SAR:

- Interacción dominada por rugosidad del terreno, contenido de humedad y geometría del objeto.
- Produce imágenes en tonos de gris (backscatter).
- Polarización (HH, HV, VV) afecta la sensibilidad del sensor.

LIDAR:

- Mide el tiempo de retorno del pulso láser para obtener:
 - Altura de objetos
 - Altura del terreno
 - Nubes de puntos 3D
- Puede distinguir entre copa vegetal, tronco y suelo.



¿Qué es la polarización?



Cuando una antena emite una onda de radar, esa onda tiene una orientación eléctrica (polarización). El sensor puede cambiar o mantener esa orientación al enviar y recibir la señal.



Esto afecta **cómo interactúa la onda con la superficie**, dependiendo del tipo de cobertura (agua, vegetación, suelo, estructuras).



Codificación

VH

Código Significado Sensibilidad principal

HH Horizontal emitida y Superficies planas como recibida suelo desnudo o agua.

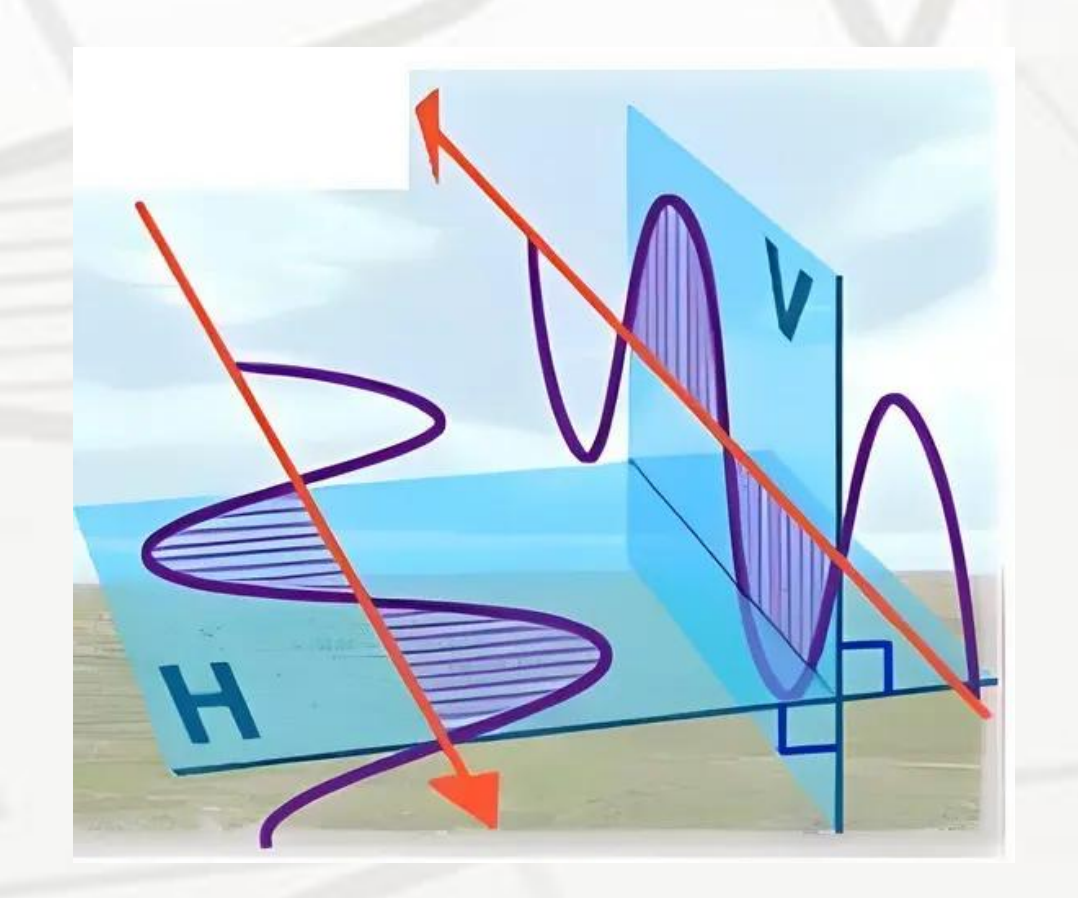
VV Vertical emitida y recibida Superficies verticales como tallos o edificios.

HV Horizontal emitida, vertical Estructuras complejas como recibida vegetación densa.

Vertical emitida, horizontal recíprocos).



Polarizacion V y H (Lineal)





Aplicaciones en vegetación y agricultura

- **HH o VV**: Útiles para monitorear humedad del suelo o estructuras verticales.
- HV o VH (cross-polarization): Muy útiles para evaluar biomasa, estructura de vegetación o interacciones volumétricas (e.g., ramas, hojas).

Ejemplo el Sentinel-1 proporciona:

- VV + VH para modo IW (Interferometric Wide swath).
- Datos en polarización dual (dual-pol) o polarización completa (quadpol) dependiendo del sensor.

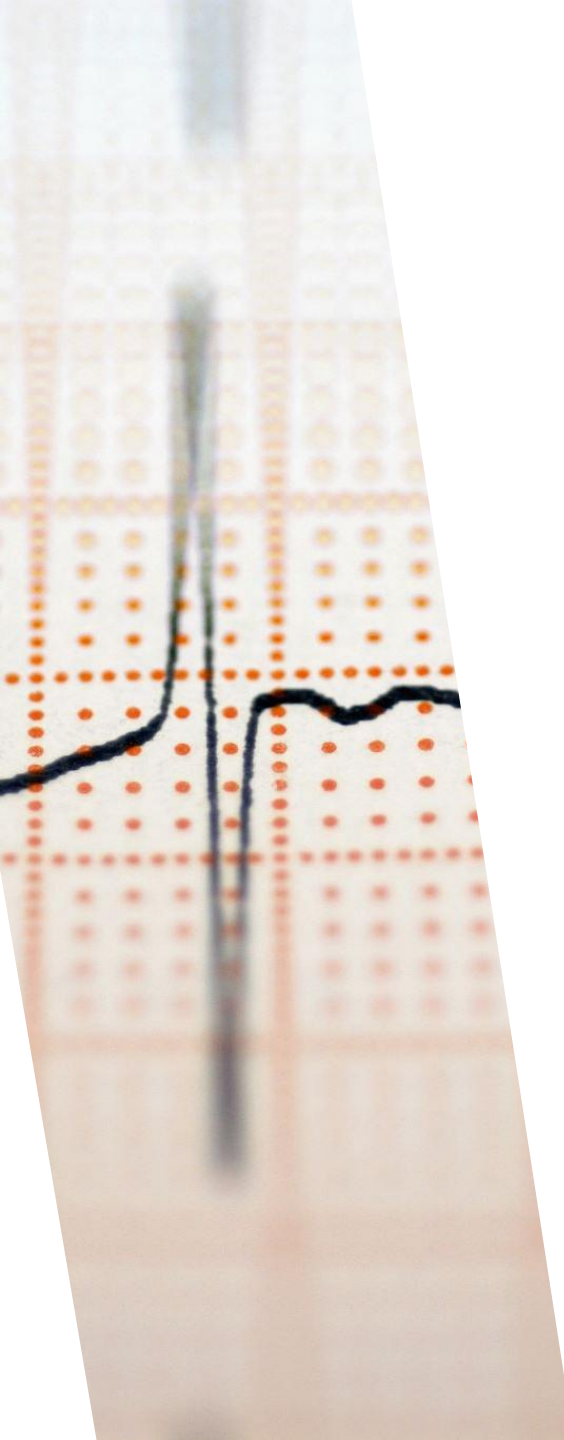
¿Cómo afecta a la interpretación?

 Un campo cubierto de pasto denso reflejará más señal HV que VV.

 Un lago reflejará más en VV o HH y casi nada en HV.

 Combinando varias polarizaciones, se pueden hacer clasificaciones supervisadas, detección de cambios, o estimación de biomasa.







Procesamiento de imágenes activas

Corrección geométrica y radiométrica

- •SAR: corrección speckle, calibración radiométrica.
- •LIDAR: corrección de trayectoria y calibración láser.

Extracción de características

- Textura, retrodispersión (SAR).
- •Altura, densidad, perfil vertical (LIDAR).

·Clasificación supervisada/no supervisada

•Basada en patrones de backscatter o altura.

Fusión multifuente

•Integración con imágenes ópticas o NDVI para mejores resultados.



Aplicaciones de sensores activos

- Altura de cultivos o pastos (LIDAR).
- Densidad de vegetación o cobertura arbórea (LIDAR, RADAR).
- Humedad del suelo (RADAR).
- Mapeo de estructuras en suelos complejos o bajo sombra.



Ejemplos de Aplicaciones

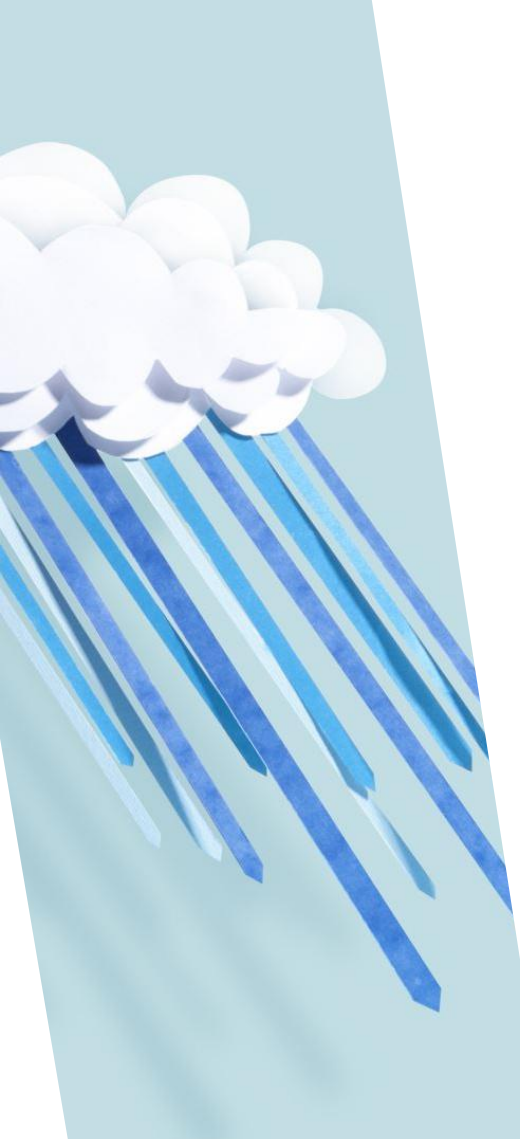
Aplicación	Sensor
Estimación de biomasa y altura de pastos	LIDAR (UAV o satelital)
Evaluación de humedad del suelo	SAR (Sentinel-1, RADARSAT)
Análisis de deforestación y cambio de uso de suelo	SAR + óptico
Detección de estructuras agrícolas o canales	LIDAR topográfico
Monitoreo de pasturas bajo cobertura arbórea (silvopastoriles)	LIDAR + NDVI

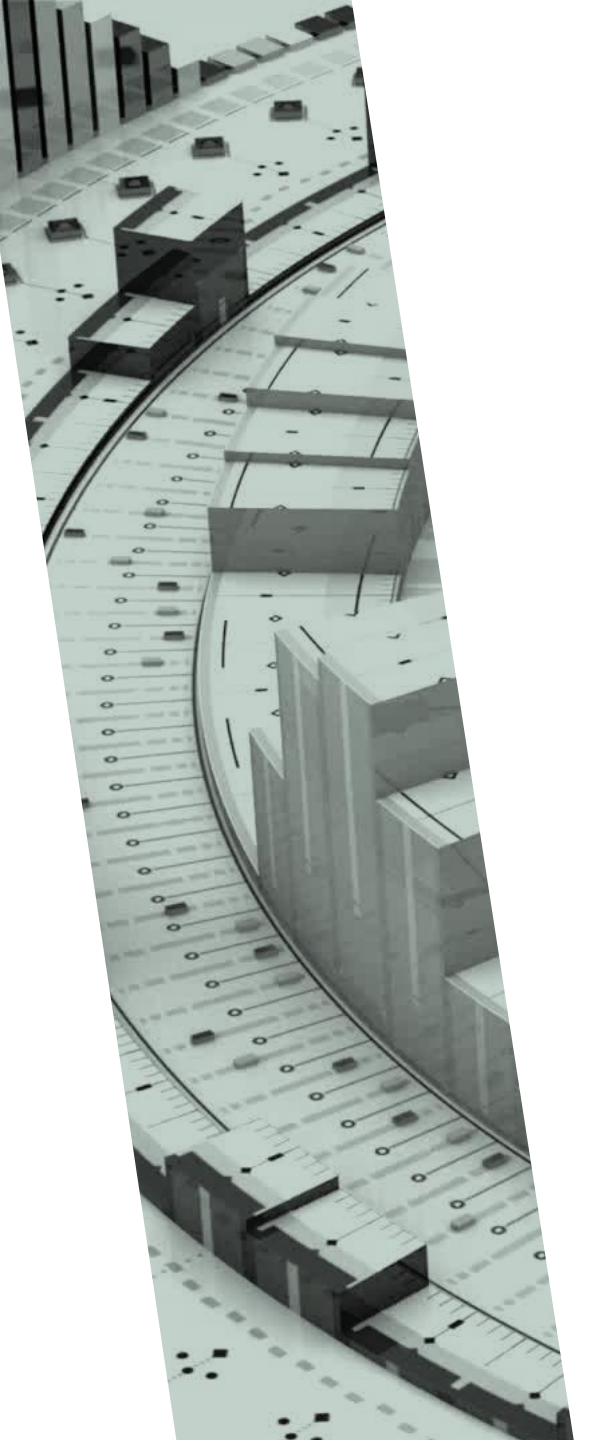




Librerías clave:

- rasterio, geopandas: manipulación de datos geoespaciales.
- ➤lidar, laspy: manejo de nubes de puntos LIDAR.
- >sentinelsat, pyroSAR: descarga y análisis de datos SAR.
- >scikit-learn, xgboost: clasificación supervisada.







Procesamiento de Imágenes Sentinel-1 VV y VH con Python

1. Descarga de Datos

Puedes obtener imágenes de Sentinel-1 desde el Copernicus Open Access Hub o utilizar plataformas como Google Earth Engine para acceder a datos preprocesados.

2. Preprocesamiento

Es recomendable realizar los siguientes pasos:

- •Calibración radiométrica: para convertir los valores de retrodispersión a unidades físicas.
- •Corrección geométrica: para alinear las imágenes con coordenadas geográficas precisas.
- •Conversión a decibelios (dB): utilizando la fórmula 10 * log10(valor).

Nota: Si utilizas datos de Google Earth Engine, muchos de estos pasos ya están aplicados.

3. Cálculo de Índices

Puedes calcular el índice de retrodispersión cruzada (Cross Ratio Index) para resaltar diferencias entre las polarizaciones:



Unidades de retrodispersión

En el caso de imágenes satelitales activas como las de Sentinel-1, que utiliza radar de apertura sintética (SAR), la retrodispersión (backscatter) es la medida principal, y sus unidades se relacionan con la potencia de la señal reflejada por la superficie hacia el sensor.

- La retrodispersión se mide como un **coeficiente adimensional**, generalmente representado como:
- σ^0 (sigma-cero): Coeficiente de retrodispersión normalizada.
- Aunque σ^o es adimensional, se expresa comúnmente en decibelios (dB)
 para facilitar la interpretación y comparación:

$$\sigma O(dB) = 10 \cdot log_{10}(\sigma O)$$



Comparación con el dominio óptico

Mientras que en sensores pasivos (como Sentinel-2 o Landsat) se trabaja con:

- Radiancia (W·m⁻²·sr⁻¹·µm⁻¹)
- Reflectancia (valor entre 0 y 1, o en %)

En sensores **activos** como Sentinel-1, el radar emite su propia señal y mide la fracción que regresa (retrodispersión), por eso:

- No se mide radiancia reflejada del Sol, sino la potencia reflejada del pulso de radar.
- No se usa reflectancia espectral, sino coeficientes de dispersión (σ^0 , β^0 o γ^0).



Coeficientes de retrodispersión

Coeficiente	Significado	Relación	Comentario
σ ^o (sigma nought)	Retrodispersión en dirección normal al radar	Base	Común en productos GRD (Ground Range Detected)
β ^o (beta nought)	Potencia de retrodispersión por unidad de ángulo sólido	Relacionado con σ ^o por el ángulo de incidencia	Útil en análisis topográficos
γ ^o (gamma nought)	Retrodispersión referida al plano local del terreno	$\gamma^{o} = \sigma^{o} / \cos(\theta)$	Común en productos corregidos topográficamente (RTC)



Unidades para los SAR

- Unidad base: σ^0 , adimensional, expresada en decibelios (dB).
- dB es una escala logarítmica: cada +10 dB representa un aumento de 10 veces en potencia.
- No hay unidades como W/m² en SAR, ya que no se mide radiancia solar, sino potencia de eco del radar.
- La interpretación física del valor depende de la rugosidad, humedad y geometría del terreno.



Ejemplo en GEE (Conversión de unidades)

```
// Definir el polígono de interés
var geometry = ee.Geometry.Polygon(
    [[[-75.9, 8.8],
     [-75.9, 8.6],
     [-75.5, 8.6],
     [-75.5, 8.8]]]);
// Cargar imagen Sentinel-1 VV
var image = ee.ImageCollection('COPERNICUS/S1 GRD')
 .filterBounds(geometry)
 .filterDate('2024-01-01', '2024-01-31')
 .filter(ee.Filter.eq('instrumentMode', 'IW'))
 .filter(ee.Filter.eq('orbitProperties pass', 'DESCENDING'))
 .filter(ee.Filter.eq('resolution meters', 10))
 .filter(ee.Filter.listContains('transmitterReceiverPolarisation', 'VV'))
 .select('VV')
 .first();
```

```
// Convertir a dB

var sigma0_dB = image.log10().multiply(10).rename('VV_dB');

// Parámetros de visualización

var visParams = {

min: -25,

max: 0,

palette: [

'#440154', '#3b528b', '#21918c', '#5ec962', '#fde725'

]

};
```



Ejemplo en GEE (Conversion de unidades)

```
// Mostrar la imagen y el polígono en el
mapa
Map.centerObject(geometry, 10);
Map.addLayer(sigma0_dB, visParams, 'VV en dB (resaltado)');
Map.addLayer(ee.FeatureCollection(geo
metry),
         {color: 'red'},
'Área de interés', false); // El "false" permite activar/desactivar la
capa
```

```
// Exportar imagen a Google Drive
Export.image.toDrive({
 image: sigma0_dB.clip(geometry),
 description: 'Sentinel1 VV dB Export',
 folder: 'GEE_Export',
 fileNamePrefix: 'sentinel1_vv_dB',
 region: geometry,
 scale: 10,
 crs: 'EPSG:4326',
 maxPixels: 1e13
});
```



Conversión de unidades en Python

21-Sentinel1-ConversiondBRetro.ipynb



Calculo con bandas VV y VH

```
import rasterio
import numpy as np
import matplotlib.pyplot as plt
# Cargar las bandas VV y VH
with rasterio.open('sentinel1 VV.tif') as vv src:
  vv = vv\_src.read(1)
  profile = vv src.profile
with rasterio.open('sentinel1 VH.tif') as vh src:
  vh = vh src.read(1)
# Evitar divisiones por cero
epsilon = 1e-10
cross_ratio = np.log10((vv + epsilon) / (vh + epsilon))
```

```
# Guardar el índice como un nuevo raster
profile.update(dtype=rasterio.float32, count=1)
with rasterio.open('cross_ratio.tif', 'w', **profile) as dst:
  dst.write(cross ratio.astype(rasterio.float32), 1)
# Visualizar el resultado
plt.imshow(cross_ratio, cmap='viridis')
plt.colorbar(label='Cross Ratio Index')
plt.title('Índice de Retrodispersión Cruzada (VV/VH)')
plt.axis('off')
plt.show()
22-Generacion_Imagenes_VV_VH.ipynb
```



Aplicaciones de las bandas VV y VH

1. Estimación de Humedad Superficial

La retrodispersión en la polarización VV es sensible a la humedad del suelo. Puedes aplicar modelos empíricos o de aprendizaje automático para estimar la humedad superficial a partir de los valores de retrodispersión. Por ejemplo, utilizando regresión lineal o Random Forest, entrenados con datos de campo.

2. Clasificación de Cobertura Vegetal

Combinando las polarizaciones VV y VH, puedes realizar una clasificación supervisada para diferenciar tipos de cobertura vegetal. Esto se puede lograr utilizando algoritmos como Random Forest o Support Vector Machines, entrenados con muestras de referencia.



RADARSAT Constallation

Comparación de diferentes satélites

Característica	Sentinel-1A/B	Sentinel-1C	RISAT (1,2,2B,1A)	RADARSAT-2	(RCM)
Agencia Espacial	ESA	ESA	ISRO (India)	CSA / MDA (Canadá)	CSA (Canadá)
País	Unión Europea	Unión Europea	India	Canadá	Canadá
Sensor SAR	Banda C (5.405 GHz)	Banda C (idéntica a A/B)	Banda C (1/1A) y Banda X (2/2B)	Banda C	Banda C
Resolución espacial	5 – 40 m	5 – 40 m (misma que A/B)	1 – 50 m	3 – 100 m	3 – 100 m
Cobertura de escena	20 – 400 km	20 – 400 km	10 – 240 km	20 – 500 km	20 – 500 km
Revisita temporal	~6 días (con 1A+1B)	Ayudaría a retomar ciclo de 6 días	2 – 5 días	~24 días	4 días (con 3 satélites)
Altura de órbita	~693 km	~693 km	~536 – 576 km	~798 km	~600 km
Órbita	Heliosíncrona	Heliosíncrona	Heliosíncrona	Heliosíncrona	Heliosíncrona
Polarizaciones	VV, VH, HH, HV (dual)	Igual que A/B	VV, HH, HV, VH (según versión)	HH, VV, HV, VH, quad- pol	HH, VV, HV, VH, quad-pol
Lanzamiento inicial	1A: 2014; 1B: 2016	1C: 2024 (lanzamiento previsto)	2: 2009; 1: 2012; 2B: 2019; 1A: 2022	2007	2019
Objetivo principal	Agricultura, monitoreo terrestre	Reforzar continuidad del programa	Defensa, monitoreo agrícola	Hielo, agricultura, vigilancia	Agricultura, clima, vigilancia marítima
Acceso a datos	Gratuito y abierto (Copernicus Hub)	Gratuito (mismo sistema)	Parcial o restringido	Comercial (licencia MDA)	Gratuito para Canadá / comercial limitado



Tipos de adquisición del SAR

Satélite	Modos SAR	Detalles
Sentinel-1A/B/C	- IW (Interferometric Wide Swath)- EW (Extra Wide Swath)- SM (Stripmap)- WV (Wave Mode)	 IW: modo estándar para tierra (res. ~10m, 250km ancho)- EW: emergencias costeras- SM: alta resolución
RISAT	 Fine Resolution Stripmap (FRS)- Coarse Resolution ScanSAR- Spotlight (en RISAT-2B) 	- Múltiples modos según misión: defensa, agricultura, vigilancia
RADARSAT-2	- Spotlight (3m)- Fine Quad-pol (8m)- Wide (100m)- ScanSAR Wide	- Capacidad multi-polarización y modos flexibles
RCM (Constelación)	- Spotlight- Ultra-Fine- Wide ScanSAR- Maritime Surveillance	- Óptimo para cobertura frecuente, monitoreo rápido y vigilancia marítima

Modo Strip Map (SM) – Sentinel 1

Es un **modo SAR de** resolución alta que adquiere imágenes de una franja continua del terreno al mover la antena del radar con una dirección fija respecto al nadir (sin barrido lateral).



Para que se usa el Strip Map (SM)

- Usado cuando se requiere alta resolución espacial sobre áreas más pequeñas, como:
- Monitoreo de infraestructura crítica
- Aplicaciones militares o de seguridad
- Detección de objetos pequeños
- Estudios de detalle sobre zonas urbanas, fallas geológicas o glaciares





Modo Strip Map (SM) de Sentinel 1

Parámetro Valor típico (Sentinel-1)

Resolución espacial ~5 m (azimut) x 5 m (range)

Ancho de franja ~80 km

Polarizaciones

HH, VV, HV, VH (dual disponibles)

Frecuencia de uso

Poco frecuente en Sentinel-1 (se prioriza IW)



Comparación con modos IW y EW

Modo	Resolución (m)	Cobertura (km)	Uso principal
SM	5 x 5	80	Alta resolución en áreas pequeñas
IW	10 x 10	250	Estándar para monitoreo terrestre
EW	40 x 40	400	Grandes áreas, emergencias
WV	~20 x 20	Puntual	Estudios oceánicos (olas)



¿Que es el nadir?

El **nadir** es el **punto directamente debajo del satélite**, es decir, el punto de la superficie terrestre que se encuentra **en línea recta vertical con respecto al sensor**.

Imagina una línea recta que va del satélite hacia el centro de la Tierra:

- → El punto donde esta línea toca la superficie se llama nadir.
- •Ángulo de nadir = 0° (mirada completamente vertical).
- Los sensores que miran hacia el nadir se llaman nadirales o de visión nadiral.



Importancia de nadir

Aspecto

Resolución espacial

Órbitas satelitales

Modo SAR StripMap

Correcciones geométricas

Relación con el nadir

Es máxima en el nadir (menor distorsión

geométrica).

Muchos satélites de observación pasan justo

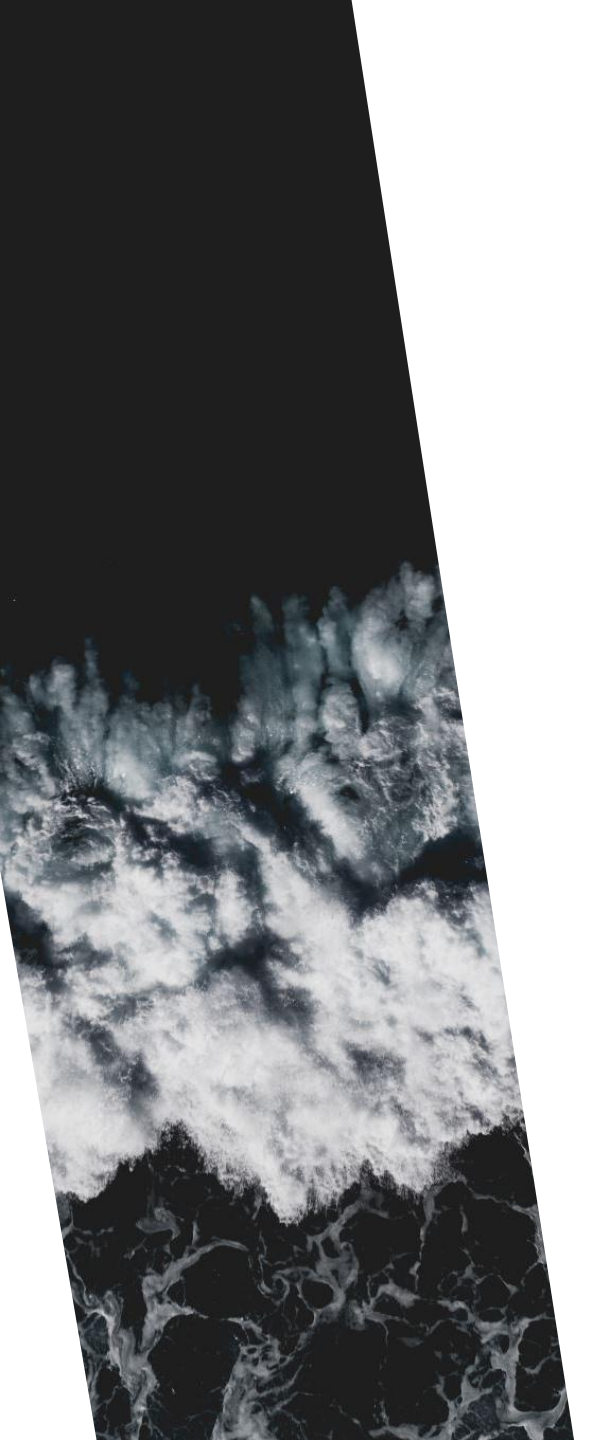
sobre el nadir.

Se orienta cerca del nadir pero ligeramente

inclinado.

Se utilizan para compensar el ángulo

respecto al nadir.





Wave mode (WM)

Es un modo puntual (no continuo) en el que el radar captura pequeñas "ventanas" de imagen SAR llamadas imagettes o vignettes.



Parámetros del wave mode (WM)

Parámetro Valor típico en Sentinel-1

Tamaño de imagette ~20 km × 20 km

Frecuencia de adquisición Cada ~100 km sobre el océano

Resolución espacial ~10 m

Cobertura No es continua; solo pequeñas

zonas

Polarización VV (frecuente) o dual (VV + VH)



Uso de wave mode (WM)



Este modo está optimizado para generar productos como:



Espectros de olas oceánicas



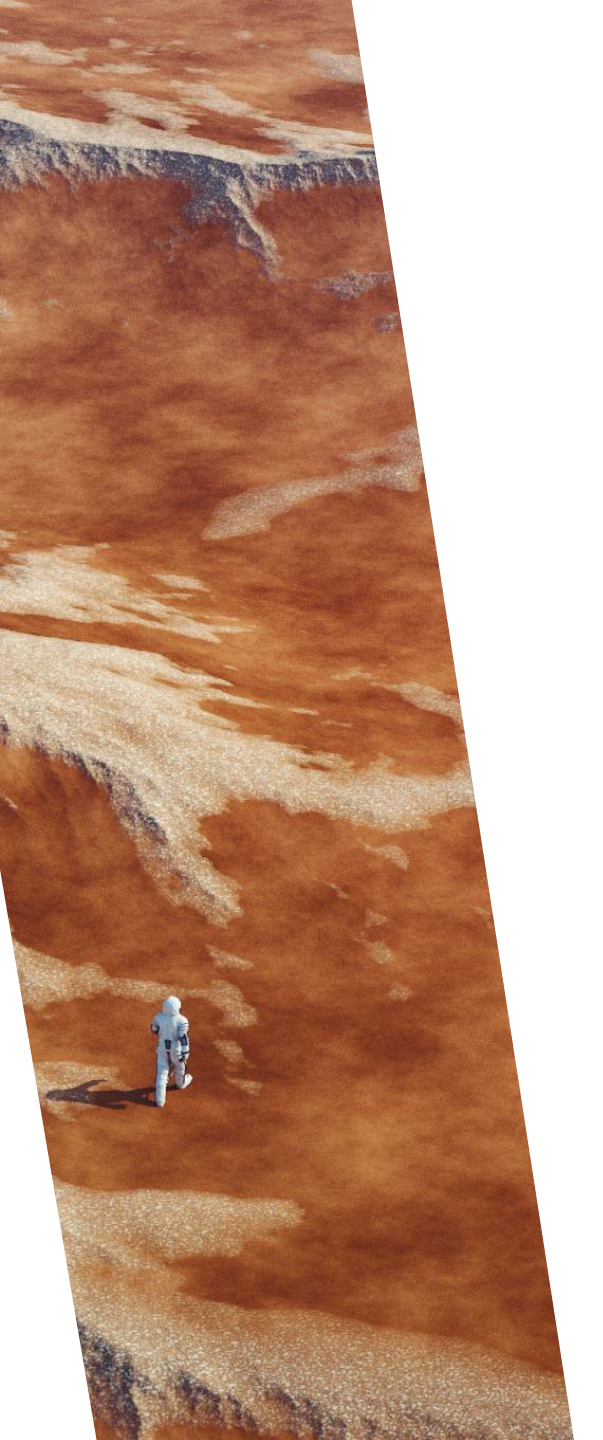
Altura significativa de oleaje



Dirección y longitud de onda



Vigilancia marítima puntual (de forma secundaria)





Como funciona WM

El satélite toma una serie de imágenes pequeñas sobre el océano abiertas cada ciertos kilómetros, sin formar una imagen continua. Estas se procesan para estimar parámetros físicos del mar mediante análisis de Fourier del patrón SAR.



Diferencia con otros modos

Modo	Resolución	Cobertura	Uso principal
WV	10 m	20x20 km	Olas y dinámica marina puntual
IW	10 m	250 km	Monitoreo terrestre general
EW	40 m	400 km	Costas, emergencias, mar abierto
SM	5 m	80 km	Alta resolución sobre tierra





Pasos para procesar imágenes satelitales de Sentinel 1 (RADAR) con GEE

- 1. Configuración del Entorno
- 2. Definir el Área de Interés (AOI) y el Rango de Fechas
- 3. Cargar y Filtrar la Colección de Imágenes Sentinel-1
- 4. Calcular la Media Temporal de las Polarizaciones VV y VH
- 5. Calcular el Índice de Retrodispersión Cruzada (CR)
- 6. Visualizar los Resultados
- 7. Exportar los Resultados

Ejecutar código en COLAB: 13-Procesamiento de Imagenes ActivasCOLAB.ipynb





Clasificación supervisada usando datos de polarización VV y VH de Sentinel-1, empleando Google Earth Engine (GEE) y Random Forest.

- Usa Google Earth Engine para obtener datos VV y VH de Sentinel-1.
- Crea puntos de entrenamiento etiquetados para tres clases.
- Entrena un clasificador Random Forest.
- Crea puntos de entrenamiento etiquetados para dos clases.
- Entrena un clasificador SVC (Maquina de vectores de soporte)
- Aplica la clasificación y visualiza en un mapa interactivo con geemap.
- Exporta la imagen clasificada como .tif a tu Google Drive.

Ejecutar códigos RF

14-ClasificaciónImagenesActivasCOLAB.ipynb

15-ClasificaciónImagenesActivas2ImagenesCOLAB.ipynb

Ejecutar código SVC:

16-GeneradorImagenesActivasVVyVH

16-ClasificaciónImagenesActivasSVCyRFCOLAB.ipynb

Clasificación de imágenes activas usandos usandos XGBoost

- Soporta valores faltantes
- Alta precisión
- Control de overfitting
- Buena interpretación (importancia de variables)
- Se puede combinar con espectros, índices (NDVI, NDWI) y variables auxiliares (e.g., altura, textura)
- Consulta el siguiente recurso: <u>Saeideh-Maleki/XGBoost Classification algorithm: Using this code, the NPZ files containing remote sensing data can be classified.</u>





Potencialidades del uso de XGBoost

Con XGBoost puedes realizar distintos tipos de clasificación en imágenes satelitales o de dron, incluyendo:

- 1. Clasificación de cobertura del suelo (uso del suelo, vegetación, agua, urbano, suelo desnudo, etc.).
- **2.** Clasificación de tipos de vegetación (por ejemplo, distinguir cultivos, especies forrajeras como Mombasa, o pastos vs arbustos).
- 3. Clasificación de humedad del suelo (utilizando combinaciones de bandas e índices).
- 4. Detección de cambios (comparando épocas y clasificando zonas con cambio o sin cambio).
- 5. Clasificación por salud de la vegetación (alta, media, baja, o vegetación estresada).
- 6. Clasificación de áreas quemadas (usando NBR, NDVI y otros índices).
- 7. Zonificación agrícola o ganadera (por productividad, biomasa, calidad del forraje, etc.).
- Puedes combinar las bandas originales (por ejemplo, Sentinel-2 B2–B8) con índices espectrales (NDVI, EVI, SAVI, etc.) y luego aplicar XGBoost con entrenamiento supervisado usando datos etiquetados (por ejemplo, puntos de muestreo en campo)



Potencialidades del uso de XGBoost

Ejecutar:

17GeneradorImagenesActivasMUESTRASV
VyVH.ipynb

17-XGBoostCLASIFICADORVVyVH.ipynb

• 18-XGBoostCLASIFICADORVVyVH_2clases



Recursos recomendados



https://youtu.be/eSLuGvnsorM?si=HBZEGYseAWfWq7xi (SAR

- Curso de la Nasa)



https://youtu.be/NPiXuN9kInI?si=Ks1yMkuGASdtGD79 (Inteligencia Artificial y Teledetección).



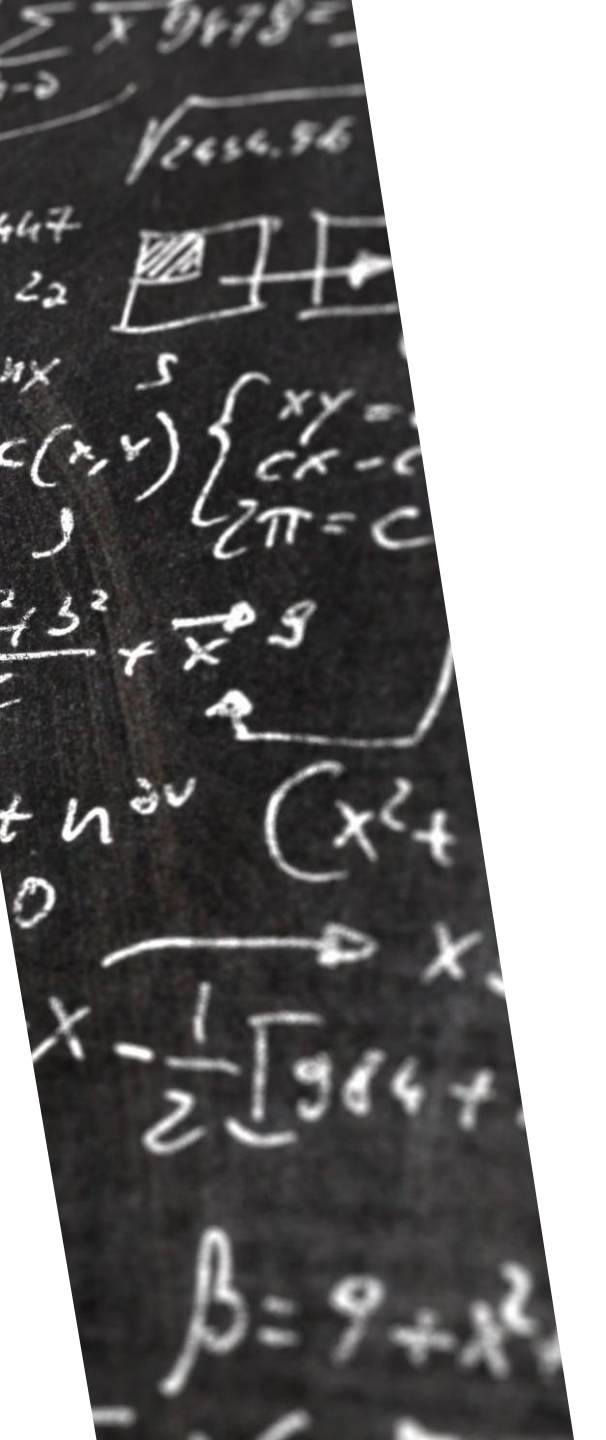
Aplicaciones IA y teledetección en Colombia

Aplicación	Descripción	Ejemplos de uso
Clasificación automática de coberturas	Uso de algoritmos supervisados (e.g., Random Forest, SVM, CNN) para mapear cultivos, bosques, cuerpos de agua	Agricultura de precisión, ordenamiento territorial
Segmentación y detección de objetos	Deep learning con imágenes de drones o satélites para identificar parcelas, vías, techos, deforestación	Catastro, infraestructura, monitoreo ambiental
Detección de anomalías	IA para detectar cambios súbitos (e.g., incendios, inundaciones, invasiones urbanas)	Gestión de riesgos y desastres
Estimación de variables biofísicas	Modelos de ML para predecir biomasa, humedad del suelo, rendimiento de cultivos	Agricultura y silvicultura
Fusión de datos multifuente	Redes neuronales o modelos híbridos para combinar datos ópticos, radar, climáticos, etc.	Sistemas de alerta temprana y monitoreo multitemporal



Aplicaciones de Teledetección en el mundo

Aplicación	Descripción	País / Proyecto destacado
🖟 Agricultura de precisión	Monitoreo de cultivos, estrés hídrico, predicción de rendimientos	us EE.UU. – John Deere, Climate FieldView
Gestión de recursos hídricos	Seguimiento de cuerpos de agua, humedad del suelo, calidad y caudal	IN India – Cuenca del Ganges
Monitoreo ambiental y cambio climático	Evaluación de deforestación, emisiones, desertificación	 Global – Global Forest Watch (Brasil, Congo, Indonesia)
Gestión de desastres	Prevención y respuesta ante incendios, inundaciones, terremotos	AU Australia – Alerta de incendios forestales
🜇 Planeación urbana y expansión	Análisis de crecimiento urbano, uso del suelo, zonificación	_{CN} China – Ciudades inteligentes en Pekín y Shenzhen
Minería y geología	Exploración de minerales y control ambiental	CL Chile – Exploración de cobre con imágenes satelitales
Seguridad alimentaria	Anticipación de sequías, apoyo a programas humanitarios	Ó África – FAO/WFP usando NDVI y CHIRPS
Oceanografía y monitoreo costero	Seguimiento de temperatura, floraciones algales, erosión y derrames	PE Perú – Monitoreo del fenómeno El Niño con Sentinel-3
m Arqueología y patrimonio	Descubrimiento de ruinas ocultas y monitoreo de sitios culturales	_{GT} Guatemala – Ciudades mayas con LiDAR
Defensa y vigilancia	Observación de fronteras, movimientos, embarcaciones y cambios territoriales	UA Ucrania – Monitoreo de infraestructura y conflicto





- Este fue un curso de Teledetección, enfocado a la comprensión profunda de las Imágenes Pasivas y Activas, Fundamentos y Machine Learning.
- Durante este curso se consolidaron los conocimientos teóricos y prácticos necesarios para comprender y aplicar técnicas de teledetección basadas en sensores pasivos (plataformas satelitales como Sentinel-2, MODIS) y activos (como Sentinel-1 o radares SAR). Se analizaron sus principios físicos, ventajas comparativas, limitaciones y aplicaciones en el monitoreo de la superficie terrestre.
- Se abordaron las características técnicas de las plataformas satelitales y de drones
- En la teledetección pasiva, se abordaron conceptos como la reflectancia espectral, índices de vegetación (NDVI, EVI, etc.), y el uso de espectros multiespectrales e hiperespectrales para la caracterización biofísica de coberturas. Por su parte, la teledetección activa permitió explorar la utilidad de la polarización (HH, HV, VV, VH) y el coeficiente CR para el análisis de estructuras, humedad del suelo y cobertura vegetal, incluso en condiciones de nubosidad.





Complementariamente, se introdujeron técnicas de aprendizaje automático supervisado, como Random Forest, SVM y XGBoost, para realizar clasificaciones temáticas, segmentaciones y predicciones basadas en información espectral y polarimétrica. Estas herramientas permitieron automatizar la interpretación de imágenes, mejorar la precisión de los análisis y generar productos útiles para agricultura, monitoreo ambiental, gestión del territorio y cambio climático.



Se abordó el manejo de Google Earth Engine, plataforma de descarga de imágenes Copernicus, Sentinel Hub y directamente desde Python en Google Colab



Se presentó el manejo de plataformas de procesamiento de imágenes multiespectrales como QGIS y SNAP.



Este enfoque integral capacita al estudiante para abordar desafíos reales con un criterio científicotécnico, integrar fuentes de datos complementarias, y diseñar flujos de trabajo reproducibles que conectan la adquisición de imágenes satelitales y de dron con el análisis avanzado basado en inteligencia artificial.



- Este fue un curso de Teledetección, enfocado a la comprensión profunda de las Imágenes Pasivas y Activas, Fundamentos y Machine Learning.
- Durante este curso se consolidaron los conocimientos teóricos y prácticos necesarios para comprender y aplicar técnicas de teledetección basadas en sensores pasivos (plataformas satelitales como Sentinel-2, MODIS) y activos (como Sentinel-1 o radares SAR). Se analizaron sus principios físicos, ventajas comparativas, limitaciones y aplicaciones en el monitoreo de la superficie terrestre.
- Se abordaron las características técnicas de las plataformas satelitales y de drones
- En la teledetección pasiva, se abordaron conceptos como la reflectancia espectral, índices de vegetación (NDVI, EVI, etc.), y el uso de espectros multiespectrales e hiperespectrales para la caracterización biofísica de coberturas. Por su parte, la teledetección activa permitió explorar la utilidad de la polarización (HH, HV, VV, VH) y el coeficiente CR para el análisis de estructuras, humedad del suelo y cobertura vegetal, incluso en condiciones de nubosidad.



- Complementariamente, se introdujeron técnicas de aprendizaje automático supervisado, como Random Forest, SVM y XGBoost, para realizar clasificaciones temáticas, segmentaciones y predicciones basadas en información espectral y polarimétrica. Estas herramientas permitieron automatizar la interpretación de imágenes, mejorar la precisión de los análisis y generar productos útiles para agricultura, monitoreo ambiental, gestión del territorio y cambio climático.
- Se abordó el manejo de Google Earth Engine, plataforma de descarga de imágenes Copernicus, Sentinel Hub y directamente desde Python en Google Colab
- Se presentó el manejo de plataformas de procesamiento de imágenes multiespectrales como QGIS y SNAP.
- Este enfoque integral capacita al estudiante para abordar desafíos reales con un criterio científico-técnico, integrar fuentes de datos complementarias, y diseñar flujos de trabajo reproducibles que conectan la adquisición de imágenes satelitales y de dron con el análisis avanzado basado en inteligencia artificial.

